

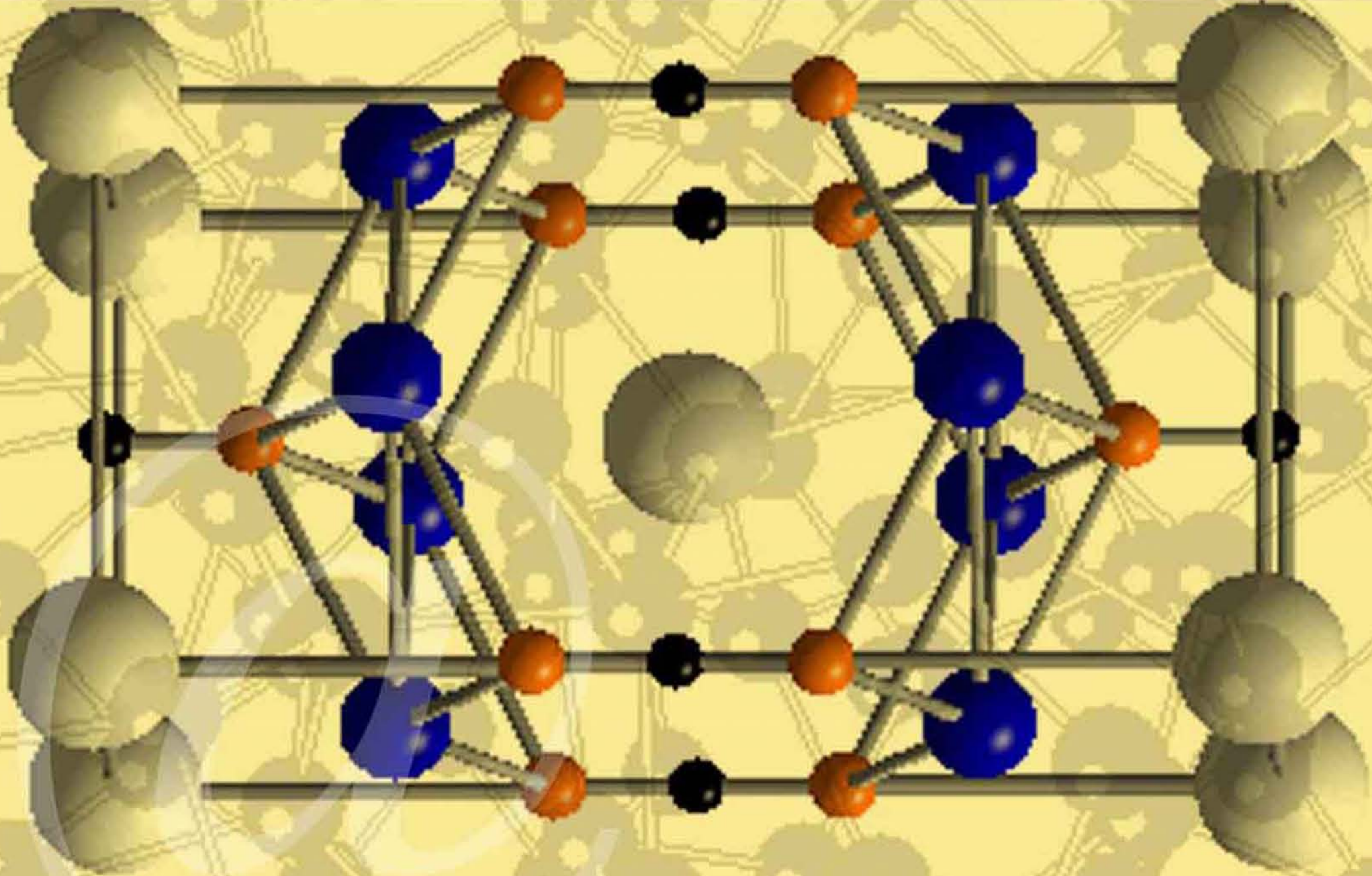
www.kotobarabia.com

# فيزياء الجوامد

(الجزء الأول)



www.kotobarabia.com



د. عبد الفتاح أحمد الشاذلي

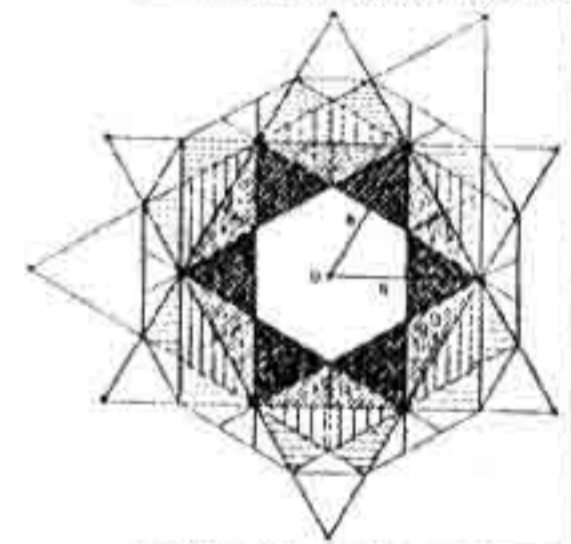
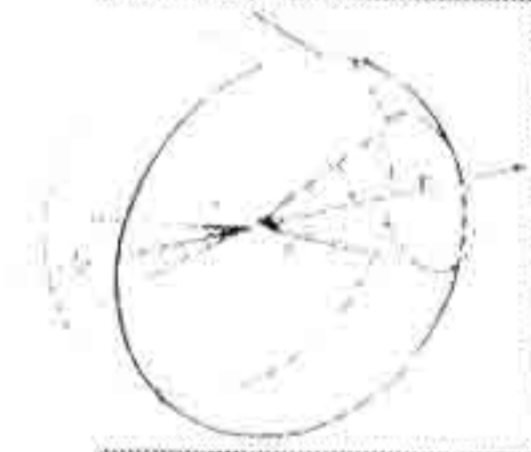
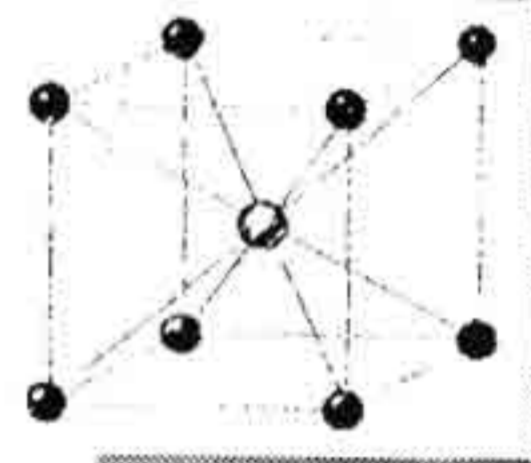
# فيزياء الجوامد

## الجزء الأول

د. عبد الفتاح أحمد الشاذلي

أستاذ متفرغ بقسم الفيزياء

كلية التربية - جامعة عين شمس



---

---

## طبقا لقوانين الملكية الفكرية

جميع حقوق النشر و التوزيع الالكتروني  
لهذا المصنف محفوظة لكتب عربية. يحظر  
نقل أو إعادة نسخ أو إعادة بيع أي جزء من  
هذا المصنف و بثه الكترونيا (عبر الانترنت أو  
للمكتبات الالكترونية أو الأقراص المدمجة أو أي  
وسيلة أخرى) دون الحصول على إذن كتابي من  
كتب عربية. حقوق الطبع الورقي محفوظة  
للمؤلف أو ناشره طبقا للتعاقدات السارية.

---

---



مؤلف الكتاب :

أ.د. عبد الفتاح أحمد الشاذلي رئيس قسم الفيزياء  
الأسبق بكلية التربية – جامعة عين شمس

حاصل على جائزة الدولة التشجيعية

حاصل على وسام الاستحقاق للعلوم و الفنون من  
الطبقة الأولى

شارك في تأليف أكثر من ٣٥ كتاباً في العلوم و الفيزياء  
العامة

شارك في ترجمة كتاب أساسيات البصريات لجينكز و  
هو ايت

شارك في وضع معجم البصريات و الصوتيات

له أكثر من ٩٠ بحثاً في فيزياء الجوامد و تطبيقاتها

أشرف على أكثر من 50 رسالة ماجستير في فيزياء  
الجوامد و كذلك أكثر من 40 رسالة دكتوراه فلسفة في  
العلوم تخصص فيزياء الجوامد

## مقدمة عامة

بسم الله والحمد لله والصلاة والسلام على رسول الله ، وبعد .

فهذا هو كتاب "فيزياء الجوامد" نقدمه لطلابنا في ثلاثة أجزاء:

**الجزء الأول:** الخصائص التركيبية للجوامد والروابط وحيود الأشعة السينية والتركيب البلوري والخصائص الميكانيكية والحرارية وخصائص العزل الكهربى .

**الجزء الثانى :** نظرية الالكترونات الحرة من وجهة النظر الإحصائية ونظرية الأنطقة والتوصيل الكهربى فى الجوامد. والتوصيل الفائق.

**الجزء الثالث :** الخصائص المغناطيسية للجوامد و ظواهر التلامس و الكهروحرارية والخصائص الجلفانوسكوبية والخصائص الضوئية للجوامد.

وتتطلب دراسة هذا الكتاب أن يكون الطالب دارساً للرياضيات بصفة عامة وحساب التفاضل والتكامل بصفة خاصة فضلاً عن إلمامه وتفهمه لمبادئ الفيزياء الإحصائية.

ولعل أبناءنا الطلاب يتفقون معاً فى أن علم فيزياء الجوامد يلقى اهتماماً كبيراً لتتوع تطبيقاته وتعدد مجالاته ، وأن فيزياء الجوامد هى ذلك العلم الذى يتناول بالدراسة تلك الخصائص التى ترجع إلى انتظام الذرات أو الجزيئات فى بلورات. ويتضمن هذا العلم دراسة الخصائص الفيزيائية للجوامد.

والله نسأل أن يعيننا على عرض محتويات كتاب فيزياء الجوامد بأجزائه الثلاثة بالطريقة التى تيسر للقارئ فهمها وإستيعابها.  
والله الموفق ،

المؤلف.

# الباب الأول

الخصائص التركيبية للجوامد

(التركيب البلوري للجوامد)

## الباب الأول

### الخصائص التركيبية للجوامد

#### (التركيب البلوري للجوامد)

### Structural characteristics of solids (The crystalline structure of solids)

#### (١-١) الحالة البلورية للجوامد:

باستثناء عدد قليل، فإن معظم الجوامد المستخدمة في الأعمال الهندسية وغيرها ذات تركيب بلوري. فالذرات أو المجموعات الذرية تتنظم في تركيب متكرر ثلاثي الأبعاد. هذا التنظيم المتكرر الثلاثي الأبعاد يحكم أحياناً الشكل الخارجي للبلورة. فبلورة كلوريد الصوديوم (ملح الطعام) مثلاً ذات شكل مكعبي Cube وتتم دراسة الشكل الهندسي والحالة البلورية للجوامد بوسائل مختلفة.

• الأشعة السينية المحادة.

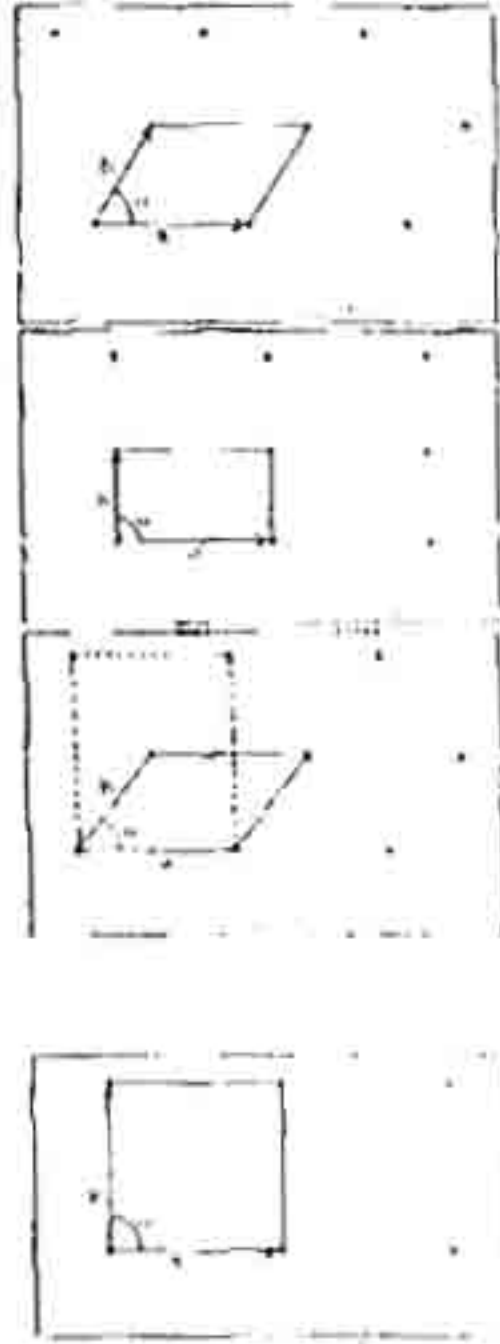
• الميكروسكوب الإلكتروني النافذ أو الماسح.

ونجد أنه من المفيد أن نبدأ أولاً بدراسة مختلف أنظمة البلورات:

## (٢-١) شبكة برافيه Bravais lattice :

تتمثل السمة الرئيسية في بلورة ما في دورية تركيبها، وحتى يتم وصف هذا التركيب أدخل برافيه عام ١٨٤٨ مفهوم الشبكة الحيزية Space lattice. فقد أخذ في الحسبان أن الذرات في البلورة تنتظم في تماثل حيزي أو مكاني محدد، حيث يمكن النظر إلى أن كل الذرات من نفس النوع تكون نظاماً دروياً من النقاط في الفراغ . هذا الترتيب يعرف بأسم "الشبكة الحيزية" وتعرف كشبكة من الخطوط المستقيمة

نماذج مختلفة لشبكة برافيه في  
بمستويين

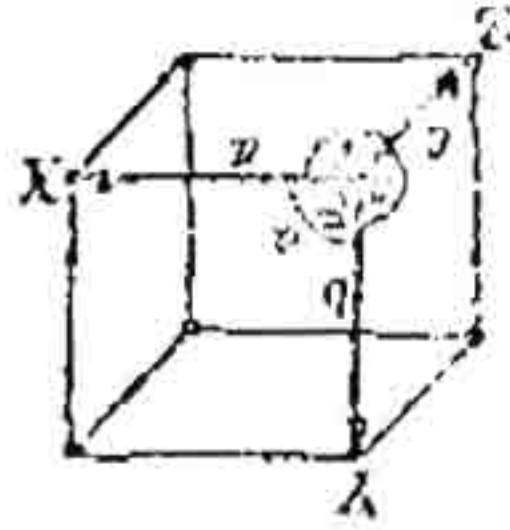


الشكل (١)



مرسومة بطريقة معينة تسمح بتقسيم الفراغ أو الحيز إلى حجوم متساوية دون استثناء ، تقاطعات هذه الخطوط تشكل نقاطا الفراغ. ويوضح الشكل (١) نماذج مختلفة من شبكة برافيه في بعدين كل منها يمثل الخلية الوحدة Unit cell.

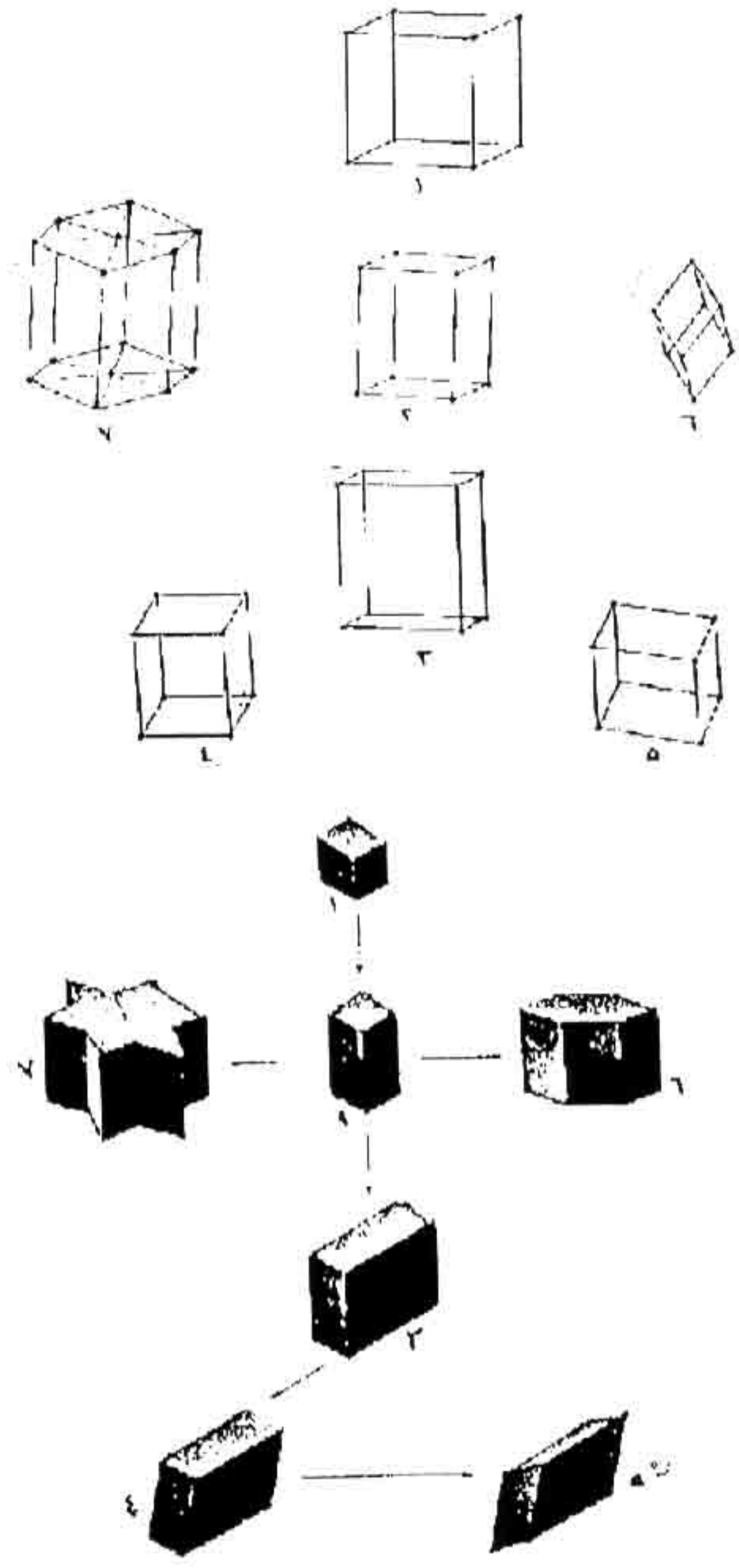
ويوضح الشكل (٢) الخلية الوحدة في شبكة بلورية ثلاثية الأبعاد. ويمكن لهذه الخلية الوحدة أن تأخذ أشكالاً مختلفة لها صفات وخواص معينة تعتمد على كيفية وضع الذرات وعددها في الخلية الموضحة في الشكل على هيئة متوازي مستطيلات أبعاده  $a, b, c$  وزواياه  $\alpha, \beta, \gamma$ .



الشكل (٢)

أى عدد من هذه الخلايا يتم ترتيبه بشكل متراس ومنتظم بحيث تتوازي أضلاعها وأوجهها يكون بلورة مثالية، الشبكة البلورية عبارة عن انسحابات منتظمة للخلية الوحدة في إتجاه المحاور الثلاثة  $X, Y, Z$  الشكل (٢).

واستطاع برافيه تصنيف الخلايا الوحدة في سبعة أنظمة بلورية كما في الشكل (٣)



- (١) مكعب
- (٢) درستی الزوايا
- (٣) الاستلاخ
- (٤) عمودي
- (٥) آحادی الميل
- (٦) ثلثی الميل
- (٧) ثلثی المستطوح
- (٨) سيماسی

الشكل (٣)

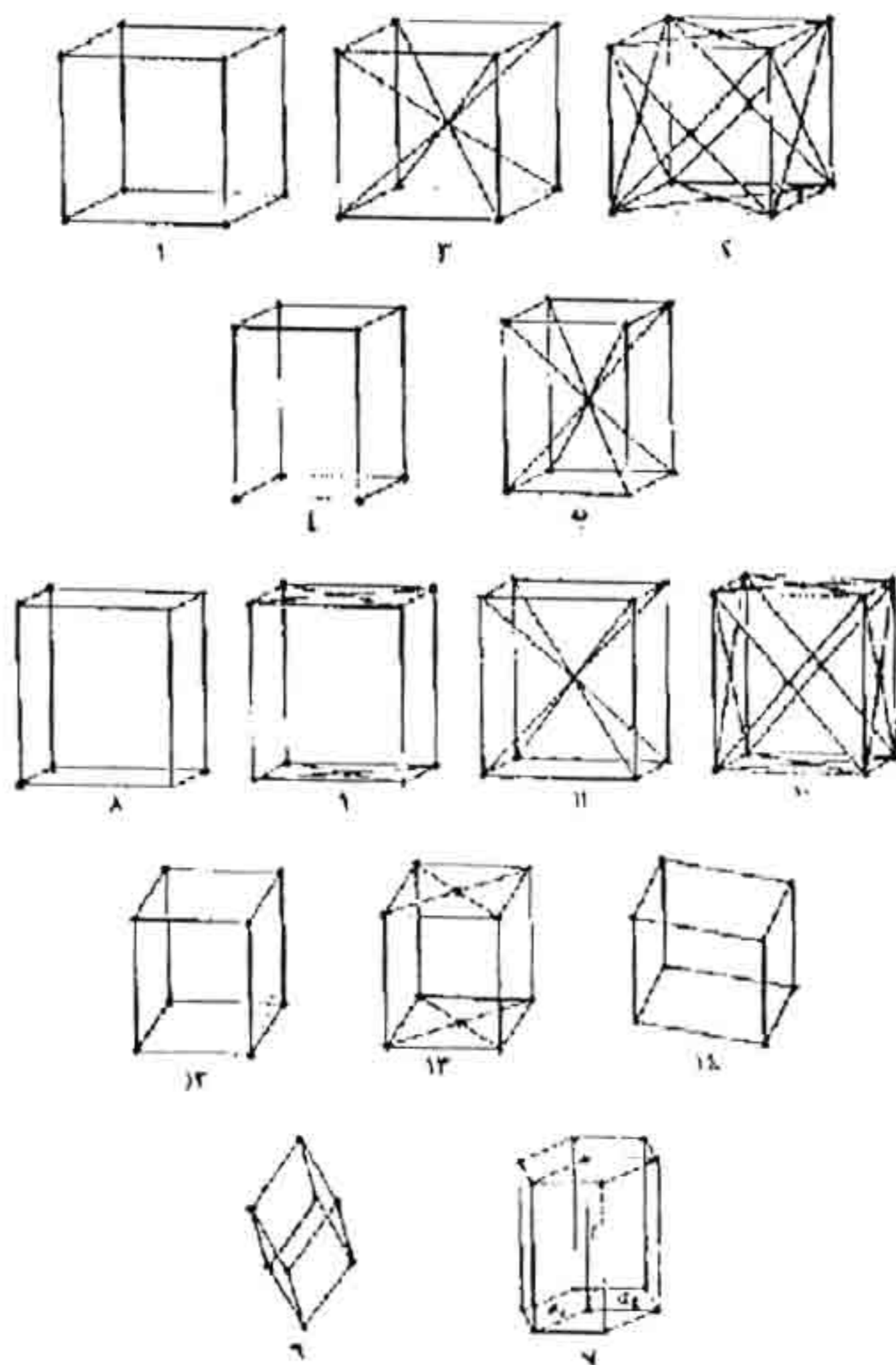
ويعتمد هذا التصنيف على مواصفات معينة ترتبط بأبعاد الخلايا  
الوحدة (ثوابت أو بارامترات الخلية Lattice constants or  
parameters) ... ويعطى الجدول (١) الأنظمة السبعة للعلاقة بين  
ثوابت الشبكة وعلاقتها الزاوية.

الجدول (١): الأنظمة السبعة للخلية الوحدة  
والعلاقة بين ثوابت الشبكة والزاويا المحورية.

م	اسم النظام	العلاقة بين ثوابت الشبكة	العلاقة بين الزوايا المحورية	أمثلة من المركبات
١	مكعبى Cube	$a = b = c$	$\alpha = \beta = \gamma = 90^\circ$	Na Cl
٢	رباعى الزوايا والأضلاع Tetragonal	$a = b \neq c$	$\alpha = \beta = \gamma = 90^\circ$	SO <sub>2</sub>
٣	معينى Orthrhombic	$a \neq b \neq c$	$\alpha = \beta = \gamma = 90^\circ$	KNO <sub>3</sub>
٤	أحادى الميل Monoclinic	$a \neq b \neq c$	$\alpha = \beta = 90^\circ \neq \gamma$	Na <sub>2</sub> SO <sub>4</sub>
٥	ثلاثى الميل Triclinic	$a \neq b \neq c$	$\alpha \neq \beta \neq \gamma \neq 90^\circ$	Ca SO <sub>4</sub>
٦	ثلاثى السطوح Trigonal	$a = b = c$	$\alpha = \beta = \gamma \neq 90^\circ$	كالسيت
٧	سداسى Hexagonal	$a = b \neq c$	$\alpha = \beta = 90^\circ, \gamma = 120^\circ$	Zn O

وتشكل الأنظمة البلورية السبعة أربعة عشر نوعاً من الخلايا الوحدة (خلايا

برافيه) الشكل (٤)



الشكل (٤)

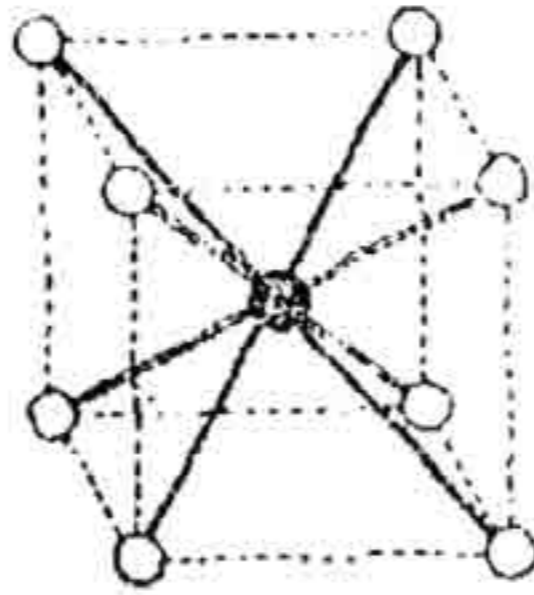
ويوضح الجدول (٢) الأنظمة الأربعة عشر لخلايا برافيه التي تنتمي إلى الأنظمة السبعة

الجدول (٢) الأنظمة الأربعة عشر لخلايا برافيه للخلايا الوحدة

النظام	الأنواع ودالاتها
مكعبى	<p>Simple cell (SC) خلايا بسيطة</p> <p>Face centered cubic (FCC) خلايا متركزة الوجه</p> <p>Body centered cubic (BCC) خلايا متركزة الجسم</p>
رباعي	<p>Simple cell (SC) خلايا بسيطة</p> <p>Body centered cubic (BCC) خلايا متركزة الجسم</p>
معيني	Simple cell (SC) خلايا بسيطة
سداسي	Simple cell (SC) خلايا بسيطة
معيني قائم	<p>Simple cell (SC) خلايا بسيطة</p> <p>Base centered cell (BCC) خلايا متركزة القاعدة</p> <p>Face centered cell (FCC) خلايا متركزة الوجه</p> <p>Body centered cell (Bcc) خلايا متركزة الجسم</p>
أحادي الميل	<p>Simple cell (SC) خلايا بسيطة</p> <p>Base centred cell (BCC) خلايا متركزة القاعدة</p>
ثلاثي الميل	Simple cell (SC) خلايا بسيطة

### (٣-١) إحداثيات الشبكة Lattice coordinates

يوضح الشكل (٥) إحدي خلايا برافيه إحداثياتها  $X, Y, Z$  وحدة الأطوال علي الأحداثي  $X$  هي  $a$  ووحدة الأطوال علي الأحداثي  $Y$  هي  $b$  ووحدة الأطوال علي الأحداثي  $Z$  هي  $c$  ، أي ان بارامترات الشبكة هي  $a, b, c$  ويتميز النظام المكعبي بما يلي :



الشكل (٥)

(١) ثوابت أو بارامترات الشبكة متساوية أي أن  $a=b=c$

(٢) زواياه قائمة أي أن  $\alpha = \beta = \gamma = 90^\circ$

وإذا رجعنا إلي الرسوم التخطيطية لأنماط خلايا برافيه في النظام المكعبي نجد أن : الرقم (١) يمثل خلية بسيطة ، تقع نقاط الشبكة الثمان عند أركان المكعب وإحداثياتها هي :

$$000, 100, 010, 001, 110, 101, 111 \text{ و } \frac{1}{2}\frac{1}{2}\frac{1}{2}$$

الإحداثي 000 يمثل نقطة الأصل .

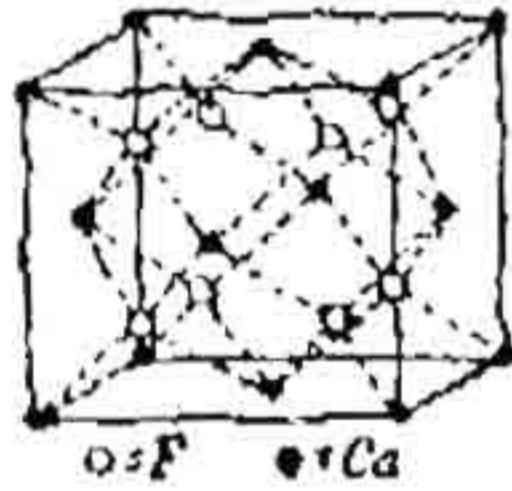
والرقم (٢) يمثل خلية مكعبة متمركزة الجسم ، وإحداثيات الذرة التي تقع عند نقطة تقاطع محاور الخلية هي  $\frac{1}{2}\frac{1}{2}\frac{1}{2}$  فضلا عن إحداثيات الذرات الثمان الأخرى عند الأركان .

والرقم (٣) يمثل خلية مكعبية متمركزة الوجه ذات أربع ذرات في كل خلية إحداثياتها

$$.000, \frac{1}{2}\frac{1}{2}0, 00\frac{1}{2}, \frac{1}{2}0\frac{1}{2}$$

(١-٤) رقم التناسق **Coordination number**.

رقم التناسق يدل على عدد الذرات التي تقع في أقرب جوار لذرة ما



في تركيب بلورى. و يختلف رقم التناسق من نظام لآخر كما في النظام الواحد من نمط لآخر من أنماط خلايا برافيه الأربعة عشر ويوضح الجدول التالى (٣) رقم التناسق لأنماط النظام التكعيبي.

الجدول (٣)

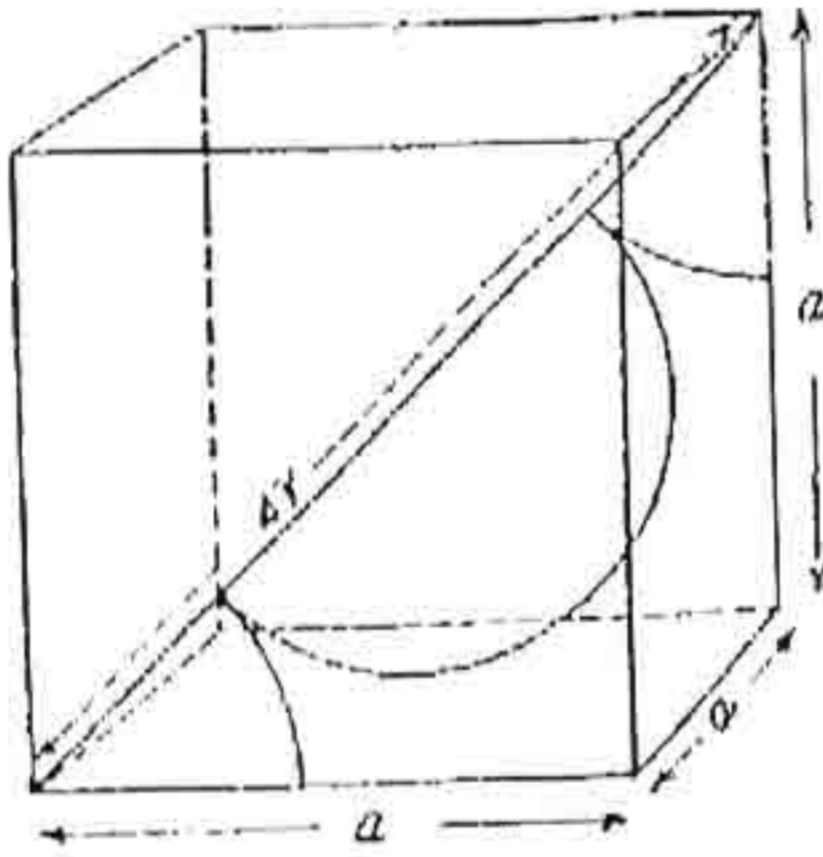
الخلية متمركزة	الخلية متمركزة	الخلية البسيطة	رقم التناسق
الوجه	الجسم		
١٢	٨	٦	

وجدير بالذكر أن المركبات الأيونية لها رقما تناسق، الأول  
للايونات الموجبة والثاني للايونات السالبة.

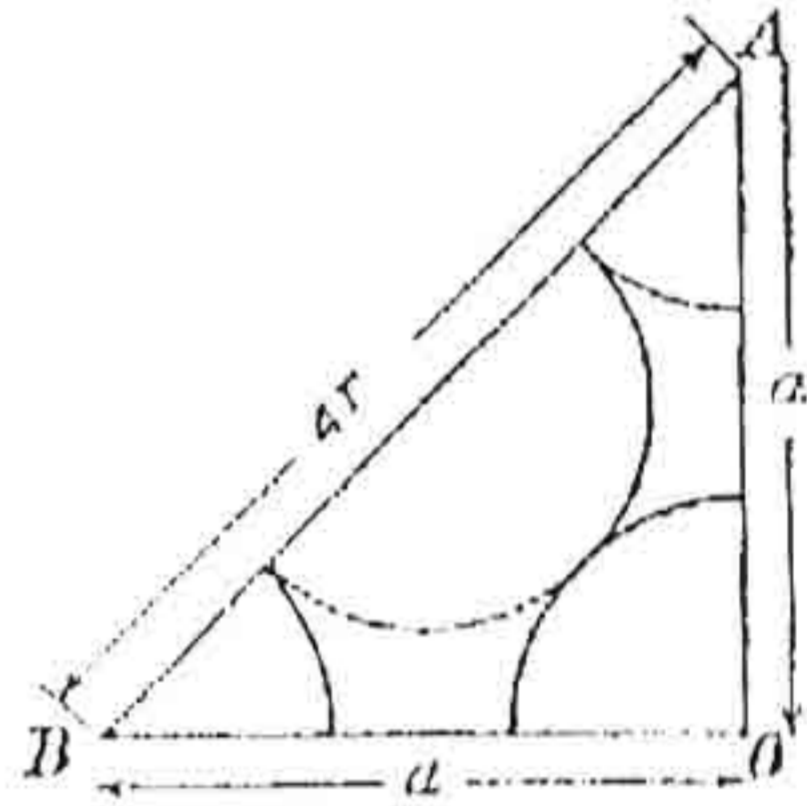
(١-٥) أنصاف أقطار ذرات شبكة بلورية وأحجامها:

بفرض معرفة بارامترات الشبكة البلورية و بفرض أن  
الذرات كرية الشكل و أنها تتلامس في الشبكة يمكن حساب كل من:

١. نصف قطر الذرة.
٢. حجم خلية برافيه.



الشكل (٨)



الشكل (٧)

بالرجوع إلى الشكلين ٧ و ٨ اللذين يمثلان الشبكة المكعبة

المتكعبة الجسم و الشبكة المتمركزة الوجه نلاحظ ما يلي:

• في الشبكة المكعبة البسيطة  $a = 2R$  وبالتالي يكون  $R = \frac{a}{2}$

• في الشبكة المتمركزة الجسم  $a\sqrt{3} = 4R$  وبالتالي يكون  $R = \frac{a\sqrt{3}}{4}$



• فى الشبكة المتمركزة الوجه  $a\sqrt{2} = 4R$  وبالتالى يكون

$$R = \frac{a\sqrt{2}}{4}$$

كما فى الشكل (٧).

وجدير بالذكر أنه فى الشبكة السداسية البسيطة أو المحكمة

الرص يكون  $R = \frac{a\sqrt{3}}{4}$  كما أن حجم الشبكة البلورية فى النظام

المكعبى هو  $a^3$  سواء كانت الخلية بسيطة أو متمركزة الوجه.

وأن عدد نقاط الشبكة لكل خلية يساوى ١ فى الشبكة

البسيطة، ٢ فى الشبكة متمركزة الجسم، ٣ فى الشبكة متمركزة

الوجه. و أن عدد نقاط الشبكة لكل وحدة حجوم يساوى  $\frac{1}{a^3}$

فى الشبكة البسيطة،  $\frac{2}{a^3}$  فى الشبكة متمركزة الجسم،  $\frac{4}{a^3}$  فى

الشبكة متمركزة الوجه.

ويخلص الجدول (٤) البيانات المشار إليها فى هذه الفقرة للنظام المكعبى.

الجدول (٤) خصائص النظام المكعبى

الكمية	الخلية البسيطة	الخلية متمركزة الجسم	الخلية متمركزة الوجه
رقم التناسق	6	8	12
نصف قطر الذرة	$\frac{a}{2}$	$\frac{a\sqrt{3}}{4}$	$\frac{a\sqrt{2}}{4}$
حجم الشبكة	$a^3$	$a^3$	$a^3$
عدد نقاط (ذرات) الشبكة فى كل خلية	1	2	4
عدد نقاط (ذرات) الشبكة فى وحدة الحجوم	$\frac{1}{a^3}$	$\frac{2}{a^3}$	$\frac{4}{a^3}$

(١-٦) عدد الذرات في كل خلية:

- في الخلية المكعبية البسيطة توجد ثمان ذرات عند الأركان الثمانية كل منها تعد عضوا في الخلايا الثمان المحيطة بالركن و يصبح

$$\text{عدد الذرات في كل خلية} = \frac{8}{8} = 1$$

و يكون حجمها هو:  $a^3 = \text{الحجم}$ .

- في الخلية المكعبية المتمركزة الجسم توجد ثمان ذرات عند الأركان الثمانية كما توجد ذرة عند مركز الشبكة و يصبح:

$$\text{عدد الذرات في كل خلية} = \frac{8}{8} + \frac{1}{1} = 2$$

ويكون حجمها هو:  $2 \times \frac{4}{3} \pi R^3$  حجمها

- في الخلية المكعبية المتمركزة الوجه توجد ثمان ذرات عند الأركان الثمانية كما توجد ذرة عند مركز كل وجه من أوجه المكعب، كل منها يعد عضوا في خليتين على جانبيها و يصبح:

$$\text{عدد الذرات في كل خلية} = \frac{8}{8} + \frac{8}{8} = 4$$

أمثلة محلولة:

(١) أحسب ثابت الشبكة في الحالات الآتية:

- (أ) شبكة متمركزة الوجه FCC للنحاس إذا كان نصف قطر ذرة النحاس = 1.276 أنجستروم؟

(ب) شبكة متمركزة الوجه FCC للفضة إذا كان نصف قطر ذرة الفضة = 1.441 أنجستروم.

للنحاس (أ) الحل:

$$a = \frac{4r}{\sqrt{2}} = \frac{4 \times 1.276}{\sqrt{2}} = 3.08 \text{ \AA}$$

للفضة (ب)

$$a = \frac{4r}{\sqrt{2}} = \frac{4 \times 1.441}{\sqrt{2}} = 3.078 \text{ \AA}$$

(٢) بفرض أن نقاط الشبكة لثابت الشبكة a في شبكة متمركزة

الجسم في نظام مكعبي تكون مشغولة بذرات نصف قطرها  $R_L$ .

(أ) احسب الحجم الحر لكل خلية (الحجم الخالي في الشبكة).

(ب) عين نصف قطر كرة يتفق حجمها مع الفراغات بين نقاط الشبكة التي لا تشغل الحجم الكلي لهذه الخلية.

الحل:

$$\text{حجم الخلية الوحدة} = a^3$$

ونظرا لأن الذرات تتلامس على طول القطر ، لذلك:

$$4 R_L = a \sqrt{3}$$

$$R_L = a \frac{\sqrt{3}}{4}$$

ومن ثم يكون حجم الذرتين بدلالة a هو:

$$= 2 \times \frac{4}{3} \Pi \left[ \frac{a\sqrt{3}}{4} \right]^3$$

ويصبح الحجم الحر أو الخالي هو

$$= a^3 - \frac{8}{3} \Pi \left[ \frac{a^3 3\sqrt{3}}{64} \right]^3$$

الحجم الحر

$$= a^3 \left[ 1 - \frac{\pi\sqrt{3}}{8} \right]$$

ت) أطول فراغ في الشبكة المتمركزة الجسم يقع الاحداثى  $0 \frac{1}{4} \frac{1}{2}$  (لاحظ وجود نقاط متكافئة عديدة في كل خلية).  
وإذا أدخلت ذرة كرية جديدة نصف قطرها  $R_x$  عند هذه النقطة يكون:

$$\begin{aligned} (R_L + R_x)^2 &= \left(\frac{a}{4}\right)^2 + \left(\frac{a}{2}\right)^2 \\ &= a^2 \left(\frac{5}{16}\right) \\ \therefore R_L + R_x &= \frac{a\sqrt{5}}{4} \end{aligned}$$

وبالتعويض عن  $R_L$  من النتيجة السابقة نجد أن:

$$\begin{aligned} \frac{a3}{4} + R_x &= \frac{a\sqrt{5}}{4} \\ R_x &= \frac{a}{4} \left[ 5^{\frac{1}{2}} - 3^{\frac{1}{2}} \right] \end{aligned}$$

وبالتالى فان:

$$\frac{R_x}{R_L} = 0.29$$

أى أن قطر الكرة المقحمة يساوى تقريبا  $1/3$  قطر ذرة الشبكة.

## (٧-١) عامل الرص Packing Factor

عامل الرص هو كسر الحجم الذي تشغله الذرات الكرية مقارنة بالحجم الكلي والمتاح لحجم الخلية .

ويوضح المثال التالي كيفية حساب عامل الرص  $f$  لبلورات مكعبة.

مثال (٣) : أحسب عامل الرص لنظام مكعبي (أ) خلية بسيطة (ب) خلية متمركزة الجسم (جـ) خلية متمركزة الوجه علماً بأن ثابت الشبكة و عامل التعبئة يتم تعيين كل منهما كما يلي :

- الخلية البسيطة  $f = \frac{\pi}{6}$  و  $a=2R$
- الخلية المتمركزة الجسم  $f = \frac{\pi\sqrt{3}}{8}$  و  $a = \frac{4R}{\sqrt{3}}$
- الخلية المتمركزة الوجه  $f = \frac{\pi\sqrt{3}}{6}$  و  $a = \frac{4R}{\sqrt{2}}$

الحل :

أ) في الخلية البسيطة: نظراً لوجود ذرة في كل خلية وحدة (أرجع إلى الجدول التابع للفقرة السابقة يكون).

$$\text{حجمها} = \frac{4}{3}\pi R^3 = \frac{4}{3}\pi\left(\frac{a}{2}\right)^3 = \frac{\pi}{6}a^3$$

لكن

$$\text{حجم الخلية} = a^3$$

وبذلك يكون كسر الحجم الذي تشغله الذرة (عامل الرص  $f$ ) هو :

$$f = \frac{\pi}{6}a^3 \div a^3 = \frac{\pi}{6}$$

ب) في الخلية متمركزة الجسم : عدد الذرات لكل خلية يساوي 2

$$\begin{aligned} \text{حجمهما} &= 2 \times \frac{4}{3} \pi R^3 = \frac{8}{3} \pi \left( \frac{a\sqrt{e}}{4} \right)^3 \\ &= \frac{\pi\sqrt{3}}{8} a^3 \end{aligned}$$

لكن

$$\text{حجم الخلية} = a^3$$

وبذلك يكون عامل الرص هو:

$$f = \frac{\pi\sqrt{3}}{8} a^3 \div a^3 = \frac{\pi\sqrt{3}}{8}$$

فى الخلفية المتمركزة الوجه: توجد أربع ذرات فى كل خلية

$$\text{حجمها} = 4 \times \frac{4}{3} \pi R^3 = \frac{16}{3} \pi \left( \frac{a\sqrt{2}}{4} \right)^3 = \frac{\pi\sqrt{2}}{6} a^3$$

لكن

$$\text{حجمها} = a^3$$

عندئذ يكون عامل الرص هو:

$$f = \frac{\pi\sqrt{2}}{6} a^3 \div a^3 = \frac{\pi\sqrt{2}}{6}$$

(٨-١) حساب الكثافة بالإستعانة ببارامترات الشبكة

بمعرفة بارامترات الشبكة التى تم حسابها بواسطة الأشعة

السينية المحادة (كما سنوضح ذلك فيما بعد) يمكن حساب الكثافة

للتأكد من صحة النتائج.

فبالنسبة للحديد مثلاً ثابت أو بارامتر الشبكة  $a = 2.86$  أنجستروم  
وأن كل خلية (متمركزة الجسم) تحتوى على ذرتين ، يمكن حساب  
كتلة كل خلية وبالتالي كثافة الحديد . حيث

$$\text{الكثافة} = \frac{\text{كتلة الخلية الوحدة}}{\text{حجم الخلية}}$$

$$= \frac{\text{عدد ذرات كل خلية لها الكتلة الذرية}}{(\text{بارامتر الشبكة})^3}$$

ونظراً لان الكتلة الذرية للحديد = 55.84 جم / جزيء  
وعدد أفوجادرو =  $6.025 \times 10^{23}$   
فإن  $\frac{55.84}{6.025 \times 10^{23}}$

$$= \text{كتلة الذرة الواحدة}$$

وتكون كثافة الحديد هي:

$$\text{كثافة الحديد} = \frac{2 [55.84 / 6.025 \times 10^{23}]}{(2.086 \times 10^{-6})^3}$$

$$= 7.9 \quad (\text{جم / سم}^3)$$

مثال ٤: إذا كان نصف قطر النحاس = 1.276 أنجستروم وأن خلايا

برافيه للنحاس تنتمي إلى نمط "الخلية المتمركزة الوجه" ،

أحسب كثافة النحاس علماً بأن الكتلة الذرية للنحاس

$$63.57$$

الحل : ثابت أو بارامتر الشبكة

$$a = \frac{4R}{\sqrt{2}} = \frac{4 \times 1.276 \times 10^{-8}}{\sqrt{2}}$$

$$= 3.6 \times 10^{-8} \text{ cm}$$

لكن عدد ذرات كل خلية من هذا النمط تحتوى على أربع ذرات

$$\begin{aligned} \text{عدد ذرات كل خلية} \times \text{الكتلة الذرية} &= \text{كثافة النحاس} \\ &= \frac{4(63.57 / 6.025 \times 10^{23})}{3.6 \times 10^{-8}} \\ &= 9.0 \text{ g/cm}^3 \end{aligned}$$

**مثال ٥:** إذا كان تركيب الماس يمكن النظر إليه كشبيكتين متمركزتي الوجه متداخلتين وإن بارامتر شبيكة الماس هو 3.56 أنجستروم بين أن عدد الذرات لكل سم<sup>3</sup> يساوى  $1.77 \times 10^{23}$

ومن هذه النتيجة أحسب كثافة الماس وقارنها بكثافته المعروفة

علماً بأن الكتلة الذرية للماس = 12.2

**الحل:** نظراً لأن الماس يتكون من شبيكتين متمركزتي الوجه متداخلتين فإن عدد الذرات في كل شبيكة لكل خلية وحدة يساوى 4 ذرات ويكون.

$$= 2 \times 4 = 8 = \text{العدد الكلى للذرات في كل خلية وحدة .}$$

ويكون

$$\begin{aligned} \text{عدد الذرات / سم}^3 &= \frac{8}{(3.56 \times 10^{-8})^3} \\ &= 1.77 \times 10^{23} \end{aligned}$$

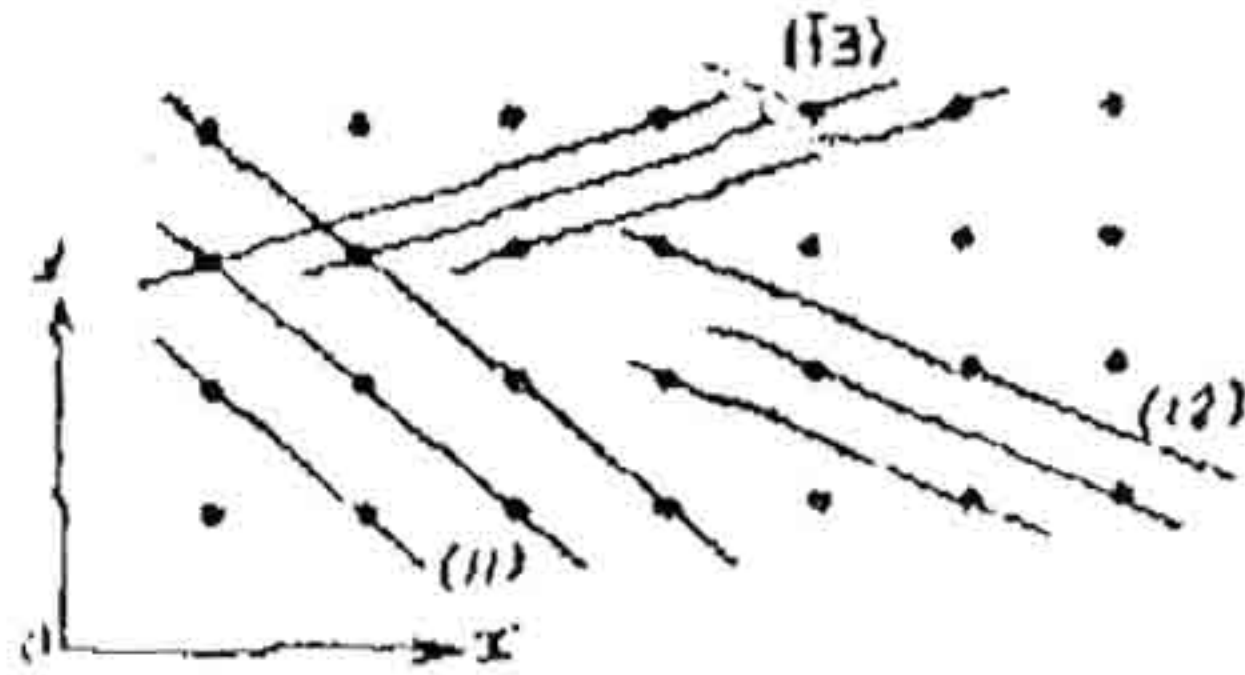


$$\text{كتلة الذرة} = 12.2 / 6.025 \times 10^{23}$$

وتكون

$$\text{الكثافة} = \frac{1.77 \times 10^{23} \times 12.2}{6.025 \times 10^{23}} = 3.54 \text{ g/cm}^3$$

وهي أكبر قليلاً من كثافة الماس المعروفة وهي 3.50 جم/سم<sup>3</sup>  
(٩-١) معاملات ميلر (مستويات البلورة)

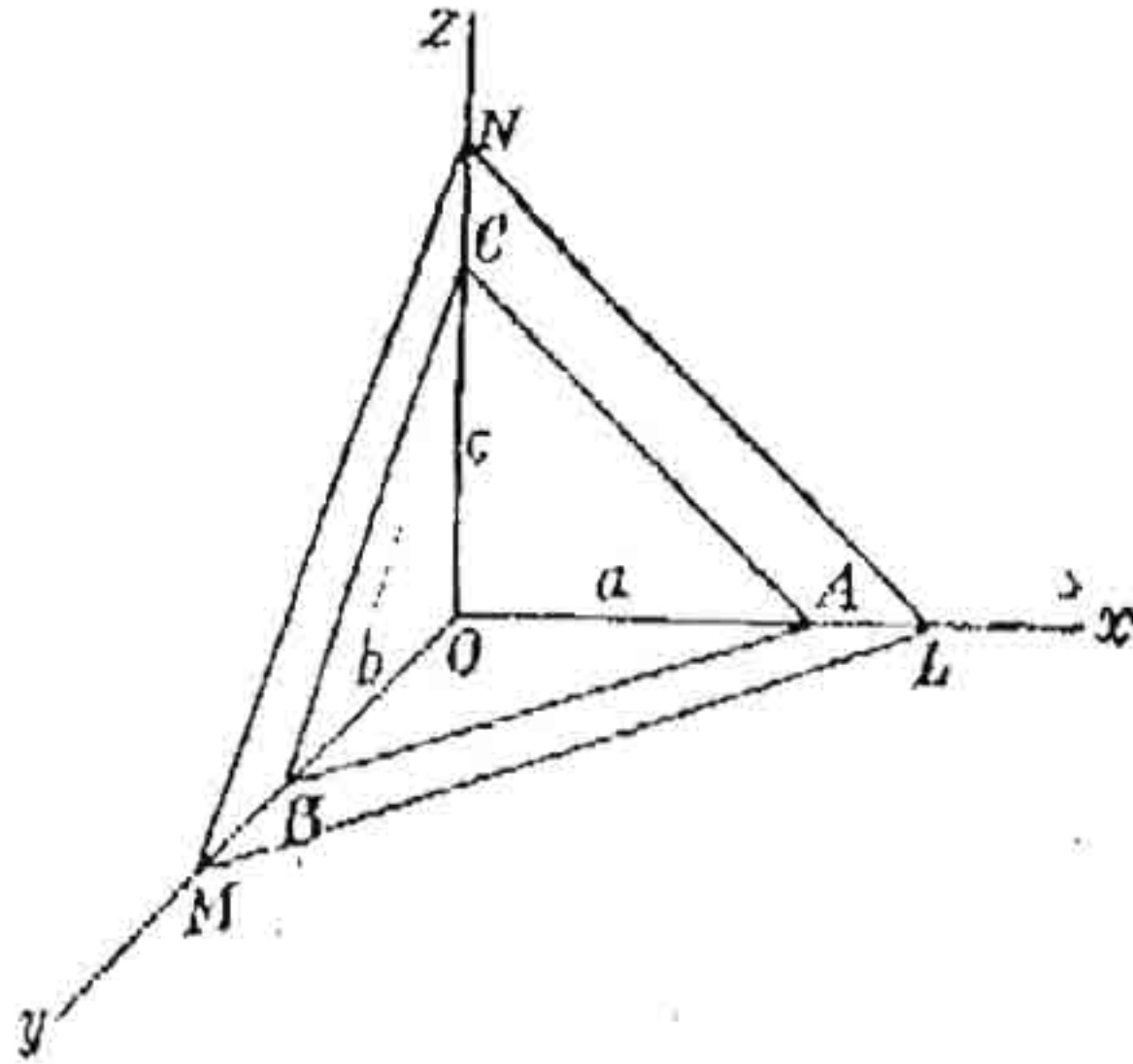


### Miller Indices (Crystal Planes)

الشكل (٩)

يمكن النظر إلى أن نقاط شبكة حيزية معينة تشغل مجموعات من المستويات المتوازية كما في الشكل (٩) كل مجموعة من المستويات لها اتجاه محدد بالنسبة لإحداثيات الخلية الوحدة (خلية برافيه) ولتعيين هذا الاتجاه بالنسبة للإحداثيات نستخدم ما يسمى "معاملات ميلر" ويتم تعريف هذه المعاملات كما يلي:

لنأخذ في الإعتبار نظاماً ثلاثي الأبعاد نقطة الأصل فيه هي النقطة O



الشكل (١٠)

وأن  $ox$  ،  $oy$  ،  $oz$  تمثل الإحداثيات البلورية، كما في الشكل (١٠) وفيه  $ABC$  يمثل أحد مستويات  $OA$  يساوي  $a$  ،  $OB$  يساوي  $b$  و  $OC$  تساوي  $c$  التي تدل على وحدة المسافات المحصور. ولنفرض أن  $LMN$  هو أحد المستويات الأخرى ، الإحداثيات الثلاثة فيه هي على الترتيب  $pa$  ،  $qb$  ،  $rc$

معاملات ميلر لمجموعة المستويات المتوازية للمستوى  $LMN$  هي بحيث :

$$h : k : l :: \frac{1}{p} : \frac{1}{q} : \frac{1}{r}$$

بشرط أن  $h$  ،  $k$  ،  $l$  هي أقل قيم صحيحة ممكنة تحقق المعادلة السابقة .

وكما في الشكل (١٠) تكون معاملات المسافات المحصورة  $a, b, c$  في المستوى  $ABC$  تساوي جميعها الوحدة. وتكون مقلوباتها بالتالي هي  $1 : 1 : 1$  ومن ثم تكون معاملات ميلر للمستوى  $ABC$  هي (111).

والآن إذا كان المستوى  $LMN$  يقطع الإحداثيات البلورية  $OZ, OY, OX$  عند  $L, M, N$  التي تكون معاملاتها الثلاثة على الترتيب  $2, 2, 3$  مرة قدر وحدات المسافات المحصورة  $a, b, c$  على الترتيب.

وتكون مقلوباتها  $\frac{1}{3}, \frac{1}{2}, \frac{1}{2}$  ويكون المضاعف المشترك الأصغر للمقام يساوي  $6$ ، وتصبح النسبة هي  $\frac{2}{6}, \frac{3}{6}, \frac{2}{6}$  وبالضرب في المقام تصبح النسب هي  $2 : 3 : 3$  وتكون معاملات ميلر لهذا المستوى هي (233).

وقد يكون أحد معاملات ميلر أو أكثر سالبا عندما تكون المسافات المحصورة المناظرة سالبة، ومن المتفق عليه وضع إشارة سالبة فوق المعامل وعندئذ تكتب معاملات ميلر على الصورة  $(hkl)$  أو  $(\bar{h}k\bar{l})$  ... إلى آخره.

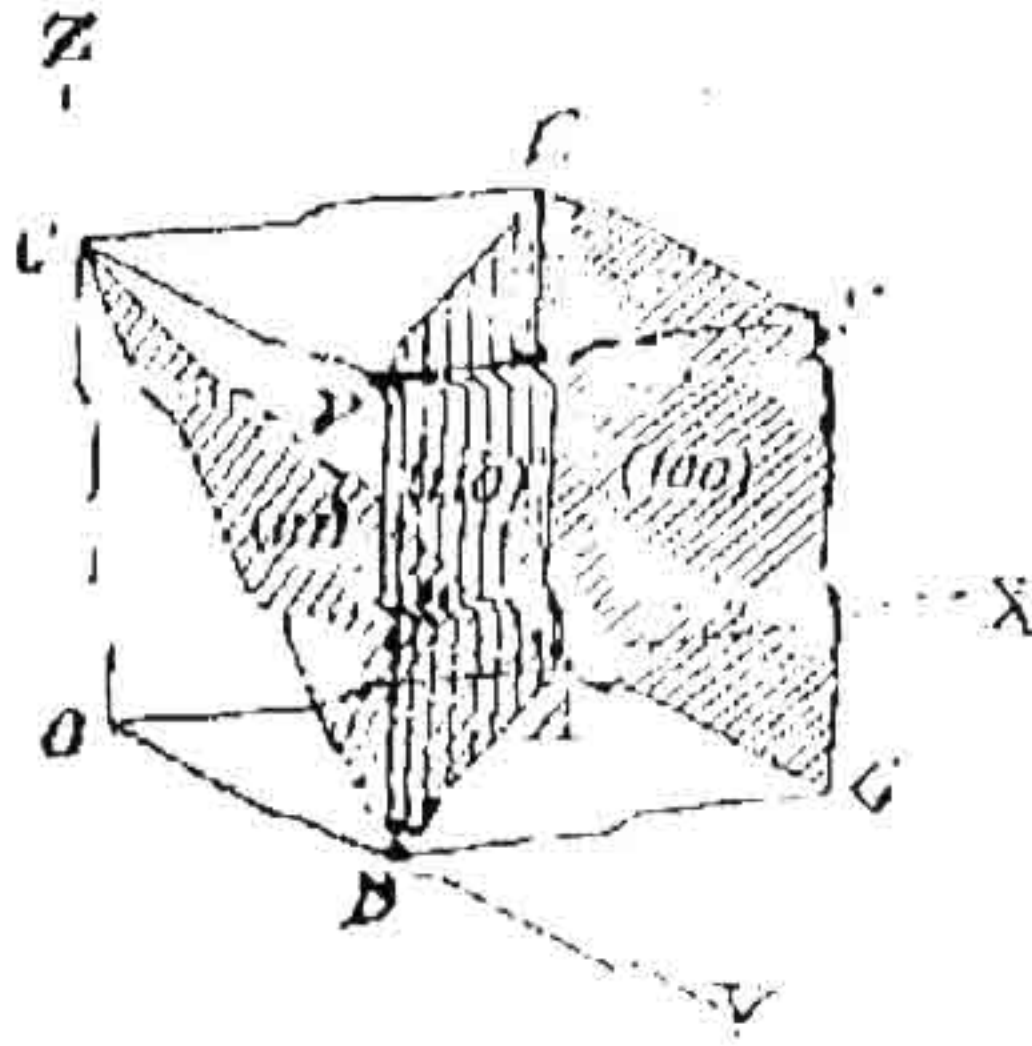
لذلك إذا كانت المسافات المحصورة هي  $-2c, 2b, -4a$  تكون معاملات ميلر هي (122).

ويمكن تلخيص طريقة تعيين معاملات ميلر لمستويين كما يلي:

- ١- نعين أولاً المسافات المحصورة للمستوى على طول الإحداثيات  $X, Y, Z$  بدلالة  $a, b, c$  على الترتيب.
- ٢- توجد مقلوبات هذه المسافات المحصورة.

٣- نوجد المضاعف المشترك الأصغر للمقام ، ثم نتخلص منه بعد ضرب كل حد في قيمة المضاعف المشترك الأصغر لنحصل على معاملات ميلر للمستوى وجدير بالذكر أن هذه العملية لا تغير من اتجاه المستوى.

•• معاملات ميلر وفواصل المستويات في بلورة ذات نظام مكعبى:

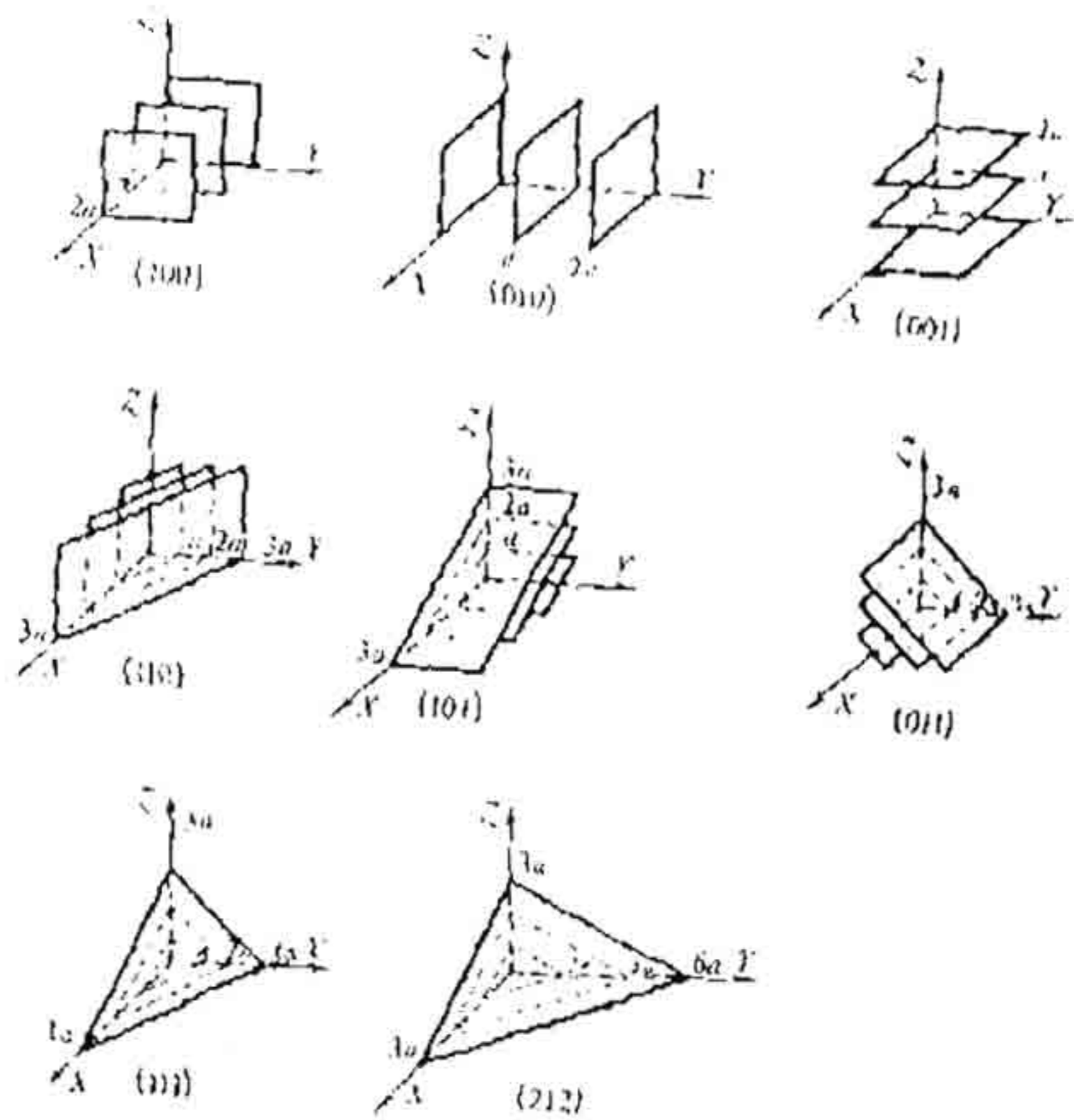


الشكل (١١)

لإيجاد معامل ميلر وفواصل المستويات في بلورة مكعبية نستعين بالشكل (١١) احدائياتها  $Ox$  ,  $Oy$  ,  $Oz$  , تحصر بينها زوايا قائمة.

المستوى EFGA لهذا المكعب أو أى مستوى مواز للاحدائيات  $Z$  ,  $Y$  وتقاطعاتها على الاحداثين تمتد إلى ما لا نهاية . وإذا كان  $OA$  يساوى الوحدة تكون معاملات ميلر هي مقلوبات:  $1, \infty, \infty$  أى (100)

وبالمثل تكون معاملات ميلر للمستوى الموازي للوجه  
BGFD هي (010) وللمستوى مواز للوجه FDCE هي (001)  
وعلى سبيل المثال تكون جميع أوجه المكعب لشبكة مكعبية متكافئة.  
ولتحديد هذه المجموعة من المستويات يمكن كتابة (100) ليشمل  
المستويات , (010) , (001) , (100) , (010) , (001)  
(100) ويكون للمستوى القطري BAED فواصل متساوية  
على OX, OY تساوي الوحدة مع وضع الفاصل على الأحداثي 2  
يساوي  $\infty$  وتكون معاملات ميلر لهذا المستوى (110) . وتكون  
معاملات ميلر للمستوى ABC هي (111). كل من هذه المستويات  
تكون مع المستويات الموازية لها مجموعة من المستويات المتكافئة. إذ  
تكافأ هذه المستويات في خواصها الفيزيائية والبلورية وتكتب عائلة  
المستويات المتكافئة في قوس مركب [hkl] ويمثل الشكل (١٢)  
معاملات ميلر لبعض مستويات التكافؤ في البلورات المكعبة.



الشكل (١٢)

وبمعرفة معاملات ميلر  $(hkl)$  في النظام المكعبي يمكن

حساب الفواصل بين المستويات المتتالية المتوازية من العلاقة :

$$d_{hkl} = \frac{a}{\sqrt{h^2 + k^2 + l^2}}$$

حيث  $a$  هي ثابت أوبارامتر الشبكة

تم تأكيد هذه النتائج بواسطة براج Bragg كما سنتبين فيما بعد حيث أنه بمعرفة زوايا الأشعة السينية المحادة  $\Theta$  والطول الموجي  $\lambda$  للأشعة السينية يمكن حساب الفواصل بين المستويات المتوازية بالإستعانة بمعادلة براج على الصورة.

$$2 d \sin \Theta = n \lambda$$

هنا  $n$  هي رتبة الحيود.

### \* أهمية معاملات ميلر:

- ١ - جميع الخوص المتساوية بين المستويات المتوازية ذات إتجاه معين ولها نفس معاملات ميلر.
- ٢ - المستوى الموازي لأى احدائى ، له فاصل يساوى  $\infty$  وبالتالي يكون معامل ميلر له على هذا المحور يساوى الصفر.
- ٣ - لا تحدد معاملات ميلر مستو معين بل مجموعة من المستويات المتوازية .
- ٤ - النسبة بين المعاملات مهمة فى هذا الاتجاه . فالمستويات (622) هى نفسها المستويات (311).

(١-١) المعاملات الإتجاهية (معاملات الإتجاه) :

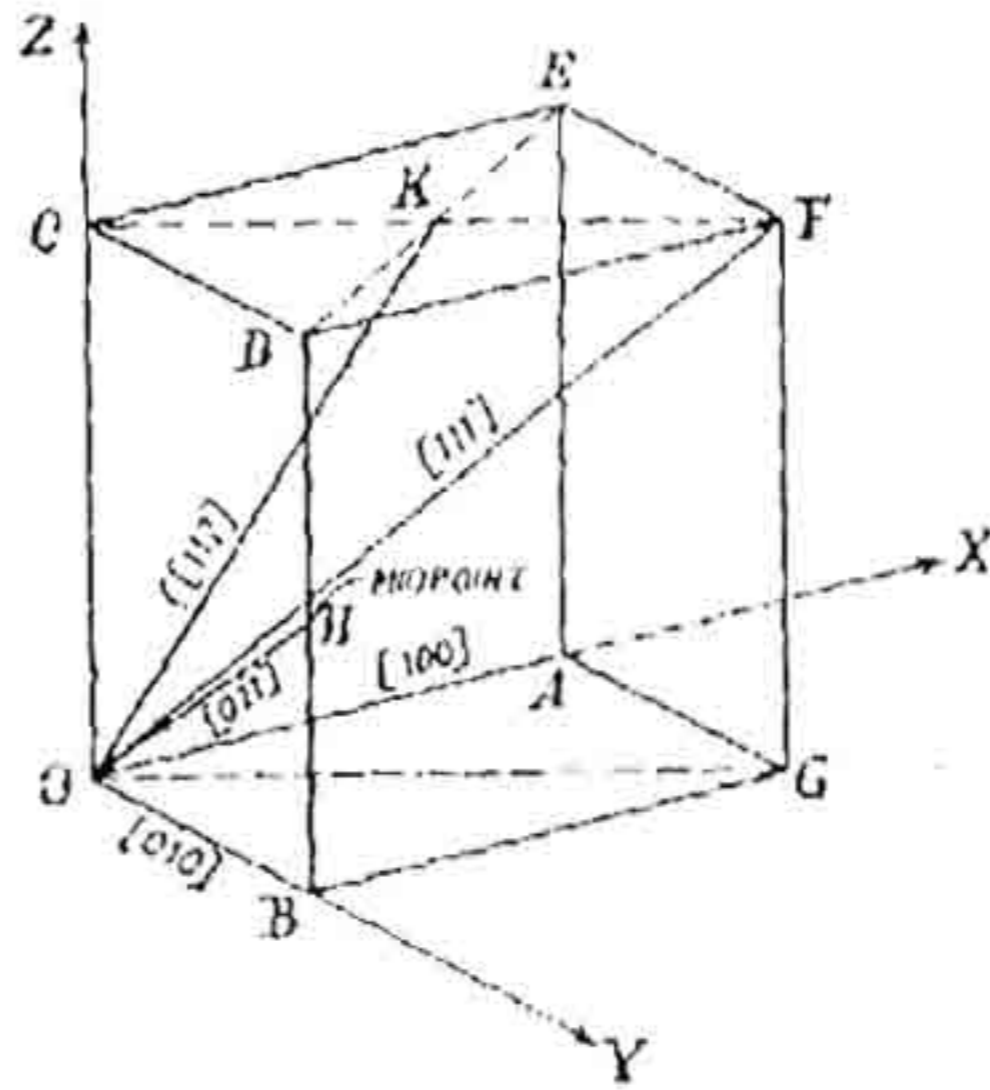
### Direction indices

يكون ضروريا فى بعض الأحيان تحديد إتجاه نقطة داخل البلورة ، تستخدم لهدم الغرض المعاملات الثلاثة  $W, V, U$  داخل قوسين مربعين  $[U, V, W]$  هذه المعاملات أعداد صحيحة وليس لها مضاعف مشترك أكبر من الواحد الصحيح. فمعاملات الاتجاه لنقطة

هى ببساطة الاحداثيات إلى هذه النقطة بحيث أن المتجه بين نقطة الأصل والنقطة يكون هو الإتجاه المطلوب.

والإتجاه المحدد بالرمز  $[u, v, w]$  يمكن الحصول عليه كما يلي:

تحرك مسافة تساوى  $a$  على  $u$  على طول الاحداثى  $a$  ،  $b$  على  $v$  على طول الاحداثى  $b$  ،  $w$  على طول الاحداثى  $c$  ، ويعطى المتجه الذى يصل النقطة بنقطة الأصل الإتجاه الموضح بهذا الرمز. لهذا ففى بلورة مكعبية يعطى إتجاه الإحداثى بواسطة  $[100]$  واتجاه الاحداثى  $y$  بواسطة  $[010]$  وللإحداثى  $z$  بواسطة  $[001]$  . ويمكن أيضاً



الشكل (١٣)

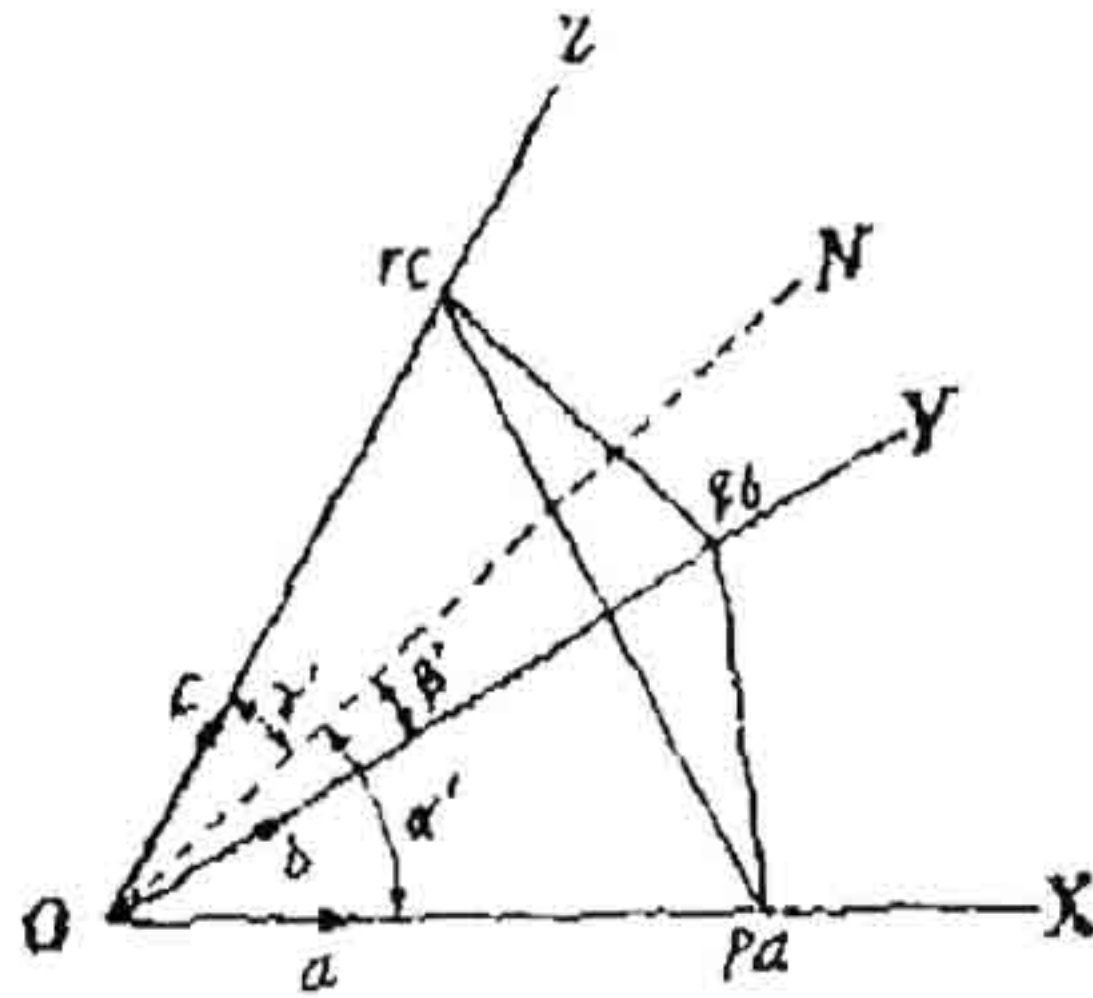
استخدام الإشارات السالبة لوصف إتجاه معين فى الشبكة كما فى حالة معاملات ميلر . ويوضح الشكل (١٣) معاملات الإتجاه لبعض



الخطوط في البلورة المكعبية . يوضح الشكل (١٣) إتجاهات بعض  
الخطوط على النحو التالي:

OE, [110] , OA[100] , OF[111] , OK [112] ,  
OH[021], OB[010]

وترتبط معاملات ميلر بجيوب التمام الاتجاهية عندما تكون  
الاتجاهات مرسومة من نقطة الأصل، وإذا كانت الزوايا بين العمود  
ON على المستوى الذي تكون فواصله على الاحداثيات كل على  
حدة هي  $pa, qb, rc$  . كما في الشكل (١٤) . وإحداثيات البلورة هي  
الزوايا  $\alpha', \beta', \gamma'$  على الترتيب يمكن الحصول على العلاقة



الشكل (١٤)

$$\begin{aligned} \cos \alpha' : \cos \beta' : \cos \gamma' &= \left( \frac{1}{pa} \right) : \left( \frac{1}{qb} \right) : \left( \frac{1}{rc} \right) \\ &= \left( \frac{h}{a} \right) : \left( \frac{k}{b} \right) : \left( \frac{l}{c} \right) \end{aligned}$$

ونظراً لأن  $a = b = c$  في البلورة المكعبية البسيطة فإن:

$$\cos \alpha' : \cos \beta' : \cos \gamma' = h : k : l$$

أو أن جيوب التمام الاتجاهية للعمود على هذه المستويات هي نفسها معاملات ميلر للمستويات.

أمثلة محلولة:

١- قارن بين قيم  $d_{200}$  ،  $d_{111}$  في بلورة رصاص متمركزة الوجه علماً بأن نصف قطر ذرة الرصاص 1.743 أنجستروم.  
الحل:

$$a = \frac{4R}{\sqrt{2}} = \frac{4 \times 1.743}{\sqrt{2}} = 4.93 \text{ \AA}$$

$$\therefore d_{hkl} = \frac{a}{\sqrt{h^2 + k^2 + l^2}}$$

$$\therefore d_{200} = \frac{4.93}{\sqrt{4 + 0 + 0}} = 2.465 \text{ \AA}$$

$$\therefore d_{111} = \frac{4.93}{\sqrt{1 + 1 + 1}} = \frac{4.93}{\sqrt{3}} = 2.85 \text{ \AA}$$

٢- بلورة أحد الخامات من النظام المكعبي وضعت في مطياف الأشعة السينية فكانت فواصل أوجه البلورة  $a$  ,  $b$  ,  $c$  كما يلي :

أوجه البلورة	A	b	C
1	0.287	1.0	0.251
2	0.287	1.0	$\infty$
3	$\infty$	3.6	0.125
4	0.287	$\infty$	$\infty$
5	0.866	0.2	0.125
6	0.574	$\infty$	0.125

أوجد معاملات ميلر لهذه الأوجه.

الحل :

نظراً لأن فواصل الوجه الأول للبلورة تدل على مستو يتم اختياره عشوائياً بالمستوى (111) أو أن وحدات الفواصل على الإحداثيات الثلاثة هي 0.251, 1.0, 0.287 . ولما كانت الفواصل عبارة عن مضاعفات أو قاسم (جزء) منه، فإن هذه الفواصل تكون على النحو التالي.

أوجه البلورة	a	b	C
1	1	1	1
2	-1	1	$\infty$
3	$\infty$	3.6	$\frac{1}{2}$
4	1	$\infty$	$\infty$
5	3	2	$\frac{1}{2}$
6	2	$\infty$	$\frac{1}{2}$

وتكون مقلوباتها هي :

أوجه البلورة	A	b	C
1	1	1	1
2	-1	1	0
3	0	$\frac{1}{3}$	2
4	1	0	0
5	$\frac{1}{3}$	$\frac{1}{2}$	2
6	$\frac{1}{2}$	0	2

ومن ثم تكون معاملات ميلر للأوجه الستة على الترتيب هي :

(104) , (23 12) , (100) , (016) , (1 10) , (111)

٣- بلورية رباعية قائمة فيها  $a : b : c = 0.45 : 1 : 0.3777$

أوجد معامل ميلر التي تكون فواصلها هي :

$$0.214 : 1 : 0.188$$

$$0.858 : 1 : 0.754$$

$$0.429 : \infty : 0.126$$

الحل :

تكون الفواصل بدلالة وحدات أطوال الأحداثيات هي

$$\frac{1}{2} : 1 : \frac{1}{2}$$

$$2 : 1 : 2$$

$$1 : \infty : \frac{1}{3}$$

بإيجاد مقلوبات هذه الأعداد واختصارها إلى أعداد صحيحة نحصل

على معاملات ميلر وهي :

$$(212), (121), (103)$$

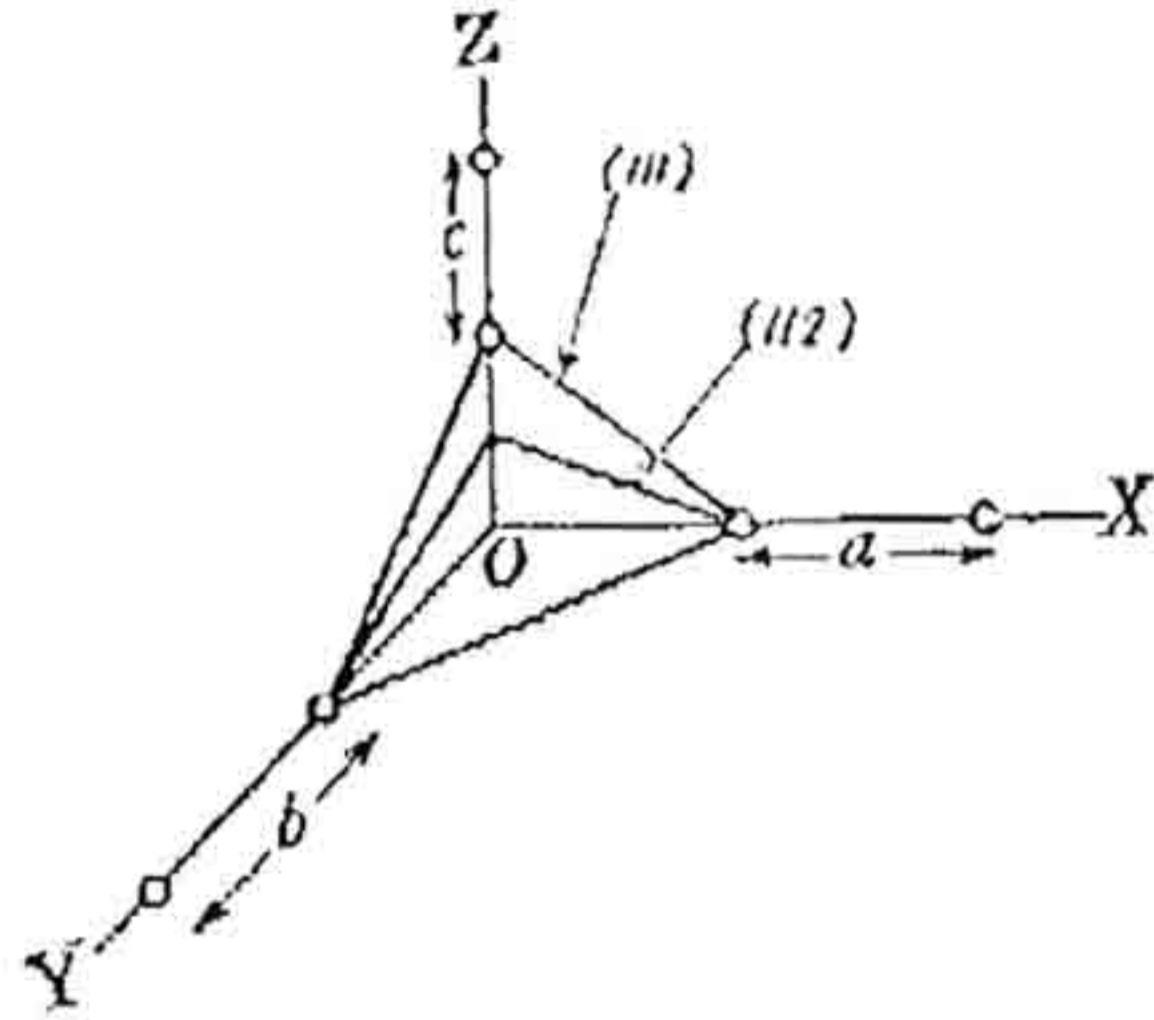
٤- ارسم المستوى  $(112)$  في بلورة مكعبة بسيطة .

الحل :

تكون مقلوبات معاملات ميلر وهي:  $\frac{1}{2}, 1, 1$

لهذا فإن  $a = 1$  ،  $b = 1$  و  $c = \frac{1}{2}$  وحدة

أطوال في الخلية الوحدة .



الشكل (١٤)

المستوى المطلوب مرسوم في الشكل (١٤)

ونظرا لأن المستويات المتوازية لها نفس معاملات ميلر فإن  
 المستوى الثاني يتم رسمه مع فواصل تقطع الإحداثيات في 2, 2, 1  
 وحدة أطوال على طول الإحداثيات  $X, Y, Z$  على الترتيب .  
 ٥ - ارسم جميع المستويات (110) التي تمر خلال خلية وحدة  
 متمركزة الوجه.

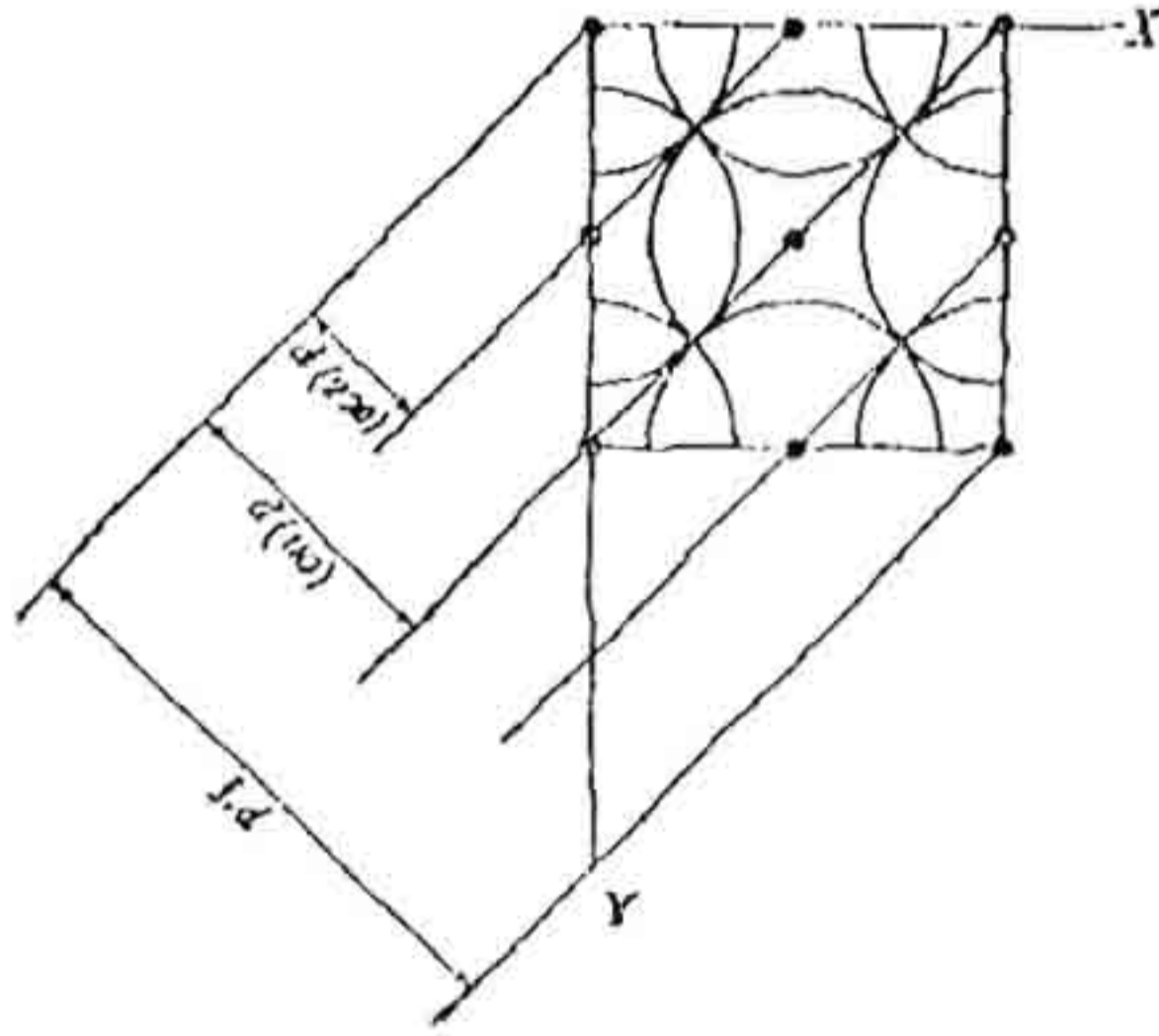
الحل:

مقلوبات معامل ميلر (110) مقلوبات  $1, 1, \alpha$  وحدة  
 أطوال على الترتيب .

ويكون المستوى أحد أفراد عائلة من المستويات لها

فواصل كما في الشكل (١٥)

الشكل (١٥) لفراغات البينية (110) توجد أربعة فراغات بينية في كل وجه قطري للخلية متمركزة الوجه . ونظرا لأن وحدات الأطوال الثلاث متساوية في التركيب المكعبى توجد خمسة أخرى هي :



الشكل (١٥)

$$m = 0, 0, \infty$$

$$n = \frac{1}{2}, \frac{1}{2}, \infty$$

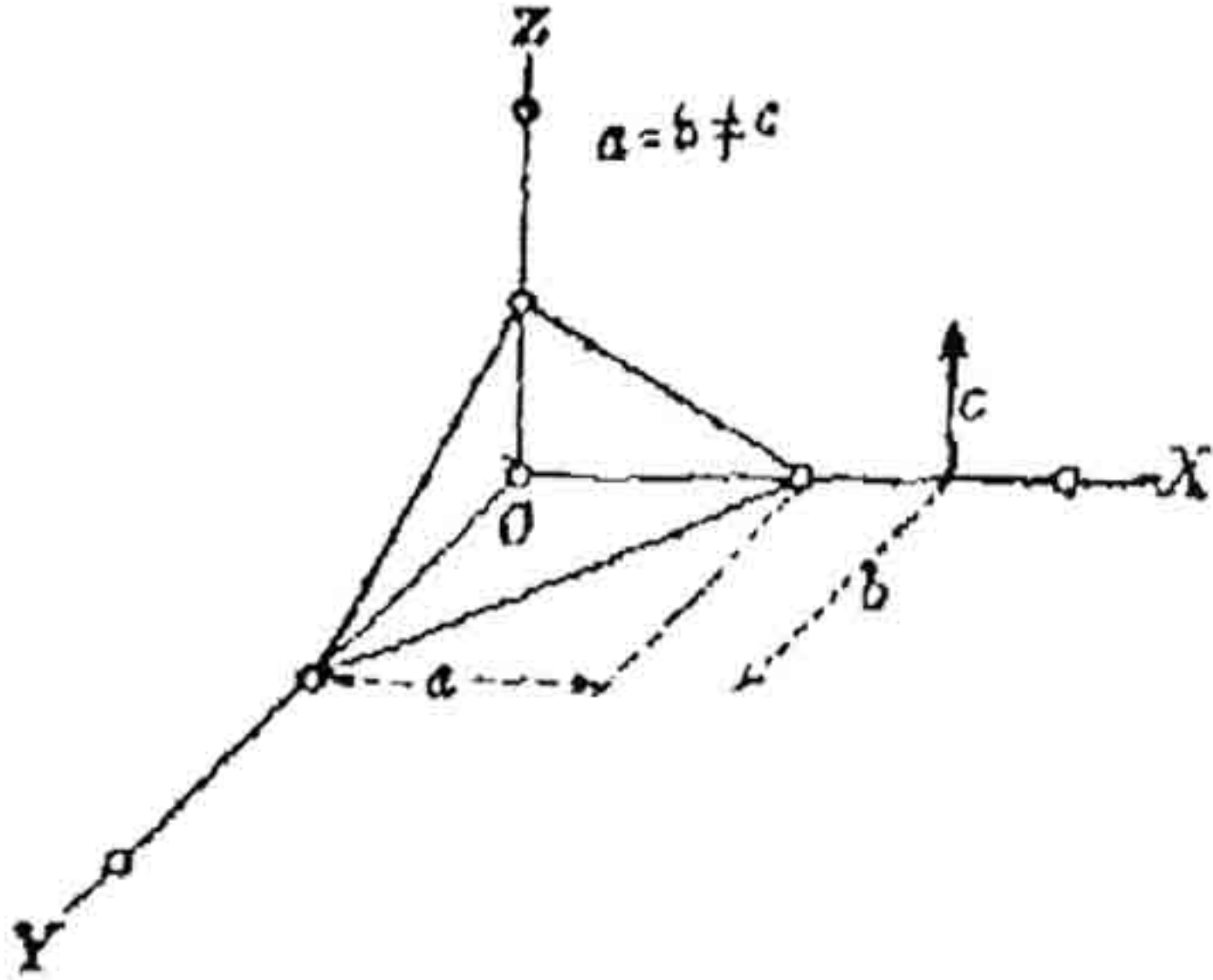
$$p = 1, 1, \infty$$

$$q = 1 \frac{1}{2}, 1 \frac{1}{2}, \infty$$

$$r = 2, 2, \infty$$

الذرات في كل من هذه المستويات لها ترتيب هندسى متماثل مع جيرانها ، لذلك يمكن أن يطلق على كل منها المستوى ( 110 ) .

٦ - ارسم المستوى ( 111 ) في خلية وحدة لنظام رباعي قائم فيه  
 $c/a = 0.62$



الشكل (١٦)

الحل :

يوضح الشكل (١٦) هذا المستوى ، يقطع المستوى ( 111 ) الإحداثيات الثلاثة عند وحدات أطوال الفواصل . ومع ذلك تكون وحدة أطوال الفواصل على الأحادي Z أقصر من نظيرتها على الإحداثيات X , y .

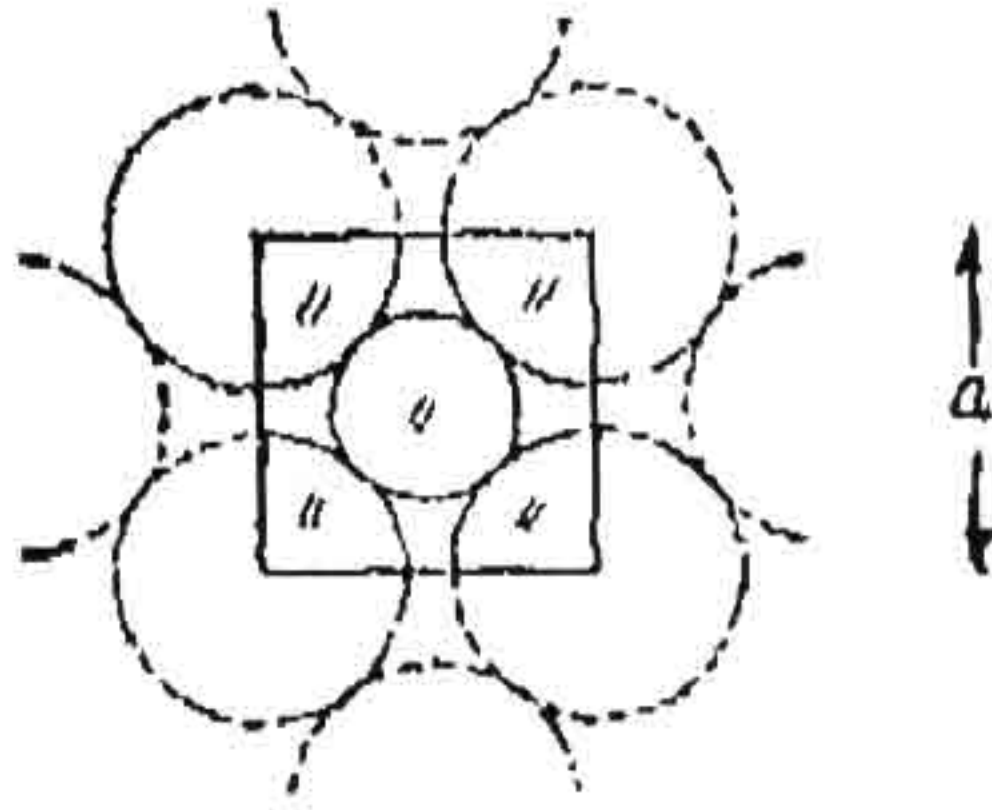
(١١-١) عدد الذرات في وحدة المساحات في المستويات المختلفة في العديد من الشبائك البلورية.

يمكن توضيح الحسابات المطلوبة بواسطة الأمثلة التالية .

٧ - كم عدد الذرات في كل مم<sup>٢</sup> في المستويات ] (110), (111), (100) لبلورة رصاص متمركزة الوجه. علما بأن  $a = 4.93 \text{ \AA}$  للرماس.

الحل :

(i) يوضح الشكل (١٧) المستوى (100)



الشكل (١٧)

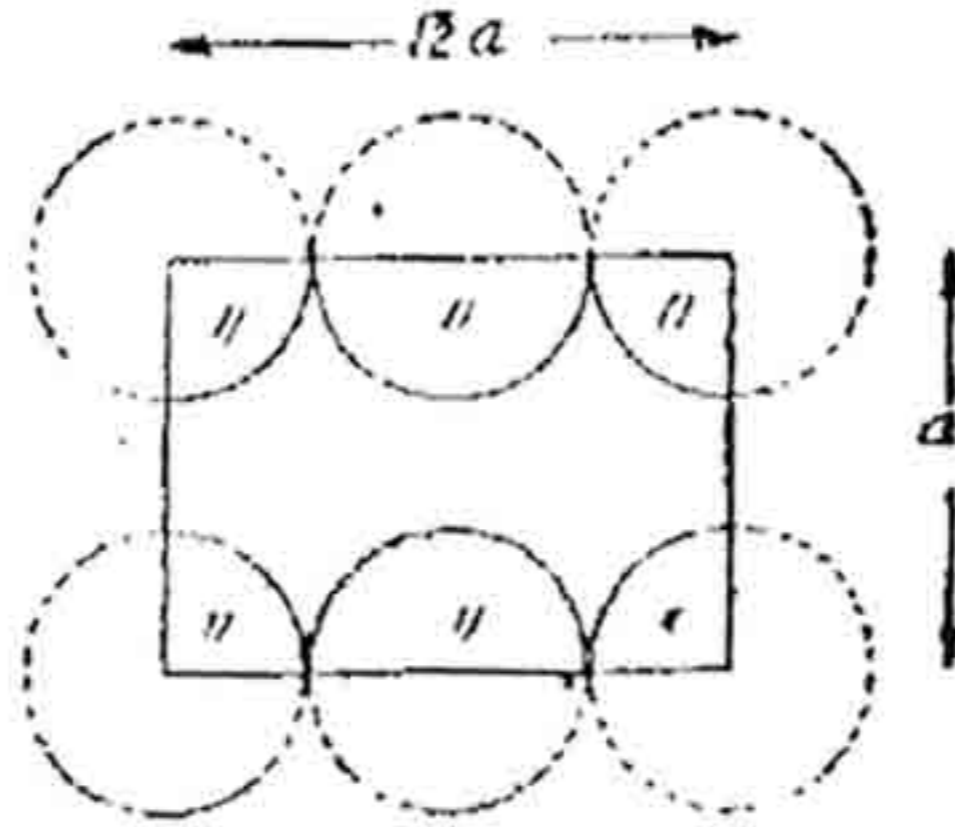
الذي يحتوى على 2 ذرة =  $1 + \frac{1}{4} \times 4$  في كل وجه من أوجه الخلية

$$\begin{aligned} \text{عدد الذرات / مم}^2 &= \frac{2 \text{ ذرة}}{(a \text{ mm})^2} \\ &= \frac{2}{(4.93 \times 10^{-7})^2} = 8.23 \times 10^{12} \\ &\text{ذرة / مم}^2 \end{aligned}$$



يوضح الشكل (١٨) المستوى (110)

(ii)



ويحتوى على:

الشكل (١٨)

$$2 = 4 \times \frac{1}{4} + 2 \times \frac{1}{2}$$

الخلية الوحدة

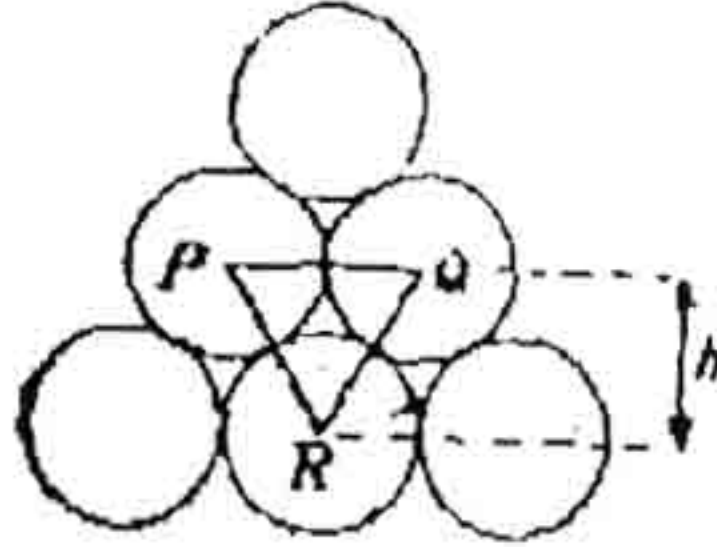
$$\text{عدد الذرات لكل مساحة مربعة} = \frac{2}{\sqrt{2} a^2}$$

ذرة ٢

$$\sqrt{2} (4.93 \times 10^{-7})^2$$

$$= 5.82 \times 10^{12}$$

ذرة / مم<sup>2</sup>



الشكل (١٩)

(iii) يوضح الشكل (١٩) المستوى (111) الذي يحتوى على  
 ذرة كل مثلث صغير مساحته  $\frac{1}{2} = \frac{3}{6}$  PQR موضحة في  
 الشكل.

الارتفاع  $\times \frac{1}{2}$  القاعدة = مساحة المثلث PQR

$$= \frac{1}{2} \times 2R \times \sqrt{3}R$$

$$= \sqrt{3}R^2$$

$$= \frac{\frac{1}{2} \text{ ذرة}}{R^2 \sqrt{3}}$$

$$= \frac{\frac{1}{2} \text{ ذرة}}{\sqrt{3} (1.746 \text{ \AA})^2}$$

$$= 9.5 \times 10^{12}$$

ذرة / مم<sup>٢</sup>

٨ - الشبكة متمركزة الوجه تتكون من ذرات كرية نصف قطرها R،

احسب عدد الذرات / سم<sup>٢</sup> في المستويات (أ) (100) (100)

ب) (110 ج) (111) . كرر نفس العمل بالنسبة لبلوة  
متمركزة الجسم ثم لشبيكة بسيطة .

الحل :

في الشبيكة متمركزة الوجه

أ) يحتوى المستوى ( 100 ) عددا من الذرات يساوى

$$\begin{aligned}
 \text{ذرة} \quad 2 &= \frac{1}{4} \times 4 + 1 \\
 \text{عدد الذرات / سم}^2 &= \frac{2 \text{ ذرة}}{(a \text{ cm})^2} \\
 &= \frac{2 \text{ ذرة}}{(2\sqrt{2} R)^2} \\
 &= \frac{1}{4 R^2} \\
 &\text{ذرة / سم}^2
 \end{aligned}$$

ب) يحتوى المستوى ( 110 ) عددا من الذرات يساوى

$2 = (\frac{1}{4} \times 4 + 2 \times \frac{1}{2})$  ذرة لكل  $\sqrt{2}$  من وجه الخلية الوحدة .

$$\begin{aligned}
 \text{عدد الذرات / سم}^2 &= \frac{2 \text{ ذرة}}{\sqrt{2} \cdot (a \text{ cm})^2} \\
 &= \frac{2 \text{ ذرة}}{\sqrt{2} (2\sqrt{2} R \text{ cm})^2} \\
 &= \frac{1}{4 \sqrt{2} R^2}
 \end{aligned}$$

ج) يحتوى المستوى ( 111 ) عدد من الذرات يساوى:

$$2 = \frac{1}{6} \times 3 + \frac{1}{2} \times 3 \quad \text{ذرة لكل } \frac{\sqrt{3}}{2} \text{ من وجه الخلية}$$

الوحدة .

$$\text{عدد الذرات لكل سم}^2 = \frac{4 \text{ ذرة}}{\sqrt{3}(a \text{ cm})^2}$$

$$= \frac{4 \text{ ذرة}}{\sqrt{3} (2\sqrt{2} R \text{ cm})^2}$$

ذرة / سم<sup>2</sup>

وفي الشبكة متمركزة الجسم  $a = 4R / \sqrt{3}$

$$= \frac{1}{4} \times 4 \text{ على عدد من الذرات } (100)$$

ذرة واحدة لكل وجه

$$\text{عدد الذرات / سم}^2 = \frac{\text{ذرة واحدة}}{(a \text{ cm})^2}$$

$$\text{عدد الذرات / سم}^2 = \frac{\text{ذرة واحدة}}{\left(\frac{4R}{\sqrt{3}} \text{ cm}\right)^2}$$

$$= \frac{3}{16 R^2}$$

ب) يحتوى المستوى (110) على عدد من الذرات يساوى:

$$2 = 1\frac{1}{4} \times 4 + 1 \quad \text{ذرة لكل } \sqrt{2} \text{ من وجه الخلية .}$$

$$\text{عدد الذرات / سم}^2 = \frac{2 \text{ ذرة}}{\sqrt{2} (a \text{ cm})^2}$$

$$= \frac{2 \text{ ذرة}}{\sqrt{2} \left( \frac{4R}{\sqrt{3}} \text{ cm} \right)^2} = \frac{3}{8\sqrt{2} R^2}$$

ج) يحتوى المستوى (111) عدد من الذرات

$$\frac{1}{2} = \left( \frac{1}{6} \times 3 + 1 \right) \text{ ذرة لكل } \frac{\sqrt{3}}{2} \text{ من وجه الخلية}$$

$$\begin{aligned} \frac{1}{2} \text{ ذرة} &= \frac{\text{عدد الذرات / سم}^2}{\frac{\sqrt{3}}{2} (a \text{ cm})^2} \\ &= \frac{3\sqrt{3}}{16 R^2} \end{aligned}$$

وفى الشبكة البسيطة  $a = 2R$

أ - يحتوى المستوى (100) = عدد الذرات / سم<sup>2</sup>  
على  $1 = \frac{1}{4} \times 4$  ذرة لكل وجه

$$\begin{aligned} \frac{1 \text{ ذرة}}{(a \text{ cm})^2} &= \frac{1 \text{ ذرة}}{(2R \text{ cm})^2} \\ &= \frac{1}{4 R^2} \end{aligned}$$

ب) يحتوى الوجه (110) على  $1 = \frac{1}{4} \times 4$  لكل  $\sqrt{2}$  من وجه الخلية :

$$\text{عدد الذرات / سم}^2 = \frac{1 \text{ ذرة}}{\sqrt{2}(a \text{ cm})^2} = \frac{1 \text{ ذرة}}{\sqrt{2}(2R)^2}$$

$$= \frac{1}{4\sqrt{2} R^2}$$

ج) يحتوى الوجه (111) على:  $1/6 \times 3 = 1/2$  ذرة فى كل وجه

$$\text{عدد الذرات/سم}^2 = \frac{\text{ذرة واحدة} \times \frac{1}{2}}{\frac{\sqrt{3}}{2} (a \text{ cm})^2} = \frac{1}{\sqrt{3} (a \text{ cm})^2}$$

$$\frac{\text{ذرة واحدة}}{R^2 \sqrt{3} (2R \text{ cm})^2} = \frac{1}{4\sqrt{3}}$$

### (١٢-١) أنواع البلورات: Classes of Crystals

يمكن تصنيف العديد من البلورات فى مجموعات معينة بناء على التماثلات الخارجية والداخلية.

عناصر التماثل الخارجى هى:

مركز التماثل - محور التماثل - مستوى التماثل.

#### ١ - مركز التماثل : Centre of Symmetry

لبلورة ما مركز تماثل عندما يكون لها نقطة بحيث أن كل مستقيم يمر بها تقع عليه نقطتان متشابهتان على جانبى مركز التماثل وعلى مسافتين متساويتين منه وبديهي أن مركز المكعب هو مركز التماثل بينما لا يكون للنظام الرباعى القائم مركز تماثل.

#### ٢ - محور التماثل : Axis of Symmetry

هو خط وهمي داخل مجموعة من النقاط الشبيكة ، إذا دارت المجموعة بزاوية ما حوله كمحور ينتج تشكيل لا يختلف عن التشكيل الأصلي:

### ٣ - مستوى التماثل : Plane of Symmetry

عندما يرسم مستوى في البلورة يحتوي على مركز البلورة بحيث أن كل نصف من البلورة بمثابة صورة بالانعكاس للنصف الآخر يقال أن البلورة لها مستوى تماثل . وعلى سبيل المثال توجد ست مستويات تماثل قطرية في البلورة المكعبة.

عناصر التماثل الداخلي هي :

عملية الدوران - عملية الإنعكاس - الانقلاب الدوراني -

المستوى المنزلق.

#### ١ - عملية الدوران :

توضح عملية الدوران أن أي نقطة داخل البلورة يمكن أن تصل

إلى تطابق ذاتي.

#### ٢ - عملية الإنعكاس :

تؤدي إلى نفس تأثير مستوى التماثل.

#### ٣ - الانقلاب الدوراني :

عندما تصل البلون إلى تطابق ذاتي بربط عمليتي الدوران

والإنقلاب.

#### ٤ - المستوى المنزلق :

يوجد في البلورة عندما يتحد مستوى الانعكاس بالانتقال

الموازي لهذا المستوى بحيث يصل التركيب إلى تطابق ذاتي بواسطة

الحركة و الإنعكاس عبر مستوى معين.

## أسئلة وتمارين:

١ - إذا كانت كثافة كلوريد الصوديوم هي 2.156 جم/سم<sup>3</sup> وأن التركيب البلورى يتكون من شبيكة مكعبة وأن مواضع متتالية فى الشبيكة تشغلها Na, Cl على الترتيب مستخدما عدد أفوجاىرو:

أوجه المسافة الفاصلة بين أقرب أيونين متجاورين.

$$(2 \times 10^{-10} \text{ مترا})$$

٢ - إذا كان التركيب البلورى للفضة هو شبيكة مكعبة متمركزة الوجه وأن بارامترا الشبيكة يساوى 4.07 أنجستروم وأن الكتلة للفضة 107.88 احسب كثافة الفضة.

$$(10.58 \text{ جم/سم}^3)$$

٣ - إذا كانت الكتلتان الذريتان للكور و الصوديوم هما 3545 جم ، 23.5 جم على الترتيب وإذا كانت كثافة الصوديوم 2.165 جم/سم<sup>3</sup> احسب أبعاد الخلية الوحدة لكلوريد الصوديوم.

$$(5.63 \text{ أنجستروم})$$

٤ - إذا كان بارامتر الخلية الوحدة للألومنيوم 4.04 أنجستروم فما قيمة:

$$d(220) \text{ ( أ ) } \quad d(111) \text{ ( ب ) } \quad d(200) \text{ ( ج )}$$

(أ - 1.43 أنجستروم ، ب - 2.33 أنجستروم ، ج - 2.02

أنجستروم)



٥ - ما عدد الذرات في كل مم<sup>٢</sup> في أ) المستوى (100) للنحاس ،  
 ب) المستوى (110) ج) المستوى (111). علماً بأن شبكة  
 النحاس مكعبية متمركزة الوجه وأن نصف قطر ذرته ، 1.27  
 أنجستروم.

[ أ)  $1.536 \times 10^{12}$  ، ب)  $10.86 \times 10^{12}$  ، ج)  $1.774 \times$   
 $10^{12}$  ذرة/مم<sup>٢</sup> ]

٦ - إذا كانت المسافة الفاصلة بين المستويات (110) في شبكة  
 مكعبة متمركزة الوجه هي 2.03 أنجستروم . أ) ما مقياس  
 الخلية ؟ ب) ما نصف قطر الذرة؟ ج) ما هو الفلز المتوقع ؟

[ أ) 2.86 أنجستروم ، ب) 1.24 أنجستروم ، ج)  $\alpha = \text{Fe}$  ]

٧ - من المعروف أن النيكل له تركيب مكعبي متمركز الوجه وأن  
 نصف قطر ذرته 1.243 أنجستروم . ما المسافة الفاصلة بين  
 أ) المستويات (200) ، ب) المستويات (220) ، ج) المستويات  
 (111) ؟

[ أ) 1.762 ، ب) 1.243 ، ج) 2.04 أنجستروم ]

٨ - (i) ما المقصود بالمصطلحات الآتية:

أ) الخلية الوحدة . ب) رقم التناسق . ج) معامل  
 الرص .

(ii) بين أن بارمسترات الشبكة لتركييب بلورى متمركز  
 الجسم ولآخر متمركز الوجه تعطى بواسطة:

$$a_{\text{bcc}} = 4r/\sqrt{2}, \quad a_{\text{fcc}} = 4r/\sqrt{3},$$

حيث  $r$  نصف قطر الذرة.

٩ - أرسم المستوى (111) لبلورة نحاس متركزة الوجه :  
 أ) أحسب عدد الذرات لكل مم<sup>٢</sup>.  
 ب) أحسب المسافة الفاصلة بين المستويات المتجاورة.  
 [  $d = 1.66 \text{ \AA}$  ( ب ) ،  $1.774 \times 10^{14}$  ذرة / مم<sup>٢</sup> ، ( أ ) ]  
 [ 111 ]

١٠ - احسب المستوى (222) أو (111) لشبيكة حديد مكعبية  
 متركزة الوجه . أ) احسب عدد الذرات لكل ١ مم<sup>٢</sup> ، ب) ( أ )  
 احسب المسافة الفاصلة بين المستويات [  $2.10 \times 10^{13}$  ذرة / مم<sup>٢</sup> ، ب )  $d_{111} = 2.08 \text{ \AA}$  ]

١١ - لشبيكة مكعبة بين أن المسافة الفاصلة بين المستويات المتتالية  
 معاملات ميلر لها  $h^2 + k^2 + l^2$  تعطى بواسطة:

$$d_{hkl} = \frac{a}{\sqrt{h^2 + k^2 + l^2}}$$

١٢ - عين نصف قطر أكبر ذرة يمكن أن توضع في فراغات بلورة  
 حديد متركزة الجسم بدون رسم.  
 [ 0.3 أنجستروم ]

١٣ - أ) اشرح مصطلح " التماثل " في التركيب البلوري .  
 ب) ما هي شبيكة برافيه وما هي معاملات ميلر ؟ بين أن  
 المستويات (111) تكون عمودية على الاتجاه [111] في بلورة  
 بسيطة مكعبة.

١٤- أ) ما الخلية الأولية لشبيكة في بعين ؟ ارسم الخلية الوحدة لتركيب مكعبى بسيط وبين المستويات (111) الأربعة فيها . وما عدد الذرات التى تسهم بدور فعال فى هذه الخلية الوحدة. ب) عرف نصف قطر الذرة.

بين كيف يمكن تعيينه بمعرفة بارامتر شبكية مكعبة.

١٥- ارسم المستويات (110) (111) والاتجاهات [110] [111] فى بلورة مكعبة بسيطة . ما الذى يمكن أن تستدل عليه من هذه الأشكال ومن ثم أشرح استخدام معاملات ميلر فى الدراسات التركيبية.

# الباب الثانى

الروابط فى الجوامد

الباب الثانى  
الروابط فى الجوامد  
Bonds in Solids

يتكون الجامد من بلايين الذرات مرصوفة بجوار بعضها والخصائص المميزة لهذه الحالة ترجع إلى تقارب ذراتها من ناحية وقوى التجاذب بينها من ناحية أخرى. والروابط هى المسئولة عن الاحتفاظ بالذرات معاً.

والروابط فى الجوامد نوعان :

— روابط أولية — روابط ثانوية

الروابط الأولية هى الروابط الأيونية والروابط التساهمية والروابط الفلزية والروابط الهيدروجينية.

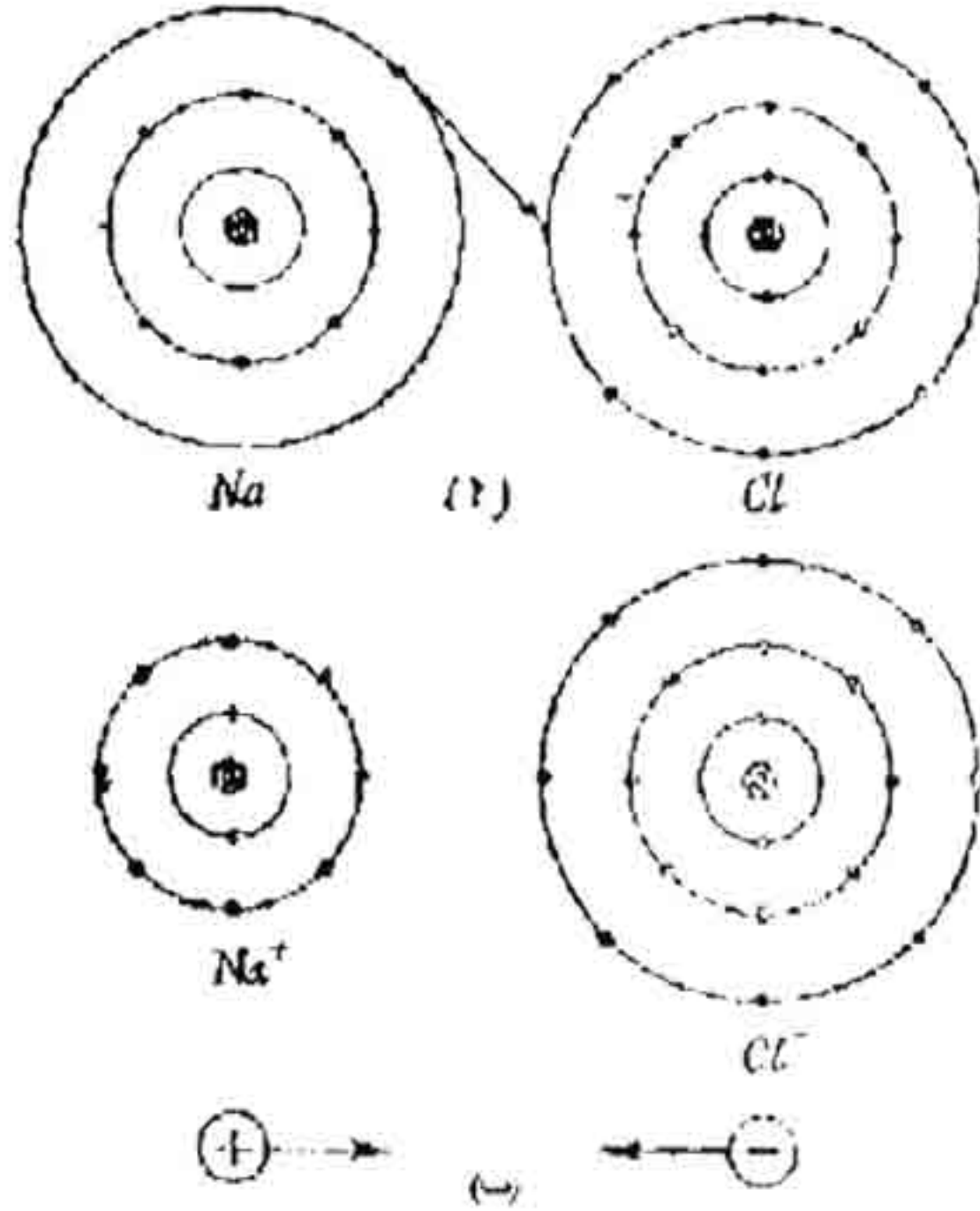
الروابط الثانوية تكون متضمنة فى قوى فان درفال Van der Waals.

(٢-١) أولاً : الروابط الأولية Primary Bonds

(١) الرابطة الأيونية : Ionic Bond

تعد الرابطة الأيونية من أقوى الروابط ، ويعد كلوريد الصوديوم NaCl أحد الأمثلة النموذجية للجوامد الأيونية .

فعندما تقترب ذرة صوديوم من ذرة كلور حتى تصبح المسافة الفاصلة بينهما مناسبة ينتقل الكترون التكافؤ فى ذرة الصوديوم كما فى الشكل (أ) إلى الغلاف الخارجى لذرة الكلور .



الشكل (١-١)

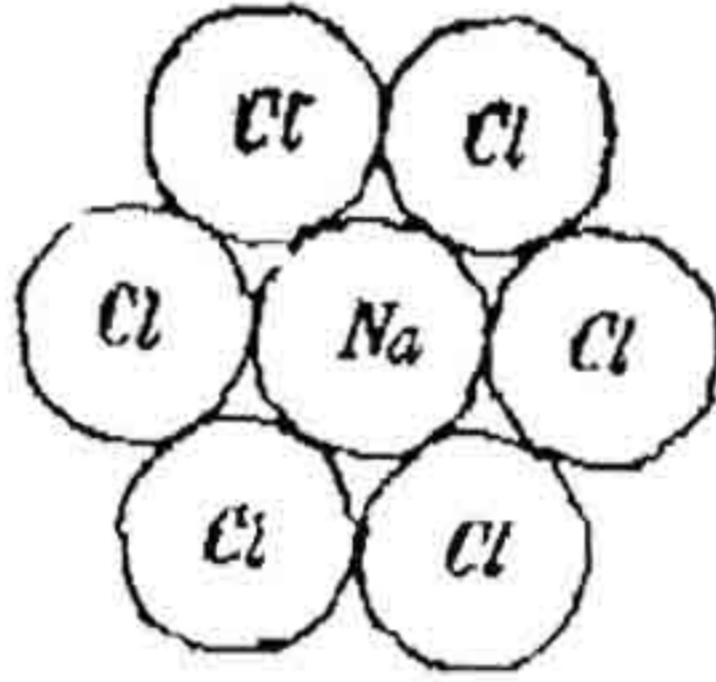
وتسمى ذرة الصوديوم التي فقدت الكتروناً أيوناً موجباً ( كاتيون Cation ) وتسمى ذرة الكلور التي اكتسبت الكتروناً أيوناً سالباً ( أنيون Anion ) وتنتشاً نتيجة لقوى التجاذب الكهروستاتيكية قوية تسمى الرابطة الأيونية .

ومن الشكل (اب) يتضح أن التشكيل الإلكتروني لأيون الصوديوم الموجب  $Na^+$  شبيه بالتشكيل الإلكتروني لذرة النيون (غاز خامل) في حين أن التشكيل الإلكتروني لأيون الكلور السالب  $Cl^-$  شبيه بالتشكيل الإلكتروني لذرة الأرجون (غاز خامل) و تنتظم أيونات الصوديوم الموجبة و أيونات الكلور السالبة في شبكة بلورية تنتمي كما

فى الشكل (٢) إلى النظام المكعبى .

ومن هذا الشكل نلاحظ أن أيون الصوديوم الموجب محاط

بستة أيونات كلور سالبة ، وأن أيون الكلور السالب محاط بدوره بستة



الشكل (٢)

أيونات صوديوم موجبة على مسافات فاصلة متساوية تساوى ثابت أو

بارامتر الشبكة . وتعطى طاقة التجاذب بين الأيونين بالعلاقة :

$$(١) \quad E_{att} = - \frac{K e^2}{r}$$

حيث K ثابت كولوم  $\left( \frac{1}{4\pi\epsilon} \right)$  يساوى  $9 \times 10^9$  نيوتن . متر مربع

/ كولوم<sup>٢</sup>

وتعطى طاقة التنافر بين الأيونين بالعلاقة :

$$(٢) \quad E_{\text{rep}} = \frac{B}{r^n}$$

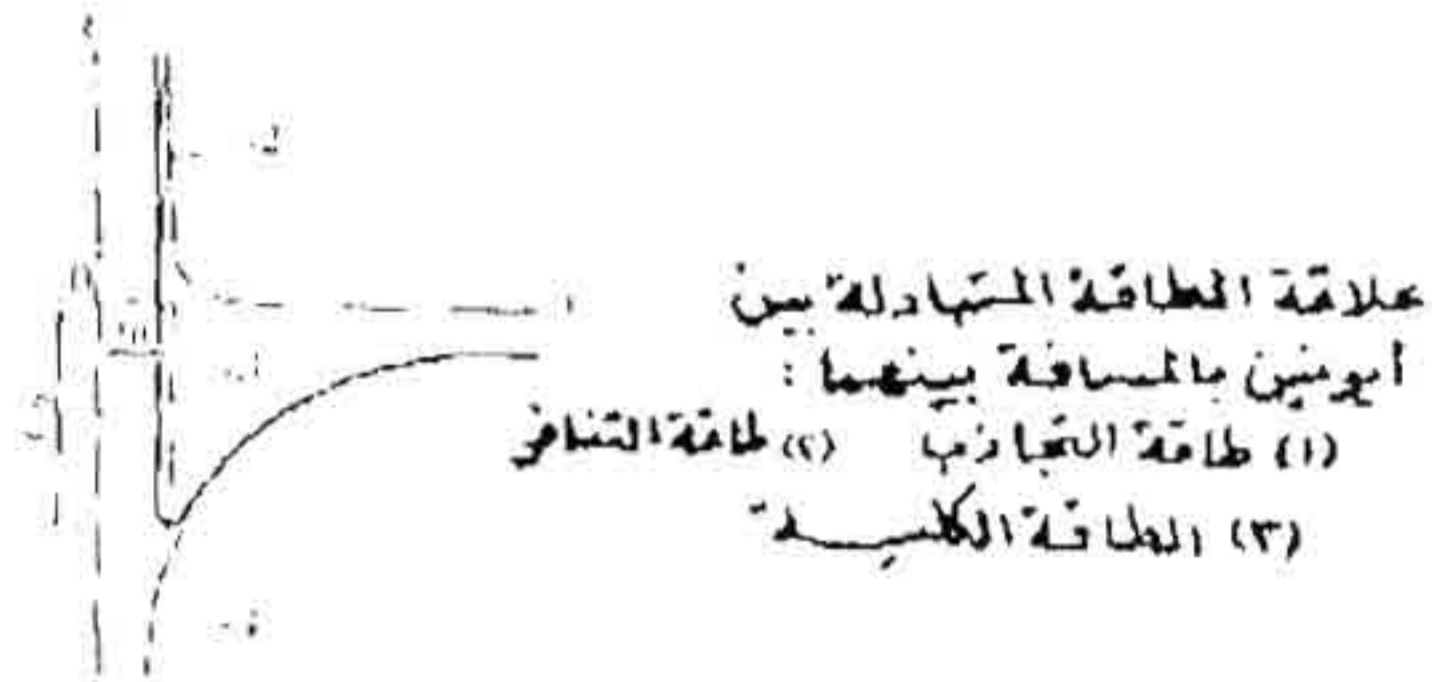
حيث  $B$  ،  $n$  ثابتان .

وتصبح الطاقة الكلية :

$$(٣) \quad E = \frac{B}{r^n} - K \frac{e^2}{r}$$

ويوضح الشكل (٣) كيف تتغير  $E_{\text{rep}}$  ،  $E_{\text{att}}$  ،  $E$  مع تغير المسافة بين الأيونين :

- فالمحنى رقم ١ فى الشكل يبين العلاقة بين  $E_{\text{att}}$  و  $r$  .
- فعندما تنقص  $r$  تزداد القيمة المطلقة لطاقة التجاذب حتى تصل إلى جعل الأيونين الموجب والسالب أقرب ما يكون من بعضهما البعض .
- لكن يعوق هذا التقارب قوة التنافر التى يمثلها المنحنى رقم ( 2 )



الشكل (٣)



وتزداد هذه القوى بسرعة مع نقص المسافة  $r$  وعند  $r = r_0$  حيث  $r_0$  ثابت أو باراميتر الشبكة تكون الطاقة الكلية أقل ما يمكن حيث تكون قوة التجاذب مساوية لقوة التنافر وفي النهاية تصبح طاقة الشبكة هي:

$$(٤) \quad E_{tot} = -NA \frac{ke^2}{r_0} \left(1 - \frac{1}{n}\right)$$

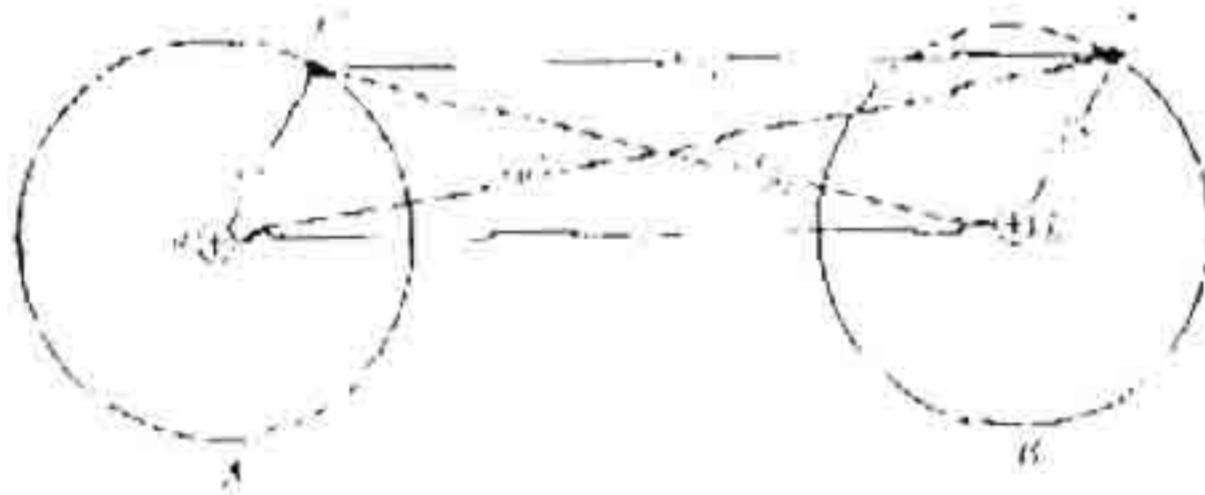
حيث  $N$  عدد جزيئات  $NaCl$  في الشبكة و  $A$  ثابت يعرف بثابت مادلونج Madelung constant

### (٢-٢) الرابطة التساهمية : Covalent Bond

عندما تستهم ذرتا عنصر واحد كالهيدروجين مثلا في إلكترونين بواقع إلكترون من كل ذرة تتكون الرابطة التساهمية . ونتيجة لهذا الإستهام أو المشاركة يكتمل الغلاف الخارجى لكل ذرة بحيث يصبح التشكيل الإلكتروني لها شبيها بالتشكيل الإلكتروني لذرة الغاز الخامل ( الهيليوم فى هذه الحالة ) .

ويوضح المثال التالى ما نعنيه بالرابطة التساهمية :

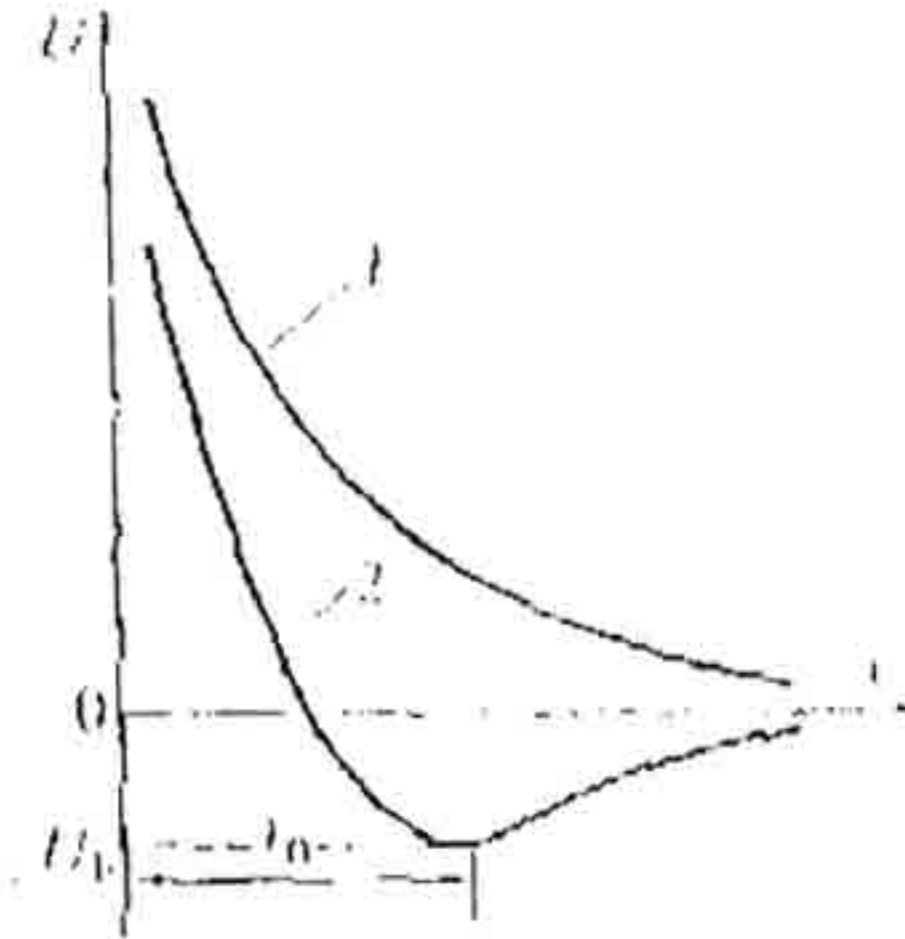
عندما تقترب ذرتا الهيدروجين  $B$  ،  $A$  إحداهما من الأخرى



الشكل (٤)

بدرجة كافية حتى يصبحا على مسافة معينة ينتقل إلكترون من الذرة A إلى الذرة B ليدور حول نواتها بجانب إلكترون الذرة B نفسها . وينتقل إلكترون الذرة B إلى الذرة A ليدور حول نواتها بجانب إلكترون الذرة A نفسها ، وعندئذ يصعب القول بأن هذين الإلكترونين ينتميان لأي ذرة من الذرتين A أو B . انظر الشكل (٤) . ونتيجة لذلك تنشأ قوة ترابط غاية في القوة . ويمثل الشكل (٥) تغيرات الطاقة المصاحبة للرابطة التساهمية لجزئ الهيدروجين .

وفي الشكل نلاحظ ان طاقة الترابط تقل تدريجيا عندما تتناقص المسافة الفاصلة حتى تصل إلى أقل قيمة عندما تكون المسافة الفاصلة مساوية طول الرابطة التساهمية .



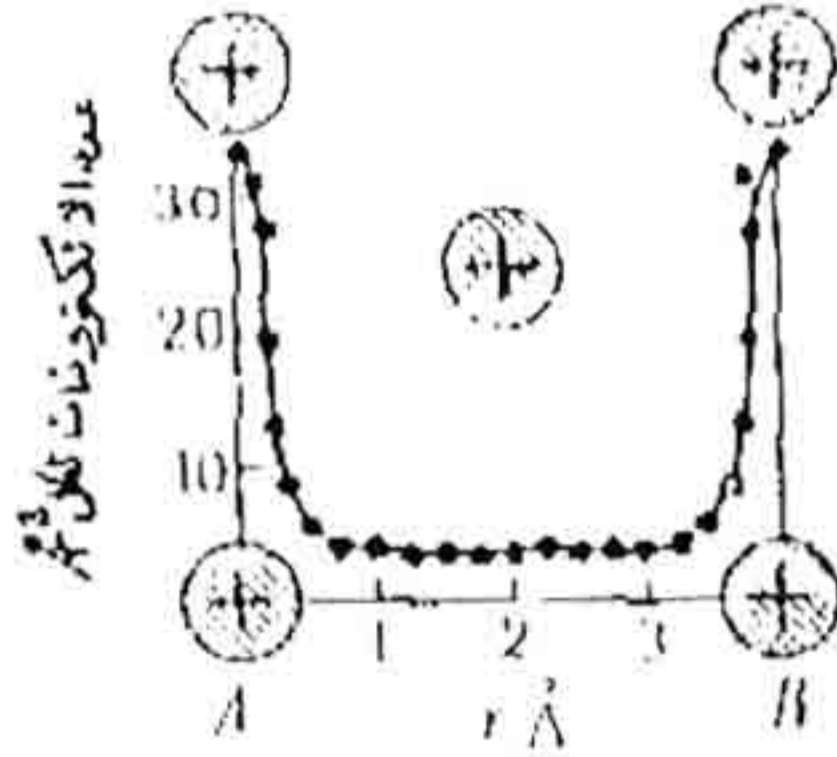
الشكل (٥)

وعندما تقل المسافة الفاصلة عن حد معين تزداد الطاقة بشكل حاد بسبب قوى التنافر بين النوى .

وتعرف طاقة الرابطة بكمية الطاقة اللازمة لكسر الرابطة لتكوين ذرات متعادلة .

### (٢-٣) الرابطة الفلزية : Metallic Bond

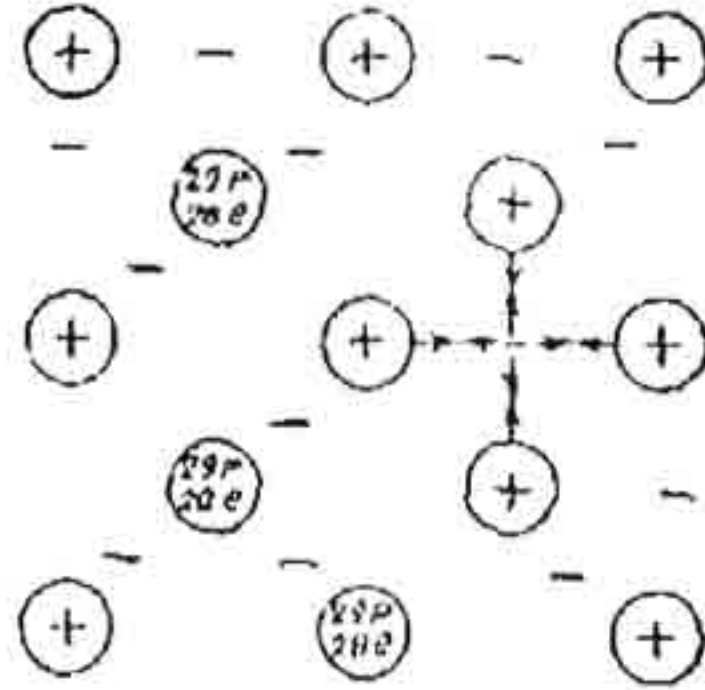
تشغل الفلزات أماكن في بداية كل دورة في جدول مندليف . وفيما يلي نوضح كيف تنشأ الروابط الفلزية ، فكما هو معروف تكون إلكترونات التكافؤ الخارجية لذرات الفلزات ضعيفة الارتباط بأنوية هذه الذرات . وهذا يتيح لإلكترونات التكافؤ في الفلزات بالتححرر من أنويتها والتجول هنا وهناك في الشبكة البلورية . ويؤدي هذا إلى توزيع متجانس للشحنات السالبة في الشبكة البلورية .



الشكل (٦)

ويوضح الشكل (٦) المنحنى التجريبي لكثافة التوزيع الإلكتروني بين مواضع شبكة الألومنيوم الذي تم الحصول عليه فوتوغرافيا بواسطة الأشعة السينية . ومنه يتضح أن الجزء الأكبر

من المسافة الفاصلة بين مواضع تركيز الإلكترونات يظل ثابتا إلا أنه يزداد بحدّة بالقرب من هذه المواضع بسبب وجود أغلفة داخلية لذرات الألومنيوم.



الشكل (٧)

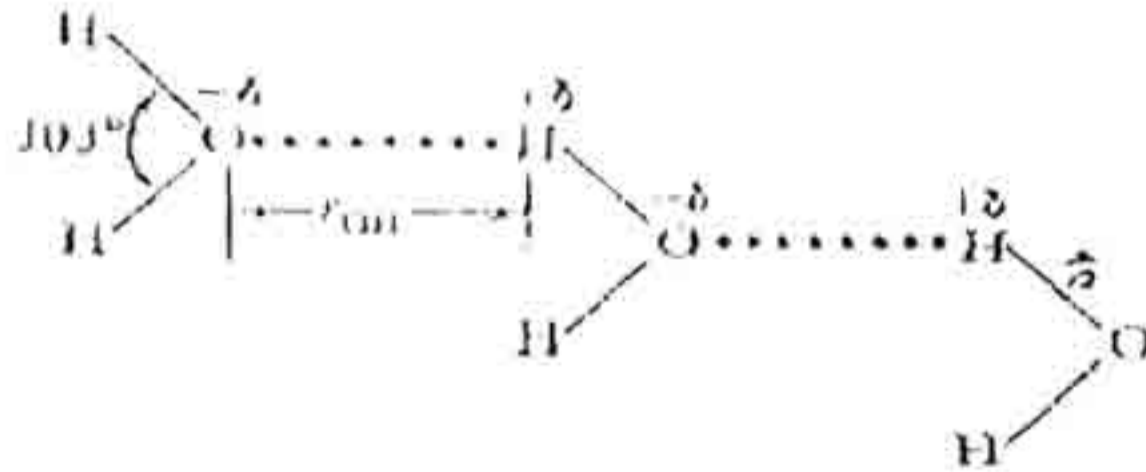
وفي الشبكة البلورية لفلز تنشأ الرابطة من التأثير المتبادل بين الأيونات الموجبة وبين الغاز الإلكتروني . وتعادل الإلكترونات المتحركة بين الأيونات الموجبة قوى التنافر الموجودة بين الأيونات الموجبة لتجعلها أقرب ما تكون من بعضها البعض (شكل ٧).

وعندما تصبح المسافات بين الأيونات أصغر ترتفع كثافة الغاز الإلكتروني ويؤدي هذا إلى زيادة القوى التي تعمل على تقريب الأيونات. وعلى الجانب الآخر تميل قوى التنافر إلى تحريك الأيونات بعيدا عن بعضها البعض . وعندما تصبح المسافة بين الأيونات بحيث تتعادل قوى التجاذب مع قوى التنافر يتم تكوين شبكة مستقرة .

## (٢-٤) الرابطة الهيدروجينية: Hydrogen Bond

عندما تتحد ذرتان متماثلتان مثل ذرتي جزيء الهيدروجين نجد أن الذرتين متساويتان في السالبية الكهربية وأن لكل ذرة نفس القدرة على جذب زوج الإلكترونات في الرابطة التساهمية التي تربطهما لذا نجد أن وجود الإلكترونات حول الذرتين يتقاسمان الوقت مناصفة و بذلك تكون كل ذرة متعادلة كهربيا.

ولكن إذا اختلفت السالبية الكهربية لذرتين متصلتين برابطة فان الإلكترونات تقضى وقتا اكبر نسبيا حول نواة العنصر الأكثر سالبية كهربية وتكتسب بذلك شحنة جزئية سالبة ، وهذا بالتالى يؤدي إلى ظهور شحنة جزئية موجبة على الذرة الأخرى فعند اتحاد ذرات الهيدروجين مع ذرات اكبر في سالبيتها الكهربية مثل الأكسجين أو الفلور فانه تظهر شحنة جزئية موجبة على ذرة الهيدروجين وشحنة جزئية سالبة على ذرات الأكسجين أو الفلور وتنشأ عن ذلك رابطة تسمى بالرابطة الهيدروجينية نتيجة للتجاذب المتبادل بين ذرات الهيدروجين و ذرات الأكسجين أو الفلور ويمثل الشكل (٨) هذا النوع من الروابط .



الشكل (٨)

## ثانيا : الروابط الثانوية: Secondary Bonds

### ● قوى فان درفال :

تعد الروابط الأيونية والتساهمية والفلزية روابط أولية قوية و هي روابط قصيرة المدى تمسك بالذرات معا ومع ذلك توجد روابط ثانوية ضعيفة تسهم بدورها في قوى تجاذب فان درفال من حيث أنها قد تكون القوى الوحيدة فقط التي تعمل في عملية الروابط . وتوجد مركبات كثيرة تكون جزيئاتها مستقرة حتى مع اقترابها من بعضها البعض إذ أن لها خاصية الاحتفاظ بفراديتها . على سبيل المثال، في غاز خامل مثل الهيليوم يكون المدار الخارجى مكتملا حيث يحتوى على إلكترونين يكفيان لتثبيعه في هذا الوضع المستقر . وكنيجة لذلك فإن ذرات الغازات الخاملة تظل في حالتها الذرية (جزيئاتها أحادية الذرات) في درجات الحرارة العادية. وفي درجات الحرارة المنخفضة تتكاثف هذه الجزيئات وهذا يؤدي الى ظهور قوى تجاذب ضعيفة تجذب الذرات نحو بعضها البعض .

أسئلة:

- ١ - ناقش أنواع الروابط المختلفة في الجوامد و اشرح أهميتها
- ٢ - صف بالتفصيل خصائص الروابط في الجوامد و شدتها النسبية
- ٣ - قارن بين الروابط الأيونية و التساهمية في الجوامد موضحا ذلك بأمثلة:

٤ - أ) صف الشروط التي قد تجعل ذرتين تكونان

١-وصلة أيونية

٢-وصلة تساهمية

ب) بين أوجه الاختلاف بين الرابطة الأيونية و الرابطة

التساهمية ؟

٥ - أكتب نبذة مختصرة عن كل من :

١- قوى فان درفال و علاقتها بالروابط .

٢- الرابطة الفلزية .

## الباب الثالث

حيود الأشعة السينية

والتركيب البلوري



### الباب الثالث

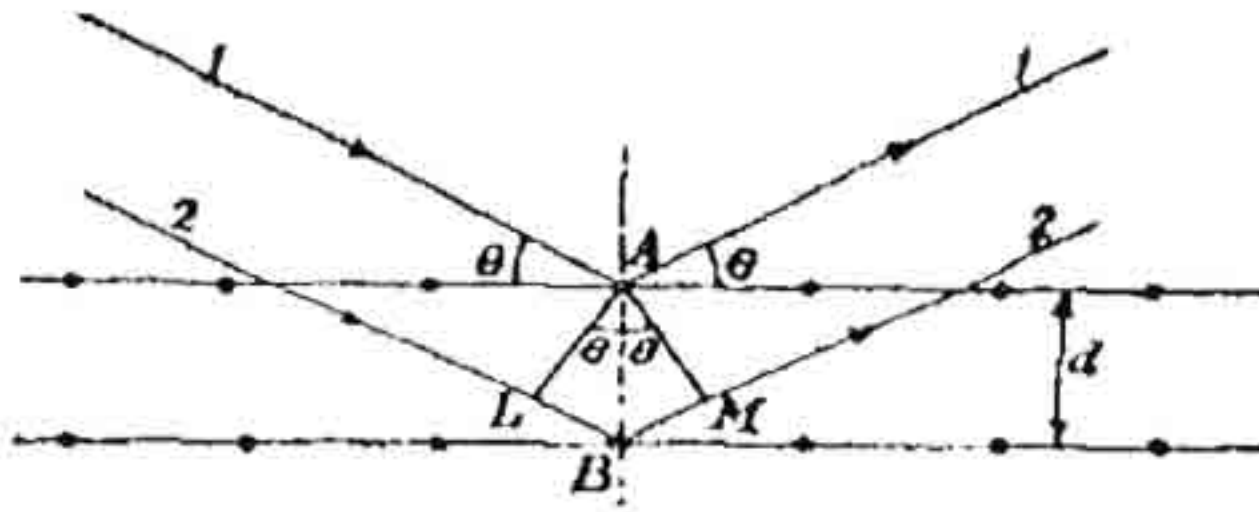
### حيود الأشعة السينية والتركييب البلورى

## X – Rays Diffraction and Crystal Structure

يمكن النظر إلى البلورة كما اقترح فون لاوا Von Laue على أنها محزوز حيود ثلاثى الأبعاد يعمل بالأشعة السينية نظرا لأن أطوالها الموجية يمكن مقارنتها بالمسافات الفاصلة بين الذرات ، و ان مجموعة الأشعة السينية المحادة تزودنا بمعلومات كافية عن انتظام ترتيب الذرات . ولعل أهم تطبيقات اقتراح فون لاوا يرتبط بقانون براج Bragg 's Law .

(١-٣) قانون براج :

وجد براج انه يمكن بيان موضع الحزم المحادة للأشعة



الشكل (١)

السينية بواسطة البلورة بنموذج بسيط ، حيث يفترض ان الأشعة السينية تنعكس بانتظام من المستويات المختلفة للذرات فى

البلورة . ووجد أن الأشعة المحادة توجد فقط عند مواضع تتداخل عندها الأشعة المنعكسة عند المستويات المتوازية تداخلا بنائيا . ويمكن استنتاج قانون براج بسهولة بالإستعانة بالشكل (١) فرق المسير بين الشعاعين 1 ، 2 بعد انعكاسهما عن المستويين المتوازيين المسافة الفاصلة بينهما هي d يتم تعيينه من العلاقة :

$$LB + BM = \text{فرق المسير}$$

$$= d \sin \theta + d \sin \theta$$

$$= 2 d \sin \theta$$

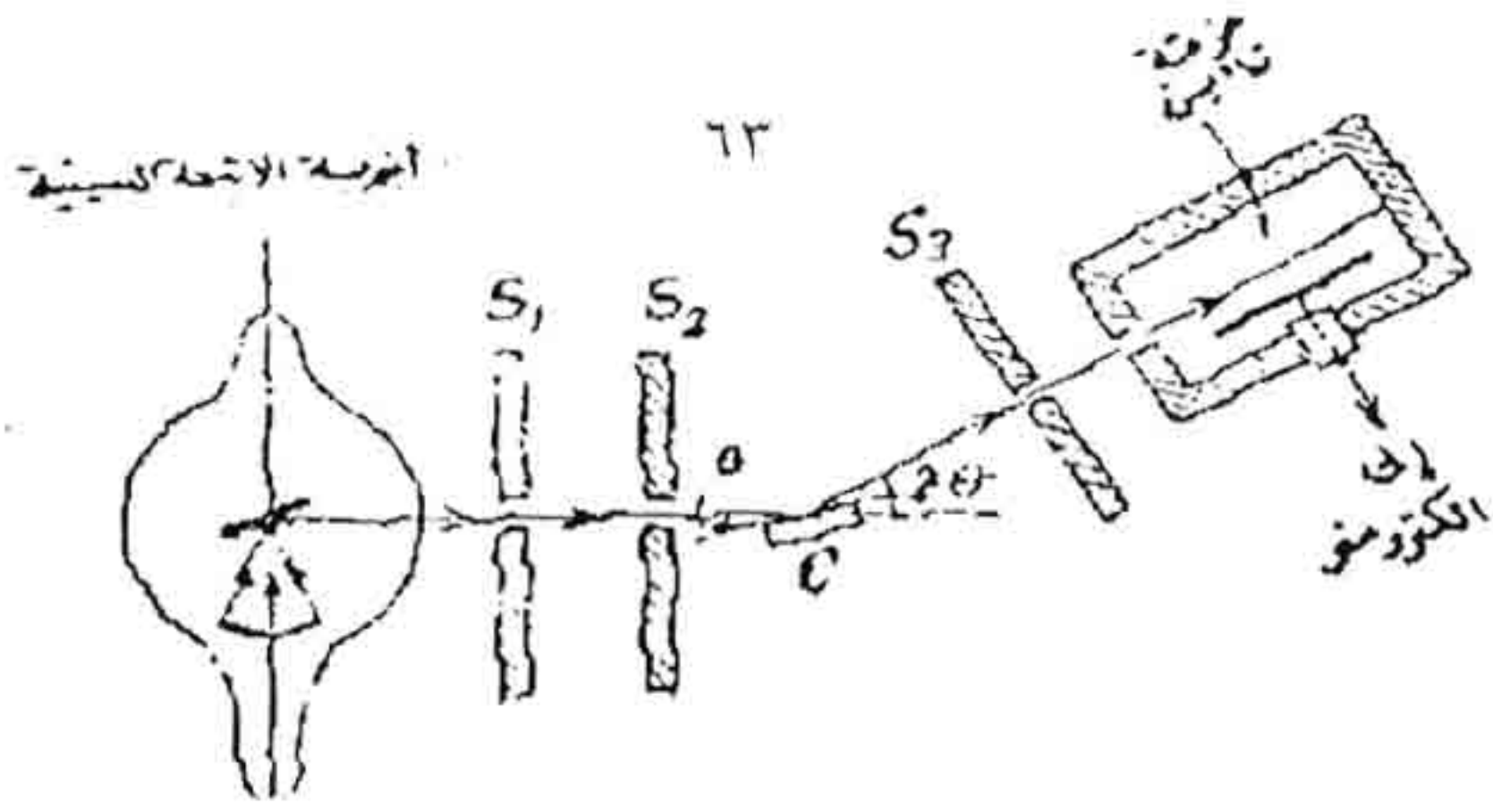
حيث  $\theta$  الزاوية المتممة لزاوية السقوط وشرط التداخل البناء هو :

$$(١) \quad 2 d \sin \theta = n \lambda$$

حيث  $n$  تساوى 1 ، 2 ، 3..... إلى آخره ، وتمثل  $n$  رتبة الأشعة المحادة .

وهذا هو قانون براج ، وهو الأساس في تعيين التركيب البلورى . فبمعرفة  $\lambda$  (الطول الموجى للأشعة السينية) ،  $\theta$  والرتبة  $n$  يمكن حساب  $d$  .

وبدوران البلورة يحدث الإنعكاس عند مجموعات المستويات المتوازية المختلفة ، وعندئذ يمكن حساب أو معرفة شكل وحجم الخلية الواحدة.



الشكل (٢)

(٢-٣) مطياف براج للأشعة السينية:

### Bragg ' s X – Ray Spectrometer

عند استخدام أشعة سينية أحادية اللون (أحادية الطول الموجي) Monochromatic ، لا يمكن أن يتحقق قانون براج لأى قيمة اختيارية للزاوية  $\theta$  . لذلك صمم براج طريقة البلورة القابلة للدوران حيث يظهر الحيود عند قيم معينة لهذه الزوايا. والمطياف المستخدم لهذا الغرض موضح بالشكل (٢).

الشكل (٢) تمر حزمة ضيقة من الأشعة السينية أحادية اللون خلال التقنين الضيقين  $S_1$  ،  $S_2$  لتسقط على البلورة المثبتة على منضدة قابلة للدوران وتسقط الأشعة السينية المحادة خلال الثقب  $S_3$  على لوح فوتوغرافى أو على غرفة تآين قابلة هي الأخرى للدوران حول نفس المحور الرأسى للمنضدة . وتتصل غرفة التآين بمصدر جهد مناسب والكترومتر لقياس تيار التآين الذى يتخذ لقياس شدة حزم الأشعة السينية المحادة، والجهاز مزود بورنيات لقياس الزوايا المتممة لزاوية السقوط التى يتحقق عندها قانون براج ( مواضع النهايات العظمى للأشعة السينية المحادة ) .

وقد وجد أن الطيف يتكون من عدة رتب كما بالشكل (٣)  
 فالنهيأتان العظميين  $A_1$  ،  $B_1$  تناظران الرتبة الأولى (  $n = 1$  ) و  
 النهيأتان العظميان  $A_2$  ،  $B_2$  تناظران الرتبة الثانية (  $n = 2$  ).  
 ووجد أن  $A_1$  ،  $A_2$  تظهران عند الزاويتين  $11.8^\circ$  ،  $23.5^\circ$   
 تقريبا مما يعنى :

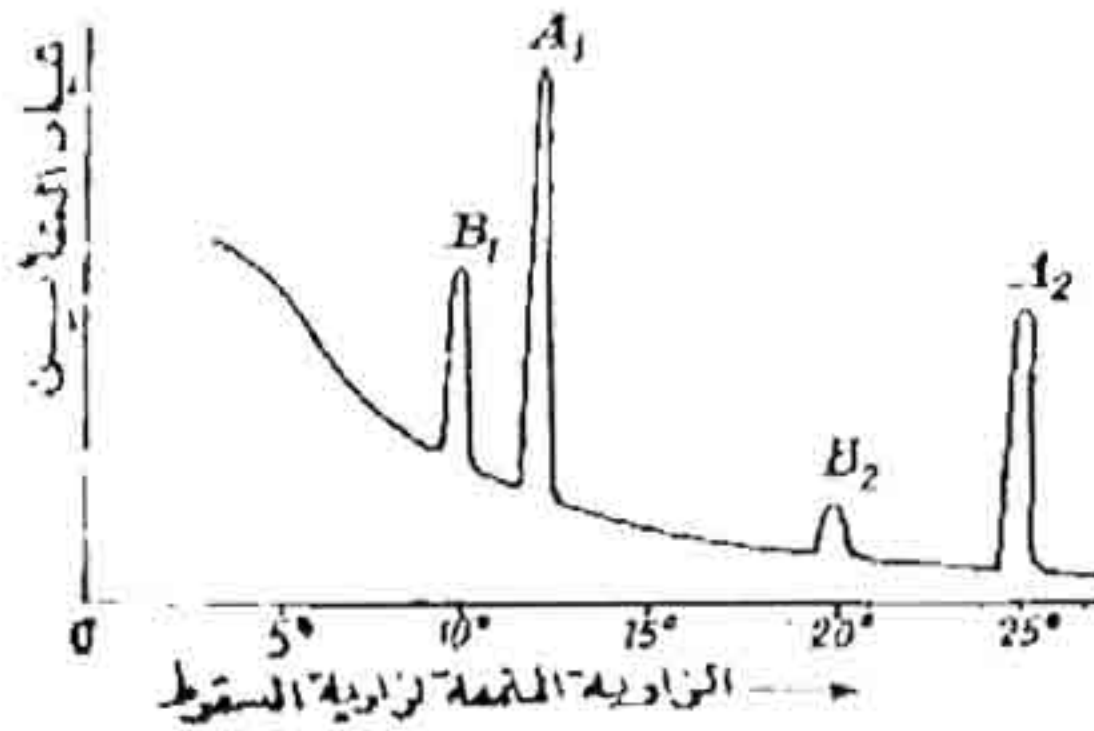
$$\sin 11.5 : \sin 23.5 = 0.204 : 0.400$$

$$= 1 : 2 \quad \text{تقريبا}$$

بما يتفق مع قانون براج .

أمثلة محلولة :

(١) المسافة الفاصلة للمستويات الرئيسية لكلوريد الصوديوم



الشكل (٣)

هي 2.86 انجستروم وتظهر الرتبة الأولى لإنعكاسات براج عند زاوية  $10^\circ$  ، فما هو الطول الموجي للأشعة السينية المستخدمة ؟

**الحل :**

من قانون براج

$$n \lambda = 2 d \sin \theta$$

$$n = 1 , \sin 10 = 0.1736, d = 2.82310^{-10} \text{ \AA}$$

$$\lambda = 2 \times 2.82 \times 10^{-10} \times 0.173$$

$$\lambda = 0.98 \times 10^{-10} = m = 0.98 \text{ \AA}$$

(٢) تم تحليل الأشعة السينية المحادة وكان الطول الموجي لها 0.58 انجستروم ، تظهر الإنعكاسات عند الزوايا (i)  $6.45^\circ$  ، (ii)  $9.15^\circ$  ، (iii)  $13.5^\circ$  ، احسب المسافات الفاصلة للبلورة .

من قانون براج  $n \lambda = 2 d \sin \theta$

$$\therefore \frac{d}{n} = \frac{\lambda}{2 \sin \theta}$$

(i) عندما تكون  $\theta = 6.45^\circ$

$$\text{\AA} \frac{d}{n} = \frac{0.58}{2 \sin 6.45} = 2.57$$

(ii) عندما تكون  $\theta = 9.15^\circ$

$$\text{\AA} \frac{d}{n} = \frac{0.58}{2 \sin 9.15} = 1.82$$

(iii) عندما تكون  $\theta = 13^\circ$

$$\text{\AA} \frac{d}{n} = \frac{0.58}{2 \sin 13} = 1.29$$

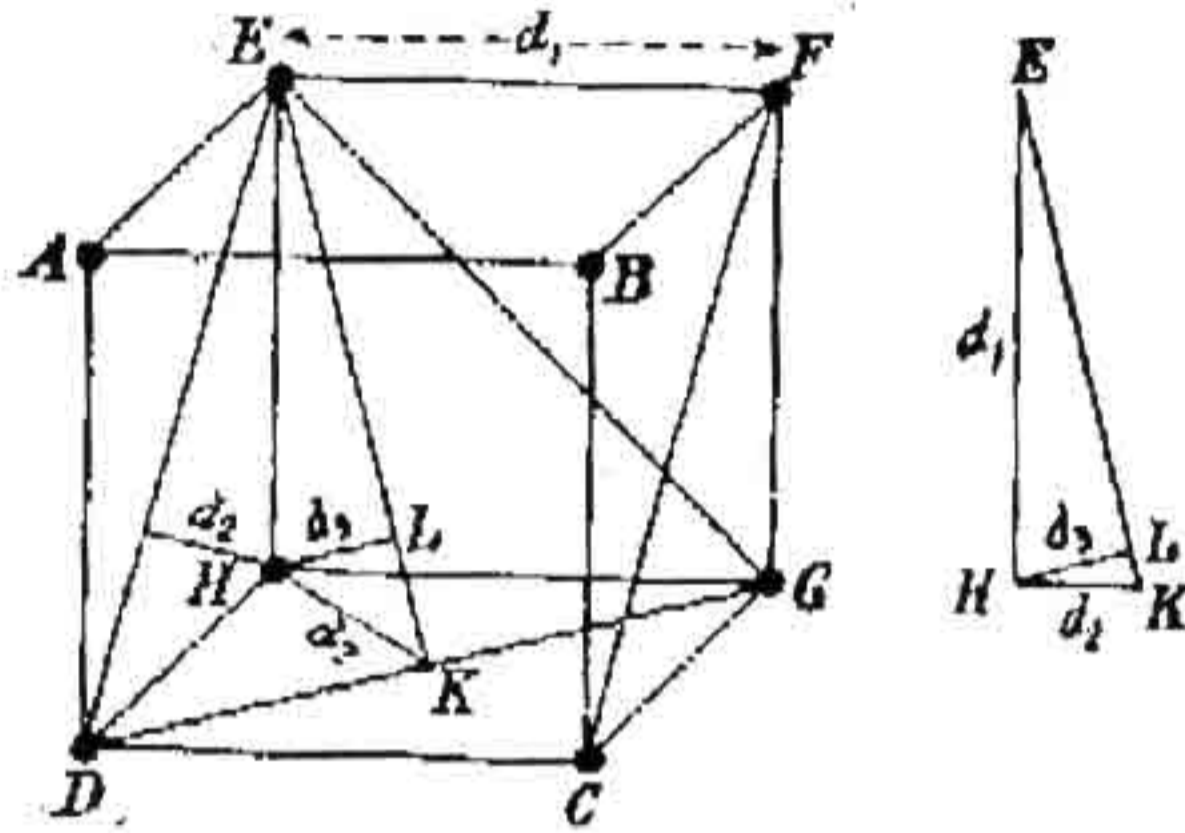
توضح النتائج أن قيمة  $\frac{d}{n}$  في (i) ضعف قيمتها في (iii) ومن ثم تمثل الزاويتان  $6.45^\circ$  ،  $13^\circ$  رتبا مختلفة لنفس المسافة الفاصلة . وفي هذه الحالة ستكون قيمة  $(n = 1)$  في (i) ،  $(n = 2)$  في (iii) لذلك تكون  $d = 2.58 \text{ \AA}$  في الحالة (ii) يمكن افتراض أن  $(n = 1)$  حيث لا توجد انعكاسات معينة وتكون المسافة الفاصلة في هذه الحالة  $d = 1.82 \text{ \AA}$  لهذا توجد مجموعتان من المستويات المتوازية المسافات الفاصلة لها هي  $1.82 \text{ \AA}$  ،  $2.82 \text{ \AA}$

(ب) حاول بنفسك رسم الشكل المستخدم في استنتاج قانون براج .

### (٣-٣) قانون براج والتركيب البلوري:

نوضح العلاقة بين قانون براج والتركيب البلوري بعرض أبسط حالة ممثلة في أملاح الهالوجينات التي تتبلر في نظام مكعبي . في النظام المكعبي للبلورات تقع إحدى الذرات عند أركان المكعب . يتكرر هذا التركيب في جميع اتجاهات الشبكة الحيزية وحتى في البلورة الأحادية Single Crystal توجد عدة مجموعات من المستويات غنية بالذرات . ويوضح

الشكل (٤) أن أركان المكعب تمثل مراكز الذرات لشبكة بسيطة من النظام المكعبي وفي هذه الحالة توجد ثلاثة أنظمة من المستويات يسهل تمييزها .



الشكل (٤)

أول هذه المجموعات الثلاث توازي المستويات ABCD ، AEFB لأوجه المكعب (المستويات 100)

المسافة الفاصلة بينهما هي  $d_1$  ، وتوجد مستويات أخرى مثل

AECD أو AEGC (المستويات 100) التي تميل على أوجه

المكعب بزواوية تساوي  $45^\circ$  وتفصلها مسافات  $d_2 = \frac{d_1}{\sqrt{2}}$  ثالث

المجموعات الغنية بالذرات هي تلك المستويات الموازية للمستوى

EDG (المستويات 111) التي تكون المسافات الفاصلة العمودية

من H هي  $d_3$  . ويمكن حساب المسافات الفاصلة بين هذه

المستويات بدلالة  $d_1$

ومن المثلث EHK نجد أن :

$$\frac{d_2}{d_1} = \frac{d_2}{\sqrt{d_1^2 + d_2^2}}$$

$$= \frac{d_1}{\sqrt{2}} \cdot \frac{\sqrt{2}}{d_1 \sqrt{3}} = \frac{1}{\sqrt{3}}$$

$$d_2 = \frac{d_1}{\sqrt{2}} \quad \text{نظرا لأن}$$

$$d_2 = \frac{d_1}{\sqrt{3}}$$

$$d_1 : d_2 : d_3 = 1 : \frac{1}{\sqrt{2}} : \frac{1}{\sqrt{3}} \quad \text{وتكون}$$

ولقد وجد براج أنه في بلورة كلوريد البوتاسيوم المهيأة في هذه الاتجاهات وبالاستعانة بالمستويات المتوازية الثلاثة المستخدمة في انعكاس الأشعة السينية فإن قيم الزوايا المتممة لزوايا السقوط هي  $9.05^\circ$  ،  $7.30^\circ$  ،  $5.22^\circ$  .

ونظرا لأن :

$$d \propto \frac{1}{\sin \theta}$$

$$d_1 : d_2 : d_3 = \frac{1}{\sin 5.22} : \frac{1}{\sin 7.3} : \frac{1}{\sin 9.05}$$

$$= \frac{1}{0.0910} : \frac{1}{0.1272} : \frac{1}{0.1570}$$



$$= 1 : \frac{1}{\sqrt{2}} : \frac{1}{\sqrt{3}}$$

وهذه تحقق الإفتراضات التي تتعلق بالشبيكة البسيطة المكعبة ،  
وترتبط علاقة براج ببارامترات الشبيكة للخلية موضع الدراسة ،  
وتكون المسافات الفاصلة بين المستويات (100) التي تمر بأركان  
الشبيكة هي  $a$  وللمستويات (110) هي  $\frac{a}{\sqrt{2}}$  وللمستويات (111) هي  
 $\frac{a}{\sqrt{3}}$

وبصفة عامة تكون المسافة الفاصلة بين المستويات المتوازية  
لمعاملات ميلر ( hkl ) بدلالة البارامتر  $a$  للنظام المكعبى هي :

$$d_{hkl} = \left[ \frac{a^2}{h^2 + k^2 + l^2} \right]^{\frac{1}{2}}$$

وثمة علاقات مماثلة يمكن استنتاجها حيث ترتبط  $d$   
ببارامترات الشبيكة لكل من أنظمة البلورات . ويوضح الجدول التالي  
هذه العلاقات فى بعض الحالات :

الجدول : المسافات الفاصلة لبعض الشبائك البسيطة وعلاقتها

بمعاملات ميلر :

المسافة الفاصلة d	الشبكية
$d = \left[ \frac{a^2}{h^2 + k^2 + l^2} \right]^{\frac{1}{2}}$	المكعبى
$d = \left[ \frac{a^2}{h^2 + k^2} + \frac{c^2}{l^2} \right]^{\frac{1}{2}}$	رباعى الزوايا أو الأضلاع
$d = \left[ \frac{3}{4} \frac{a^2}{h^2 + k^2 + l^2} + \frac{c^2}{l^2} \right]^{\frac{1}{2}}$	السداسى
$d = \left[ \frac{a^2}{h^2} + \frac{b^2}{k^2} + \frac{c^2}{l^2} \right]^{\frac{1}{2}}$	معينى قائم

أمثلة محلولة:

٣) أحسب المسافات الفاصلة بين المستويات والطول الموجى للأشعة السينية من النتائج التالية:

(أ) الزاوية المتممة لزاوية السقوط على Na Cl للرتبة الأولى =  $11.8^\circ$

(ب) الكتلة الذرية للصوديوم = 23.0

(ج) الكتلة الذرية للكلور = 35.5

(د) كثافة Na Cl = 2.17 جم / سم<sup>٣</sup>

(هـ) كتلة ذرة الهيدروجين =  $1.64 \times 10^{-24}$  جم

الحل :

بفحص تركيب بلورة Na Cl وجدنا أن كل مكعب به 8 ذرات ، واحدة عند كل ركن بحيث أن التركيب الكلى الممتد فى جميع الاتجاهات به ذرة واحدة لكل مكعب أو نصف جزيء لكل مكعب. فيكون

كتلة ذرة الهيدروجين  $\times$  الكتلة الجزيئية  $\times \frac{1}{2} =$  متوسط الكتلة لكل مكعب.

$$= \frac{1}{2} \times 58.5 \times 1.64 \times 10^{-24}$$

لكن

$$d^3 = \frac{\text{الكتلة}}{\text{الكثافة}} = \frac{\frac{1}{2} \times 58.5 \times 1.64 \times 10^{-24}}{2.17}$$

حيث d طول جانب المكعب أى أن :

$$d = \sqrt[3]{\frac{58.5 \times 1.64 \times 10^{-24} \text{ cm}^3}{2 \times 2.17}}$$

$$= 2.21 \times 10^{-8} \text{ cm} = 2.81 \text{ \AA}$$

وعندما تكون الزاوية المتممة لزاوية السقوط  $\theta$  للرتبة الأولى =

11.8

$$\lambda = 2d \sin \theta$$

$$= 2 \times 2.81 \times \sin 11.8$$

$$= 2 \times 2.81 \times 0.204 = 1.15 \text{ \AA}$$

ويوجد عدد من البلورات البسيطة يتم فيها حساب المسافات الفاصلة بين الذرات والأيونات بنفس الطريقة والمسافات الفاصلة المحسوبة متفقة تماماً مع القيم المحسوبة من قانون براج.

٤) يحيد الإشعاع المنبعث من أنبوبة أشعة سينية تعمل تحت فرق جهد 50 كيلو فولت بواءة بلورة KCl مكعبة وكان الكتلة الجزيئية له 74 وكثافته  $1.99 \times 10^3$  كجم/م<sup>٣</sup> . أحسب (أ) أقصر طول موجي لطيف الأشعة السينية المستخدمة. (ب) الزاوية  $\theta$  للرتبة الأولى من المستويات الرئيسية للبلورة لذلك الطول الموجي.

**الحل :**

يتم الحصول على أقصر طول موجي عندما تتحول الطاقة الكلية للألكترون المتصادم مع الهدف إلى فوتونات. ويكون  $h\nu = eV$  حيث  $h$  ثابت بلاشك ،  $\nu$  التردد و  $V$  الجهد العامل بالفولت .  
ويكون

$$\nu = \frac{c}{\lambda_{\text{min}}}$$

حيث  $c$  سرعة الضوء

$$\therefore \frac{hc}{\lambda_{\text{min}}} = eV$$

$$\lambda_{\text{mon}} = \frac{hc}{eV}$$

$$= \frac{6.625 \times 10^{-34} \times 3 \times 10^8}{1.6 \times 10^{-19} \times 50 \times 10^3} = 0.248 \text{ \AA}$$

ويستعين طول جانب مكعب بلورة KCl كما في المثال السابق في حالة NaCl من العلاقة :

$$d = \sqrt{\frac{74.6 \times 1.64 \times 10^{-24}}{2 \times 1.99}} = 3.13 \times 10^8 \text{ cm}$$

$$= 3.13 \text{ \AA}$$

وطبقاً لقانون براج :

$$2d \sin \theta = n \lambda$$

$$\sin \theta = \frac{n\lambda}{2d}, \quad n=1$$

$$\therefore \sin \theta = \frac{0.248 \text{ \AA}}{2 \times 3.13 \text{ \AA}} = 0.0397$$

$$, \theta = 2^\circ 16'$$

٥) ينعكس الإشعاع  $\alpha$  K المنبعث من البلاديوم في الرتبة الأولى بزاوية  $5^\circ 23'$  عن المستويات [100] وبزاوية  $7^\circ 37'$  من المستويات [110] وبزاوية  $9^\circ 23'$  من المستويات [111]. ما هو نوع الشبكة البلورية لهذه البلورة؟

الحل:

باستخدام قانون براج للترتبة الأولى :

$$2d \sin \theta = \lambda$$

ويكون

$$d_1 \sin \theta_1 = d_2 \sin \theta_2 = d_3 \sin \theta_3$$

حيث  $d_1, d_2, d_3$  هي المسافات الفاصلة للمستويات  $[110]$  ,  $[111]$  ,  $[100]$  على الترتيب .

$$d_1 : d_2 : d_3 :: \frac{1}{\sin \theta_1} : \frac{1}{\sin \theta_2} : \frac{1}{\sin \theta_3}$$

$$:: \frac{1}{\sin 5^\circ 23'} : \frac{1}{\sin 7^\circ 37'} : \frac{1}{\sin 9^\circ 23'}$$

$$:: \frac{1}{0.0938} : \frac{1}{0.1326} : \frac{1}{0.1630}$$

$$:: 1 : \frac{1}{\sqrt{2}} : \frac{1}{\sqrt{3}}$$

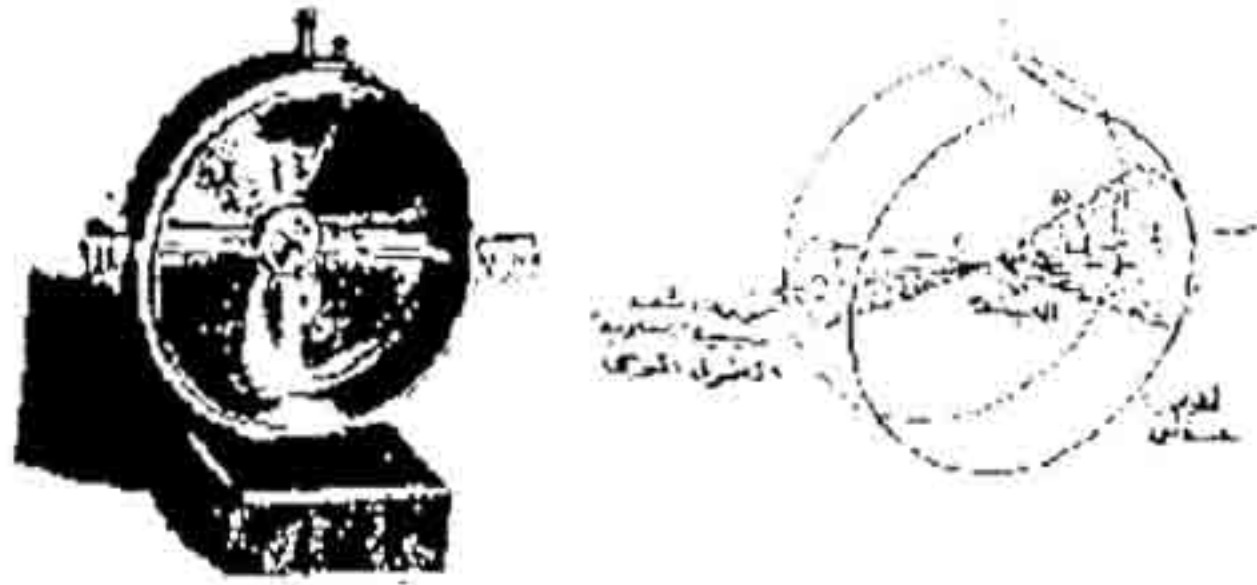
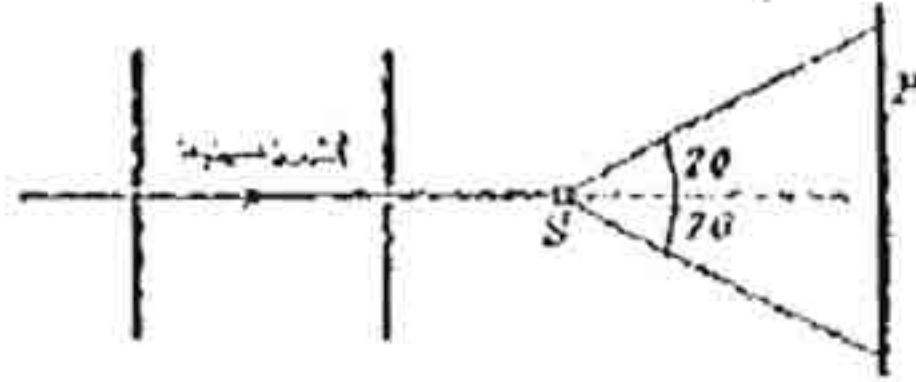
التي تمثل الشبكة المكعبة البسيطة

(٣-٤) طريقة مسح البلورة :

في هذه الطريقة من مسح البلورة في طريق حزمة أشعة سينية أحادية اللون . ولما كان المسحوق يحتوى على بلورات صغيرة اتجاهاتها موزعة عشوائياً، لذلك تكون كل مستويات الحيود متاحة

لكي يحدث الحيود ويكون لكل مجموعة من المستويات مخروط من الأشعة الساقطة سوف تتكون عليه مجموعة من الدوائر. وبتحليل أنصاف أقطار هذه الدوائر والزوايا  $\theta$  يكون من الممكن تحديد معاملات ميلر (hkl) لأي إنعكاس محدد ويساعد هذا في حساب المسافات بين الذرية الفاصلة وذلك بمعرفة طول موجة الإشعاع المستخدم.

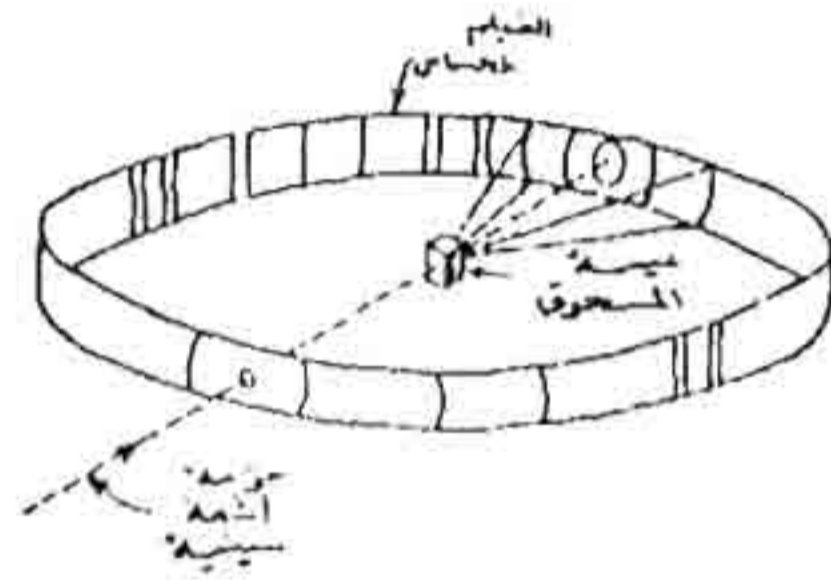
ولهذا الغرض يستخدم الجهاز الموضح في الشكل (٥) . يوضح



الشكل (٥)

المسحوق في أنبوبة شعيرية مقلدة من مادة لا تعمل على حيود الأشعة معلقة على طول محور كاميرا اسطوانية في طريق حزمة أشعة سينية أحادية اللون تمر خلال مرشح مناسب وفتحتين ضيقتين . وثمة لوح

فوتوغرافى مثبت على السطح الداخلى للكاميرا ويغطية بالكامل ليكون مهياً لإستقبال الأشعة السينية المحادة بزوايا تصل إلى  $180^0$  . ويتم تسجيل إنعكاسات براج المختلفة فى شكل أقواس متتالية من دوائر متحدة المركز كما فى الشكل (٦) .  
وبقياس أنصاف أقطار هذه الدوائر وبمعرفة نصف قطر



الشكل (٦)

الكاميرا يمكن حساب زواية براج  $\theta$  . وإذا كان  $R$  نصف قطر إحدى الدوائر و  $X$  نصف قطر أسطوانة الكاميرا، عندئذ يكون:

$$\tan 2\theta = \frac{R}{X}$$

$$2\theta = \frac{R}{X}$$

نظراً لأن  $\theta$  زاوية صغيرة



$$\therefore \theta = \frac{R}{2.1}$$

ونظراً لأن الدوائر أحادية المركز تمثل مقاطع مخاريط الأشعة تمتد إلى ما يسمى "إشعاع خلفي" back radiation أمثلة محلولة:

(٦) برهن أنه عند تعيين بارامترات الشبكة أنه كلما زادت زاوية الحيود كلما زادت درجة الدقة:

$$\lambda = 2d \sin \theta n \quad \text{الحل:}$$

$$d \sin \theta = \frac{n\lambda}{2}$$

$$d \cos \theta \times \Delta \theta = \sin \theta \times \Delta d = 0 \quad \text{بالتفاضل}$$

ونظراً لأن  $n$  و  $\lambda$  ثابتان

$$\therefore \sin \theta \times \Delta d = -d \cos \theta \times \Delta \theta$$

$$\frac{\Delta d}{d} = -\cot \theta \cdot \Delta \theta$$

وعندما  $90^\circ \rightarrow \theta$  فإن  $\cot \theta = 0$  وعندئذ يكون الخطأ

$\Delta d$  في  $d$  التي تمثل المسافة بين المستويات المتوازية الذي يرتبط بدوره ببارامتر الشبكة يقترب من الصفر وبذلك تزداد درجة الدقة .

أمثلة محلولة:

٧ - أ) إذا أعطيت قطعة مربعة من لوح فوتوغرافي للأشعة السينية أبعاده 10 cm ، 40cm وإذا استخدمت إشعاع النحاس وطوله الموجي 1.52 أنجستروم ومسحوق Na Cl ( مكعبى التركيب)

بارامتر الشبكة لها 57 . 4 أنجستروم بين كيف تصمم تجربة توضح أن الأشعة المنعكسة أو المحادة من المستويات (111) تكون دوائر قطرها 10 سم .

ب ) إذا استبدل Na Cl بكلوريد الفضة Ag Cl بين كيف تتأثر شدة الحزمة المحادة بفرض أن التركيب وبارامتر الشبكة يظلان كما هما .

الحل :

يوضح الشكل (٣-٧) نتائج هذا المثال .

أ ) ليكن  $\times$  المسافة بين اللوح الفوتوغرافي وعينة Na Cl وأن  $(\theta)$  هي زاوية الحيود عندئذ

$$\tan 2\theta = \frac{R}{Y}$$

$$\therefore \times = \frac{5 \text{ cm}}{\tan 20}$$

$$\therefore \lambda = 2d \sin \theta$$

$$d = \frac{a}{\left(h^2 + k^2 + l^2\right)^{\frac{1}{2}}}$$

$$h = k = l = 1$$

وللمستويات (111)

$$\therefore d = \frac{a}{3^{\frac{1}{2}}} = \frac{4 \cdot 57 \text{ \AA}}{3^{\frac{1}{2}}} = 2 \cdot 64 \text{ \AA}$$

ومن قانون براج

$$\sin \theta = \frac{\lambda}{2d} = \frac{1.52}{2 \times 2.64} = 0.288$$

$$\therefore \theta = 16.75^{\circ}, 2\theta = 33.5^{\circ}$$

$$x = \frac{5}{\tan 33.5} = 7.55 \text{ cm}$$

ب ) سوف تزداد شدة الحدود نظرا لأنها تتناسب مع العدد الذري Z وأن العدد الذري للنقطة أكبر من نظيره للصوديوم

#### حيود الإلكترونات والنيوترونات :

ثم تأكيد استخدام ظاهرة الحيود في البلورات عند استخدام الأشعة السينية عن طريق حيود كل من الإلكترونات أو النيوترونات كل على حدة في دراسة التركيب البلوري للجوامد .

## أسئلة عامة :

- ١ - شرح تجربة تستخدم في دراسة حيود الأشعة السينية في الجوامد.
- ٢ - صف قانون براج المستخدم لدراسة حيود الأشعة السينية .  
واشرح كيف يمكن حساب المسافة الفاصلة بين المستويات العاكسة المتتالية في ملح الطعام.
- ٣ - اشرح مطياف براج واستنتج العلاقة المستخدمة لقياس الطول الموجي للأشعة السينية .
- ٤ - استنتج معادلة براج للأشعة السينية المحادة في البلورات. صف وأشرح طريقة مطياف الأشعة السينية في تعيين الطول الموجي  $\lambda$  .
- ٥ - اكتب نبذة مختصرة عن كل من :  
أ - قانون براج  
ب - الأشعة السينية والتركيب البلوري .  
ج - قياس الأطوال الموجية للأشعة السينية  
د - شبكة برافيه الحيزية .
- ٦ - استخدمت أشعة سينية طولها الموجي 58 . 0 أنجستروم في حساب  $d_{200}$  في النيكل علما بأن زاوية براج  $9.5^\circ$  . ما حجم الخلية الوحدة (  $3.52 \text{ \AA}$  ) .
- ٧ - استخدمت بلورة Na Cl في قياس الطول الموجي لمصدر للأشعة السينية فإذا كانت زاوية براج هي  $5.2^\circ$  للمسافات الفاصلة للمستوى (111) للكلور .

ما هو الطول الموجي علما بأن بارامتر الشبكة هو 5.63 أنجستروم .

$$\lambda = \frac{a \sin \theta}{\sqrt{3}} = \frac{2 \times 5.63}{\sqrt{3}} = 1.021 \text{ \AA}$$

٨ - تم تحليل الإشعاع الصادر من مصدر للأشعة السينية تعمل تحت فرق جهد 40 كيلو فولت وذلك بواسطة مطياف براج باستخدام بلورة كالسيت مقطوعة بحيث يكون سطح التفلج الإنشقاق ، موازيا للمستوى ( 100 )

أ - احسب أقصر طول موجي لطيف هذه الأشعة السينية.

ب- ما أصغر زاوية بين مستويات البلورة وحزمة الأشعة

السينية (زاوية براج) المقابلة لهذا الطول الموجي علما بأن

$$h = 6.625 \times 10^{-34} \text{ جول لكل ثانية} \quad e = 1.6 \times 10^{-19}$$

$$c = 3 \times 10^8 \text{ م/ث} \quad d_{100} = 3.029 \text{ \AA}$$

$$\{ a = 0.305 \text{ \AA}^0, \}$$

$$\theta = 2^\circ 59' \}$$

٩ - أ ) ناقش طريقة لدراسة تركيب بلورة بسيطة باستخدام الأشعة السينية .

ب) زاوية براج المناظرة للرتبة الأولى للإنعكاسات عن

المستويات (111) في بلورة هي  $30^\circ$  عندما يكون الطول

الموجي لحزمة الأشعة السينية المستخدمة هو 1.75

أنجستروم . احسب المسافات بين الذرية .

ج) ليكن  $a$  هو المسافة بين الذرية ولتكون المسافة الفاصلة  $d$  بين المستويات (111)، بين أن  $d$  ترتبط بالمسافات بين الذرية  $a$  بالعلاقة .

$$d_{hke} = \frac{a}{(h^2 + k^2 + l^2)^{1/2}}$$

حيث  $h, k, l$  معاملات ميلر

في هذه الحالة :  $h = k = l = 1$

$$d_{111} = \frac{a}{\sqrt{3}}$$

ومن قانون براج

$$2 d_{111} \sin \theta = n \lambda$$

$$\therefore d_{111} = \frac{a}{\sqrt{3}}, \theta = 30^\circ, n = 1, \lambda = 1.75 \text{ \AA}$$

$$2 \frac{a}{\sqrt{3}} \sin 30 = 1.75$$

$$\frac{2a}{\sqrt{3}} \times \frac{1}{2} = 1.75$$

$$\therefore a = \sqrt{3} \times 1.75 = 3.03/\text{\AA}$$

# الباب الرابع

الخصائص الميكانيكية

للجوامد

الباب الرابع  
الخصائص الميكانيكية للجوامد  
**Mechanical Properties of Solids**

تعد الخصائص الميكانيكية : القوة والصلادة والقابلية للسحب (المطولية أو المطاوعة) ومقاومة التآكل من أهم مميزات الجوامد. فاعتمادا على هذه الخصائص يتم استخدام الجوامد في التطبيقات العملية: الأعمال الإنشائية والمباني والتقنيات الكهربائية والإلكترونية والمغناطيسية التي بدونها يكون من المستحيل أن ينمو الاقتصاد وتزدهر الحضارة.

٤-١) التشوهات المرنة واللدنة:

**Elastic and Plastic Deformation**

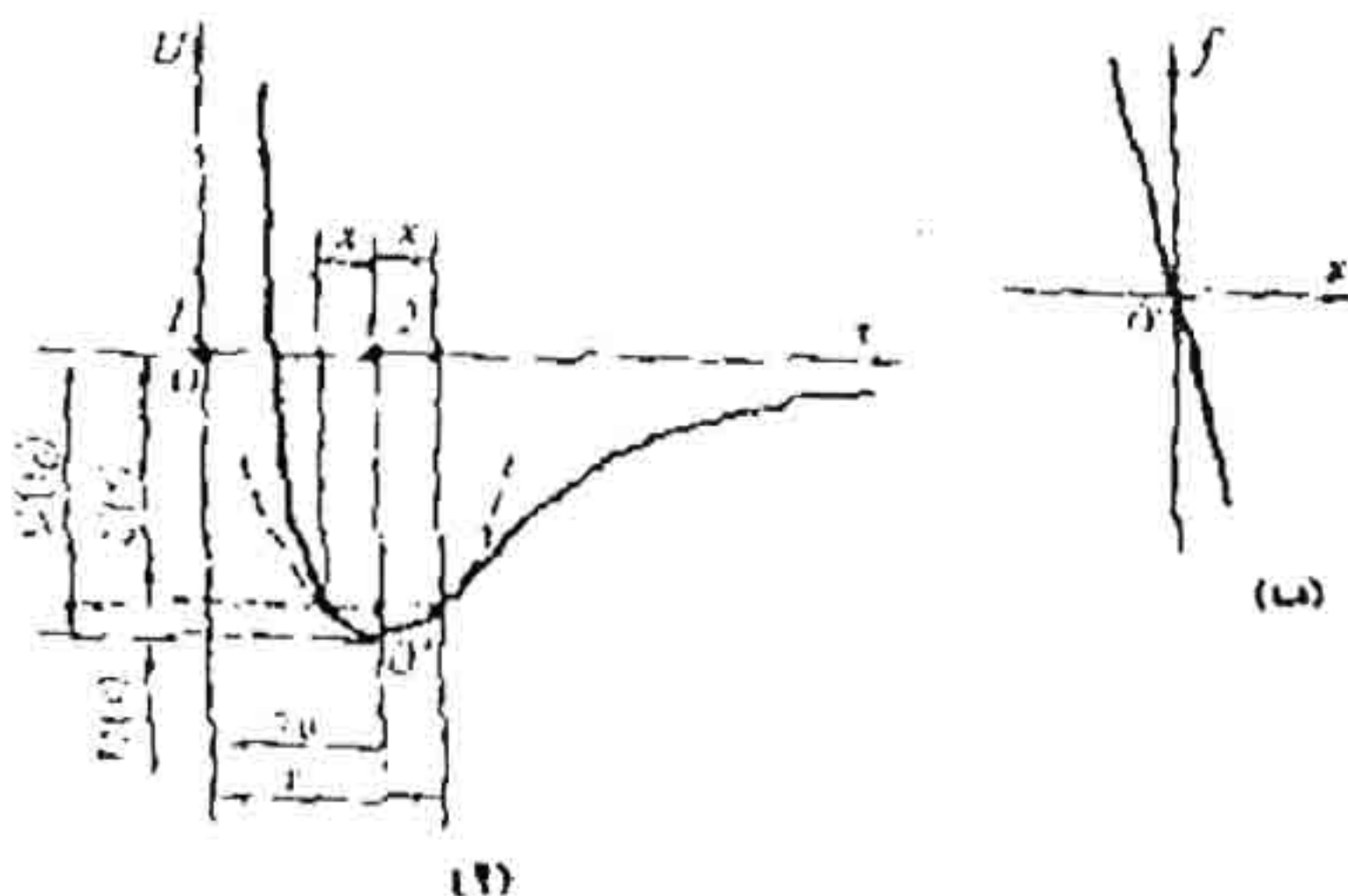
**Hooke's law**

**قانون هوك**

عندما تتعرض بلورة لحمل شد خارجي تزداد المسافات بين الذرية وتزاح الذرات عن مواضع اتزانها الأصلية. وهذا يؤدي إلى الإخلال بحالة الإلتزان بين قوى التنافر وقوى التجاذب المميزة لحالة اتزان الذرات في الشبكة ، كما يؤدي إلى ظهور قوى داخلية تميل إلى إعادة الذرات إلى مواضع اتزانها الأصلية. ويطلق على قيمة تلك القوى لكل وحدة مساحة مقطع من البلورة اسم الاجهاد Stress .



•• حساب قيمة الاجهاد :



الشكل (1)

من المعروف أن طاقة التأثير المتبادل بين جسيمين (1) ، (2) في جامد دالة في المسافة (r) بينهما. هذه العلاقة يمكن وصفها بالمنحنى U (r) التخطيطي في الشكل (أ). وعندما يزاح الجسيم (2) عن موضع اتزانه الأصلي ، أي عندما تزداد المسافة بين الجسيمين إلى  $r = r_0 + x$  تزداد طاقة الجسيم وتصبح U (r) . ويكون التغير في الطاقة هو :

$$U(x) = U(r) - U(r_0)$$

ويمكن ايجاد مفكوك U(r) تبعا لمسلسلة تبلور كدالة في x على الصورة :

$$(1) \quad U(x) = \left(\frac{\delta U}{\delta r}\right)_0 x + \frac{1}{2} \left(\frac{\delta^2 U}{\delta r^2}\right)_0 x^2 + \frac{1}{6} \left(\frac{\delta^3 U}{\delta r^3}\right)_0 x^3 + \dots$$

هذا مع إهمال كل حدود المسلسلة باستثناء الحد التربيعي والأخذ في الاعتبار أن  $= 0$  عند النقطة 0 . عندئذ نحصل على :

$$(2) \quad U(x) \approx \frac{1}{2} \left( \frac{\delta^2 U}{\delta r^2} \right)_0 x^2 = \frac{1}{2} \beta x^2$$

حيث  $\beta$  هي جسوءة (قساوة) الرابطة.

والعلاقة السابقة علاقة تقريبية للتغير في الطاقة إذا

أننا

احتفظنا فيها فقط بالحد التربيعي وأهملنا حدود  $x$  ذات الرتب الأعلى. وهذه العلاقة يمكن تمثيلها بيانيا بقطع مكافئ موضح في الشكل (٤-١١) بخط متقطع. وتكون القوة بين الجسيمين ١ ، ٢ عندما تتغير المسافة الفاصلة بينهما بمقدار  $x$  هي :

(٣)

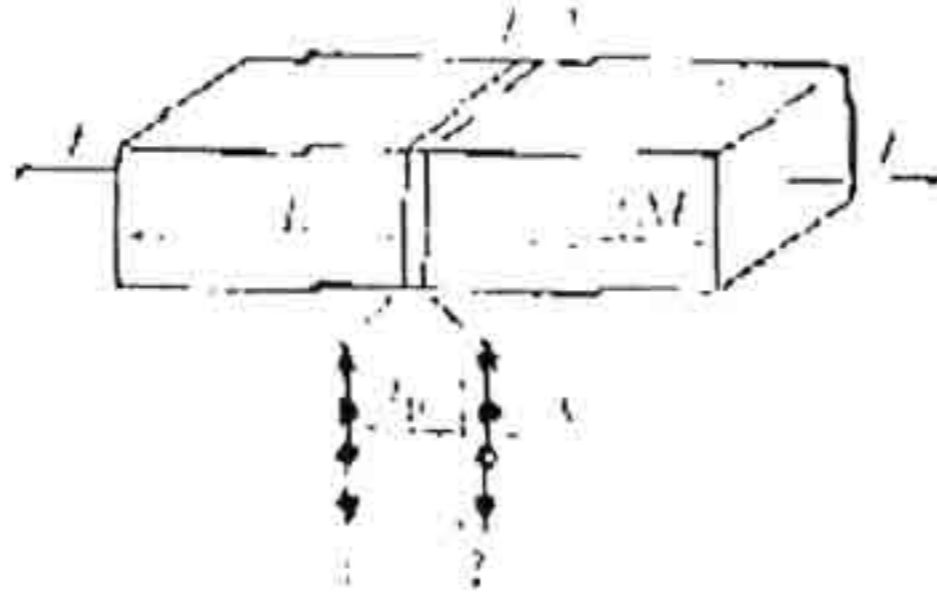
$$f = - \frac{\delta U(x)}{\delta x} = - \beta x$$

ومن هذه العلاقة نتبين أن القوة تتغير خطيا مع تغير  $x$  وأنها موجهة نحو موضع الاتزان ، يدل على ذلك الإشارة السالبة التي نسبق الطرف الأيمن من المعادلة. وكما هو معروف أن أى جسيم يتأثر بمثل هذه القوة يتذبذب توافقيا. ويطلق على مثل هذه القوة قوة توافقيه ويطلق على نفس الحد في المعادلة (٢) التقريب التوافقي.

ويوضح الشكل (١ب) رسما تخطيطيا لعلاقة  $f(x)$  بقيم  $x$  الصغيرة. هذه العلاقة كما نرى يمثلها خط مستقيم .

وإذا تصورنا أن حمل شد  $f$  يؤثر على قضيب مساحة مقطعه  $S$  وطوله  $L$ . يتسبب هذا الحمل في تغيير المسافة بين الذرات

المتجاورة في المستويين ١ ، ٢ بالمقدار  $x$ . وينتج عن ذلك حدوث استطالة في القضيب بمقدار  $\Delta L$  ، الشكل (٢).



الشكل (٢)

هذا الحمل سيتزن مع القوي الداخلية  $f_{int}$  تساوي عدديا.

$$(٤) \quad F_{int} = fN = N \beta x$$

حيث  $N$  عدد الجسيمات في طبقة ذرية مساحتها  $S$ .

وستكون الإجهادات  $\sigma$  التي تظهر في القضيب بعد استطالته هي :

$$\sigma = \frac{F_{int}}{S} = \frac{N}{S} \beta x = c x$$

$$(٥) \quad c = \frac{N\beta}{S} \quad \text{حيث :}$$

وبضرب وقسمة الطرف الأيمن من المعادلة (٥) في المسافة

بين المستويات الذرية  $r_0$  نحصل على:

$$(٦) \quad \delta = c r_0 \frac{x}{r_0} = E \epsilon$$

$$E = C r_0 \frac{N}{S} \beta r_0 \quad \text{حيث :}$$

(٧)

$$(٨) \quad E = \frac{x}{r_0}$$

حيث E معامل المرونة أو معامل يونج.

هنا  $\epsilon$  هي التغير النسبي لباراتير الشبكة في اتجاه القوة الخارجية  $F$ . بضرب بسط ومقام المعادلة (٨) في عدد الطبقات الذرية N التي تتكون منها العينة التي طولها L ، عندئذ نحصل على :

$$(٩) \quad \epsilon = \frac{x'N'}{r_0N'} = \frac{\Delta L}{L}$$

ومن ثم تكون  $\epsilon$  هي الاستطالة النسبية للعينة تحت تأثير حمل الشد الخارجي ويتضح من المعادلة (٦) أنه طالما ظل التقريب التوافقي صالحاً للتطبيق وبعبارة أخرى أنه طالما تظل القوى المؤثرة بين الجسيمات المزاحة بالنسبة لبعضها البعض نتيجة لتشوّه الجسم بمثابة دوال خطية للازاحة ، فإن الاجهادات التي تظهر في الجسم تبقى متناسبة مع التشوّه النسبي للجسم.

$$\sigma = E\epsilon$$

ويدل معامل المرونة E على ثابت التناسب.

وتدل المعادلة (٦) عن قانون هوك. وهو صالح للتطبيق فقط طالما ظل التقريب التوافقي صالحاً هو الآخر للتطبيق ، بعبارة أخرى يظل صالحاً للتطبيق في حالة التشوّهات النسبية الصغيرة جداً.

ويتضح المعنى الفيزيائي لقانون هوك من المعادلة (٦)

$$\text{بوضع } \epsilon = 1 \text{ وعندئذ نجد ان } \sigma = E$$

أى أن معامل المرونة يساوى عدديا الاجهاد الذي تنشأ عنه إستطالة  $\Delta L = L$  حيث  $L$  طول العينة. وبفرض ان قانون هوك يظل صالحا للتطبيق فإن العينة تظل دون تدمير أو كسر. ولا توجد مادة حقيقة فيما عدا المطاط يمكنها أن تقاوم مثل هذه التشوهات. ويوضح الجدول (١) قيم معاملات المرونة لبعض البلورات الفلزية.

جدول (١)

جيجا بسكال و G		جيجا بسكال و E		المادة
نهاية صغرى	نهاية عظمى	نهاية صغرى	نهاية عظمى	
25	29	64	77	ألومنيوم
31	77	68	194	نحاس
60	118	135	290	حديد
171	184	437	514	ماغنسيوم
155	155	400	400	تنجستون
278	497	65	126	خارصين

ويتضح من هذا الجدول أن معاملات مرونة الجوامد الفلزية بسكال.  $10^{11}$  ،  $10^{10}$  كبيرة جداً تتراوح بين

ويعد هذا دليلاً على أن قوي الترابط فيها قوية جداً. وتتوقف قيمة معامل المرونة في بعض العينات بكيفية ملحوظة على الاتجاه الذي تنشوه فيه الشبيكة ، ويوضح الجدول (١) قيم E في الاتجاهات

التي تبلغ فيها نهايتها الصغرى أو نهايتها العظمى. ولبعض البلورات قد تكون النسبة :

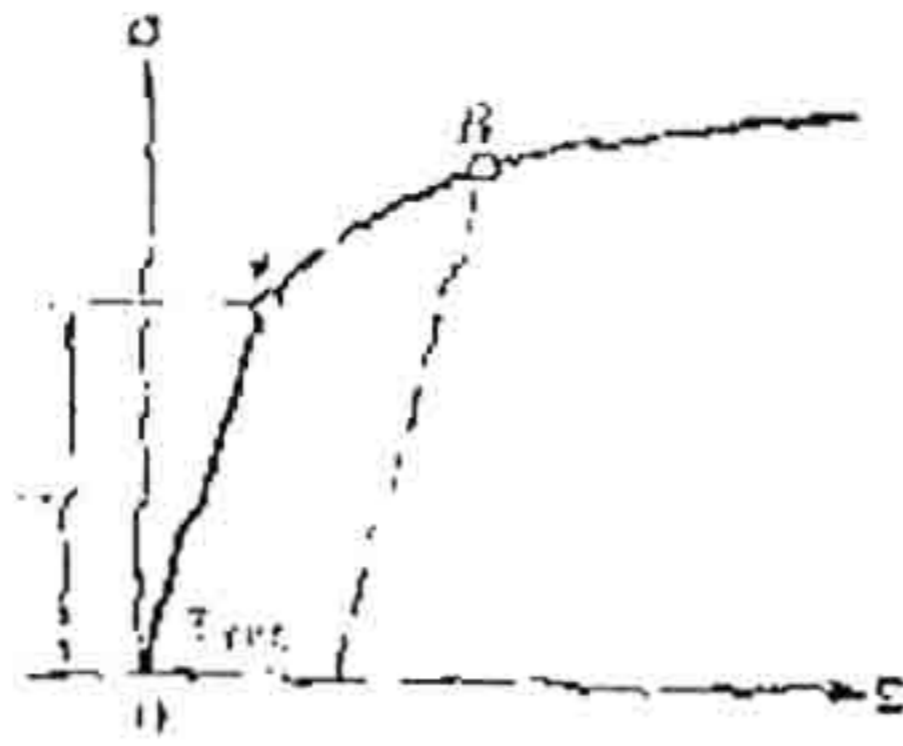
$$\frac{E_{\max}}{E_{\min}} \approx 3$$

وهذا يدل على عدم تماثل الخواص في مثل هذه البلورات. ويتوقف معامل المرونة فقط على طبيعة الذرات أو الجزئيات المكونة للجسم وعلى ترتيبها التبادلي. لذلك يمكن تغيير قيمة معامل المرونة فقط بتغيير البنية التركيبية ، ومع ذلك فإن التغييرات في  $\epsilon$  نتيجة لذلك تغييرات طفيفة جداً. لهذا فإن المعالجة الحرارية والتبريد وتغيير تركيزات التطعيم في الفولاذ تؤدي إلى تحسين درجة صلابته.

انتهينا الآن من مناقشة إجهادات الشد. ومع ذلك تظل جميع النتائج التي حصلنا عليها صالحة لأنواع التشوهات الأخرى : الانضغاط والقص. ونستخدم في الحالة الأخيرة معامل القص  $G$  وقيمته لبعض الفلزات موضحة هي الأخرى في الجدول (١).

وعندما يزداد الحمل الخارجي بمعدل ثابت يزداد الاجهاد  $\sigma$  ويزداد التشوه  $\epsilon$  أيضاً خطياً ، الشكل (٣).

الشكل (٣)



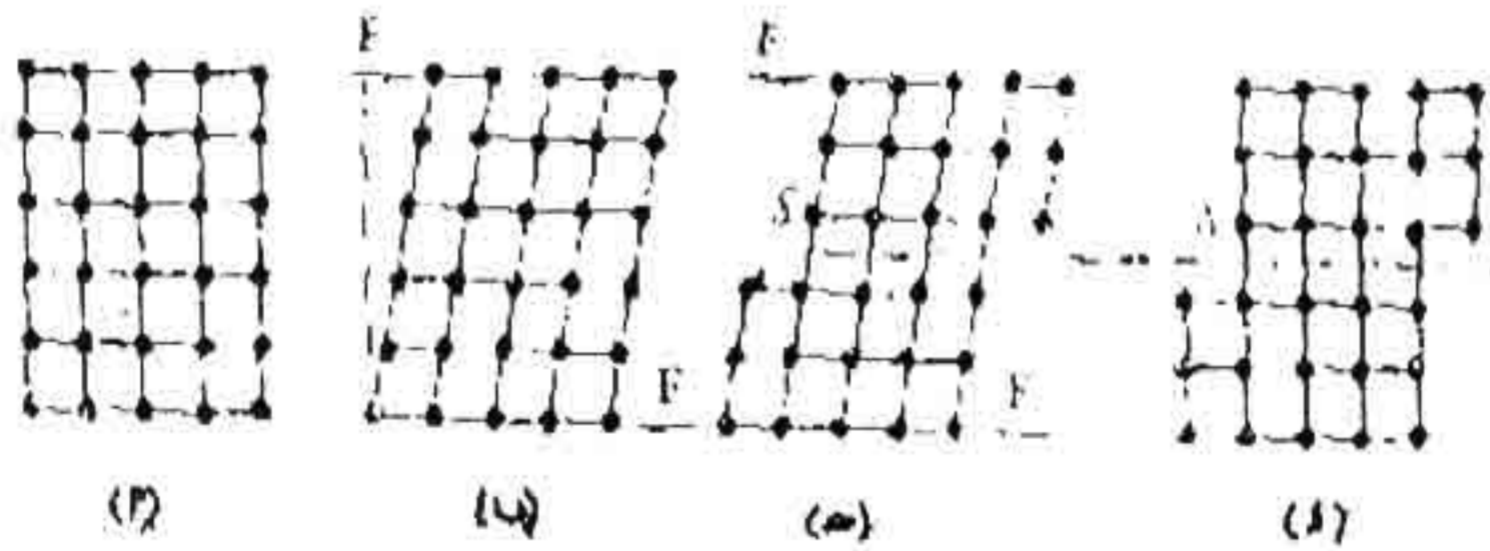
وعند بعض الاجهادات  $\sigma_y$  ، مميزة لبعض البلورات الخاصة ، فإن البلورة إما أن تتعرض للتدمير وإما أن يتوقف التناسب الطردى بين  $\sigma$  ،  $\epsilon$ . ويظل التشوه اللدن المتبقي  $\epsilon_{res}$  باقيا بعد إزالة الحمل الخارجي المؤثر. وتمثل الحالة الاولى حالة المواد الهشة وتمثل الحالة الثانية حالة المواد القابلة للسحب. ويسمى الاجهاد الذي يحدث عنده انسياب لدن ملحوظ في الجسم باسم إجهاد الخضوع yield stress وتكون المنطقتان OA ، AB منطقتي التشوهات المرنة واللدنة علي الترتيب.

وينطبق حد المرونة على قوة الشد في المواد الهشة وعندئذ تتعرض للتدمير قبل الانسياب اللدن الملحوظ . ومن ناحية أخرى يكون حد المرونة واجهاد الخضوع في المواد القابلة للسحب أقل من قوة الشد وهذه المواد تتعرض للتدمير فقط بعد تعرضها للتشوه اللدن.

(٤-٢) القوانين الرئيسية التي تحكم الانسياب اللدن في البلورات :

يحدث التشوه المتبقي في جميع الحالات عندما يزيد الاجهاد المؤثر علي البلورات القابلة للسحب موضع الاختبار للاستطالة والانضغاط عن اجهاد الخضوع. ومع ذلك لا الاستطالة ولا الانضغاط يمكن أن يكون سببا لمثل هذه التشوهات. فأى استطالة للبلورة تنتج فقط نتيجة لزيادة المسافة بين المستويات الذرية العمودية على القوة المؤثرة. وعندما يتم انسحاب المستويات الذرية بعيدا عن بعضها البعض بقدر كاف لا تكون قوي التجاذب قادرة على الاتزان مع الحمل الخارجي أو معادلته تتعرض البلورة للتدمير. ويمكن للانضغاط أن يقارب بين المستويات الذرية حتى تصبح قوة التنافر كافية للاتزان مع الحمل الخارجي وفي هذه الحالة يكون التشوه الحادث مرنا مثاليا ولا يؤدي إلى أى إزاحات عكسية لأجزاء الشبكة.

ويمكن أن يكون التشوه اللدن الناتج عن إجهاد القص قادرا علي إزاحة بعض أجزاء البلورة بالنسبة لبعضها الآخر بدون كسر الروابط بينها. ويطلق علي مثل هذه الإزاحات اسم الانزلاق slipping.



الشكل (٤)



ويقع علي أساس عملية الانسياب اللدن في المواد المتبلرة . ويوضح الشكل (٤) كيف تنشأ وتظهر التشوهات المتبقية وطالما أن حد المرونة لم يتم الوصول إليه تعاني البلورة تشوهات مرنة في وجود إجهادات مماسية، الشكل (٤ب) وهي إجهادات تتناسب طرديا مع تشوه القص النسبي relative shearing deformation (قانون هوك).

$$(١٠) \quad \tau = G \gamma$$

حيث G معامل مرونة القص Shear modulus

وبعد تحرير البلورة من الحمل الخارجي تعود الذرات إلي مواضعها الاصلية إلا أنه عند تجاوز حد المرونة يزاح جزء من البلورة بالنسبة لجزء آخر ، الشكل (٤ج) بواحد أو أكثر من المسافات الذرية على طول مستويات محددة S تسمى مستويات الانزلاق. وعند إزالة الحمل الخارجي تتلاشى إجهادات المرونة في الشبكة. ومع ذلك، يبقى جزء من البلورة مزاحا بالنسبة لآخر ، الشكل (٤د). مثل هذه الازاحات الصغيرة غير القابلة للعكس والناشئة على طول مستويات الانزلاق العديدة تكون في مجموع التشوه المتبقي في البلورة ككل.

ويمكن تعيين الدرجة التي تتعرض عندها البلورة للتشوه اللدن بواسطة طبيعة قوى الترابط بين عناصر البنية التركيبية.

فالرابطة التساهمية مع توجيهها الصارم تقل بمقدار محسوس بسبب الازاحات الصغيرة النسبية للذرات ، فالقص يدمر هذه الروابط حتى قبل أن تصبح الذرات قادرة علي أظهارها. وإذا أخذنا في

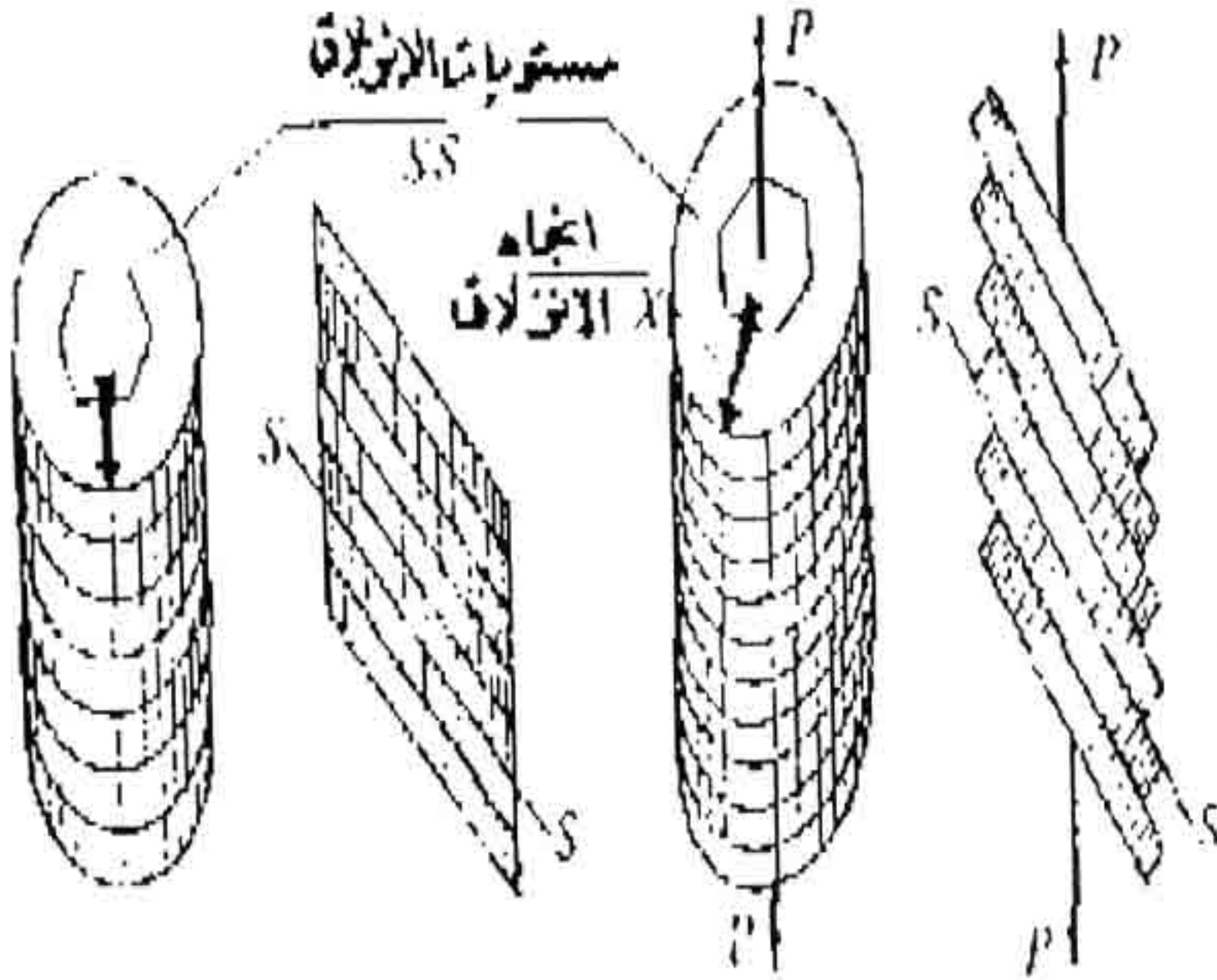
الحسبان أن البلورات التساهمية : الماس ، السليكون . الجرمانيوم -  
الانثيمون - الزموث- الزرنيخ تكون غير قادرة على تحمل التشوه  
اللدن . عندئذ تكون البلورات خارج حدود التشوه المرن معرضة  
للتدمير .

وتظل الرابطة الفلزية التي لا تظهر لها اتجاهية معينة ثابتة  
عمليا نتيجة للازاحات النسبية للذرات . ويؤدي هذا إلى امكانية ظهور  
إزحات نسبية كبيرة جداً (بضع آلاف من المسافات الذرية) لبعض  
أجزاء الشبكة ، ويؤدي هذا إلى قابلية البلورة للسحب بدرجة عالية.

وتشمل الرابطة الايونية موصفاً متوسطاً بين الرابطة  
التساهمية والرابطة الفلزية ويترتب على هذا ان يكون بعض البلورات  
الايونية المثالية : NaCl ، Ca F<sub>2</sub> ، KCl هشة كالبلورات التساهمية  
وتكون بعض البلورات الايونية مثل AgCl قابلة للسحب.

تحدث الانزلاقات في البلورة على طول مستويات تركيبية  
محددة واتجاهات معينة عادة على طول المستويات محكمة الرص  
والاتجاه . يرجع هذا إلى أن المستويات محكمة الرص والاتجاه هي  
الأقوى نظراً لأن المسافات بين الذرات فيها أقصر وقوة الرابطة عند  
نهايتها العظمى . ومن ناحية أخرى عندما تكون المسافات بين  
المستويات أطول تكون قوة الرابطة عند نهايتها الصغرى . وينتج  
الانزلاق على طول مثل هذه المستويات والاتجاهات عندما تكون  
درجة الفوضى أقل ما تكون في الذرات وعندئذ يكون من السهل  
إظهار هذه الانزلاقات.

وينتج عن اختلاط مستوى الانزلاق مع اتجاه الانزلاق الذي يقع فيه ما يسمى بنظام الانزلاق slip system. وينطبق مستوى الانزلاق في الشبيكة المكعبة متمركزة الوجه على المستوى (111) وينطبق اتجاه الانزلاق على اتجاه قطر الجسم [111]. وفي البلورات السداسية ينطبق مستوى الانزلاق SS على مستوى القاعدة [0001] بينما ينطبق اتجاه الانزلاق  $x$  على واحد من المحاور الثلاثة التي تقع على مستوى القاعدة، الشكل (٥) حيث P تشوه الجسم الخارجى.



الشكل (٥)

وأوضحت التجارب العديدة أن البلورة تبدأ في الانزلاق تبعاً لما يتطلبه نظام الانزلاق فقط بعد أن يصل إجهاد القص  $\tau$  المؤثر في

النظام إلى قيمته الحرجة  $\tau_{cr}$  ويسمى إجهاد القص الحرج. ويوضح الجدول (٢) قيم إجهادات القص الحرجة في بعض البلورات النقية أحادية التبلىر.

الجدول (٢)

الفلز	محتوى الشوائب ( $10^{-1}$ )	مستوى الانزلاق	اتجاه الانزلاق	$\tau_{rc}$ باسكال $10^5$
كادميوم	0.4	(0001)	[100]	0.058
نحاس	10	(111)	[101]	0.1
ماغنسيوم	5	(0001)	[100]	0.083
نيكل	20	(111)	[101]	0.54
فضة	1	(111)	[101]	0.06
خارصين	4	(0001)	[001]	0.001

ويتضح من الجدول (٢) أن البلورات الأحادية القابلة للسحب لا يتجاوز فيها إجهاد القص الحرج  $10^6$  بسكال.

ويتوقف إجهاد القص المرن إلى حد كبير على التشوه السابق للبلورة الناشئ عن زيادة قيمته. وأصبحت الظاهرة معروفة باسم التقوية strengthening أو المعالجة على البارد cold working.

ومن ثم فإن 30% من التشوه الأولى لبلورة الماغنسيوم الأحادية تعمل على زيادة  $\tau_{cr}$  بمقدار 25 مرة تقريبا وربما أكثر للمعالجة على البارد للبلورت المكعبة : ألومنيوم - نحاس - نيكل .. إلى آخره.

وتعد تقوية البلورات شاهداً على أن العمليات اللاعكسية المتضمنة للازاحات النسبية للذرات وأجزاء البلورة، ينتج عن هذا تغيرات في الطاقة الداخلية للبلورات، وتبرهن الدراسة العملية لهذه الظاهرة أن التغيرات في الطاقة الداخلية للجوامد تحدث في عملية تشوهها اللدن. ويوضح الجدول (٣) النهايات العظمى للطاقة التي تم تجميعها في فلزات مختلفة في عملية تشوهاتها اللدنة.

الجدول (٣)

الفلز	Q جول/كجم
ألومنيوم	4400
نحاس أصفر	2000
نحاس	2000
حديد	4800
نيكل	3120

وربما تتحول هذه الطاقة إلى حرارة تؤدي إلى ارتفاع درجة حرارة الفلز عدة درجات، ونظرا لان تجميع الطاقة في البلورة في عملية التشوه اللدن تتضمن ازاحات لا عكسية للذرات وبعض أجزاء

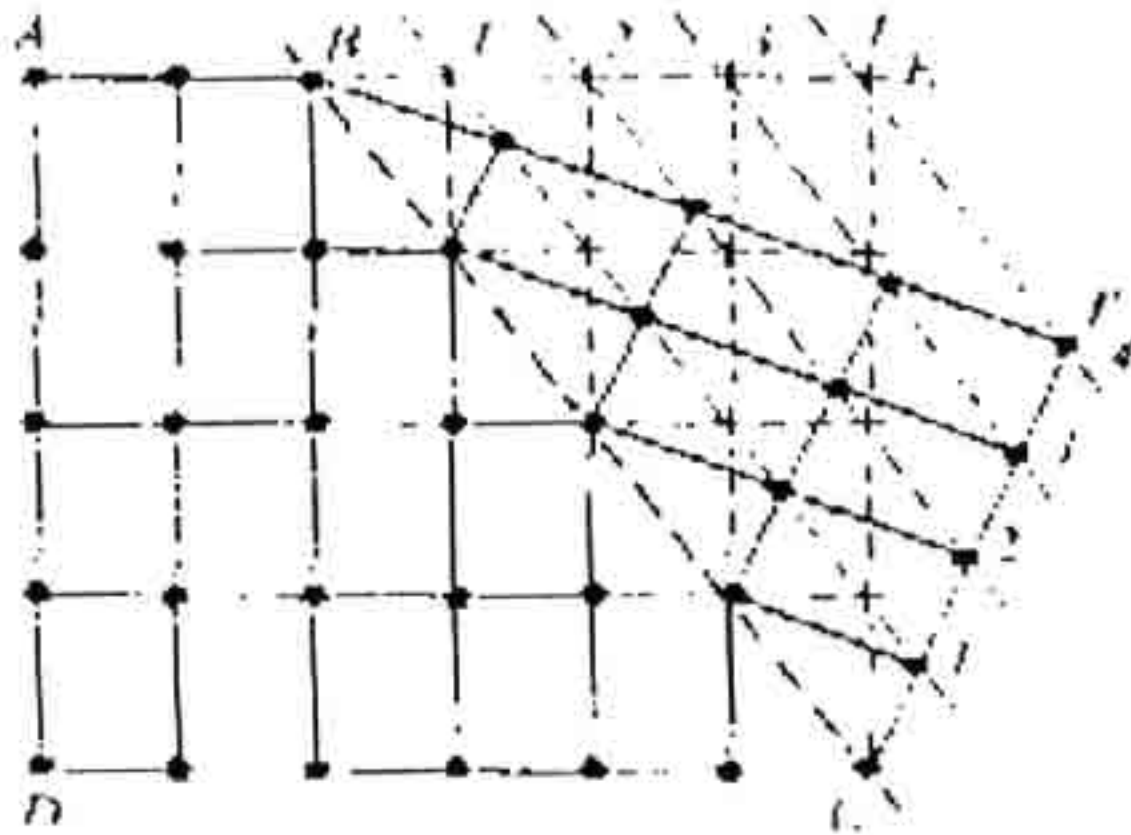
البلورة ، فإن هذه الطاقة هي طاقة الاجهادات المتبقية residual stresses المتبقية في الاجزاء المشوهة مرونيا عن الشبيكة البلورية. وبسبب القيم المرتفعة للطاقة الداخلية في البلورة المعالجة على البارد تكون البلورة مستقرة ثرموديناميا عن تلك البلورات الملدنة annealed ويؤدي هذا إلى عمليات تميل إلى إعادة البلورة إلى وضعها الأصلي ومن هذه العمليات : الاسترخاء relaxation وإعادة التبلر recrystallization.

ويتكون الاسترخاء عند تبديد الاجهادات الداخلية مع عودة الذرات في الأجزاء المشوهة للشبيكة إلى مواضعها الدورية. ولا تتضمن هذه العمليات تغيرات منظورة في البنية التركيبية للبلورة وإن كانت تنتج في التخلص الجزئي أو الكلي للتقوية التي تم الحصول عليها نتيجة للشتوه اللدن. ومتى تم التحكم في عمليات الانتشار تبدأ عملية الاسترخاء بمعدل يتوقف بشدة على درجة الحرارة وعلى الحرارة الكافية لتكون العيوب. ويكون للفلزات التي تنتج بانخفاض درجة انصهارها (مثل القصدير والرصاص والكاديوم والخارصين) معدلات انتشار ذاتية عالية حتى عند درجة حرارة الغرفة. تبعا لذلك تكون معدلات الاسترخاء عند درجة حرارة الغرفة ملحوظة بدرجة كافية. وفي نفس الوقت لا يوجد عمليا عند درجة حرارة الغرفة استرخاء في الفلزات التي لها درجة حرارة انصهار عالية ، ولكن معدل الاسترخاء يرتفع بشدة عند زيادة درجة الحرارة (عملية الاسترخاء تحقق نجاحا ملحوظا في دقيقة واحدة عند  $315^{\circ}\text{C}$  بالقدر الذي يحدث فيه نفس التأثير في مئات السنين عند درجة حرارة

الغرفة) وثمة عملية إعادة التبلر التي تبدأ بشدة عند درجة حرارة رتبها  $\frac{1}{4}$  درجة انصهار الفلز (على التدرج المطلق). وعلى نقيض الاسترخاء الذي لا تنشأ فيه أية تغيرات منظورة في تركيب البلورة ، وتتضمن إعادة التبلر عملية تكوين النوى ونمو بلورات جديدة خالية من الاجهادات الداخلية. وتقع عملية تكوين نوى مثل هذه البلورات للوهلة الاولى فى الاجزاء المشوهة بشدة من الشبكة ، حيث يتركز المزيد من الطاقة الحرة. ويقع بهذه الكيفية تغير كامل فى التركيب المكروسكوبى للبلورة التى تتحول من أحادية التبلر إلى عديدة التبلر. وتبث الحرارة الكافية المتجمعة فى البلورة فى عملية إعادة التبلر على هيئة حرارة.

#### ٣-٤ التوأمة الميكانيكية Mechanical Twinning

يمكن أن يأخذ التشوه اللدن صورة توامة ، وهى عملية إزاحة نسبية تتم خطوة بخطوة للمستويات الذرية الموازية لمستوى التوأمة بمسافة ثابتة تساوى كسراً أو جزءاً من بارامتر الشبكة



الشكل (٦)

ويوضح الشكل (٦) رسماً تخطيطياً لتوأمة البلورة AECDA. وتكون المساحة ABCDA جزءاً غير مشوه من البلورة. وتكون المساحة BECD هي الجزء الذي تقع فيه التوأمة. ويكون BC هو محور التوأمة وتدل العلامات  $x$  على مواضع الذرات قبل التوأمة. ويطلق على المستوى المار خلال جزء التوأمة والذي يفصل منطقة التوأمة BC بمقدار كسر من المسافة بين الذرية في اتجاه التوأمة. ويزاح المستوى 22 بالنسبة للمستوى 11 بنفس الكسر من المسافة بين الذرية. وفي هذه الحالة تكون الازاحة بالنسبة لمستوى التوأمة الضعف. بعبارة أخرى، يزاح كل مستوى ذري مواز لمستوى التوأمة ذاتياً بمسافة تتناسب مع بعده عن مستوى التوأمة. وكننتيجة لذلك فإن الذرات في منطقة التوأمة تتخذ مواضع تعد بمثابة انعكاسات بالمرآة للمواضع في الجزء غير المشوه من البلورة في مستوى التوأمة. (تحدث التوأمة تماماً كما يحدث الانزلاق فقط على طول مستويات تركيبية معينة، هي المستوى (112) في حالة البلورة المكعبة متمركزة الوجه. والمستوى (1012) في حالة البلورة السداسية محكمة الرص. إلى آخره. ولكي تحدث التوأمة لابد أن تتجاوز الاجهادات المماسية بعض القيمة الحرجة. وتكون العملية سريعة جداً وتكون عادة مصحوبة بقطعة مميزة.

وبسبب الازاحات المهملة في عملية التوأمة بالنسبة للمستويات الذرية المجاورة لا يمكن أن تظهر في تشوه كبير متبقي. علي سبيل المثال فإن تحولا تاما لبلورة الخارصين إلي التوأمة يؤدي فقط إلى 7.39% من الاستطالة. ولهذا السبب، في البلورة القادرة

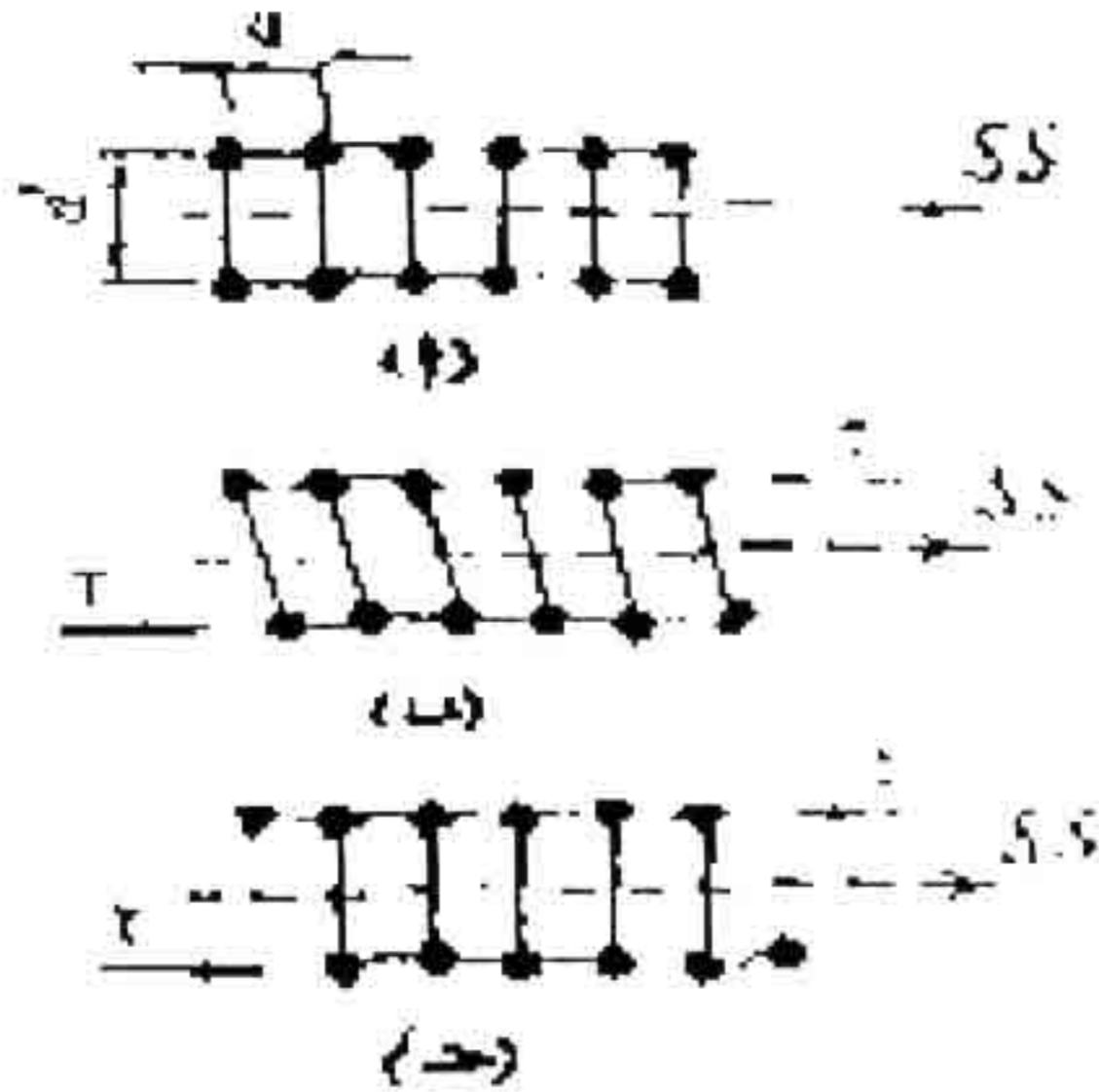


على الانسياب اللدن بواسطة الانزلاق ، تكون التوأمة مسنولة فقط عن جزء مهمل من التشوه الكلى اللدن. وعلى النقيض من ذلك يبدأ تشوه مهمل في تدمير البلورات التساهمية ، حيث لا يمكن أن يحدث انزلاق، يرجع هذا إلى التوأمة. وفي البلورات السداسية توجهات غير مرغوب فيها ترتبط بقوي التوأمة الخارجية وبالتالي يمكن أن يحدث التوجيه للبلورة تشوهات متبقية ملحوظة تنشأ بواسطة عملية الانزلاق العمودية.

#### ٤-٤) قوي القص الحقيقية والنظرية للبلورات :

Theoretical and real shear strengths of crystal

بعد القص بمتابعة الآلية الرئيسية للإنسياب اللدن في البلورات ولقد كان الظن أن مثل هذا القص يقع نتيجة إزاحة جاسئة أنيا لجزء من البلورة بالنسبة لجزء آخر على طول مستوى الانزلاق الكلى  $SS$ ،



الشكل (٧)

الشكل (٧). والحساب الاجهاد الماسى اللازم لتكوين هذا  
القص نتبع ما يلى :

تشغل ذرات المستويين المتوازيين فى شبكة غير مشوهة  
مواضع إتزانها عند النهاية الصغرى لطاقة الوضع كما فى الشكل (١٧)  
وعندئذ تكون القوى المتبادلة = صفر .

عندما يزاح أحد المستويين الذريين بالنسبة للآخر تظهر  
إجهادات مماسية يرمز لها بالرمز  $\tau$  وهى تقاوم القص ويمثل إلى  
إعادة الوضع إلى حالة الاتزان الاصلى كما فى الشكل (٧ب).

وإذا افترضنا أن علاقة هذه الاجهادات للازاحة يمثلها منحنى  
جيبى كما فى الشكل (٨) فإن مقاومة القص هى .

$$(11) \quad \tau = A \sin \frac{2\pi x}{b}$$

حيث  $x$  إزاحة الذرات عن مواضعها الأصلية و  $a=b$  وهى  
المسافة بين الذرية فى مستوى الانزلاق و  $A$  ثابت.

وفى حالة الازاحات الصغيرة فإن جيب الزاوية يساوى تقريباً  
الزاوية نفسها ، لهذا يعاد كتابة المعادلة السابقة على الصورة .

$$(12) \quad \tau = A2\pi/b$$

ومن المعروف أن قانون هوك صالح للتطبيق فى حالة الإزاحات  
الصغيرة

$$(13) \quad \tau = G x / b$$

حيث  $G$  هي معامل مرونة القص ،  $d$  المسافة بين المستويات ومن المعادلتين (١٢-٤) ، (١٣-٤) نحصل على :

$$(١٤) \quad \tau = \frac{b}{d} \frac{G}{2\pi} \sin \frac{2\pi x}{b}$$

وتظل النهاية العظمى القيمة  $\tau$  كما هي حتلى القوي النظرية.  $x = \frac{b}{4}$  وهي تمثل

$$(١٥) \quad \tau_{cr} = \frac{b}{d} \frac{G}{2\pi}$$

وبوضع  $b = q$  نحصل علي معادلة :

$$(١٦) \quad \tau_{cr} = \frac{G}{2\pi} \frac{1}{l}$$

وعندئذ يساوى إجهاد القص الحرج  $\frac{1}{10}$  من معامل مرونة القص. ويوضح الجدول (٤) القيم التجريبية والنظرية لاجهاد القص الحرج لعدة فلزات.

الجدول (٤)

$\tau_{cr} (10^7 \text{ pa})$ نظرياً		C	$\tau_{cr}(107\text{Pa})$	الفلز
$\frac{G}{30}$	$\frac{G}{2\pi}$	G( $10^7 \text{ pa}$ )	تجريبيه	
88	420	2640	0.06	كاديوم
154	735	4620	0.10	نحاس
230	1100	6000	2.90	حديد
59	240	1770	0.08	ماغنسيوم
260	1240	7800	0.58	نيكل
97	459	2910	0.06	فضه
126	600	3780	0.09	خارصين

ومقارنة هذه الأرقام بعضها ببعض يتبين أن قوة القص الحقيقية في البلورات تقل بمقدار 3-4 رتب عن القيمة النظرية.

وتظهر هذه المقارنة أن القص في البلورات لا يحدث بواسطة الإزاحة النسبية الجاسئة للمستويات الذرية لكنه يحدث بواسطة آلية تتضمن إزاحة عدد صغير من الذرات في وقت ما. ويؤدي فهم هذه الحقيقة إلى ظهور وتطور نظرية الانخلاع الانسيابي اللدن في البلورات.

#### (٤-٥) مفهوم الإخلاع - الأنواع الرئيسية للإخلاعات

هناك نوعان من الإخلاعات الرئيسية هي :

١- إخلاعات الحافة Edge dislocation.

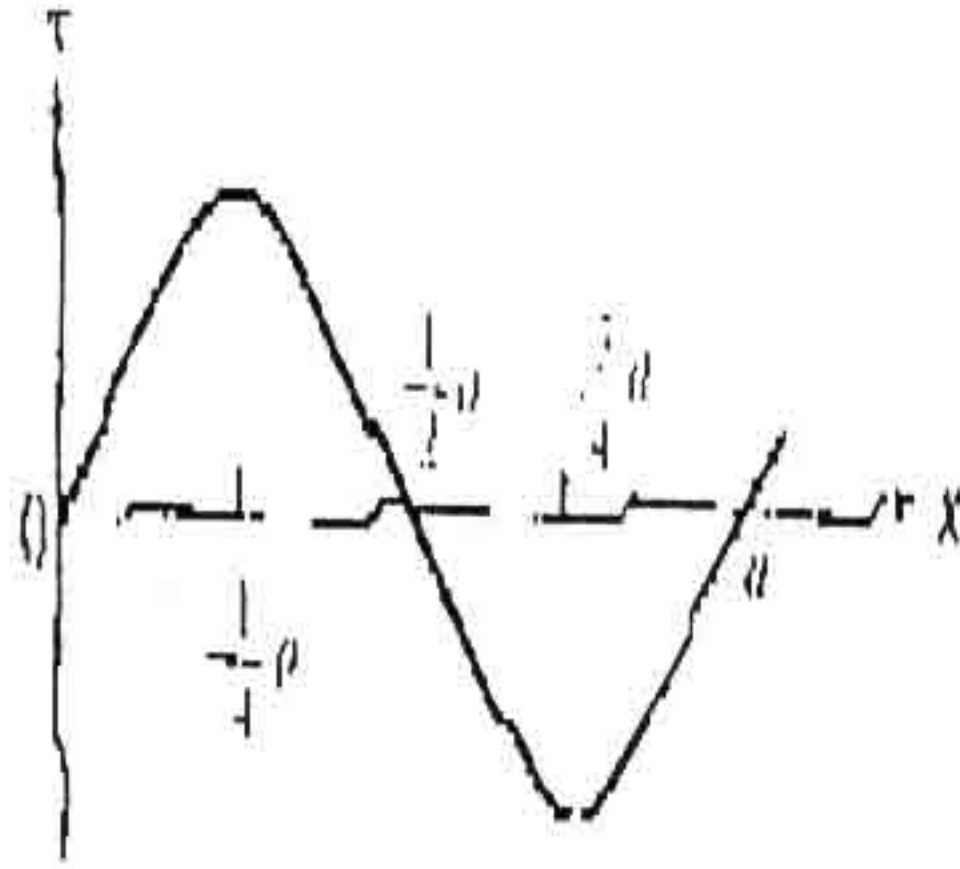
٢- الإخلاعات اللولبية Screw dislocation.

فنظرية الانخلاع الانسيابي اللدن تفترض أن عملية الانزلاق تبدأ دائماً عند الشوائب في التركيب البلوري وينمو علي طول مستوى القص نتيجة حركة تدريجية لهذه الشائبة التي تتضمن في نفس الوقت عدداً محدوداً من الذرات. مثل هذه الشوائب أو العيوب تسمى إخلاعات.

#### أولاً : إخلاعات الحافة:

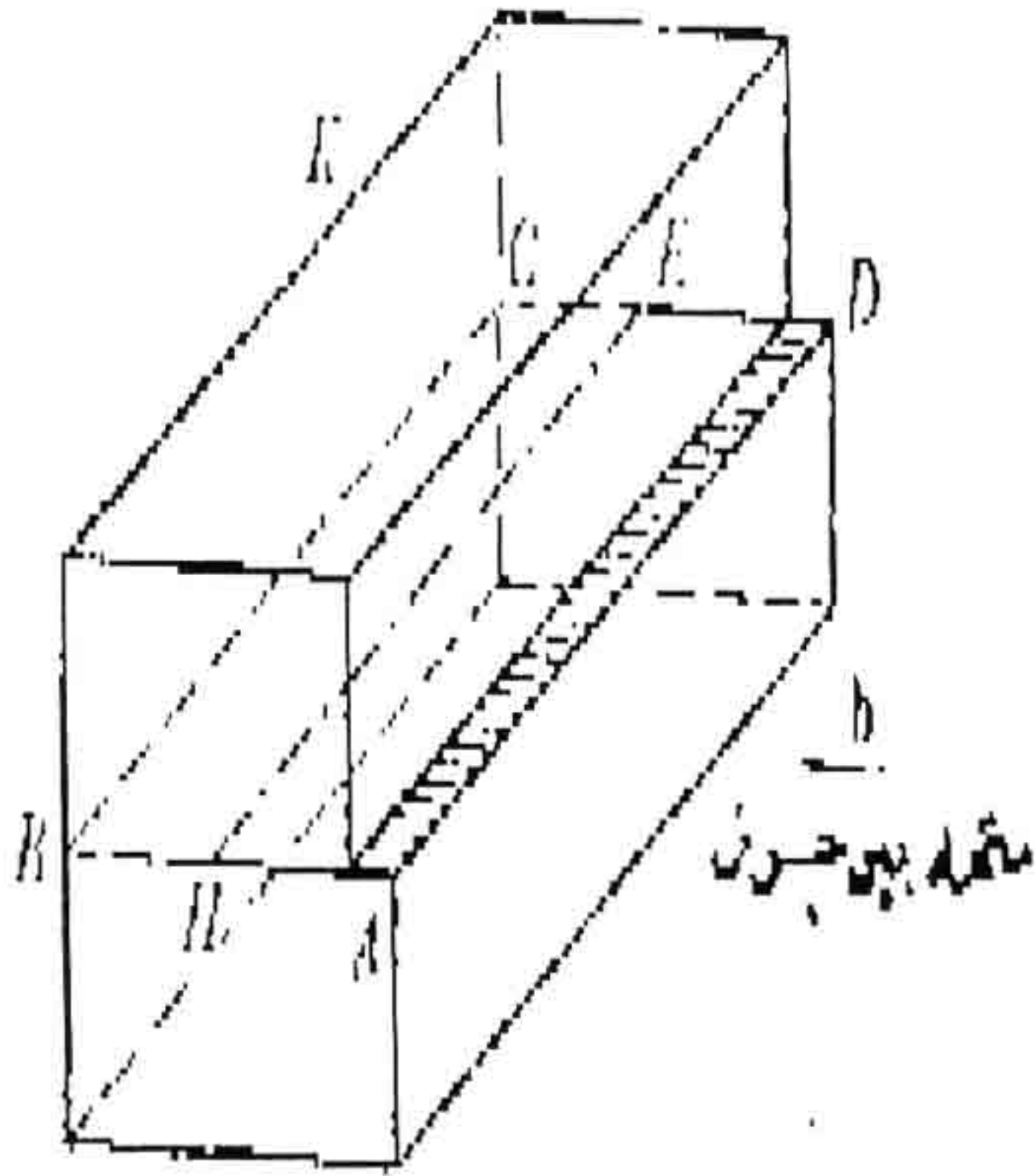
يقع الانزلاق في البلورة K مثلاً في مستوى ABCD في

إتجاه المتجه b الذي يتضمن المساحة AHED كما في الشكل (٩).



الشكل (٨)

تراح المستويات الذرية على جانبي مستوى الانزلاق AHED بمقدار آخر المسافة  $b$  في اتجاه الانزلاق بالنسبة لبعضها البعض. الحاجز HE الذي يفصل AHED حيث يحدث الانزلاق عن المساحة HBCE التي لم يقع الانزلاق فيها بعد والتي تحتوى على انخلاع حافة ويسمى المتجه  $b$  متجه بيرجرز Burgers. هذا المتجه يصف إلى أي حد بلغ الانزلاق في المساحة AHED.



### بعاء حركة الانزياح

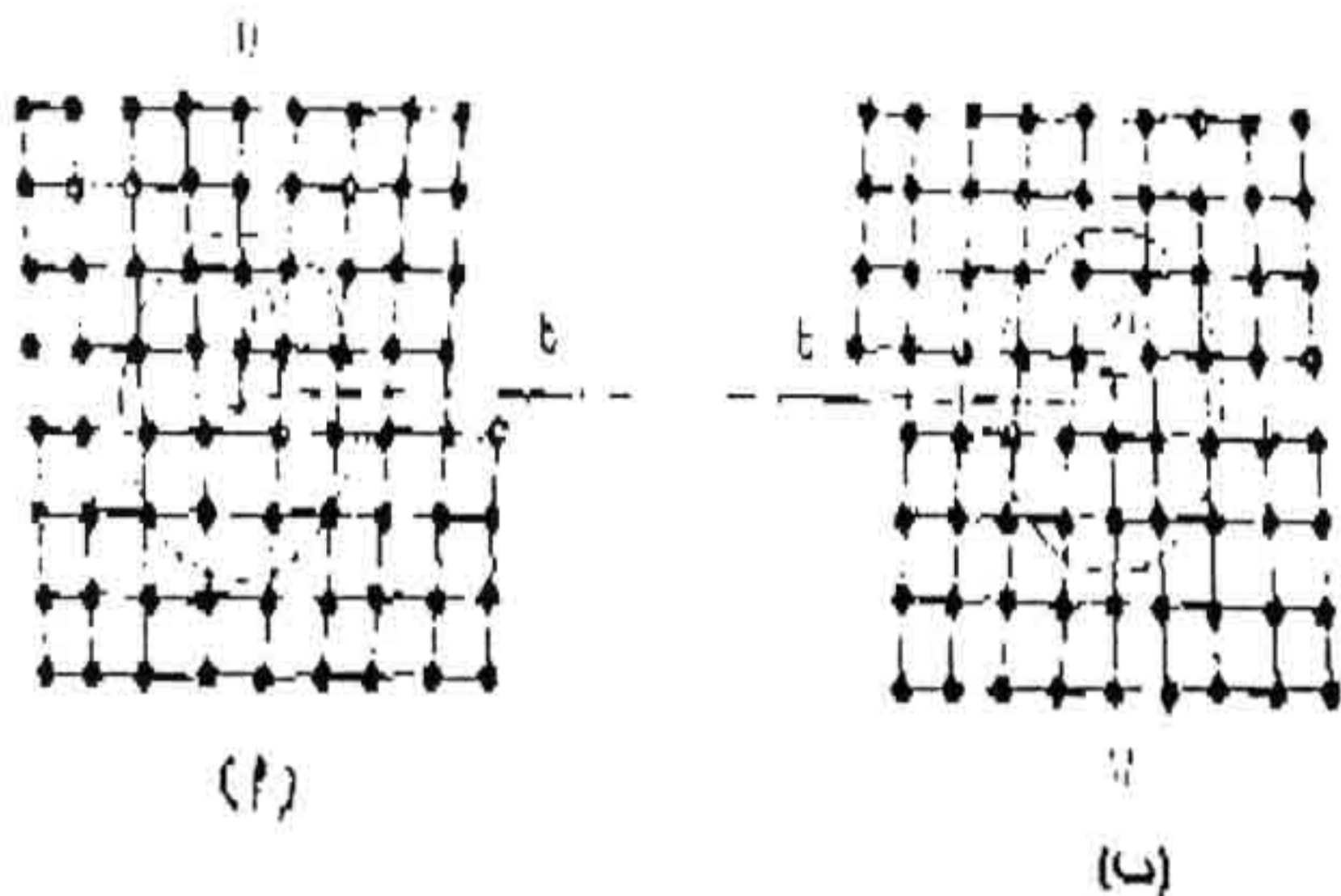
الشكل (٩)

ويوضح الشكل (١٠) ترتيب الذرات في المستوى العمودي على خط الانزلاق. ونتيجة لهذه الازاحة التي تقع خلال المساحة AHED فإن الجزء العلوي للشبيكة يحتوى على مستوى ذرى واحد هو المستوى OM اكثر من المستويات الذرية التي تقع تحته. ونظراً لأن الصف الذري العلوي 1 الذى يقع فوق مستوى القص يحتوى على ذرة واحدة اكثر مما فى الصف 2 الذى يقع تحت هذا المستوى فإن

المسافات بين الذرية فى الصف العلوى بالقرب من النقطة O [مركز الانخلاع] ستقل عن القيمة العادية وعندئذ تكون الشبكة قد انكمشت فى حين أن المسافة بين الذرية فى الصف السفلى بالقرب من النقطة O ستكون اطول إذ أن الشبكة قد استطالت. ومع البعد عن مركز الانخلاع سواء جهة اليسار أو اليمين أو إلى أعلى أو إلى أسفل فإن تشوه الشبكة يقل تدريجياً. وعلى بعد معين من O فى البلورة تترتب الذرات بالكيفية المألوفة. ومع ذلك ففى الاتجاه العمودى على مستوى الشكل يتخلل الانخلاع البلورة الكلية أو جزء ملحوظ منها.

لهذا فإن مظهر الانخلاع الحافى يتمثل فى ظهور المزيد من المستويات الذرية OM فى بعض أجزاء البلورة. لهذا فإن عملية تكوين مثل هذا الإنخلاع يمكن تصورهما على أنها سحب أو جذب الشبكة بعيداً مع إدخال مستوى ذري إضافي فى الشبكة يسمى المستوى الإضافي. وعندما يتم إدخال هذا المستوى فى الجزء العلوى من الشبكة يزداد احتمال تكون انخلاع الحافة، الشكل (٤-١٠ أ). فى حين أنه إذا تم إدخال المستوى الإضافي إلى الجزء السفلى من الشبكة يكون الانخلاع سالباً كما فى الشكل (٤-١٠ ب). ويسمى التشوه الذى يكون فيه متجه بيرجرز مساوياً بارامتر الشبكة باسم الإنخلاع الوحدة وعندما يتخلل الانخلاع الوحدة مقطع البلورة فإن جزءاً واحداً منها تتم إزاحته بالنسبة للآخر مسافة تساوي b.

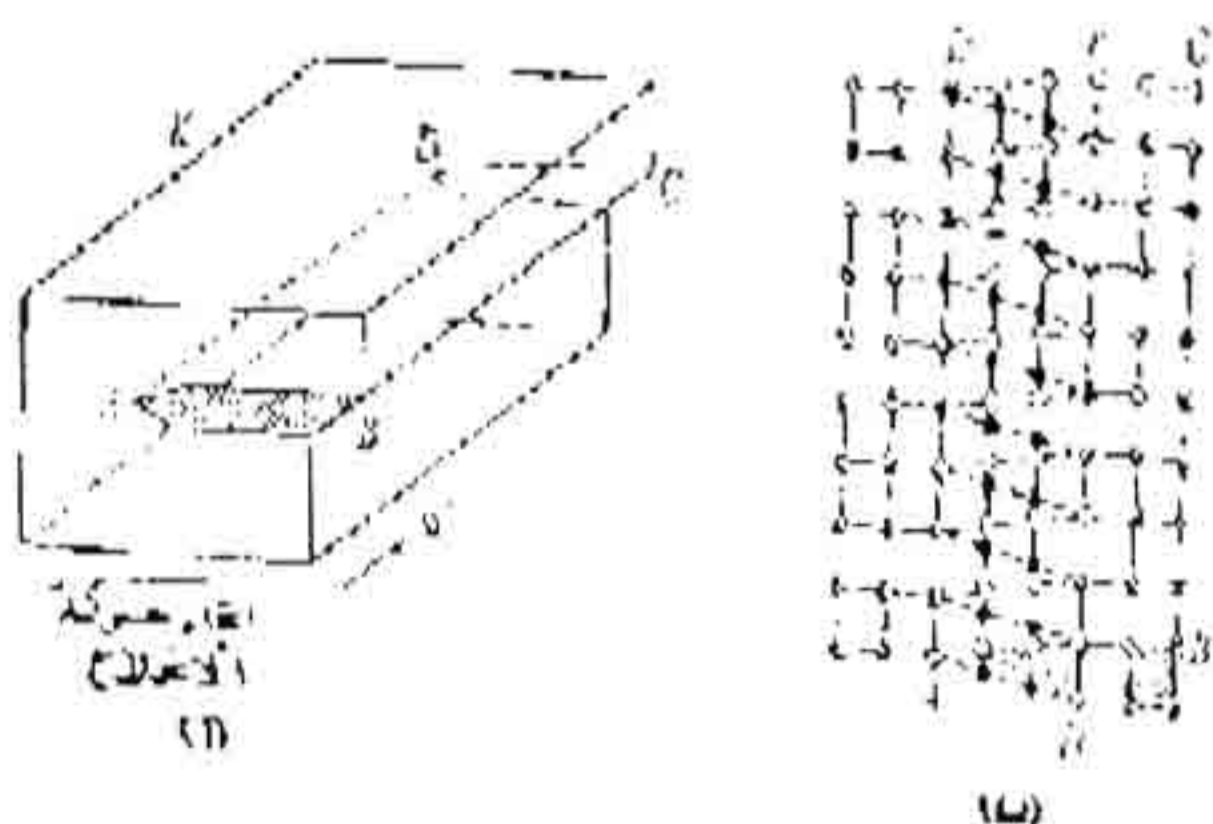
وتسبب حركة الانخلاع الموجب إلى اليسار نفس إزاحة أجزاء الشبكة الحركة الانخلاع السالب إلى اليمين كما فى الشكل (٤-١٠ ب).



الشكل (١٠)

### الانخلاع اللوبي :

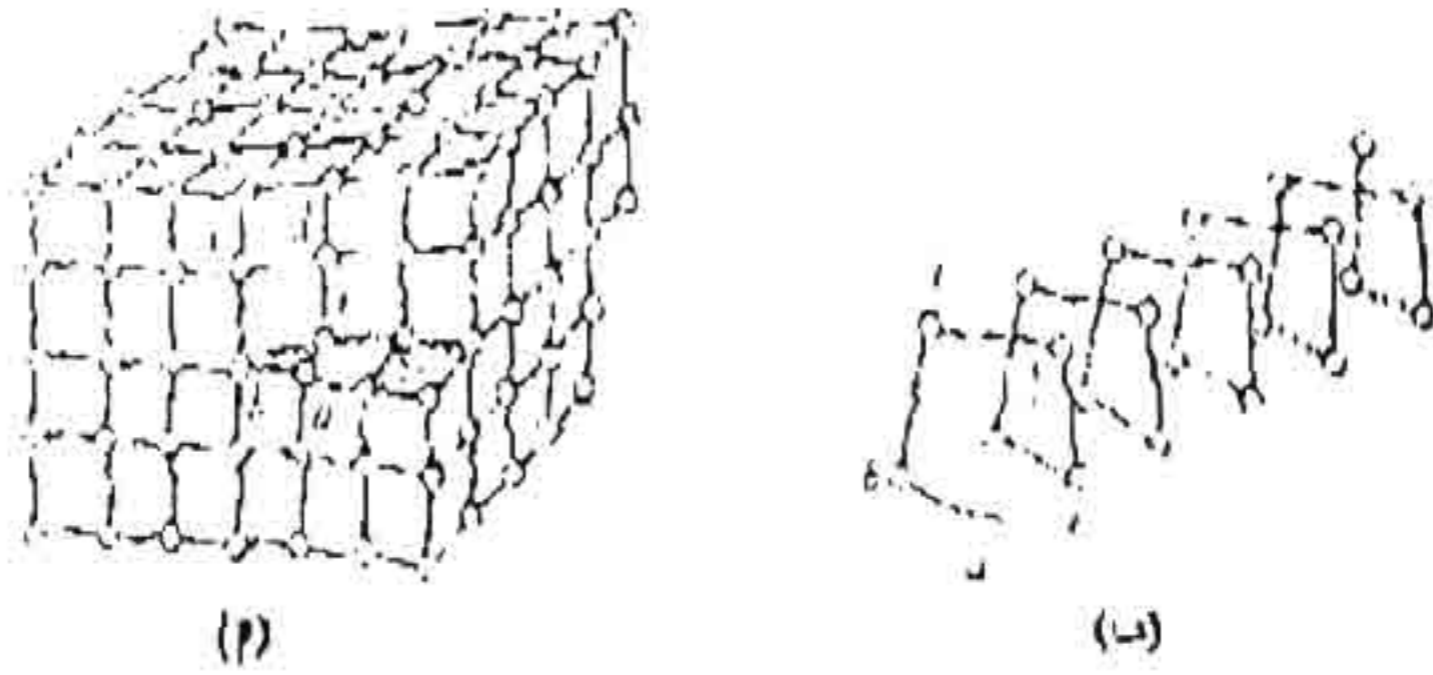
لنفرض أن انخلاع وحدة غير تام يتكون في البلورة K في اتجاه المتجه  $b$  على المساحة  $A B C D$  ، كما هو موضح في الشكل (١١)



الشكل (١١)



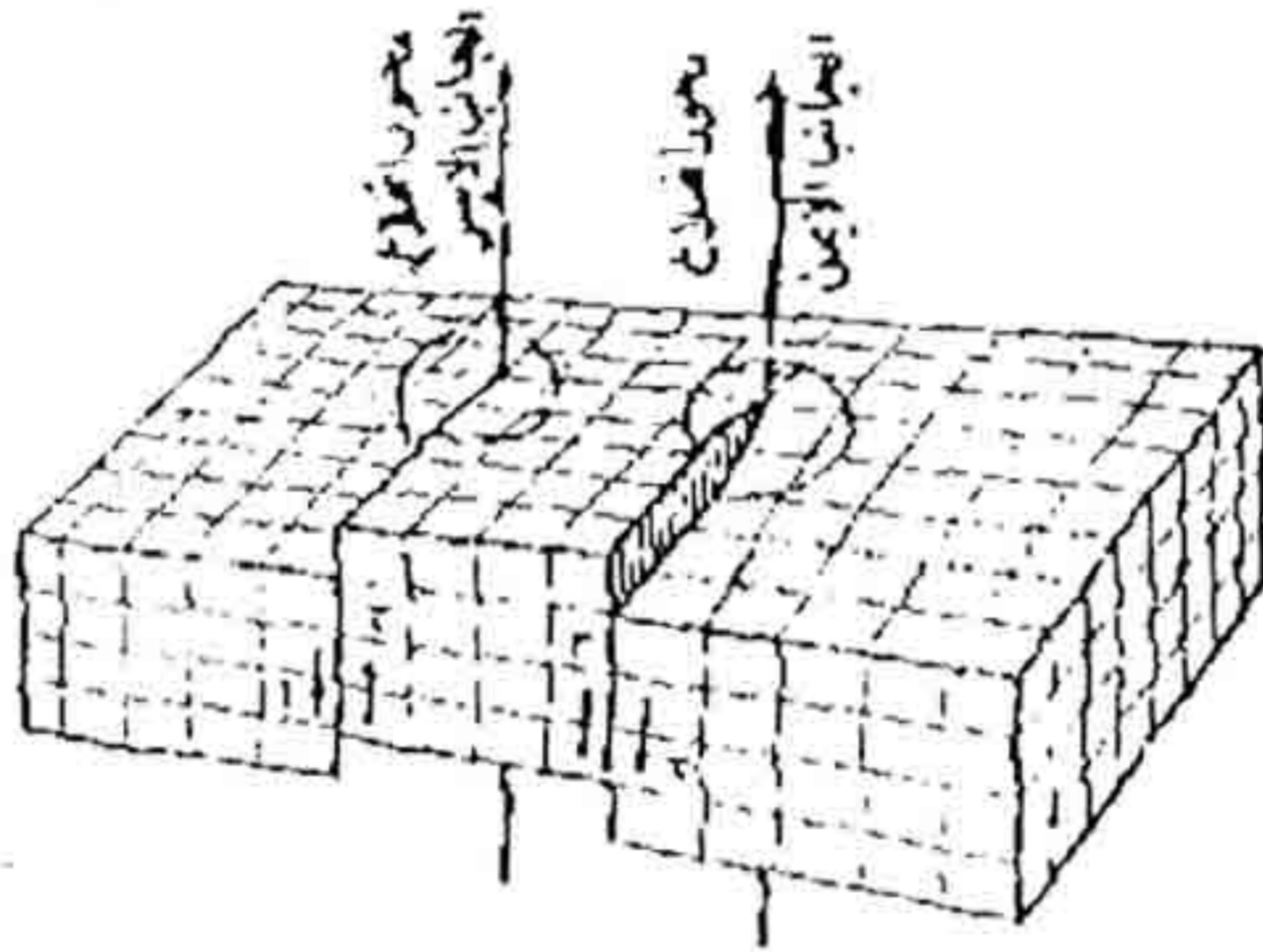
(أ) : A D هو الحد الفاصل للمساحة التي تحدث فيها الازاحة ، الشكل (١١ب) ترمز الدوائر المفتوحة (البيضاء) إلى ذرات المستوى الذى يقع فوق مستوى الازاحة مباشرة والدوائر المصمتة (السوداء) ترمز إلى ذرات المستوى الذى يقع تحت مستوى الازاحة- فى جزء البلورة غير المشوه على يسار AD تترتب ذرات تلك المستويات واحدة فوق الاخرى ولهذا ننطبق الدوائر المصمتة (السوداء) على تلك البيضاء (هذا موضع بدوائر بيضاء بنقطة سوداء فى المركز). وعلى الجانب الأيمن من البلورة حيث تغطي الازاحة مسافة واحدة بين ذرية ، أى على يمين EH ، فإن ذرات المستويات التى تمت مناقشتها أعلاه يتم ترتيبها أيضا واحدة فوق الأخرى. وعلى ذلك فإن شريحة ضيقة ADEH تزاح ذرات المستوى العلوى (الأعلى). بالنسبة لتلك فى المستوى الأدنى وبالاتبعاد عن الحد الفاصل AD تزداد الازاحة .



الشكل (١٢)

تظهر هذه الازاحة فى تشوه موضعى للشبيكة ، يسمى "الانخلاع اللولبي" ، ويسمى الحد الفاصل AD باسم محور الازاحة وربما يسهل فهم منشأ اسم "الانخلاع

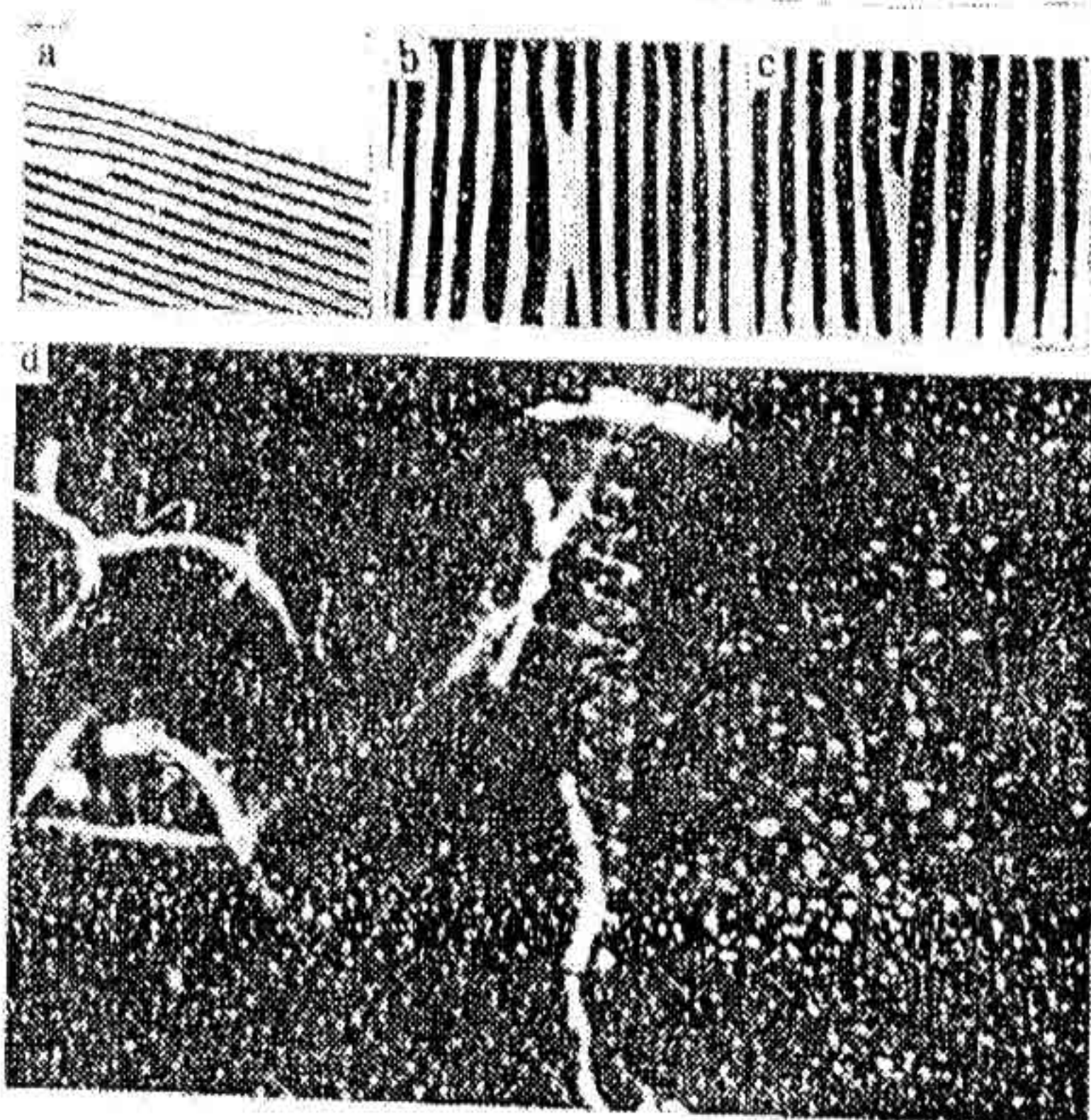
اللولبي" من الشكل (١٢) ، حيث تبدأ ، حركة الذرة a على طول اللولب نحو الذرات. وهى الذرات b , c , d , e إلى آخره ، الشكل (١٢) التى تقع على مستوى الانخلاع اللولبي. يوجد اختلاف بين الانخلاعات اللولبية اليسرى واليمنى الشكل (٤-١٣) ، فحركة كليهما فى اتجاهين متقابلين أو متضادتين تظهر فى شكل ازاحة فى اتجاه واحدة.



الشكل (١٣)

وبمقارنة الشكل (٩) والشكل (١١١) نرى على النقيض من انخلاع الحافة العمودي علي متجه بيرجرز b يكون انخلاع اللوبي موازيا له. وحركة انخلاع الحافة في اتجاه متجه بيرجرز b وحركة الانخلاع اللوبي في الاتجاه العمودي عليه.

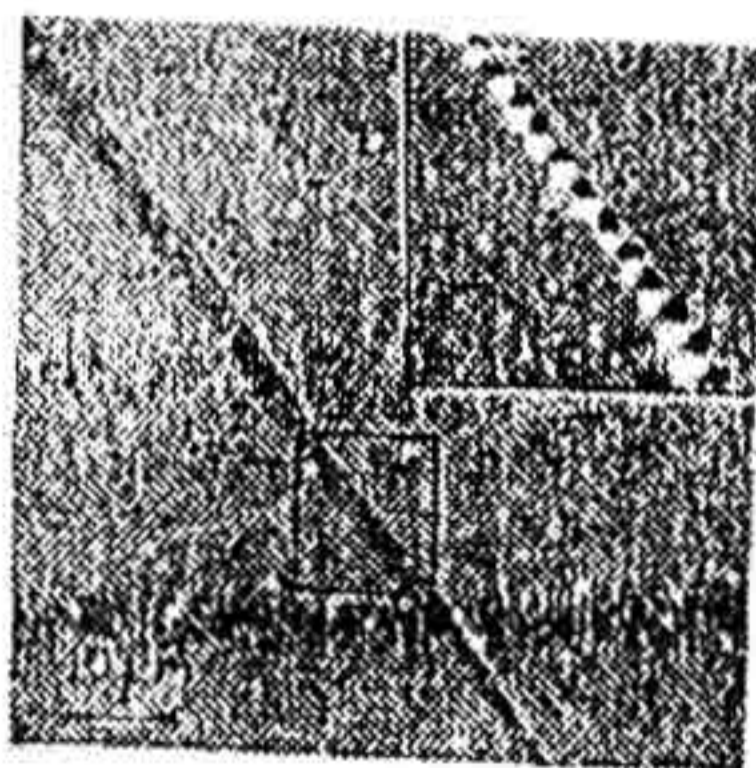
وحيثا تم تطوير التجارب العملية للملاحظة المباشرة للانخلاعات. ويوضح الشكل (١١٤) صورة مجهرية بالميكروسكوب الالكتروني لشريحة دقيقة من فيثالوسيانين البلاتين، الشكل (٤١ب، ج)



الشكل (١٤)

وقد تم الحصول على صور مناظرة لكبريتيد النحاس، القطع  
السوداء الطويلة الضيقة في الصور المجهرية هي اثار المستويات  
الذرية في الفيثالوسيانين البلاتين تم ترتيبها على مسافات تساوى 12  
أنجستروم ولكبريتيد الخارصين على مسافات تساوى 1.88 أنجستروم  
وتظهر الصور المجهرية بوضوح المستويات الاضافية التي تنتهي  
داخل البلورة والتي تكون انخلاع الحافة.

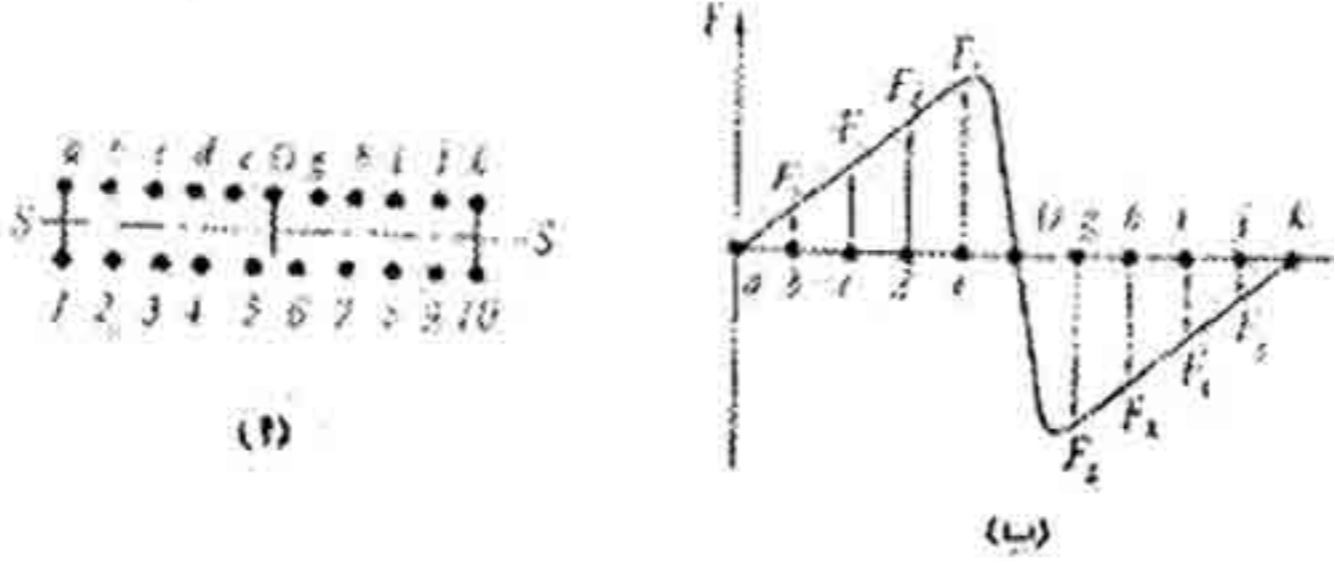
ويوضح الشكل (٤ ا د) صورة مجهرية ضوئية لانخلاع لولبي  
لبلورة  $C_{11}F_2$  وتستخدم طريقة الزخرفة للبلورات الشفافة التي تتكون  
في عملية الترسيب على طول قلوب الانخلاعات لذرات الشوائب التي  
تجعل الانخلاع مرئياً في الميكروسكوب الضوئياً والانفاق المزهل بين  
هذه الصور والمفاهيم النظرية الذي تظهر في الاشكال (١٠) (١٢)  
محل اعجاب ويوضح الشكل (١٥) نقاط مخارج الانخلاعات كما  
تظهر في الرقع السوداء.



الشكل (١٥)

(٤-٦) القوي المطلوبة لتحريك الانخلاعات :

ا لنفرض وجود انخلاع موجب مركزه  $O$  يرتبط عند النقط  $k$  ويقع في المستوى  $S$  حيث يكون الانزلاق ممكنا الشكل (١٦).



الشكل (١٦)

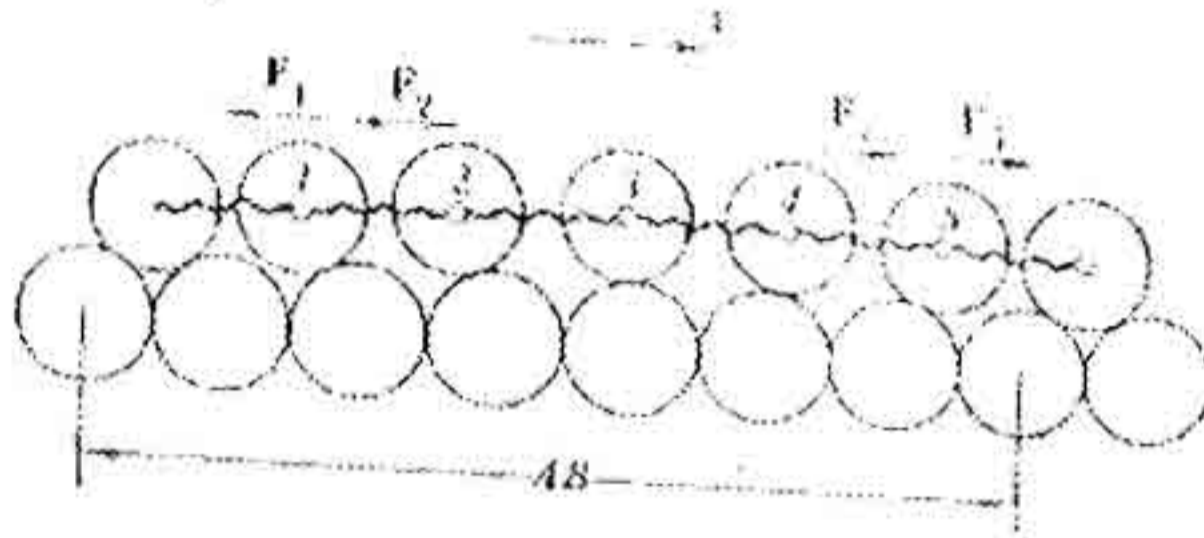
عند الاتزان تكون القوة التي تؤثر بها الشبكة على الانخلاع تساوى الصفر ويمكن ملاحظة أو رؤية هذا بسهولة من النموذج الأسطواناني الموضح في الشكل (١٦). يتشوه تركيب الصف العلوي للأسطوانات التي تشغل عادة التجايف من اسطوانات الصف السفلي نظراً لأن القطاع  $AB$  المشار إليه سابقاً الذي كان يحتوى على ست أسطوانات أصبح الآن يحتوى على خمس اسطوانات فقط. مثل هذا التشوه يولد قوى تمثل إلى إعادة الاسطوانات 1,2,3,4,5 إلى مواضع اتزانها المستقرة (القوى  $F_1, F_2, \dots, F_5$ ) وتكون القوى المؤثرة على الاسطوانات 1,5 و 2,4 متساوية في المقدار غير أنها متضادة في الاتجاه. لهذا فإن الإسطوانات الصف العلوى تترايط بواسطة الزمبرك المرن المؤثر على الرابطة بينها ، وسيتم معادلة القوى  $F_1, F_2, F_3, F_4, F_5$  تبادلياً ويكون النظام في حالة الاستقرار.

نفس الوضع يظهر أو يحدث في حالة الانخلاع الموضح في الشكل (١٦ ب) فالقوى المؤثرة على الذرات في الصف العلوى التي

تشغل مواضع متمائلة بالنسبة للانخلاع الذى مركزه (0) تكون متساوية فى المقدار ومتضادة فى الاتجاه

$$(F_c = F_g, F_d = F_h, F_e = F_i, F_b = F_j)$$

لهذا فإن القوى المحصلة تساوى الصفر ويكون الانخلاع فى حالة اتزان ومع ذلك إذا تحرك مسافة صغيرة فى مستوى الانزلاق فإن الترتيب المتمائل للذرات بالنسبة لمركز الانخلاعات سيضطرب مولدا قوة تقاوم حركة الانخلاع.



الشكل (١٧)

ويتضح من الشكل (١٧) أن هذه القوة تكون كبيرة نظرا لان حركتى الاسطوانتين 1, 2 إلى مواضع اتزانهما الجديدة تكون إلى أقصى حد نتيجة تأثير القوى على الاسطوانتين 4, 5 التى تجاهد لشغل المواضع فى الاتزان المستقر .. وتوضح الحسابات اجهاد النحاس الذى يحتاج اليه لتحريك الانخلاع ويساوى.

$$(١٧) \quad \tau_o = \frac{2G}{1-\gamma} \exp\left(-\frac{2\pi b}{d(1-\nu)}\right)$$

حيث  $G$  معامل مرونة القص ،  $\gamma$  نسبة بواسون Poisson ratio ،  $b$  المسافة بين الذرية ،  $d$  المسافة بين مستويات الاتزان المتجاورة. الاجهاد  $\tau_0$  هو القيمة النظرية لاجهاد القص الحرج. وبوضع  $b=d$  ،  $\nu = 0.3$  نحصل على  $\tau = 3 \times 10^{-4} G$ . فى مدى رتبة معينة لهذا المقدار فإن هذه النتيجة تنطبق على القيمة العملية لاجهاد القص الحرج  $\tau_{cr}$  لهذا فإن نظرية الانخلاعات تزيل التناقض بين القيم النظرية والعملية لقوة القص فى البلورات.

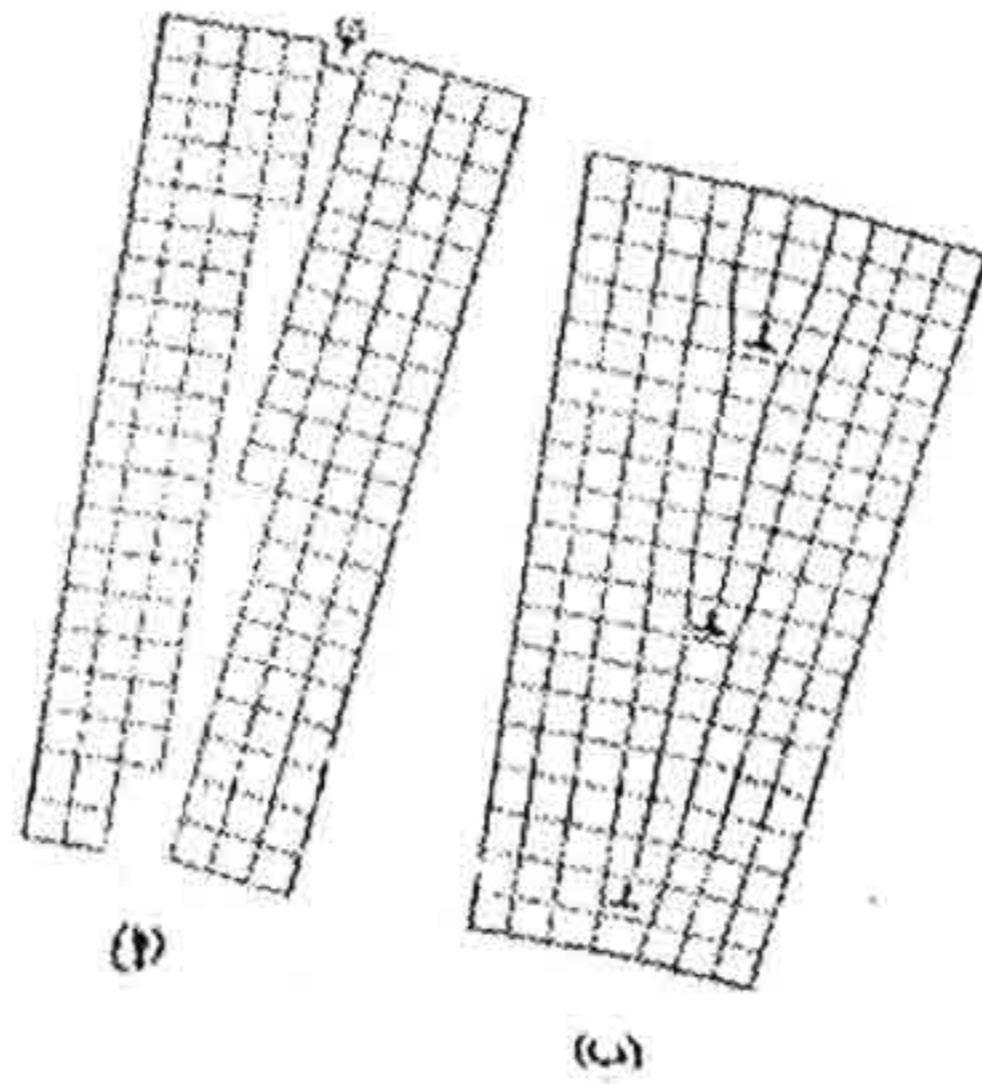
وتكون آلية الحركة بواسطة الانخلاعات متواترة (متوفرة) فى الطبيعة. فالحيات والديدان والمحار تتحرك لانها تولد انخلاعات. فحركة دورة الارض تبدأ بتكوين مدد واستطالة للانخلاعات. بالقرب من القرب. وتنتشر الانخلاعات بالتالى على طول الجسم حتى الذيل ، الشكل (١٨) وعلى النقيض من ذلك فإن حركة معظم الحيات تتضمن تكون تشوه على هيئة انقباض بالقرب من الذيل وهذه تتحرك نحو رأسها ، الشكل (١٨ ب).



الشكل (١٨)

(٤-٦) مصادر الانخلاعات ، تقوية البلورات :

تتكون الانخلاعات فى البلورات الحقيقية أثناء عملية نموها من مصهور أو من محلول.

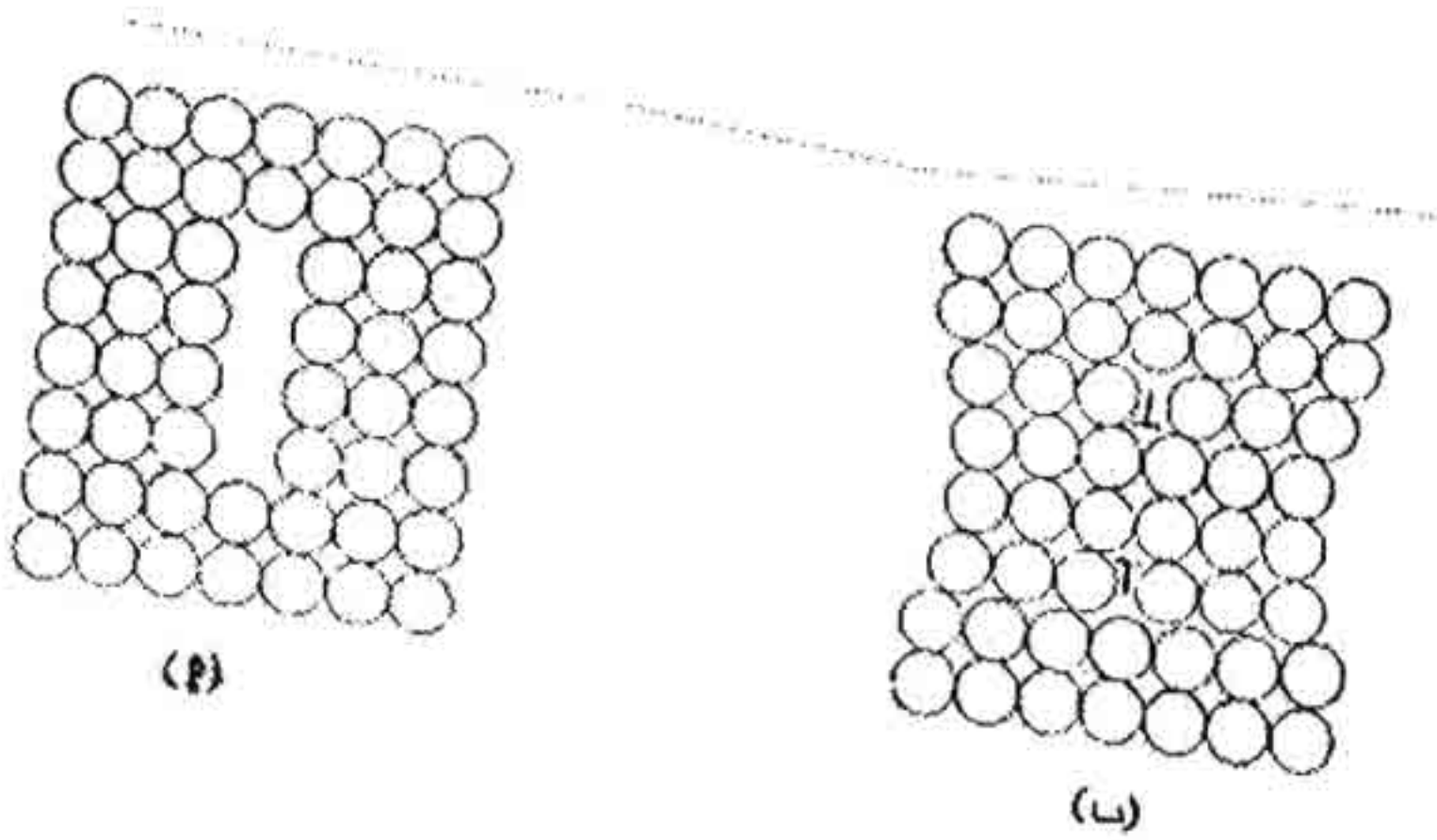


الشكل (١٩)

ويوضح الشكل (١٩ أ) حدود قالبين جرى نموها نحو أحدهما الآخر. ويصنع القالبان زاوية صغيرة بينهما. وعندما يندمج القالبان معا فإن بعض المستويات الذرية لا تنتشر خلال البلورة ككل لكنها تنتهي عن حدود القالبين. وهذه هي المواضع التي تتكون عندها الانخلاعات، الشكل (١٩ ب) ويحدث نفس الوضع في عملية الاندماج للحبيبات التي لها توجيهات مختلفة في عينة عديدة البلورات. ونظراً لان قالب وحدود الحبيبة في جامد حقيقي كثيفة جداً يكون عدد الانخلاعات كبيراً جداً - حوالي  $10^{12}$  انخلاعا لكل متر مربع ويمكن عدها في الفلزات التي سبق تلدينها. وبعد المعالجة على البارد (بالسحب أو اللف على بكره .. إلى آخره) تزداد كثافة الانخلاعات إلى  $10^{15} - 10^{16}$  لكل متر مربع. تلك الانخلاعات تقوم بتجمع الطاقة الكلية الممتصة بواسطة الفلز في عملية النشوة اللدن.



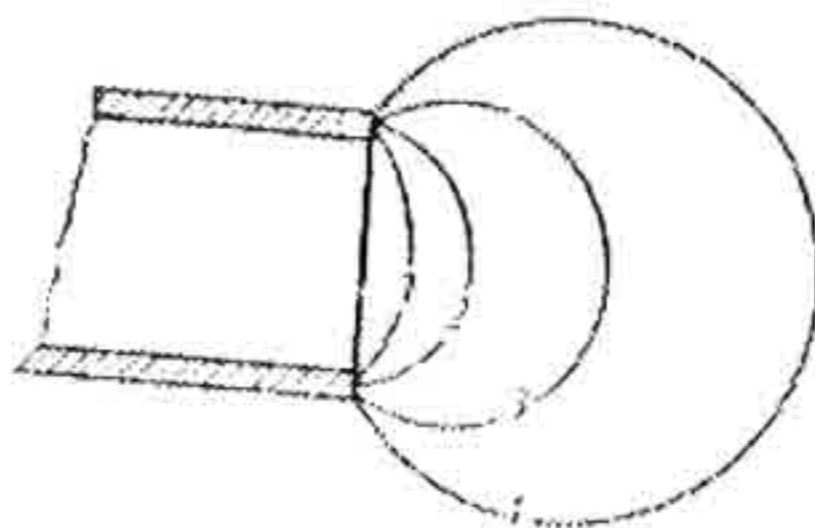
ويمكن أن يعمل حشد من الفراغات كمصدر للانخلاعات في بلورة غير مشوهة ويوضح الشكل (٢٠) مثالا لتكوين الانخلاعات الموجبة والسالبة من حشد من الفراغات.



الشكل (٢٠)

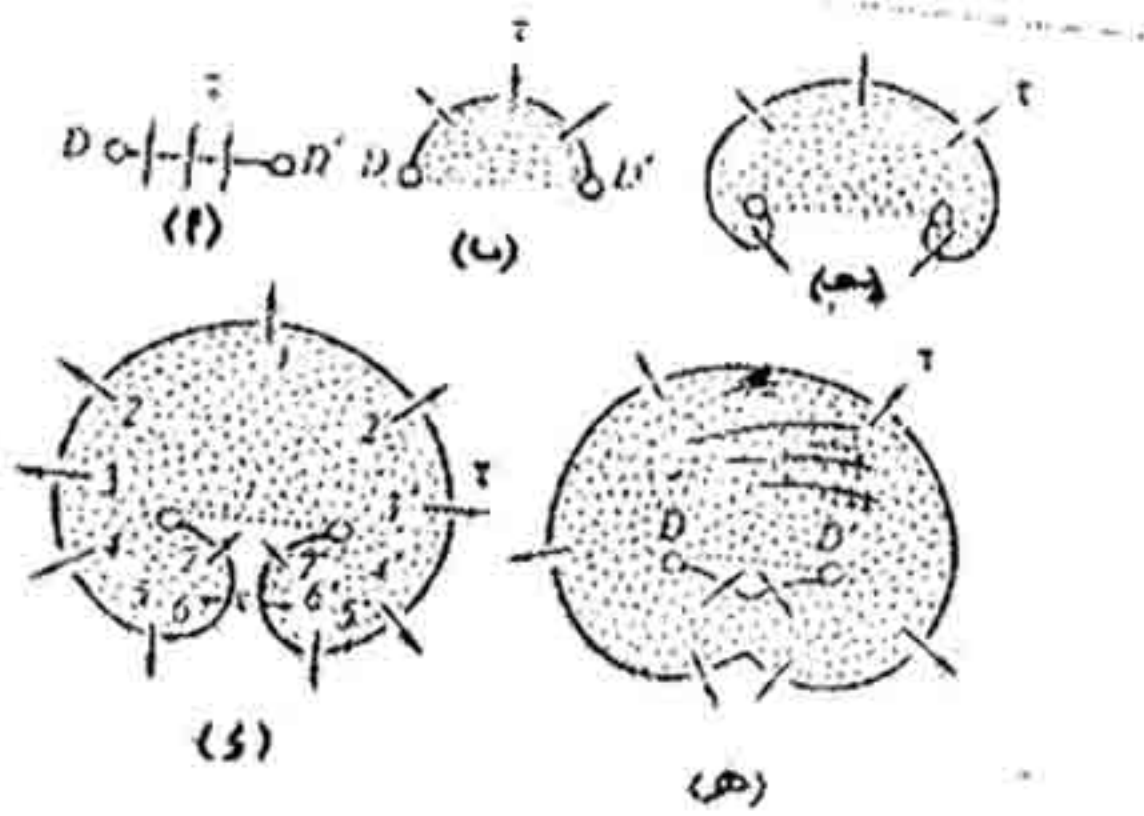
وفي استجابة عملية القص في بلورة إلى القوة الخارجية المؤثرة تكون بمثابة حركة الانخلاعات في مستوى الانزلاق ونفاذها خلال سطح البلورة ومجرد وجود الانخلاعات في البلورة يكون مسئولاً عن هذه العملية ، وسيؤدي التشوه اللدن إلى استنفادها وتحسين perfection البلورة. ويكون هذا نقيضاً لخيرتنا عن الانخلاعات التي تؤكد أنه عندما ينمو التشوه فإن الشبيكة لا تصبح تامة تماماً. ففي الحقيقة يكون عكس هنا هو الصحيح : إذ تنمو الانخلاعات في هذه العملية. ومن المعروف أن الانخلاعات هي المسؤولة عن التشوه المرن الذي يتولد في عملية القص نفسها تحت

تأثير فترة خارجية على البلورة: أحد آليات التولد يتم اكتشافها عام 1950 بواسطة فرانك وريد Frank & Read . ولفهم أحسن لهذه الآلية نستعين بأنبوبة كالموضحة في الشكل (٢١) فبعد غمس طرف هذه الأنبوبة في محلول صابون يتكون غشاء



الشكل (٢١)

رقيق من محلول الصابون عند فوهة الأنبوبة . ومع زيادة ضغط الهواء في الأنبوبة ينتفخ الغشاء ماراً بالمراحل 1,2,3,4 إلى آخر. وحتى يصبح له شكل نصف كرة (المرحلة 3) تصبح حالته غير مستقره . وعندما ينخفض الضغط في الغشاء فإنه يأخذ في الانكماش حتى يستعيد المرحلة . وعندما يتجاوز المرحلة 3 تتغير حالة الفقاعة ، تكون عندئذ قادرة على التطور ليس فقط تحت ضغط ثابت بل حتى مع انخفاض الضغط تدريجياً حتى تتفصل عن فوهة الأنبوبة. وبعد انفصال الفقاعة الاونى تبدأ الثانية في الظهور متبوعة بالثالثة ... وهكذا ونحاول الآن مناقشة فكرة عمل مصدر فرانك - ريد. يوضح الشكل (٢٢) انخلاع حافة DD على مستوى الاتزان، النقطتان D, D ثابتتان ولا تشاركان في حركة الانخلاع.



الشكل (٢٢)

ويمكن للانخلاعات أن تكون مركزة عند نقاط التقاطع مع الانخلاعات الأخرى. عند ذرات الشوائب. فتحت تأثيراً الاجهاد الخارجي يبدأ الانخلاع في الانحناء بنفس الطريقة كما هو الحال في غشاء الصابون وفي بعض الأوقات يأخذ شكل أشباه الدوائر ، الشكل (٢٢ب) وكما يحدث تماماً لفقاعة الصابون يستمر التشوه في الانحناء فقط إذا نما بمعدل ثابت حتى يتخذ شكل شبه دائرة ويحدث التالي بنفس الطريقة وينتج عنه تكوين عروتين الشكل (٢٢ج) وعندما يتقابل العروتان في نقطة (C) ، الشكل (٢٢د) فإنهما يقسمان الانخلاع إلى جزئين ، جزء خارجي الذي يقفل مكوناً دائرة خارجية الشكل (٢٢هـ) ، جزء داخلي يعود إلى الوضع الأصلي DD.

وينمو الانخلاع الخارجي فيصل إلى سطح البلورة ويظهر في الازاحة الأولية ، ومع عودة الانخلاع الداخلي إلى موضعه الأصلي DD فإنه يبدأ في الانحناء تحت تأثير القوة المؤثرة لينمو بالكيفية التي

سبق شرحها ... مثل هذه العملية قد تتكرر بأى عدد من المرات تؤدي إلى ازاحة ملحوظة لجزء من البلورة بالنسبة للآخر في مستوى انزلاق معين.

وترجع قوة القص المنخفضة أو الصغيرة في البلورات إلى وجود انخلاعات متصلة إلى تولد البعض الآخر في عملية القص. على الجانب الآخر تقوى البلورة في عملية النشوة اللدن المصاحب بواسطة عدد من العيوب .. جوهر مثل هذه التقوية يكون بمثابة تفاعل متبادل بين الانخلاعات مع بعضها البعض ومع عيوب الشبكة المتنوعة وينتج عن ذلك إعادة حركتها في الشبكة.

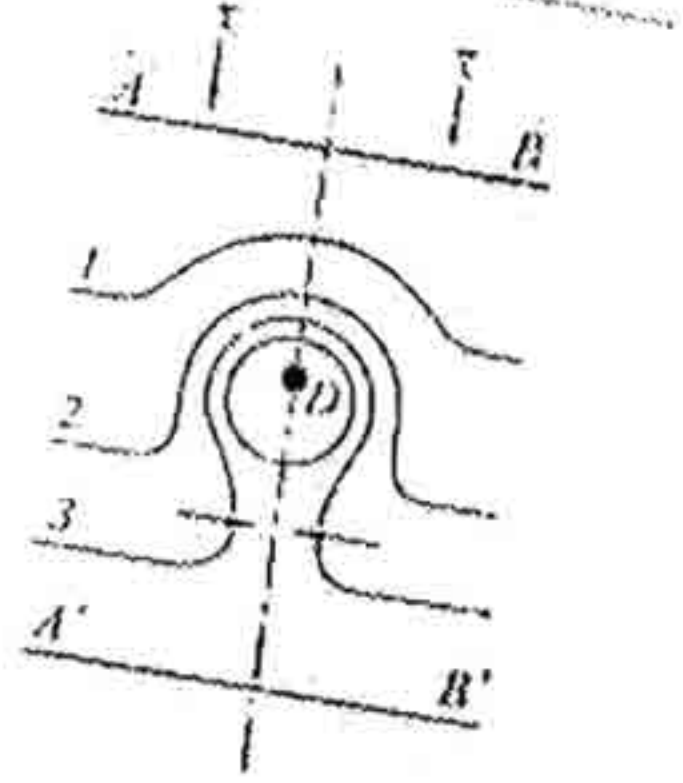
#### (١) التأثير المتبادل بين الانخلاعات :

أى انخلاع يكون سببا في اجهادات مرونة في الشبكة تولد مجال قوة حول نفسه يمكن وصفه بقيم الاجهادات المماسية  $\tau$  والاجهادات العمودية  $\sigma$  عند كل مقطع وعندما يدخل انخلاع اخر إلى المجال تبدأ القوة في التأثير ويعمل على تقريب الانخلاعات أو ابعادها بعضها عن بعض وتتنافر الانخلاعات المتشابهة الإشارة التي تقع في مستوى واحد بينما تتجاذب تلك المختلفة الإشارة وهذا هو السبب في أن الانخلاعات المتجمعة في مستوى معين يؤدي إلى زيادة مقاومة البلورة للقص وتقوى البلورة.

#### أ - اجتياز العوائق :

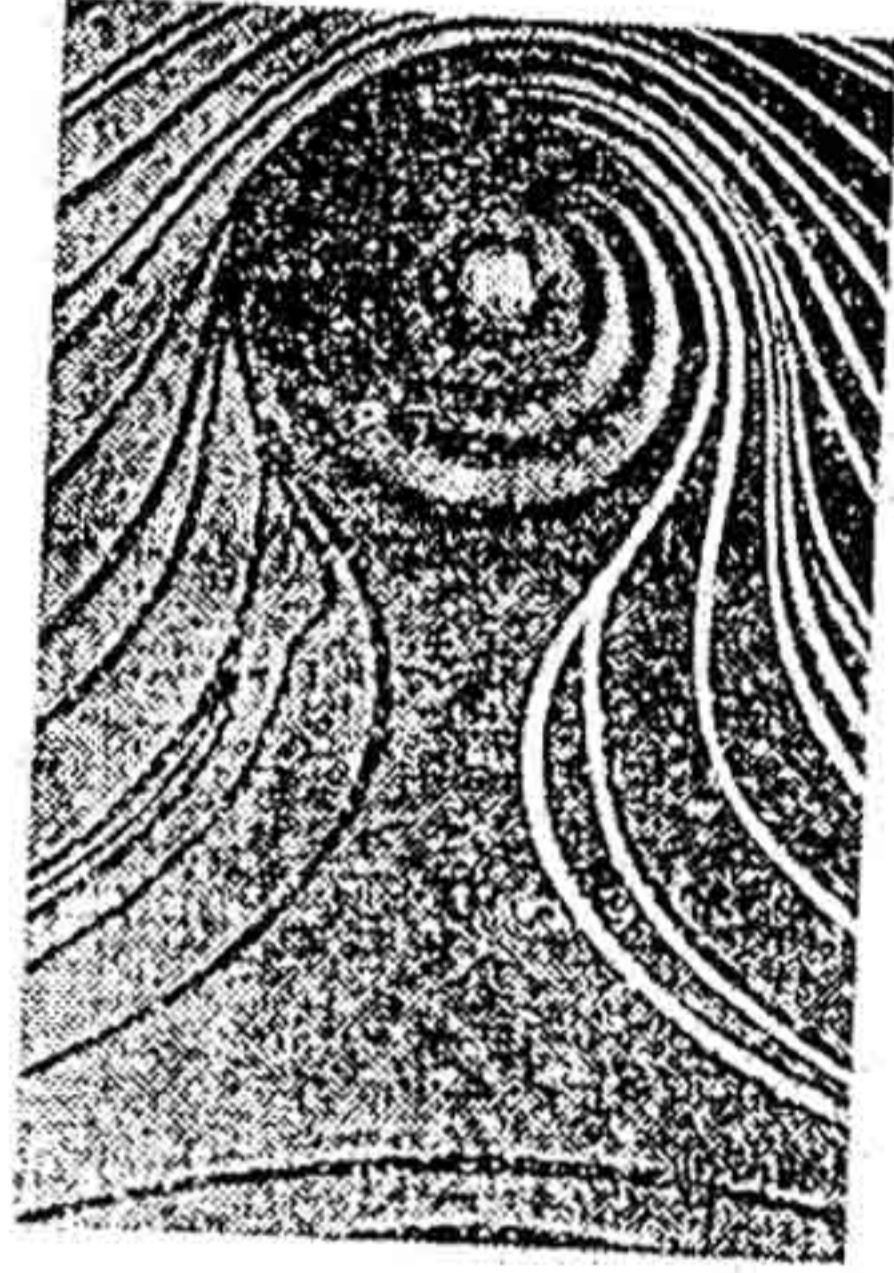
(١) لنفرض انخلاعا يتحرك علي مستوي الانزلاق بفعل الاجهادات المماسية التي تتحرك نحو عائق ساكن D علي سبيل المثال النقاط

مع بعض الانخلاعات الاخرى مثل ذرات الشوائب وأى نوع آخر من العيوب ويوضح الشكل (٢٣) الطريقة التي يمكن أن يتخطى بها



الشكل (٢٣)

الانخلاع AB نظريا العائق D . مع اقتراب الانخلاع من D (المواضع 1, 2, 3) ينحني تدريجيا مكوناً عروة تغلف العائق وتتغلق العروة خلف العائق ويتخذ الانخلاع A', B' مرة ثانية شكل الخط المستقيم .



الشكل (٢٤)

ويوضح الشكل (٢٤) صورة فوتوغرافية تظهر حركة الانخلاع نحو العائق الساكن (الخطوط المعتمة تمثل الانخلاعات) التي تظهر في عملية المعالجة الكيميائية ولا يترك التماثل في الصور شبيهة شك في صلاحية النموذج النظري الموضح في شكل (٢٣) وبالمرور حول العائق يزداد طول الانخلاع كما يزداد تشوه الشبيكة ويتطلب هذا شغلاً إضافياً لا بد من بذله. ولهذا فإن مقاومة حركة الانخلاع من المدي الذي يتخطى فيه العائق يكون أكبر كثيراً من أى جزء آخر في الشبيكة وهذا هو جوهر الحقيقة القائلة بأن تلك العيوب تعمل على تقوية البلورة. ويؤدي نمو عدد الانخلاعات في البلورة المصاحبة إلى تشوه لدن كبير يؤدي بدوره إلى زيادة عدد العوائق

عد تقاطعها ويكون هذا هو سبب التقوية التي تنتج عن التشوه اللدن.

ويكون لذرات الشوائب نفس التأثير حيث أنها تولد عيوباً موضعية تظهر في زيادة مقاومة البلورة لانفعال القص وبالتالي تعوق حركة الانخلاعات وهذا يتطلب إجهادات أكبر للتغلب على تأثيرها. وتستخدم ظاهرة التقوية على نطاق واسع في عملية المعالجة على البارد وفي عملية إدخال ذرات الشوائب وفي عملية إدخال الأشياء الغريبة (درجة الحرارة وزيادة العمر الزمني .. إلى آخره) لتحسين الخصائص الميكانيكية للمواد الهندسية وساعدت هذه الطريقة في تقوية المواد من ست إلى ثمان مرات في الأربعين سنة الأخيرة.

(٧-٤) القوة اللازمة لكسر الجوامد :

### Brittle strength of solids

يحدث كسر الجوامد أو تدميرها عندما تتخطى قوة الشد حد المرونة عندئذ تعاني المادة من تشوه لدن يسبق عملية التدمير وقبل مناقشة القوة اللازمة لكسر الجوامد يحسن أن نبدأ بحساب القوة النظرية للجوامد.

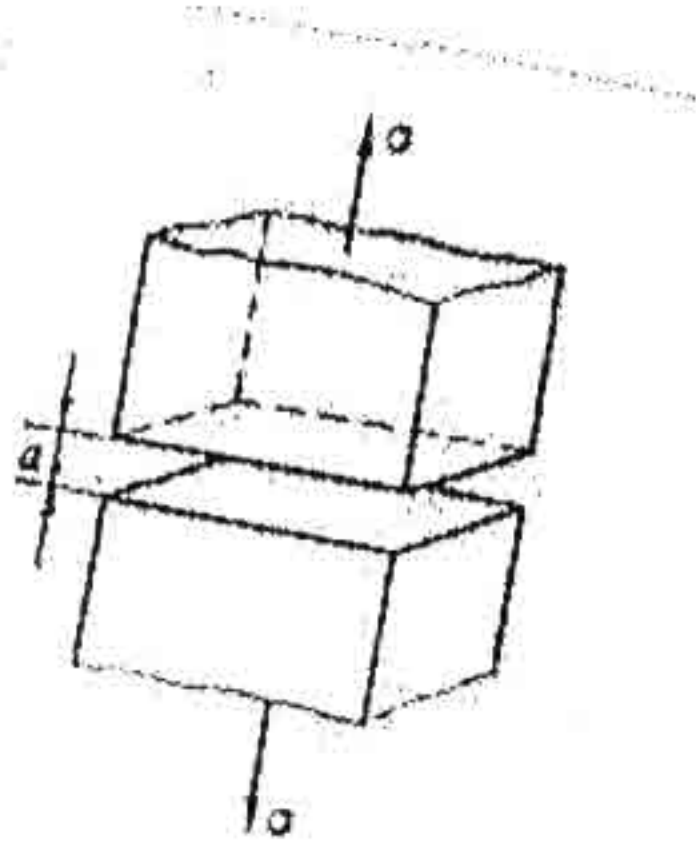
القوة النظرية للجوامد :

توجد محاولات عديدة لحساب قوة الجوامد على أساس التأثير المتبادل بين جزيئاتها والقوة  $\sigma_0$  التي يتم حسابها تسمى القوة النظرية .Theoretical strength

(١) طريقة بولاتاي Polanyi's :

جوهر هذه الطريقة يتلخص فيما يلي :

لنفرض اجهاد شد  $\sigma_0$  يؤثر على قضيب مساحة مقطعه  $a$  م<sup>2</sup>  
 الشكل (٢٥) هذا الاجهاد يعمل على زيادة المسافة بين المستويات



الشكل (٢٥).

الذرية. ولكي يحدث تدمير الجسم لابد أن يؤثر إجهاد  $\sigma_0$  يكون قادراً  
 على زيادة المسافة بين المستويات الذرية إلى قيمة تساوي بارامتر  
 الشبيكة  $a$  ويكون الشغل اللازمة لتحريك مستوى ذرى مسافة  $a$  عن  
 المستوى المجاور مساويا حاصل ضرب  $\sigma_0 \times a$  ويتحول ذلك الشغل  
 إلى طاقة حرة لسطحين جديدين مساحتهما الكلية  $2a^2$  تكونا نتيجة  
 للكسر ، وتصبح الطاقة الحرة مساويا  $2\alpha$  حيث  $\alpha$  هي طاقة السطح  
 للجامد لذلك فإن:

$$\sigma_0 a = 2 \alpha$$

وتكون القوة النظرية هي:

$$(١٨) \quad \sigma_0 = \frac{2\alpha}{a}$$

للنحاس:  $\alpha \approx 1.7$  جول/م<sup>2</sup>،  $a = 3.5 \times 10^{-10}$  مترا،  $\sigma_0 \approx 1 \times 10^{10}$

بسكال



طريقة تعيين  $\sigma_0$  من الحرارة الكامنة للتسامي أو التبخير :  
 الطاقة المساوية لحرارة الكامنة للتسامي أو التبخير  $Q_s$   
 مطلوبة لتبخير مول من جامد ما. ولتبخير طبقة جزيئية واحدة  
 مساحتها  $1\text{م}^2$  تكون الطاقة المطلوبة لها جزءاً من  $Q_s$  يساوي نسبة  
 كتلة هذه الطبقة إلى الكتلة الجزيئية  $M$ .

$$W = Q_s \times m/M$$

حيث  $m$  تساوي  $m = N_s \times \mu$  ،  $M = N_A \times \mu$  ،  
 $\mu$  الكتلة الجزيئية ،  $N_A = 6.023 \times 10^{23}$  /جزيء لكل مول  
 $N_s$  عدد الجزيئات لكل متر  $2$  من سطح الجامد

وللمسافة بين الجزيئية  $a$  تكون مساحة كل جزيء مساوية  
 تقريباً  $T\delta a^2$  ويكون عدد الجزيئات لكل متر مربع  $N_s = a^{-2}$  لهذا :

$$W = Q_s \times \frac{N_s}{N_A} \approx Q_s / N_A \cdot a^2$$

بفرض أن الجزيئات المتبخرة تفقد تلامسها مع سطح الجامد عندما  
 تصبح على بعد  $a$  من السطح الذي يمثل بارامتر الشبكة. عندئذ يمكن  
 الحصول على القوة المطلوبة لتمزيق الطبقة السطحية الكلية ككل.

$$(19) \quad \sigma_0 \approx \frac{W}{a} \approx \frac{Q_s}{N_A} \frac{1}{a^3}$$

حيث  $\sigma_0$  هي القوة النظرية للجوامد.  
 للنحاس  $Q_s = 3 \times 10^5$  جول/مول  $a$  تساوي  $3.6 \times 10^{-10}$  متراً ،  
 $\sigma_0 = 10^{10}$  بسكال.

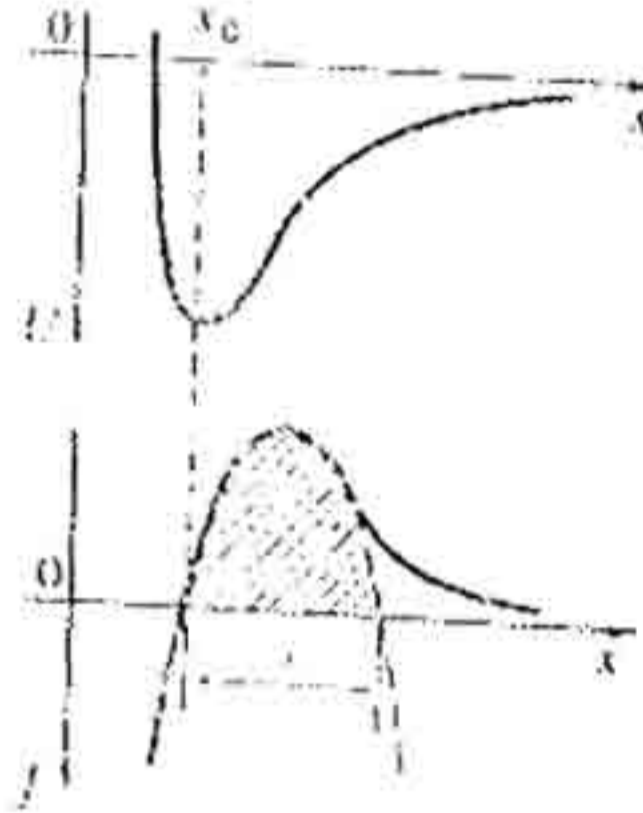
والحسابات المماثلة أدت إلى النتائج الآتية.

الحديد  $\sigma_0 \approx 2.3 \times 10^{-10}$  بسكال

الالومنيوم  $\sigma_0 \approx 0.6 \times 10^{-10}$  بسكال

الفضة  $\sigma_0 \approx 2.3 \times 10^{-10}$  بسكال

حساب  $\sigma_0$  من القوى الجزيئية المتبادلة:



الشكل (٢٦)

يوضح الشكل (٢٦) علاقة طاقة الوضع  $U(x)$  وقوة التأثير المتبادلة بين الجسمين  $f(x)$  على المسافة  $x$ . بينهما ونظرا لصعوبة الحصول على علاقة صحيحة محكمة  $F(x)$  يجعلنا نستعين بعلاقة تقريبية بين الدوال المختلفة. ولقد استخدمها بولاناي وأوروان Polanyi and Orowan تقريبا على الصورة.

$$(٢٠) \quad f(x) = f_{\max} \sin \frac{2\pi x}{c}$$

وعندما يتمزق جسم مساحة قطعة  $a$  إلى جزئين تكون القوة المطلوبة هي  $\sigma = f N_s$  حيث  $N_s$  عدد الجسيمات في كل متر مربع من المقطع

بالتعويض عن  $F$  من العلاقة (٤-٢٠) نحصل علي:

$$\sigma_0 = f_{\max} \cdot N_s \quad (21)$$

حيث  $\sigma_0 = F \max \cdot N_s$  هي القوة النظرية للجسم . وفي حالة الازاحات الصغيرة يمكن إعادة كتابة المعادلة السابقة علي الصورة.

$$\sigma = \sigma_0 \cdot 2\pi x / c$$

ومن ناحية أخرى يكون قانون هوك قابلاً للتطبيق في حالة الازاحات الصغيرة لذلك

$$\sigma = E_0 x / c$$

ولمساواة الطرف الايمن في المعادلة الأولى والطرف الايمن في المعادلة الثانية نحصل على المعادلة (٢٢)

$$\sigma \approx E / (2 \pi) \approx 0.1E \quad (22)$$

وبمقارنة قيم القوى النظرية  $\sigma_0$  المحسوبة من الطرق المختلفة نجد ان جميعها يؤدي إلى نفس النتيجة تقريباً وتساوي  $0.1E$  أي أن

$$\sigma_0 \approx 0.1E \quad (23)$$

وهذا يقابل قيمة عددية كبيرة للقوة  $10^9 - 10^{10}$  بسكال

**القوة الحقيقية (أو التقنية) للجوامد :**

تسمى قوة البلورات الحقيقية والجوامد المستخدمة في

الاعراض التقنية باسم القوة الحقيقية أو التقنية  $\sigma_r$  ويوضح الجدول ٤-

٥ قيمة معاملات المرونة  $A$  للقوة النظرية  $\sigma_0 \approx 0.1E$  وقيمة القوة

التقنية  $\sigma_r$  والنسبة  $\sigma_0/\sigma_r$  لبعض الصناعات.

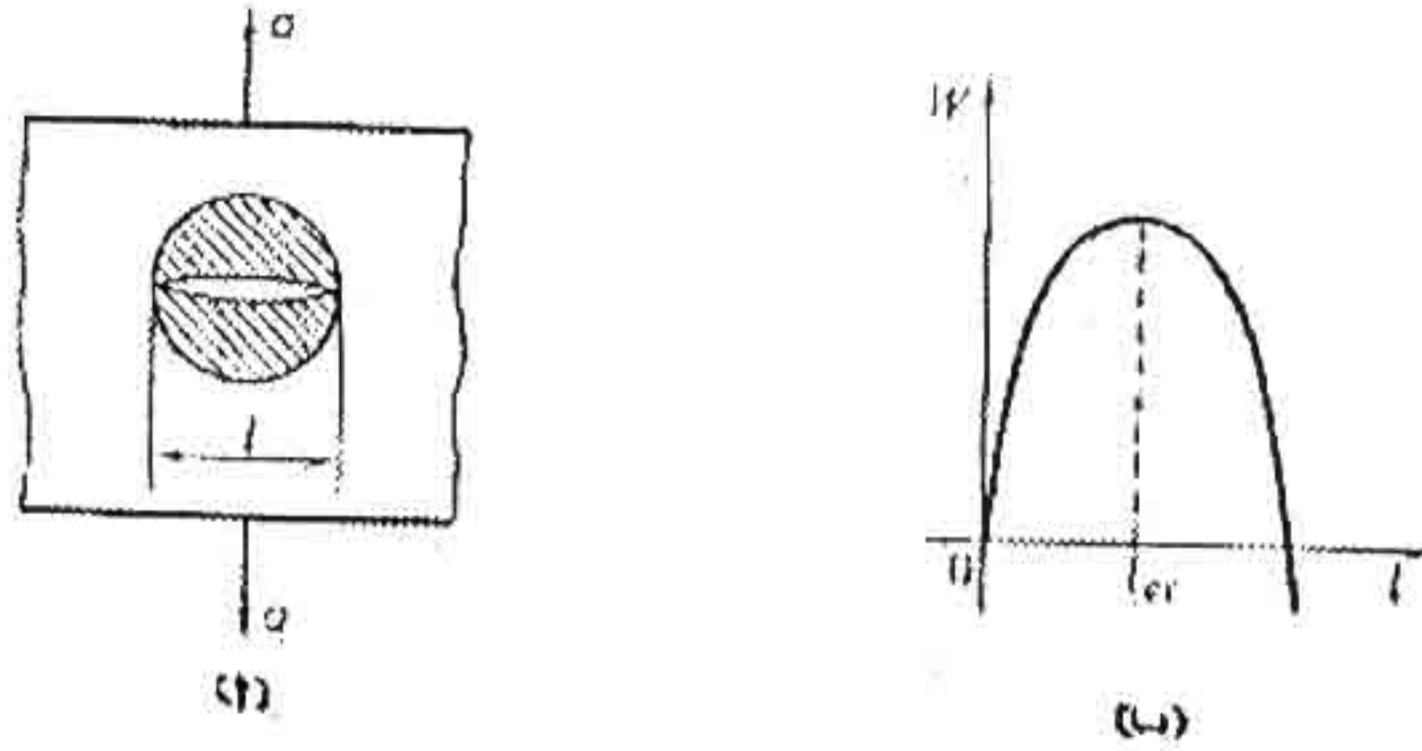
جدول (٥)

$\sigma_0/\sigma_r$	القوة التقنية $\sigma_r 10^7 \text{Pa}$	القوة النظرية $\sigma_0$ $0.1E(0^7)$ باسكال	(107Pa) مقابل المرونة E	المادة
65	9.0	600	6000	كادميوم
50	23	1200	1200	نحاس
100	8.0	800	8000	زجاج
70	30	2100	21000	حديد
800	0.5	400	4000	ملح صخري
45	18	800	8000	فضة

ويتبين من هذا الجدول أن القوة التقنية للجوامد تكون أقل بمقدار 2 إلى 3 رتب عن القوة النظرية.

في الوقت الراهن يوجد اتفاق عام علي أن مثل هذه الاختلافات بين  $\sigma_r$  و  $\sigma_0$  ترجع إلى وجود عيوب في الجوامد الحقيقية . هذه العيوب ذات أنواع متعددة مثل الشروخ الميكروسيكوبية التي تعمل على انقاص قوة الجوامد. ولقد عالجت نظرية جريفيت Griffith theory هذه المشكلة ويمكن حساب القوة التقنية باستخدام هذه الطريقة كما يلي :

نأخذ عينة علي شكل شريحة رقيقة نوثر عليها باجهاد شد  $\sigma$  كما في الشكل (٢٧ أ) . وتبلغ كثافة طاقة المرونة في هذه العينة المرنة الممتدة قيمة تساوي  $\sigma^2/(2E)$ .



الشكل (٢٧)

ونتصور ظهور شرخ عرضي من ميكروسكوبي طوله  $l$  يمتد خلال سمك كلي  $S$  للعينة. ظهور الشرخ يكون مصحوباً بتكوين سطح حر  $S=2/\delta$  (داخل العينة) وبزيادة طاقة العينة بمقدار

$$\Delta U_1 = 2 \ell \cdot \delta \alpha$$

حيث  $\alpha$  الطاقة الحرة لسطح العينة لكل وحدة مساحات.

من ناحية أخرى فإن تكون شرخ يؤدي إلى إجهاد مروني من الحجم

$$V = \ell^2$$

من العينة بينما لكل طاقة المرونة لها بمقدار  $\Delta U_2 = \ell^2 \delta \sigma / 2E$  ويكون التغير الكلي في طاقة العينة  $W(\ell)$  نتيجة

لظهور الشرخ هي :

$$(24) \quad W(\ell) = 2\ell\delta\alpha - F\delta\frac{\sigma^2}{2E}$$

ويوضح الشكل (27ب) علاقة  $W$  بطول الشرخ  $\ell$ . يكون لهذه العلاقة نهاية عظمي عندما تتلاشى المشتقة

$$\frac{dW}{d\ell} = 2\delta\sigma - \frac{\ell\delta\sigma^2}{E} = 0$$

ولنرمز لطول الشرخ المناظر للنهية العظمي للطاقة بالرمز  $\ell_{cr}$ . نحصل من العلاقة الأخيرة على معادلة (25)

$$(25) \quad \ell_{cr} = 2E/\sigma^2$$

ويمكن أن نتبين من الشكل (27ب) أنه طالما يظل طول الشرخ أقل من القيمة الحرجة  $\ell_{cr}$  تلزم طاقة لتكوينه. ومن ناحية أخرى بدأ من  $\ell = \ell_{cr}$  تحدث استطالة إضافية للعينة تظهر في نقص طاقتها. لهذا تحدث أنياً مع تدمير العينة أو كسرها كنتيجة نهائية.

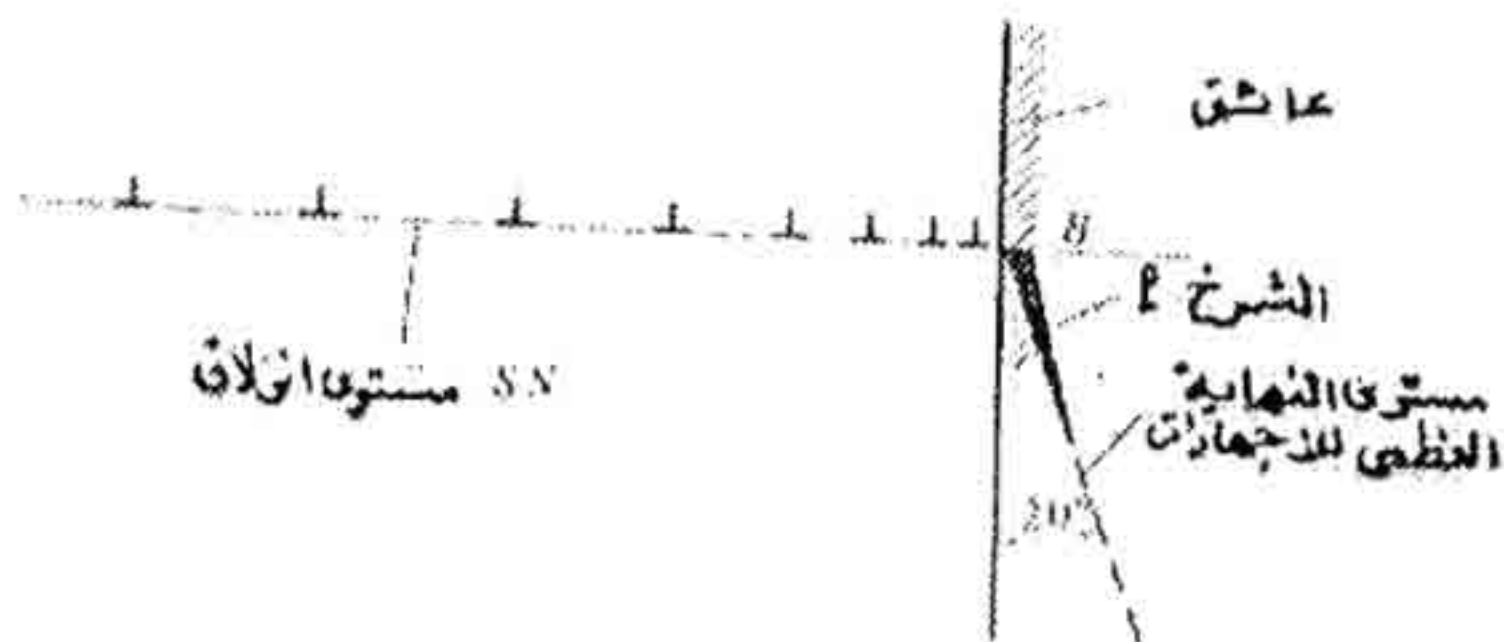
ومن ثم فإن القوة التقنية للجوامد التي تتميز بوجود شروخ ميكروسكوبية يمكن حسابها تبعاً لنظرية جريفيت من العلاقة (25)

$$(26) \quad \sigma_r \approx \sqrt{2\alpha E/\ell} \approx \beta \sqrt{\alpha E/\ell}$$

هذه العلاقة أمكن اثباتها بواسطة عدد من الباحثين باستخدام طرق مختلفة لتأثير الحمل على العينة.

وإذا عوضنا عن قيم  $\alpha$  و  $E$  و  $\sigma_r$  للنحاس ( $\sigma = 1.7 \text{ J/m}^2$ ) ( $E = 1.2 \times 10^{11} \text{ Pa}$ ) و ( $\sigma_r = 1.8 \times 10^8 \text{ Pa}$ ) في المعادلة (26) نحصل على  $\ell = 8 \times 10^{-6} \text{ m}$  ويمكن الحصول على نفس القيمة ( $\ell$ ) تقريبا بالنسبة

للجوامد الأخرى . يترتب على ذلك أنه لانقاص قوة الجوامد من قيمة النظرية إلى قيمتها التقنية لابد أن تظهر شروخ ميكروسكوبية طولها عدة ميكرومترات حتى اللحظة تدميرها وبديهي أن عدة عوامل يمكن أن تكون سبباً لهذه الشروخ. فيمكن تكوين الشروخ اثناء تحضير الجامد والبرهان على هذا في الواقع يتمثل في علاقة بين قوة العينة وأبعادها خاصة في الأبعاد الصغيرة. لهذا فإن قوة فتيلة زجاجية قطرها 25 ميكرومتر حوالي 100 مرة من العينة في حجمها الكبير تفسر ذلك يرجع ذلك إلى أنه كلما قلت أبعاد العينة كلما قلت احتمالية تكون شروخ كبيرة مسؤولة عن القوة المنخفضة التي تظهر فيها. مثل هذه العلاقة بين القوة وأبعاد العينة تعرف باسم عامل القياس Sacle Factor. وقد تنتج الشروخ بسبب إندماج عدد كبير من الفراغات معاً.



الشكل (٢٨)

ويوضح الشكل (٢٨) آلية الانخلاع لانتاج الشروخ. وتتحرك الانخلاعات ذات الاشارات المتشابهة في مستوي الانزلاق SS لتفاعل عائقاً لتبدأ في التجمع بجواره ويمكن أن تظهر اجهادات كبيرة قادرة على تكوين شروخ عند رأس هذا الانخلاع.

توقف قوة الجوامد على الزمن  
strength of solids

نعلم الآن المرحلة النهائية لعملية التدمير تحدث عندما يحتوى الجسم على شروخ قادرة على إحداث تمزق هش. ومع ذلك تكون المرحلة الأولية لعملية التدمير التى تنشأ وتتمو الشروخ خلالها لتكون الابعاد الحرجة  $L_{cr}$  مهمة أيضا. هذه العملية تتم تدريجيا وتأخذ زمنا  $\tau$  اللازم لعملية التدمير منذ اللحظة التى يؤثر فيها الحمل على الجسم إلى لحظة التمزق باسم متانة أو تحملية durability للمادة. والتجارب الأولى لدراسة المتانة أو التحملية قام بها زيركوف وبارتيف Zhurkov & Bartenov وآخرون أدت إلى تطور حديث عن الطبيعة الفيزيائية للمتانة أو الاحتمالية. فقد وجد بالتجربة أن المتانة أو الاحتمالية  $\tau$  لاجهاد الشد  $\sigma$  ودرجة الحرارة  $T$  ترتبط بالعلاقة.

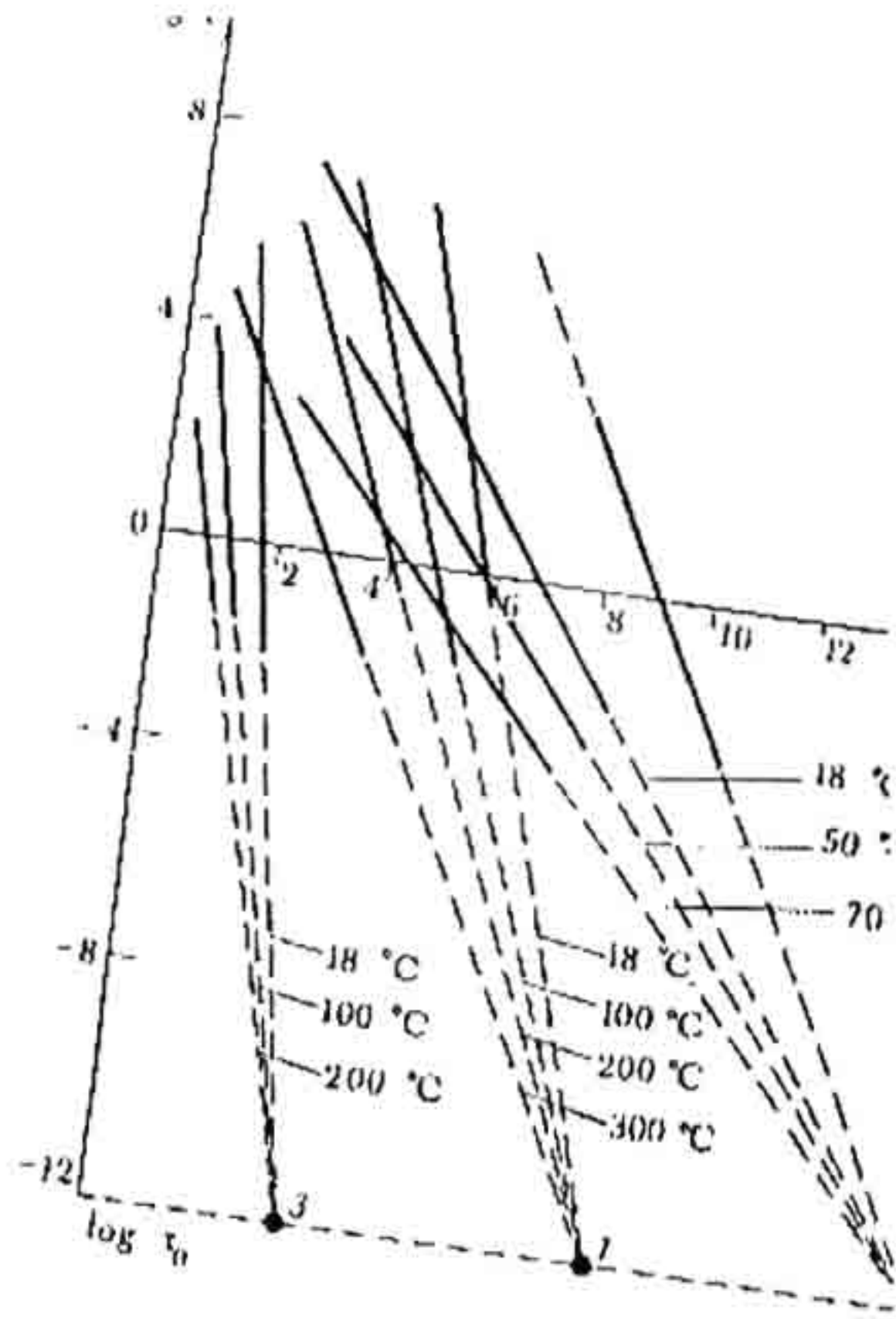
$$\tau = \tau_0(e_0 - \gamma\sigma)/k_B T \quad (27)$$

حيث  $\tau_0$  ،  $U_0$  ،  $\gamma$  ثوابت تتوقف على تركيب الجسم  
وعند ثبوت درجة الحرارة  $T$  يعاد كتابة العلاقة السابقة كما يلي :

$$\tau = A e^{-\beta\sigma} \quad (27)$$
$$A = \tau_0 e^{U_0/k_B T}, \beta = \gamma/(k_B T).$$

ولقد تم اختبار المعادلتين (27 ، 28) باستخدام عدد كبير من المواد المختلفة (فلزات - بوليمرات - مركبات الهاليدات) لقيم متبانية من  $\tau$ .





الشكل (٢٩)

ويوضح الشكل (٢٩) علاقة  $\log \tau$  بالاجهاد  $\sigma$  في حالة الألومنيوم (١) بليكس جلاس Plexiglas (a) وكلوريد الفضة (3) ويتضح من الشكل (٢٩-٤) أن العلاقة يمثلها خط مستقيم ، كما يوضح الشكل أيضا عائلة الخطوط المستقيمة تشبه المروحة لكل عينة على حدة عند درجات حرارة مختلفة مع مراعاة أن نقطة تلاقي عائلة الخطوط المستقيمة تسمى القطب. ويترتب على المعادلة (٢٧) أن  $\tau$  لا تتوقف على  $\tau$  وأن الخطوط المستقيمة للعلاقة  $\log \tau(\sigma)$  عند درجات

حرارة المختلفة ستتقاطع في نقطة واحدة ( هي القطب )  
 فقط إذا كان  $U_0 - \gamma \sigma = 0$  ، لكنه في هذه الحالة يكون  $\log \tau = \log \tau_0$ .  
 لذلك سيقع القطب على بعد  $\log \tau_0$  تحت الاحداثي  $\sigma$  .

ومن الواضح في الشكل (٢٩) أن الاقطاب لكل المواد التي تم  
 اختبارها تقع على نفس المستقيم الموازي للاحداثي  $\sigma$  . وهذا يدل على  
 ان  $\tau_0$  يكون له نفس القيمة تقريبا لجميع المواد (يتراوح من  $10^{-23}$  إلى  
 $10^{-13}$  من الثانية ) وهذه القيمة قريبة جدا من زمن الاهتزازات الذرية  
 في الجوامد ، وبأخذ لو غاريتم العلاقة (٢٧) يتم الحصول على

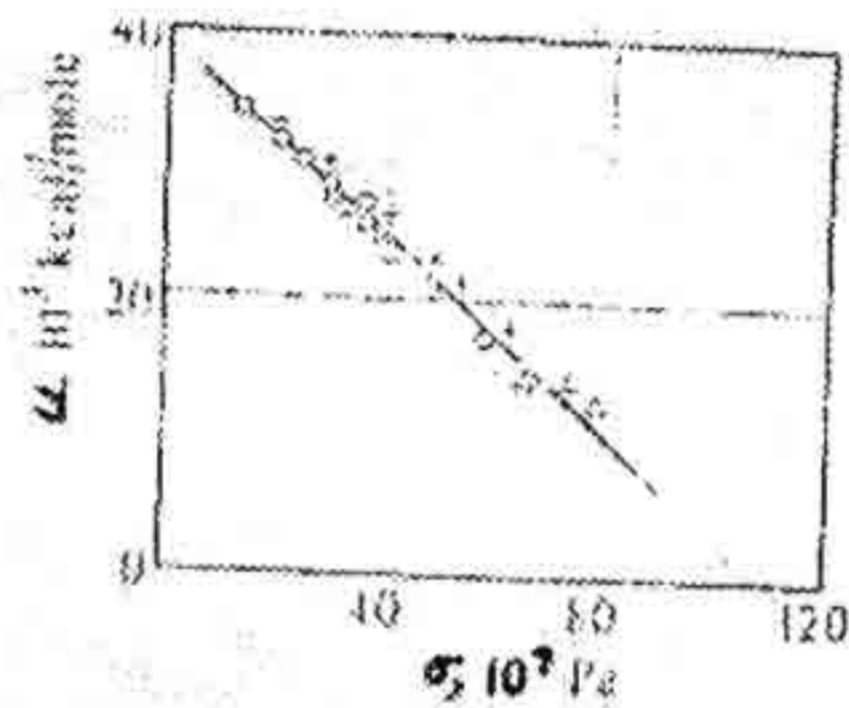
$$\log \tau = \log \tau_0 + \frac{U_0 - \gamma \sigma}{k_B T} = \log \tau_0 + \frac{U}{k_B T}$$

(٢٩)

$$U = U_0 - \gamma \sigma$$

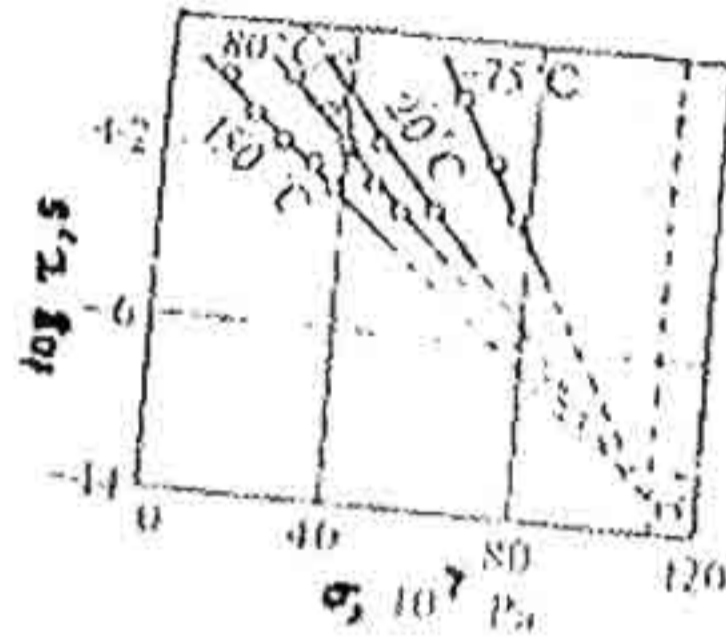
(٢٩)

وبقياس العلاقة بين  $\log \tau$  وبين  $U$  لقيم ثابتة من  $\sigma$  ، يمكن  
 تعيين  $U$  لقيم مختلفة من الاجهادات  $\sigma$  عمليا ، ابعاد  $U$  هي ابعاد  
 الطاقة وبسبب هذا فإنها تسمى طاقة تنشيط عملية التدمير .



الشكل (٣٠)

يوضح الشكل (٣٠) توقف طاقة تنشيط التمزق أو التدمير لشعيرة لزجة على الاجهاد فى درجات حرارة مختلفة. ويمكن أن نتبين أن  $U$  لا تتوقف على  $T$  وتنعين كلية بواسطة  $\sigma$  ، وعند  $\sigma = 0$  تكون النهاية العظمي لقيمة  $U$  هي  $U_0 \approx 40$  مقدرة بالكيلو سعر/مول، ولاجهاد  $\sigma \approx 10^7$  تكون  $U=0$  كما هو موضح فى الشكل (٣١)



الشكل (٣١)

النظر عن درجة حرارتها. ولقد وجد زيركوف وآخرون أن  $U_0$  فى الفلزات تكون قريبة من طاقة التدمير الحرارية  $Q_d$ .

ويوضح الجدول (٦) قيم  $U_0$  ،  $Q_s$  ،  $Q_d$  لبعض المواد. ونتبين من الجدول أن  $U_0$  قد تكون متفقة إلى حد كبير مع  $Q_s$  أو  $Q_d$  . لذلك يمكننا استنتاج أن عملية تدمير جامد تعد إحدى ديناميات الطبيعة (التي تظهر وقتيا) وأن منشأها واحد فى جميع الاحوال

للجوامد. وتعرض للنظريات الحديثة المتعلقة للآلية الفيزيائية لهذه العملية فيما يلي:

فذرات جامد ما تشارك في الاهتزازات الحرارية  $\tau$  لها يساوى تقريبا  $10^{-12}$  من الثانية. وتنشأ التقلبات الحرارية thermal fluctuation من وقت لآخر نتيجة لتمزق الروابط الكيميائية. وتتوقف متانة أو احتمالية هذه العملية على إرتفاع حاجز الجهد المقابل للتدمير U على درجة حرارته ، أو احتمالية هذه المتانة أو هذه الاحتمالية مع الارتفاع في درجة الحرارة والانخفاض في U. في حالة عدم وجود الاجهاد الخارجي  $\sigma$  تكون الطاقة المطلوبة لكسر الرابطة مساوية طاقة الترابط نفسها وهذا هو سبب إرتفاع حاجز الجهد  $U_0$  الذي تم الحصول عليه تجريبياً عند التدمير الميكانيكي للجوامد ويكون مساوياً الحرارة الكامنة للتسامي أو التبخير من الفلزات ولطاقة التدمير الحرارية في البوليمرات.

جدول (٦)

المادة	طاقة التنشيط للتدمير $U_0$ ( $10^5$ J/mole)	طاقة التسامي $Q_s(10^5$ J/Mole)	طاقة لتدمير الحراري $Q_d(10^5$ J/Mole)
الومنيوم	2.16	2.2	-
نيكل	3.48	3.4	-
نيلون	1.8	-	1.72
بلاتين	4.8	5.1	-
بولي ميثل ميثاكريلات	2.16	-	2.1-2.2
كلوريد بولي فينول	1.4	-	1.28
فضة	2.56	2.72	-
تيفلون	3.0	-	3.0-3.1
زنك	1.0	1.08	-

وتعمل الاجهادات المستحدثتفى الجسم على انقاص إرتفاع حاجز الجهد

من  $U_0$  إلى  $U_0 - \gamma\sigma$

ومن ثم زيادة احتمال كسر الروابط وبالتالي زيادة عدد الروابط التي يتم كسرها فى وحدة الحجم.

وتسهم عملية تكوين الحجم تحت الميكروسكوبية التي تنكسر فيها الروابط واندماجها فى عملية تكوين النوي وظهور الشروخ. وعندما يصل طول الشروخ إلى قيمة حرجة ينكسر الجسم تحت تأثير

الاجهاد المؤثر. وكلما زاد الاجهاد  $\sigma$  كلما قلت طاقة تنشيط الحاجز  $U_0 - \gamma\sigma$  وكلما زاد معدل تمزق الروابط ، لذلك فإنها تأخذ زمناً أقل لكي تنشأ عملية التدمير ، وبعبارة أخرى كلما قلت متانة أو احتمالية الجسم. ومن وجهة النظر السابقة يحدث التدمير الجوامد عند أى إجهادات بفرض أن زمن تأثيرها يكون طويلاً بدرجة كافية ويكون من الصعب عندئذ فهم لماذا تنشأ الجسور والتركيبات على إمتداد عدة قرون رغم تحملها لأحمال تظل سليمة طول الوقت. ولمزيد من الفهم نعود إلى الشكل (٢٩) حيث نلاحظ أنه كلما قلت درجة الحرارة كلما قل توقف المتانة أو الاحتمالية على الحمل وتتلاقى هذه العلاقة علمياً عند درجات الحرارة المنخفضة لدرجة كافية. بالنسبة للزجاجيات أو الفلزات التى تكون لها درجة وإنصهار عالية يمكن النظر إلى درجة حرارة الغرفة على أنها منخفضة بدرجة كافية وبسبب ذلك فإن قوتها تعد بمثابة خاصية مميزة للمادة. وفي جميع الظروف الأخرى نجد أنه من غير المفيد أن نتحدث عن القوة بدون ذكر زمن تأثير الحمل على المادة لهذا فإن المنتجات الصناعية المصنعة من بلكسى جلاس Blexiglas تتحمل أحمالاً لا تزيد عن 30% من قوتها قصيرة الزمن ولقد تم حساب قوة احتمالية عوارض التربين البخارى الذى يعمل فى درجات حرارة عالية.

#### (٤-٩) الطرق المستخدمة لزيادة طول الجوامد

إن آلية تكوين القوى باستمرار ونمو آلية الشروخ تتأثران بشدة بالتركيب الذرى للجوامد لهذا فإن القوة تصبح خاصية حساسة لتركيب الجوامد. فالاجهادات فى البلورات هى سبب تكوين

الانخلاعات وحركتها في مستويات الانزلاق وبهذه الطريقة تظهر  
الازاحات اللدنة الناشئة عن التشوهات اللدن وعندما تتقابل الشوائب  
والحبيبات وحدود القالب وتقاطعات مستويات الانزلاق تفقد  
الانخلاعات حركتها وتصبح البلورة أكثر صلادة.

ولزيادة قوة مثل هذه الأجسام يكون من الضروري اعاقه  
تكوين الانخلاعات وتكوين النوي ونمو الشروخ ويتم هذا طريقتين.

(1) بتكوين بلورات خالية من العيوب خالية من مصادر الاجهادات  
الداخلية التي تعمل على المدى الطويل في تكوين نوي الشروخ.  
هذه الطريقة ثم استخدامها فقط حتى وقتنا الراهن في البلورات  
من النوع الفتيلي والتي تعرف باسم الشعيرات whiskers وتعد  
هذه البلورات بمثابة بلورات أحادية نمت تحت ظروف معينة  
باستخدام طريقة الانحلال أو اختزال المركبات الكيميائية المناسبة  
أو طريقة تكثيف الأبخرة للفلزات النقية عند درجة حرارة مناسبة  
في جو من الهيدروجين أو أي غاز خامل أو طريقة الطلاء  
الكهربي للفلزات من محلول يحتوي على الكترول ابعاده صغيرة  
جداً ويتراوح طول بلورات الشكل الفتيلي من 10-2 ملليمتر  
ويتراوح سمكها من 5-50 ميكرومتر وثمة خاصية مدهشة لمثل  
هذه البلورات تتمثل في ارتفاع قيمة البارامترات الميكانيكية وقوتها  
تساوي تقريبا القوة النظرية للجوامد. فقوة شعيرة الحديد حوالي  
 $1.34 \times 10^9 \text{ Pa}$  ولشعيرة النحاس حوالي  $3 \times 10^{10} \text{ Pa}$  ولشعيرة  
الخرصين  $2.3 \times 10^9 \text{ Pa}$  مقارنة بقوة الشعيرات العادية من هذه

الفلزات وهي  $3 \times 10^8 \text{Pa}$  و  $2 \times 10^8 \text{Pa}$  ،  $1.8 \times 10^8 \text{Pa}$  علي الترتيب. وتعاني بلورات الحديد ذات الشكل الفتيلى فقط من تشوه مرن يزيد بمقدار 6-8 فى المائة بعدها يحدث لدن يصل إلى عدد كبير من الرتب بعدها يحدث تدمير الجامد. لاحظ أنه للحديد العادي يظهر الانسياب اللدن عند تشوه  $\epsilon \approx 0.01\%$  ويرجع إرتفاع البارامترات الميكانيكية للبلورات ذات الشكل الفيتلى إلى تركيبها الداخلى المثالي . فمثل هذه البلورات لا تحتوي عمليا على إنخلاعات وتكون نقية بدرجة غير متوقعة كما أن سطوحها تامة حتى أن تكبيرها بمقدار 40.000 مرة يعجز من اظهار أى آثار للخشونة. مثل هذا النقاء يرجع عادة إلى ظروف نمو بلورات صغيرة الحجم حيث أن عملية تكوين عيوب البلورات أقل ما يمكن إذا أنه من السهل على هذه العيوب ترك البلورة خلال أى سطح قريب وبسبب عدم وجود الانخلاعات والعيوب الأخرى فى البلورات ذات الشكل الفتيلى يمكن لأى إزاحة فى مستوى لانزلاق أن تأخذ شكل إزاحة جاسئة بينما تكون روابط جميع الذرات فى مستوى الانزلاق تم كسرها ألياً.

وتكون الاجهادات القريبة من الاجهادات القريبة من الاجهاد اللظرى مطلوبة للتأثير على مثل هذه الازاحة. ويرجع تكون التشوه المرن الكبير بكيفية غير طبيعية للشعيرات إلى عدم وجود حركيه الانخلاعات التى تكون مسنولة فى البلورات العادية عن التشوهات اللدنة التى تحدث عند الاجهادات الصغيرة. لذلك فإن هذه الطريقة



المستخدمة لإنتاج بلورات خالية من العيوب تمثل أملاً في إنتاج مواد قوية جداً قوتها قريبة من القوى النظرية للجوامد.

(٢) هذه الطريقة مضادة للطريقة الأولى فهي تتكون من التشوه الأعظم للتركيب الداخلي نتيجة إدخال الشوائب وترسيبات ذات أطوال متفرقة. مثل هذه العيوب تعوق حركة الانخلاعات ونمو الشروخ وبالتالي تعمل على زيادة قوة المادة. وتستخدم هذه الطريقة حتى الآن في مجال العلوم والصناعة ونوضح ذلك بالمثال التالي. الوزن النوعي لمحرك طائرة حديثة حوالي (1) تفل كجم لكل قدرة حصان بينما كانت في بداية القرن 250 تفل كجم لكل قدرة حصان. ويحظي وقتنا الراهن بظهور مواد تمتلئ ببلورات ذات شكل فتيلى ويستخدم في هذه المواد الصلب والفولاذ النيكل والتيتانيوم وغيرها من المواد وتمتلئ بعض المواد بالنتجستوم واكسيد الالومنيوم إلى آخره.

وتبشر هذه المواد بقرب ظهور مواد تتراوح قوتها من 5-10 مرات للقوة المعروفة للفولاذ الجيد كما أنها أخف وزناً.

وتكون قوة الأجسام الأمورفية والبوليمرات الزجاجية أقل حساسية للتركيب الداخلي فقوة فتائل الزجاج والكوارتز المصنعة حديثاً عند درجة حرارة مرتفعة والتي تكون عملياً خالية من العيوب تساوي مائة مرة لتلك في حالة العينات العادية وعندئذ يكون لها قيمة قريبة من القيمة النظرية لقوة البوليمرات الزجاجية.

والرغبة فى نمو سريع فى نوعية المواد للعلوم الحديثة والتقنية تحظى الآن باهتمام بالغ فنحن نحتاج إلى مواد قابلة للصبود التى درجات الحرارة العالية التى قد تصل إلى عدة آلاف درجة خالية من أى تشوه لدن ملحوظ عند الاحمال العادية. ولقد اقترح ستيبانوف Stepanov طريقة الانتاج مواد مقاومة للحرارة بدرجة كافية. فإذا أمكن مثلاً بناء شبكية من الكبريت من الذرات تحتفظ بنفس روابطها الكيميائية القوية التى تؤثر على الجزيء تنتج بلورات قوية جداً درجة انصهارها حوالى  $34700^{\circ}\text{C}$  مقابل  $101^{\circ}\text{C}$  للبلورة الكبريت العادي.

ولقد أصبحنا قادرين الآن على تحويل الجرافيت الطري ونيتريد البورون السداسى إلى ماس وبلورات بورازون قوية جداً وصلدة جداً ولها درجة إنصهار عالية عن طريق إستبدال قوة فاندرفال الضعيفة بالوصلات التساهمية القوية.

### أسئلة وتمارين:

- ١ - استنتج علاقة بين معامل ينج وجساءة الرابطة ثم استنتج علاقة بين الاجهاد ومعامل ينج.
- ٢ - اذكر باختصار القوانين الرئيسية التى تحكم الانسياب اللدن فى البلورات.
- ٣ - اشرح المقصود بالتوأمة الميكانيكية.
- ٤ - وضح الفرق بين قوى النظرية والحقيقية فى البلورات.
- ٥ - ( أ ) استنتج علاقة بين الاجهاد المماسى الحرج ومعامل النقص.

- ب) إذا كان معامل النقص للألومنيوم هو  $6800 \times 10^7$  بسكال فأحسب الاجهاد الممارسى الحرج.
- ٦ - ما المقصود بالانخلاع وما أنواعه المختلفة واكتب نبذة مختصرة عن كل نوع.
- ٧ - مستعينا بالرسم بين ما هية القوى اللازمة لتحريك الانخلاعات.
- ٨ - ما هي مصادر الانخلاعات ثم بين الكيفية التي يمكن بها تقوية البلورات.
- ٩ - مستعينا بالرسم وضح كيف تتجاوز أو تتخطى الانخلاعات أحد العوائق.
- ١٠ - ما هي القوى اللازمة لكسر الجوامد.
- ١١ - وضح بإيجاز شديد القوة الحقيقية (التقنية) للجوامد.
- ١٢ - بين كيف تتوقف قوة الجوامد على الزمن.
- ١٣ - اشرح باختصار القوى اللازمة لزيادة قوة الجوامد.
- ١٤ - أ) إذا كانت الطاقة السطحية للنحاس هي 1.7 جول/م<sup>٢</sup> وبارامتر الشبيكة هو  $3.6 \times 10^{-10}$  مترا فأحسب قيمة القوة النظرية [  $10^7$  بسكال].
- ب) إذا كانت الحرارة الكامنه للتسامى للنحاس هي  $3 \times 10^5$  جول/مول وبارامتر شبيكة النحاس هو  $3.6 \times 10^{-10}$  مترا وعدد أفوجادر وهو  $6.025 \times 10^{23}$  ذرة أو جزيء لكل مول [  $10^7$  بسكال].
- ج) احسب القوة النظرية للتجستون إذا كان معامل المرونة له هو 400 جيجا بسكال (جيجا =  $10^6$ ) [  $10^7$  بسكال ]

# الباب الخامس

الخصائص الحرارية للجوامد

## الباب الخامس

### الخصائص الحرارية للجوامد

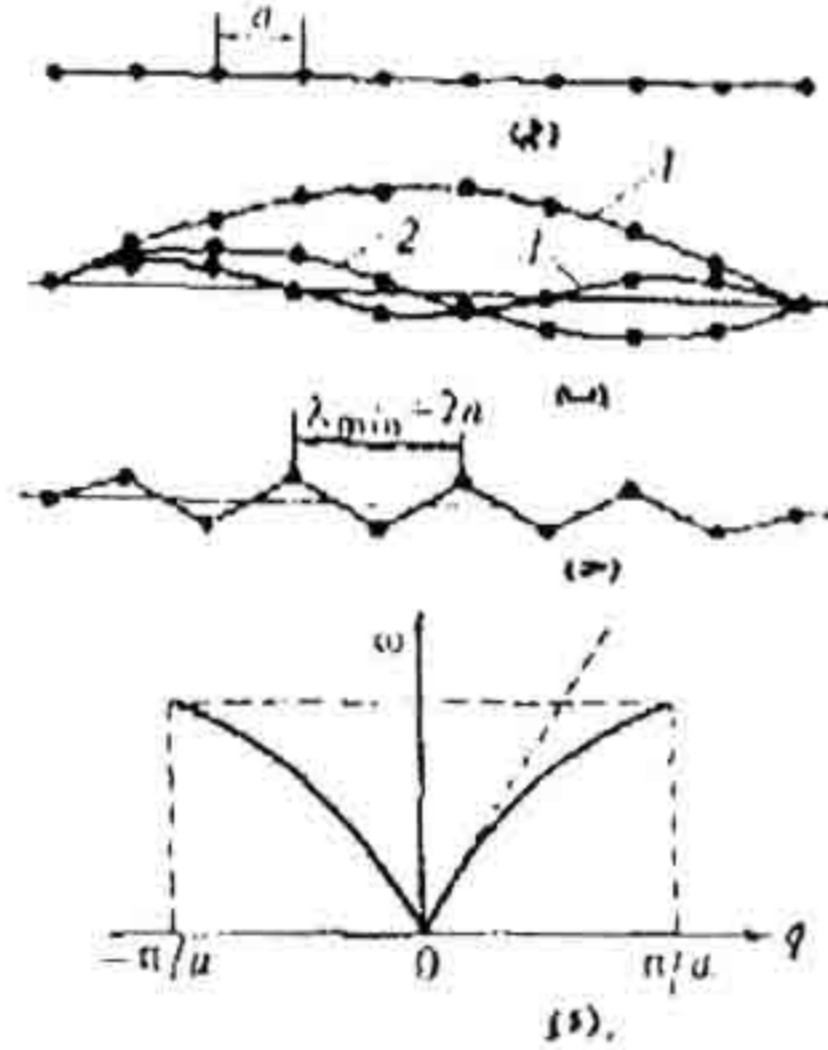
### Thermal Properties of Solids

يتناول هذا الباب بالدراسة الخصائص الحرارية للجوامد ممثلة في السعة الحرارية للجوامد والتمدد الحراري والموصلية الحرارية. ونجد أنه من الأفضل ان نبدأ بعرض بعض الاساسيات.

#### (٥-١) تردد ديبياي ودرجة حرارة ديبياي

#### Debye frequency and Debye temperature

- لذرات الجوامد نصيب في الاهتزازات الحرارية في البلورة حول مواضع اتزانها الأصلية و تنتقل الاهتزازات في البلورة في البلورة علي هيئة موجة مرنة تتضمن كل الجسيمات المثارة في البلورة. وتكون الموجات على شكل أمواج موقوفة ويوضح الشكل (١) نموذجاً أحادي الأبعاد لسلسلة خطية من الذرات المسافات الفاصلة بينها متساوية وتساوي  $a$ . وهي قادرة على الاهتزاز في اتجاه عمودي علي طول السلسلة (كما يحدث في الاهتزاز المستعرض لوتر مشدود ثبت من نهايته). وكذلك الحال بالنسبة للسلسلة فهي مثبتة الطرفين. المنحني ١ في الشكل يوضح أن السلسلة تهتز بأقل تردد زاوي ممكن  $\omega_{min}$  وهو التردد الاساسي لموجة موقوفة، تتكون من عقدتين عند الطرفين وبطن بينهما. ويمثل المنحني 2 موجة موقوفة تتميز بظهور عقدة إضافية عند مركز السلسلة وتردها ضعف التردد الأساسي.



الشكل (١)

• ويمثل المنحني 3 موجة موقوفة تنقسم فيها السلسلة إلى ثلاثة أجزاء متساوية وتردداتها ثلاثة أمثال التردد الأساسي. وهكذا ويكون طول أقصر موجة في مثل هذه السلسلة مساويا ضعف المسافة بين أي ذرتين في السلسلة :

والنهاية العظمي للتردد المناظر  $\omega_{\max}$  هي :

$$(١) \quad \lambda_{\min} = 2a$$

حيث  $v$  سرعة انتشار الموجة علي طول السلسلة.

$$(٢) \quad \omega_{\max} = \frac{2\pi v}{\lambda_{\min}} = \frac{\pi v}{a}$$

مثال:

إذا كانت  $a=3.6 \times 10^{-10} \text{m}$  (بارامتر شبيكة النحاس) وإذا كانت سرعة الصوت في النحاس  $v=3550 \text{ m/s}$ . احسب النهاية العظمى للتردد.

الحل:

$$\omega_{\max} = \frac{\pi v}{a} = \frac{3.14 \times 3550}{3.6 \times 10^{-10}} = 3 \times 10^{13} \text{ Hz}$$

وهي تناظر تردد الاهتزازات الذرية. وسنستعين في وصف العمليات الموجية بالمتجه الموجي  $q$  الذي ينطبق اتجاهه على اتجاه انتشار الموجة وقيمتها هي :

$$(3) \quad q = \frac{2\pi}{\lambda}$$

و نظرا لأن :

$$(4) \quad q = \frac{\omega}{v}, \quad \omega = q v$$

يوضح المنحني 4 توقف الاهتزازات العادية في سلسلة خطية تتكون من ذرات من نفس النوع على المتجه الموجي. ويتضح منه أنه بزيادة  $q$  من الصفر إلى  $\pi/a$  يزداد تردد الاهتزاز العادي حتى يصل إلى نهاية عظمى عند  $\omega_{\max} = \frac{\pi v}{a}$  أي عند  $q = \frac{\pi}{a}$  .  $\lambda=2a$  والمنحنيات التي من هذا النوع تسمى منحنيات التفريق dispersion curves.

ويتعين الطول الموجي للاهتزازات العادية في السلسلة الخطية في أبسط حالاتها التي يمثلها المنحني أ من الشكل (٥) من العلاقة:

$$(٥) \quad \lambda_n = \frac{2L}{n} \quad \text{حيث } (n=1,2,3,\dots,N)$$

$L$ ، طول السلسلة ،  $N$  عدد ذراتها ويكون عدد الموقوفة  $Z$  والتي يكون طولها  $\lambda_n \leq n$ .

$$Z = n = \frac{2L}{\lambda_n}$$

وبالمثل يكون عدد الأمواج الموقوفة في بلورة ثلاثية الأبعاد حجمها  $V (=L^3)$  لبلورة مكعبة طول ضلعها  $L$  ويكون طولها الموجي  $\lambda \leq$  هو :

$$Z = \left(\frac{2L}{\lambda}\right)^3 = \frac{8V}{\lambda^3}$$

وتؤدي الحسابات الدقيقة إلى ان

$$(٦) \quad Z = \frac{4\pi V}{\lambda^3}$$

ونظرا لان  $\lambda = \frac{2\pi v}{\omega}$  فإن :

$$(٧) \quad Z = \frac{V}{2\pi^2 v^3} \omega^3$$

وبالتفاضل نحصل على:

$$(٨) \quad dz = g(\omega) d\omega = \frac{3V}{2\pi^2 v^3} \omega^2 d\omega$$

وتعبر العلاقة الأخيرة عن عدد الأمواج الموقوفة في مدى التردد  $(\omega, \omega + d\omega)$  وتعين الدالة  $g(\omega)$  من العلاقة :



$$(9) \quad g(\omega) = \frac{dz}{d\omega} = \frac{3V}{2\pi^2 v^3} \omega^2$$

وتدل على كثافة الاهتزازات العادية في  $d\omega$  من الطيف.  
ونظرا لأن عدد الاهتزازات العادية في الشبكة هو  $3N$  (عدد درجات الحرية) فإن الدالة ستفي بشرط التسوية :

$$(10) \quad \int_0^{\omega_D} g(\omega) d\omega = 3N$$

حيث  $\omega_D$  النهاية العظمى للتردد الذي يحد طيف الاهتزازات العادية.  
وباستخدام المعادلتين الأخيرتين معا والتكامل نحصل على :

$$(11) \quad \frac{V \omega_D^3}{2\pi^2 v^3} = 3N$$

لذلك يكون :

$$(12) \quad \omega_D = v \left( 6\pi^2 \frac{N}{V} \right)^{1/3}$$

ويسمى التردد  $\omega_D$  باسم تردد ديبي Debye frequency وتسمى درجة الحرارة

$$(13) \quad \theta = \frac{\hbar \omega_D}{k_B}$$

باسم درجة حرارة ديبي

حيث  $\hbar = \frac{h}{2\pi}$  هو ثابت بلانك و  $k_B$  ثابت بولتزمان.

وعند درجة حرارة ديبي لجامد تثار كل ترددات اهتزازات الطيف في هذا الجامد بما فيها تردد النهاية العظمى  $\omega_D$ . وتبعاً لذلك يكون أى ارتفاع فى درجة الحرارة فوق درجة حرارة ديبي  $\theta$  غير مصحوب بظهور اهتزازات جديدة وفى هذه الحالة يؤدي ارتفاع درجة

الحرارة إلى زيادة شدة كل من هيئات الاهتزاز مع زيادة متوسط الطاقة لها. ويمكن بالتعويض عن  $v^2$  الحصول علي.

$$(14) \quad g(\omega) = 9N \frac{\omega^2}{\omega_D^3}$$

لدرجات حرارة  $T > \theta$

### (٥-٢) الفونونات Phonons

تحمل كل موجة موقوفة قدرا من الطاقة يساوي طاقة متذبذب تساوي كتلته كتلة الذرات المهتزة بنفس الترددات. وإذا أخذنا واحدة  $i$  من هيئات الاهتزاز ترددها  $\omega_i$  وطاقتها  $E_{i,m}$  ، هذه الطاقة تساوي طاقة متذبذب  $E_{i,0}$  تردده  $\omega_i$  أيضا ، عندئذ تكون الطاقة الكلية للبلورة

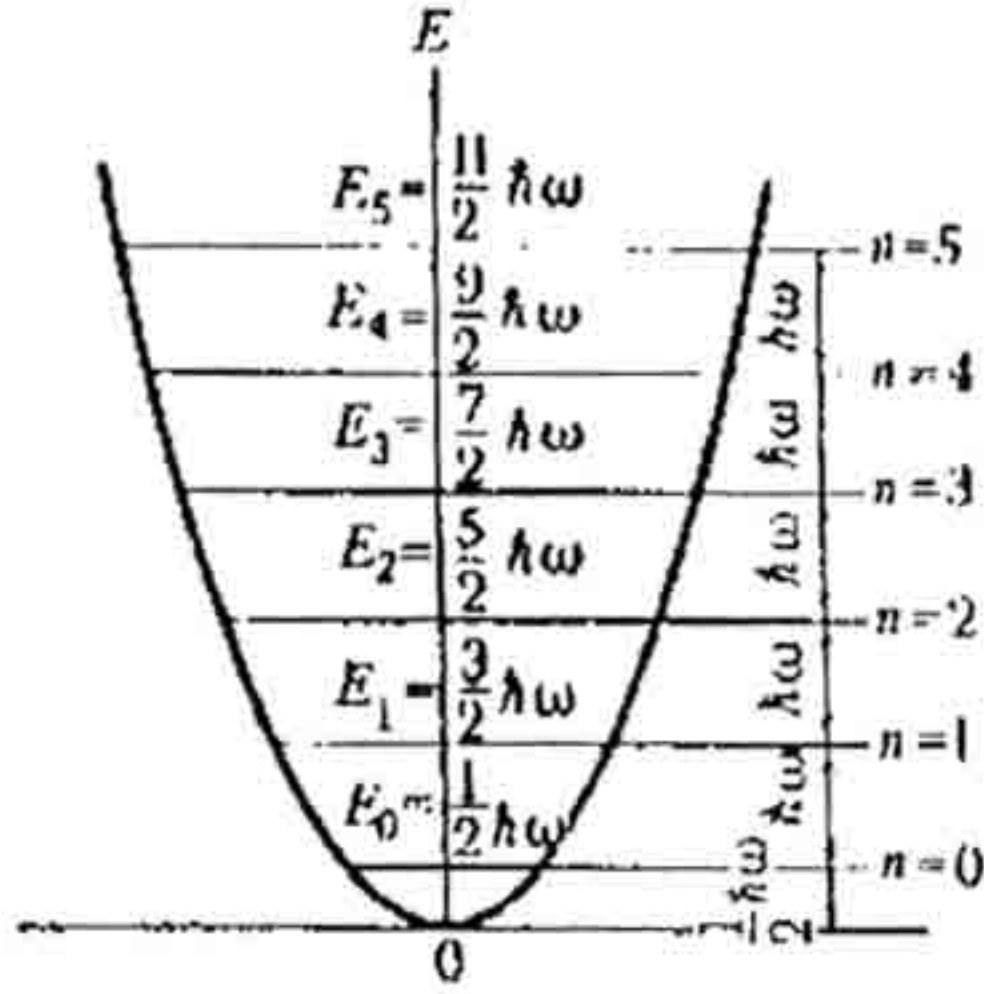
$$E = \sum_i^{3N} E_{i,0}$$

حيث  $3N$  عدد درجات الحرية لعدد  $N$  من الذرات وتعطي طاقة أي متذبذب كمي بالعلاقة :

$$(15) \quad E_n = (n + \frac{1}{2}) h\omega$$

حيث  $\omega$  تردد المتذبذب ،  $n$  عدد الكم.

ويوضح الشكل (٢) الطيف الطاقي لمتذبذب توافقي خطي. ويتكون كما نري من مناسب طاقة مميزة على فواصل متساوية من الطاقة  $h\omega$ . ونظرا لأن  $E_{n,m} = E_{n,0}$  فإن العلاقة السابقة المعبرة عن الطاقة والطيف الطاقي سوف تتطابق مع ما هو موضح بالشكل (٢).



الشكل (٢)

وتناظر النهاية الصغرى لجزء الطاقة الذى يمكن أن يمتص أو ينبعث بواسطة الشبكة فى عملية الاهزازات الحرارية انتقال هيئات الاهتزاز من منسوب طاقة معين إلى المنسوب المجاور له ويساوي.

$$(١٦) \quad \epsilon_{ph} = h\omega$$

هذا الجزء أو الكم من طاقة الاهتزازات الحرارية للشبكة يسمى "الفونون" Phonon وربما يساعد التشابه التالي فى توضيح هذه النقطة. فالحيز داخل جسم أسود ممتليء بأشعاع حراري فى حالة اتزان. حيث تتم معاملة هذا الاشعاع كغاز من الفونونات طاقتها  $\epsilon = h\omega = hv$  وكمية  $P = \frac{h\omega}{c} = \frac{h}{\lambda}$  تحركه حيث  $c$  سرعة الضوء  $\lambda$  طول الموجي.

ويمكن معالجة الأمواج المرنة فى البلورة بالمثل كغاز من الفونونات طاقتها  $\epsilon_{ph} = h\omega = hv$  وكمية تحركها.

$$(17) \quad p_{ph} = \frac{h\omega}{v} = \frac{h}{\lambda} = h q$$

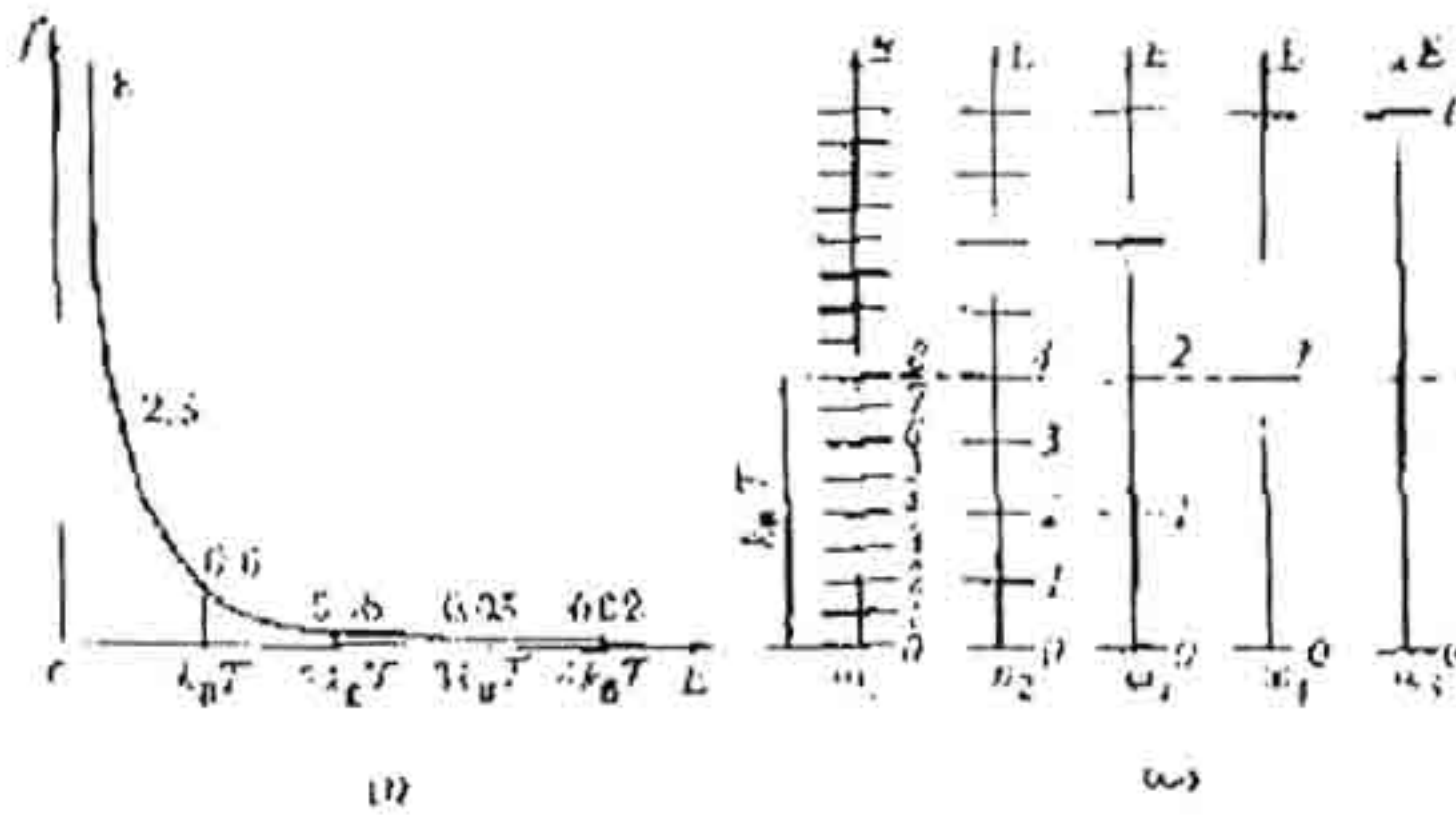
حيث  $v$  سرعة الصوت ،  $\lambda$  الطول الموجي للموجة المرنة ،  
 $q$  المتجه الموجي. وتوصف الفونونات كالفوتونات بدالة توزيع بوز  
 -اينشتين Bose-Einstein distribution function.

$$F(\varepsilon) = \frac{1}{e^{\varepsilon_{ph}/k_B T}} = \frac{1}{e^{h\omega/k_B T}}$$

ويتوقف هذا التوزيع علي شدة إثارة هيئة الاهتزاز العادية  
 لعدد محدد من الفونونات الذي يمكن إنبعائه. وعند إثارتها أي إثارة  
 هيئة الاهتزاز إلى المنسوب الثالث (الشكل (1-7) تصبح الطاقة

$$\varepsilon_3 = (n+1/2) h \omega$$

وهذا يعني تولد ثلاثات فونونات متماثلة طاقة كل منها  $h \omega$ .



الشكل (٣)

ويوضح الشكل (٣) العلاقة بين دالة التوزيع  $f(E)$  وطاقة الفونونات. ونري أنه عند درجة حرارة معينة  $T$  فإن كل هيئات الاهتزاز في الشبكة حتى تلك التي تكون طاقتها  $\hbar\omega \approx k_B T$  ستثار. وعندما تكون  $\hbar\omega > k_B T$  لن تثار الفونونات التي تكون تردداتها أكبر. يتضح هذا في الشكل (٣) وترمز الخطوط الأفقية في الشكل إلى أطراف طاقة تردداتها  $\omega_1 = k_B T / 8\hbar$  ،

$$\omega_5 = \frac{2k_B T}{\hbar}, \omega_4 = \frac{k_B T}{\hbar}, \omega_3 = \frac{k_B T}{2\hbar}, \omega_2 = \frac{k_B T}{4\hbar}$$

والمنسوب المناظر للمقدار  $k_B T$  موضح في الشكل بخط منقطع.

يترتب على ذلك أن تثار عند درجة حرارة معينة  $T$  هيئة الاهتزاز التي ترددها  $\omega_1$  إلى المنسوب الثامن . وهذا يعني أن ثمانية فونونات متمثلة طاقتها كل منها  $\hbar\omega_2 = \frac{k_B T}{8}$  تثار إلى المنسوب الثامن . وبالمثل تثار أربعة فونونات متمثلة إلى المنسوب الرابع

تردداتها تكون طاقتها  $\frac{K_B T}{8} \hbar \omega_1$  ويكون من النادر إثارة فونونات ثرواتها  $\omega_s$  عند الدرجة  $T$  لأن طاقة إثارتها  $\hbar \omega$  عالية جداً.

### (٣-٥) السعة الحرارية للجوامد Heat capacity of Solids

إن الطاقة الحرارية لجامد  $E_{lattice}$  هي مجموع طاقات هيئات اهتزازة العادي. وكما سبق أن ذكرنا فإن عدد هيئات الاهتزاز العادي

$$g(\omega) d\omega = \frac{3V}{2\pi^2 v^3} \omega^2 d\omega \quad \text{لكل مدى تردد } d\omega \text{ هو}$$

وبضرب هذا العدد في الطاقة المتوسطة:

$E_{n,m} = \hbar \omega (e^{\hbar \omega / k_B T} - 1)^{-1}$  لهيئة اهتزاز عادي ، نحصل على الطاقة الكلية للتردد  $\omega$  في مدى التردد  $d\omega$ .

$$dE_{lattice} = \bar{E}_{n,m} g(\omega) d\omega$$

وبتكامل هذه العلاقة مع وضع حدود التكامل من 0 إلى  $\omega_D$  نحصل على طاقة الاهتزازات الحرارية لشبيكة جامد.

$$(18) \quad \bar{E}_{lattice} = \int_0^{\omega_D} \bar{E}_{n,m} g(\omega) d\omega$$

والسعة الحرارية عند حجم ثابت لجامد  $C_V$  هي التغير في الطاقة الحرارية للجامد الناتج عن التغير في درجة الحرارة بمقدار درجة واحدة. ولايجادها نفاضل  $E_{lattice}$  بالنسبة لدرجة الحرارة ، أي أن :

$$(19) \quad C_V = d E_{lattice} / dT$$

ولعل المشكلة الأساسية هنا تتمثل في توقف السعة الحرارية على درجة الحرارة.

فهناك مديان لدرجة الحرارة. المدي الأول لدرجات الحرارة أقل كثير من درجة حرارة ديبياي  $T \ll \theta$  ويطلق على هذا المدي الأول لدرجات الحرارة اسم مدى درجة الحرارة المنخفضة. والمدي الثاني هو مدى درجات الحرارة الأعلى من درجة حرارة ديبياي  $T > \theta$  ويطلق عليه اسم مدى درجات الحرارة المرتفعة.

### أولا : مدى درجات الحرارة المنخفضة :

في هذا المدي تثار هيئات الاهتزاز العادي ذات الترددات المنخفضة التي تكون طاقتها  $\hbar\omega < k_B T$ . ويمكن حساب الطاقة المتوسطة للاهتزازات العادية بفك مقام المعادلة السابقة والاكتفاء بحدين فقط لنحصل على :

$$(20) \quad \bar{E}_{n,m} = \hbar\omega (e^{\hbar\omega/k_B T} - 1)^{-1} \approx \hbar\omega (1 + \frac{\hbar\omega}{k_B T} + \dots - 1)^{-1} \approx k_B T$$

ومن ثم تكون الطاقة المتوسطة في مدى درجات الحرارة المنخفضة لكل . أى أن  $T$ : هيئة إهتزاز عادي متناسبة طرديا مع درجة الحرارة

$$(21) \quad \bar{E}_{n,m} \propto T$$

ويرجع هذا القانون إلى زيادة احتمال الاثارة لكل هيئة اهتزاز عادي مع ارتفاع درجة الحرارة مما ينتج عنه زيادة الطاقة المتوسطة لها.

بالاضافة إلى هذا يسبب ارتفاع درجة الحرارة في مدى درجات الحرارة المنخفضة ترددات أعلى جديدة لهيئات اهتزاز عادة بسبب إثارتها. العدد التقريبي لها  $Z$  يمكن حسابه بالاستعانة بالمعادلة.

$$(٢٢) \quad dz = g(\omega) d\omega = \frac{3V}{2\pi^2 v^3} \omega^2 d\omega$$

فإذا فرضنا أنه عند درجة حرارة  $T$  تثار كل هيئات الاهتزاز العادي حتى تلك التي يكون ترددها  $\omega \approx k_B T / \hbar$  ، لنحصل على:

$$(٢٣) \quad Z = \int_0^{k_B T / \hbar} g(\omega) d\omega \approx \int_0^{k_B T / \hbar} \omega d\omega \propto T^3$$

ويترتب على هذا أنه بارتفاع درجة الحرارة يتناسب عدد هيئات الاهتزاز العادي تناسباً طردياً مع مكعب درجة الحرارة ( $T^3$ ). ويعزي هذا إلى آليتين هما :

(١) الزيادة في الطاقة المتوسطة لكل هيئة اهتزاز عادي  $E_{n,m}$  ترجع إلى زيادة احتمال إثارتها.

(٢) الزيادة في عدد هيئات الاهتزاز العادي في الشبكة.

الاحتمال الأول هو المسئول عن الزيادة في الطاقة التي تتناسب مع  $T$  ويكون الثاني مسئولاً عن التناسب مع  $T^3$  ولهذا فإن التأثير الكلي ممثلاً في زيادة طاقة الشبكة التي بما يتناسب مع  $T^4$ .

$$(٢٤) \quad E_{\text{lattice}} \propto T^4$$

وتكون الزيادة في السعة الحرارية متناسبة مع  $T^3$

$$(٢٥) \quad C_v \propto T^3$$

وهو قانون  $T^3$  لديباي الذي يتفق مع النتائج التجريبية في مدى درجات الحرارة المنخفضة.

ثانياً : مدى درجات الحرارة المرتفعة :

نعلم أن كل هيئات الاهتزاز العادي في الشبكة قد تمت إثارتها

عند درجة حرارة ديبياي ، لهذا فإن ارتفاع درجة الحرارة بعدئذ لا



يزيد هذا العدد. وأن التغير في طاقة الجامد في مدي درجات الحرارة المرتفعة يرجع إلى زيادة شدة هيئات الاهتزاز العادي. ويؤدي هذا إلى زيادة الطاقة المتوسطة  $E_{n,m}$ . ونظرا لأن  $E_{n,m} \propto T$  فإن التغير في طاقة الجسم ككل سيتناسب على  $T$ .

$$E_{lattice} \propto T \quad (26)$$

وسوف لا نتوقف السعة الحرارية على درجة الحرارة.

$$Cv = d E_{lattice} / d T = \text{constant} \quad (27)$$

وتعرف هذه العلاقة باسم قانون ديولنج ديبيتي Dulong and Petit law الذي تم تجسيده بالتجربة.

ويمكن تجسيد القوانين النوعية لتغير  $Cv$  مع  $T$  التي تم الحصول عليها بدراسة العمليات الفيزيائية في الجوامد بحسابات كمية دقيقة. وعند هذا الحد نعود إلى المعادلة :

$$E_{lattice} = \int_0^{\omega_D} E_{n,m} g(\omega) d\omega \quad (28)$$

ونحاول حساب طاقة الشبكة كدالة في درجة الحرارة بصورة أكثر دقة :

من المعادلة السابقة والمعادلتين :

$$E_{n,m} = \hbar\omega \left( e^{\frac{\hbar\omega}{k_B T}} - 1 \right)^{-1}, \quad g(m) = q N \frac{\omega^2}{\omega_D^3} \quad (29)$$

وبادخال الكمية  $x = \hbar\omega/k_B T$  نحصل علي

$$E_{lattice} = 9Nk_B \theta \left( \frac{T}{\theta} \right)^4 \int_0^{\theta/T} \frac{x^3 dx}{e^x - 1}$$

حيث  $\theta$  درجة حرارة ديباي.

وسنأخذ مدى درجات الحرارة المنخفضة ومدى درجات الحرارة المرتفعة كلا علي حدة.

• مدى درجات الحرارة المنخفضة ( $T \ll \theta$ )

في هذا المدى نجعل حدود التكامل في العلاقة الاخيرة من 0 إلى  $\infty$  مع الأخذ في الاعتبار أن

$$\int_0^{\infty} \frac{x^3 dx}{e^x - 1} = \frac{\pi^2}{15}$$

نحصل على

$$(30) \quad E_{\text{lattice}} = \frac{3\pi^4}{5} NR_B \theta \left(\frac{T}{\theta}\right)^4 \propto T^4$$

وبتفاضيل هذه العلاقة بالنسبة إلى  $T$  نحصل علي

$$(31) \quad C_v = \frac{12\pi^4}{5} NR_B \left(\frac{T}{\theta}\right)^3 \propto T^3$$

وهنا نكون قد وصلنا إلى قانون  $T^3$  لديباي منسجما مع تغير

السعة الحرارية للشبيكة في مدى درجات الحرارة المنخفضة حيث يكون التناسب مع مكعب درجة الحرارة

• مدى درجات الحرارة المرتفعة :

في مثل هذا المدى من الدرجات تكون قيم  $x$  صغيرة ومن ثم يكون من الممكن حذف كل الحدود فيما عدا حدين ويكون مفكوك  $e^x$  هو

$$e^x = 1 + x + \dots$$

وعندئذ يكون

$$(32) \quad E_{\text{lattice}} = 9Nk_B \theta \left(\frac{1}{\theta}\right)^4 \int_0^{\theta/T} x^2 dx = 3Nk_B T \propto T$$

وتكون السعة الحرارية للبلورة هي :

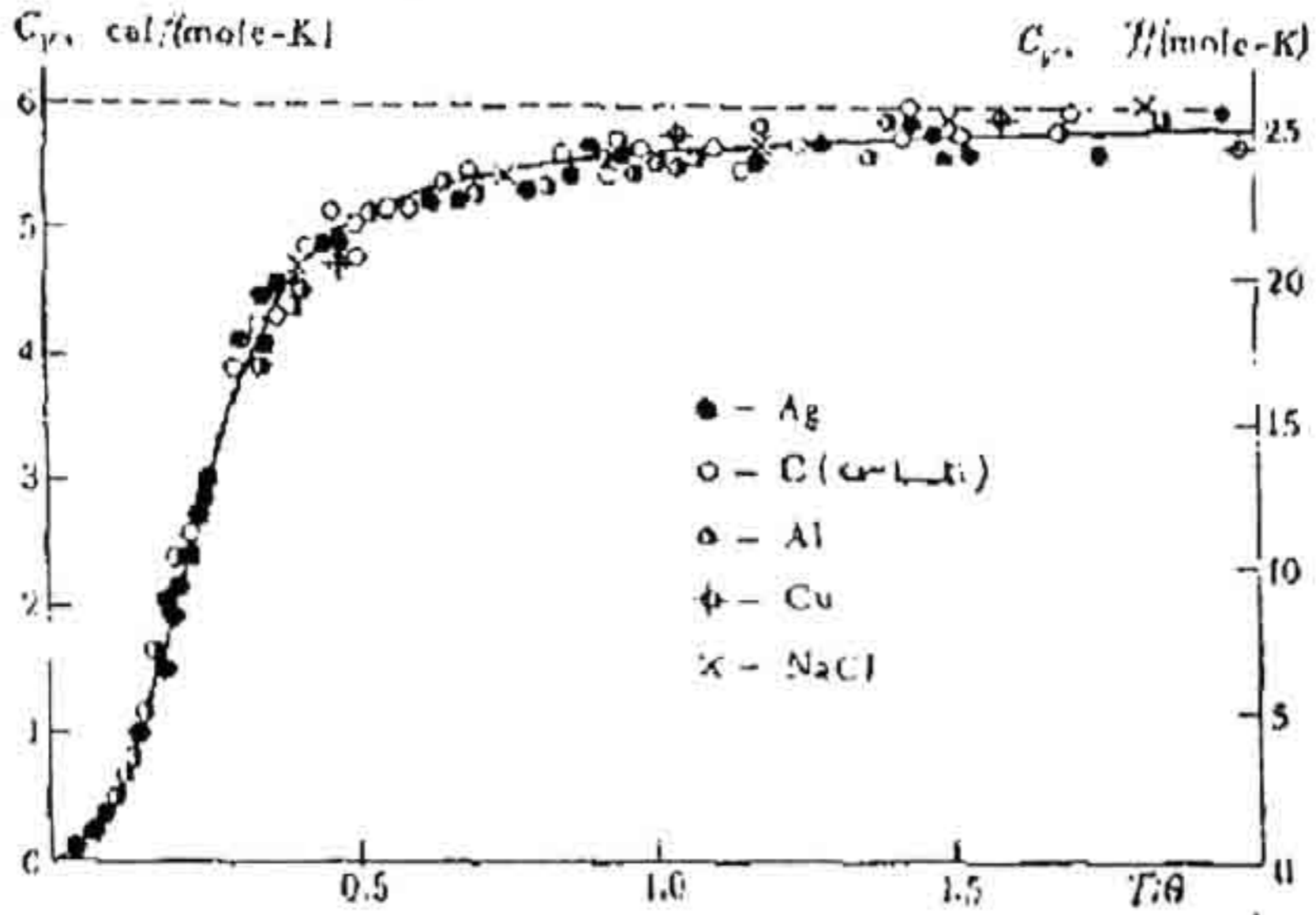
$$(33) \quad C_v = \frac{dE_{\text{lattice}}}{dT} = 3N k_B = \text{constant}$$

ولجزى أحادي الذرة لمادة  $N=N_A$  تساوي  $6.023 \times 10^{23}$  لكل مول (عدد أفوجادور) ،  $N_A k_B = R$  ، حيث  $R$  الثابت العام للغازات ويساوي 8.31 جول / مول كلفن. ويكون :

$$(34) \quad C_v \approx 3R \approx 25 \text{ J / (mole - K)}$$

وتعبر هذه العلاقة عن قانون ديولنج وبيتي. ويوضح الخط المتصل في الشكل ١ ، ٢ العلاقة النظرية بين السعة الحرارية للجوامد وبين درجة الحرارة. وتوضح النقط القيم العملية للفضة والماس والألومنيوم والنحاس والملح الصخري. ويبدو من الشكل أن هناك اتفاقاً بين القيم التجريبية والنظرية سواء من الناحية النوعية أو الكمية. وبمعرفة العلاقة بين درجة الحرارة وطاقة الشبكة يمكن إيجاد تركيز غاز الفونونات وعلاقته بدرجة الحرارة ، أي عدد الفونونات  $n_{ph}$  المثارة في وحدة الحجم من البلورة. تركيز غاز الفونونات في مدي درجات الحرارة المنخفضة حيث  $E_{\text{lattice}} \propto T^4$  وطاقة الفونون  $\hbar\omega \approx k_B T \propto T$  يجب أن تتناسب مع  $T^3$  أي أن :

$$(35) \quad n_{ph} \propto T^3$$



الشكل (٤)

وفي مدى درجات الحرارة المرتفعة حيث  $E_{\text{lattice}} \propto T$  وأن طاقة الفونون تبلغ نهايتها العظمي  $\hbar\omega_D \approx K_B\theta$  وهذه لا تتوقف على درجة الحرارة  $T$ . ويكون تركيز غاز الفونونات متناسباً مع  $T$  أي أن.

$$n_{\text{ph}} \propto T \quad (36)$$

(٤-٥) السعة الحرارية للغاز الإلكتروني

تحتوى الفلزات بالإضافة إلى الأيونات التي تكون الشبكة وتهتز حول مواضع اتزانها الأصلية ... أيضاً على إلكترونات حرة عددها في وحدة الحجم يساوى تقريباً نفس عدد الأيونات.

لهذا السبب فإن الحرارة النوعية لفلز تساوى مجموع السعة الحرارية للشبيكة  $C_{lattice}$  التى تم حسابها فى الفقرة السابقة والسعة الحرارية لغاز الإلكترونات  $C_v$ .

$$(37) \quad \therefore C_v = C_{lattice} + C_e$$

وإذا كان الغاز الإلكترونى غازا غير منحل فإن الطاقة المتوسطة لكل الكترون تساوى  $\frac{3k_B T}{2}$  وتكون طاقة الغاز الإلكترونى لكل مول من الفلز هى

$$(38) \quad E_o^{cl} = N_A \frac{3}{2} k_B T = \frac{3}{2} RT$$

وتكون سعتها الحرارية هى

$$(39) \quad C_e^{cl} = \frac{3}{2} N_A k_B = \frac{3}{2} R$$

وتكون السعة الحرارية الكلية للفلز فى مدى درجات الحرارة المرتفعة فى هذه الحالة

$$C_v = C_{lattice} + C_e^{cl} = \frac{9}{2} R \approx 37 \text{ J/mole. Kelvin}$$

(جول / مول . كلفن)

وتكون السعة الحرارية للفلزات كما هو الحال فى العازلات فى مدى درجات الحرارة المرتفعة حيث يكون قانون ديولونج وبيتى صالحا للتطبيق  $c_v \approx 25 \text{ J/mole-K}$

وهذا يبرهن على أن إسهام الغاز الإلكترونى يمكن إهماله.

وفى حالة الغاز الإلكترونى المنحل الذى يوصف بإحصائيات

الكم لفيرمى ديراك فإنه عند رفع درجة الحرارة لا تتأثر كل

الإلكترونات الحرة فى ما عدا جزء يمكن إهماله  $\Delta N$  التى تشغل

المناسب الملائمة أو القريبة من منسوب فيرمي الذي يثار حراريا.  
هذا العدد من الإلكترونات يعطى بالعلاقة

$$(٤٠) \quad \Delta N \approx \frac{N k_B T}{2E_F}$$

حيث  $E_F$  طاقة فيرمي.

•• للنحاس عند  $T = 300 \text{ K}$  ،  $E_F = 7 \text{ eV}$

$$\frac{\Delta N}{N} \approx 0.002 \quad \text{تكون}$$

أي أنها أقل من 1%

كل إلكترون مثار حراريا يمتص طاقة مقدارها  $k_B T$  لذلك

تكون الطاقة الممتصة بواسطة الغاز الإلكتروني ككل هي حاصل

ضرب  $k_B T$  وعدد الإلكترونات المثارة حراريا  $\Delta N$

$$(٤١) \quad E_c \approx k_B T \Delta N \approx N k_B T \frac{k_B T}{2E_F}$$

وتكون السعة الحرارية للغاز الإلكتروني هي

$$(٤٢) \quad C_c = \frac{d E_c}{dT} \approx N k_B \frac{k_B T}{E_F}$$

وبالحسابات الدقيقة تكون

$$(٤٣) \quad C_c \approx \pi^2 N k_B \frac{k_B T}{2E_F}$$

وبمقارنة  $C_c$  للغاز الإلكتروني المنحل ،  $C_c$  للغاز الإلكتروني

غير المنحل

$$(٤٤) \quad \begin{array}{l} \text{للغاز المنحل} \\ \text{للغاز غير المنحل} \end{array} \quad \frac{C_c}{C_c^{cl}} \approx \frac{\pi k_B T}{E_F}$$

ويترتب على المعادلة الأخيرة أن النسبة لغاز إلكتروني منحل  
وتلك لغاز إلكتروني أحادي الذرة غير منحل ... تساوى تقريبا. النسبة  
بين  $E_F$  ،  $k_B T$

• في درجات الحرارة العالية تكون النسبة

$$\leq k_B T / E_F \pi \quad 1\%$$

لهذا تكون :

$$\text{لغاز غير منحل } C_v^{cl} \leq 0.01 \quad \text{لغاز منحل (٤٤)}$$

ومن ثم فإن حالة الانحلال للغاز الإلكتروني في الفلزات حتى  
في درجات الحرارة المرتفعة نثار نسبة صغيرة من الإلكترونات الحرة  
(أقل من 1%) أما بقية الإلكترونات فلا تمتص حرارة وهذا هو  
السبب في أن السعة الحرارية لفلز ككل تساوى عمليا السعة الحرارية  
للشبيكة ...

هذا الوضع مختلف تماما في مدى درجات الحرارة المنخفضة  
القريبة من الصفر المطلق.

هنا تنخفض أو تقل السعة الحرارية بما يتناسب مع  $T^3$   
بالانخفاض في درجة الحرارة

وهذا يوضح أن  $C_v$  التي تتناقص بدرجة أقل كثير من  $C_{lattice}$   
تصبح هي السائدة.

ويوضح الشكل (٥) علاقة درجة الحرارة لكل من مركبة  
السعة الحرارية للشبيكة وحركية السعة الحرارية للإلكترون لشبيكة  
( 20% فانديوم، 80% كروم ) ، درجة حرارة ديبياي لها  $\theta = 500K$

ويتضح من هذا الشكل أنه بالقرب من الصفر المطلق تكون السعة الحرارية لغاز إلكتروني أكبر كثيرا من تلك الشبيكة.

$$(C_{\text{lattice}} < C_e)$$

وتظل إشارة عدم المساواة كما هي حتى درجة الحرارة  $T = 8.5 \text{ k}$  وعند  $T > 8.5 \text{ K}$  تتعكس الإشارة

وعند  $T = 25 \text{ K}$  تكون السعة الحرارية للشبيكة السابقة راجعة إلى السعة الحرارية للشبيكة (عند  $T = 25 \text{ K}$ ) تكون السعة الحرارية  $(C_{\text{lattice}} \approx 10 C_e)$ .

### (٥-٥) التمدد الحرارى Thermal Expansion

يمكن أن نفهم منشأ التمدد الحرارى بالأخذ فى الاعتبار تأثير الحدود اللاتوافقية فى طاقة الوضع على المسافة الفاصلة بين زوج من الذرات عند درجة الحرارة  $T$  ولناخذ طاقة الوضع للذرات عندما تكون الإزاحة  $x$  عن مسافات الإتزان عند  $OK$  كما يلي :

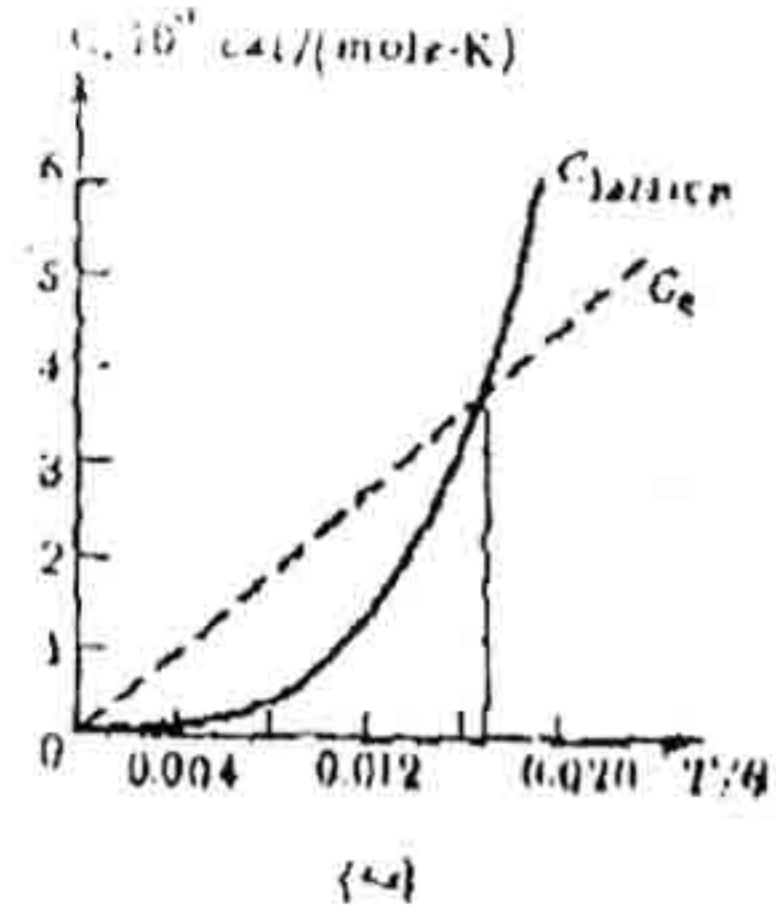
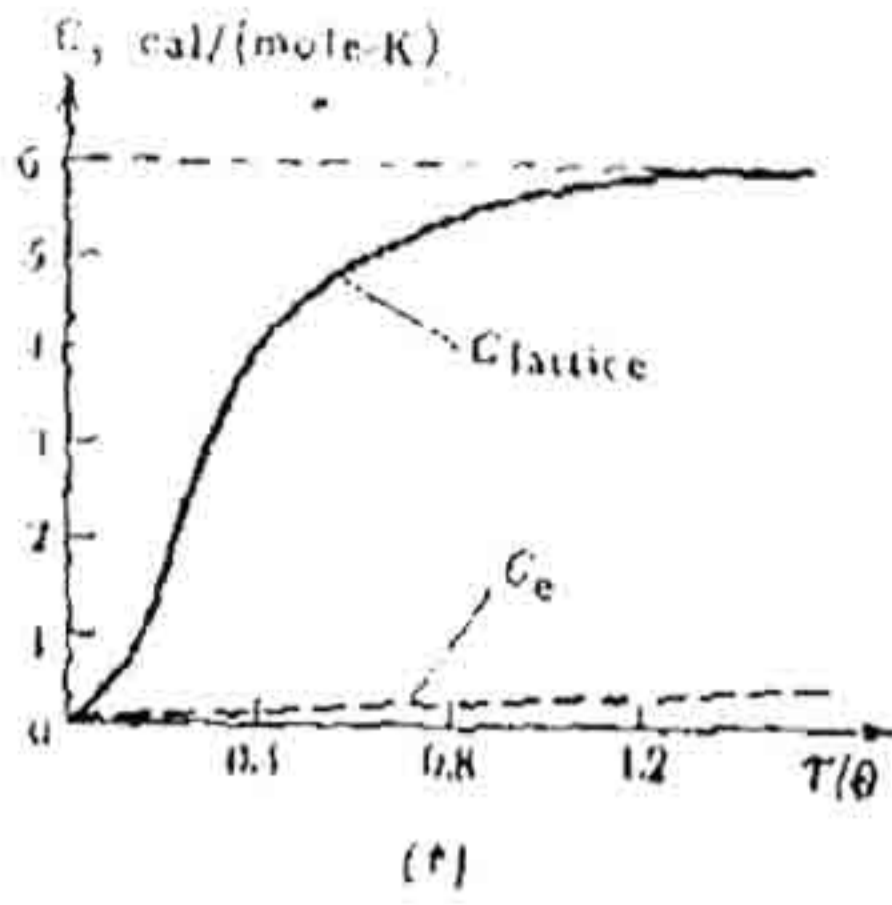
$$(٤٥) \quad V(x) = cx^2 - gx^3 - fx^4$$

حيث يمثل الحد الذى يحتوى على  $x^3$  عدم تماثل قوى التنافر المتبادلة للذرات يدل الحد الذى يحتوى على  $x^4$  على الإرخاء العام بلأهتزازات عند السعات الكبيرة.

ونحسب متوسط الإزاحة باستخدام دالة توزيع بولتزمان التى تزن القيم الممكنة للإزاحة  $x$  تبعا لاحتمايتها الترمودينامية.

$$(٤٦) \quad \bar{X} = \frac{\int_{-\infty}^{\infty} x e^{-V(x)/k_B^T} dx}{\int_{-\infty}^{\infty} e^{-V(x)/k_B^T} dx}$$





الشكل (٥)

للإزاحة الصغيرة (طاقة لا توافقية منخفضة) نوجد مفكوك

الكميات المراد تكاملها.

$$(٤٦) \quad \int x e^{-v/k_B T} dx \cong \int e^{-cx^2/K_B T} \left( x + \frac{gx^4}{k_B T} + \frac{fx^5}{k_B T} \right) dx$$

$$= \frac{g}{d_B T} \left( \frac{k_B}{C} \right)^{5/2} \frac{3\pi^2}{4}$$

$$(٤٧) \quad \int e^{-v/k_B T} dx \cong \int e^{-cx^2/k_B T} dx = \left( \frac{\pi k_B T}{c} \right)^{1/2}$$

وهكذا يكون

$$(٤٨) \quad \bar{X} = \frac{3k_B Tg}{4C^{5/2}}$$

مما يؤدي إلى قيمة ثابتة للمعامل الحراري للتمدد الحراري.

(٥-٦) الموصلية الحرارية للجوامد

### Thermal conductivity of solids

(١) الموصلية الحرارية للعازلات (الموصلية الحرارية للشبكية):

Heat conductivity of dielectrics (lattice heat conductivity)

تعد المقاومة الحرارية للجوامد أحد نواتج الطبيعة اللاتوافقية لاهتزازات ذراتها. إذ لا توجد مثل هذه المقاومة عندما تنتقل الإهتزازات الذرية في الشبكة على هيئة أمواج مرنة لا تبادلية التأثير وكانت هذه الاهتزازات توافقية تماما. ففي حالة عدم وجود التأثير المتبادل، يمكن أن تنتقل الأمواج دون استطارة أي دون أن تلقى مقاومة. وعندما يوجد فرق في درجتى حرارة طرفى مثل هذه البلورة، تهتز الذرات عند الطرف الساخن بسعات كبيرة وتنتقل طاقتها إلى الذرات المجاورة، وينتقل صدر الموجة الحرارية فى البلورة بسرعة تساوى سرعة الصوت . وعندما لا تلقى الموجة الحرارية مقاومة يكون الفيض الحرارى ملحوظا حتى مع وجود فرق ضئيل فى درجة الحرارة ويكون التوصيل الحرارى متعاضما إلى ما لا نهاية .

وتكون طبيعة الاهتزازات الذرية فى البلورات الحقيقية فى درجات حرارة غير منخفضة كثيرا لا توافقية كما يوضحها الحد الثانى فى المعادلة

$$(٤٩) \quad U(x) = \beta x^2/2 - g x^3/3$$

وتدمر اللاتوافقية استقلالية أنماط اهتزازات الشبكة مما يسبب حدوث تأثير متبادل بينهما من ناحية وتبادل الطاقة وتغيير اتجاه انتشارها (من خلال الاستطارة المتبادلة) من ناحية أخرى. وتتيح عمليات التأثير المتبادل بين الأمواج المرنة انتقال الطاقة من أنماط ذات تردد معين لأنماط ذات تردد آخر ، كما تجعل من الممكن ترسيخ حالة الاتزان الحرارى للبلورة.

ويمكن وصف عملية الاستطارة المتبادلة للأنماط السوية بدلالة الفونونات ، حيث يمكن النظر إلى البلورة المثارة حرارياً كصندوق يحتوي على فونونات. وفي حالة التقريب التوافقي الذي يفترض فيه استقلالية الأنماط السوية ، تكون الفونونات بمثابة غاز مثالي (غاز لا يوجد تأثير متبادل بين فونوناته). ويعد الانتقال إلى الأنماط اللاتوافقية مكافئاً لإدخال التأثير المتبادل بين الفونونات ، الذي يؤدي إلى انقسام الفونون إلى فونونين أو أكثر أو تكوين فونون من اتحاد فونونين أو أكثر. مثل هذه العملية تسمى استطارة الفونون. وتتميز احتمالياتها كما في كل عمليات الاستطارة بالمقطع العرضي الفعال للاستطارة  $\sigma_{ph}$  . وإذا كان الفونون من وجهة نظر عمليات الاستطارة بمثابة كره نصف قطرها  $r_{ph}$  ، فإن :

$$(٥٠) \quad \sigma_{ph} = \pi r_{ph}^2$$

ويمكن لاستطارة الفونون - فونون أن يحدث فقط إذا اقتربت الفونونات لمسافة تسمح للمقاطع العرضية الفعالة للاستطارة بالتراكب. ونظر لأن الاستطارة ترجع إلى لاتوافقية الاهتزازات الذرية ، فإنه يمكن وصفها عددياً بمعامل اللاتوافقية  $g$ . وعندئذ يكون من الطبيعي افتراض أن نصف قطر المقطع العرضي الفعال للفونون يتناسب طردياً مع  $g$  ويكون  $\sigma_{ph} \propto g^2$  وبمعرفة المقطع العرضي الفعال للاستطارة  $\sigma^{ph}$  ، يمكن حساب متوسط المسار الحر  $\lambda_{ph}$  للفونونات ، أي متوسط المسافة التي تنتقل فيها الفونونات بين أي استطارتين متتاليتين وتوضح الحسابات أن.

$$\lambda_{ph} = \frac{1}{n_{ph} \sigma_{ph}} \alpha \frac{1}{n_{ph} g^2}$$

(٥١)

حيث  $n_{ph}$  تركيز الفونونات

ومن نظرية الحركة للغازات نعلم أن الموصلية الحرارية

$$(٥٢) \quad K = \lambda v C_v / 3$$

حيث  $\lambda$  متوسط المسار الحر للجزيئات ،  $v$  سرعتها الحرارية ،  $C_v$  الحرارة النوعية للغاز تحت حجم ثابت.

وبتطبيق هذه العلاقة على الغاز الفونوني مع التعويض وعن

$C_v$  بالحرارة النوعية للبلورة (الغاز الفونوني) وعن  $\lambda$  بالرمز  $\lambda_{ph}$  وهو متوسط المسار الحر للفونونات ، وعن  $v$  بسرعة الصوت في البلورة (سرعة الفونونات) ، عندئذ نحصل على علاقة تعبر عن الموصلية الحرارية للشبيكة :

$$(٥٣) \quad K_{lattice} = v \lambda_{ph} C_v / 3$$

وبالتعويض عن  $\lambda_{ph}$  من المعادلة (3) (51-5) في المعادلة (٥٣-٥) ينتج أن

$$(٥٤) \quad K_{lattice} \alpha v C_v / n_{ph} g^2$$

وفي مدى درجات الحرارة المرتفعة ، تمشيا من العلاقة  $n_{ph} \alpha T$  ، نجد أن :

$$(٥٥) \quad K_{lattice} \alpha v C_v / Tg^2$$

ونظرا لأن  $C_v$  في هذا المدى لا تتوقف عمليا على درجة

الحرارة ، فإن الموصلية الحرارية للشبيكة ستتناسب عكسيا مع درجة الحرارة المطلقة ، بما يتفق مع النتائج التجريبية. وتتضمن العلاقة

(٥٥) أيضا معامل اللاتوافقية  $g$  وسرعة الصوت  $v$  ، وهما يتوقفان على جساءة الروابط بين جسيمات الجامد. وتناظر الروابط ذات الجساءة المنخفضة سرعات منخفضة ومعاملات لا توافقية مرتفعة إذ أن إضعاف الروابط يؤدي إلى زيادة سعات الاهتزازات الحرارية (عند درجة حرارة معينة) ، وإلى زيادة اللاتوافقية. وتؤدي كل تلك العوامل تبعا للعلاقة (٥٥-٥) إلى نقص في قيمة  $K_{lattice}$ . وهو ما تدعمه التجربة. ويوضح الجدول التالي قيم حرارة التسامي  $Q_s$  التي تعد قياسا لطاقة الترابط ، وللموصلية الحرارية للشبيكة  $K_{lattice}$  لبعض البلورات التساهمية الترابط التي لها شبيكة معينة الشكل :

الماس والسليكون والجرمانيوم.

الجدول

المادة	$Q_s \times 10^5$ (جول/مول)	$K_{lattice}$ (واط /متر-كلفن)
الماس	71.23	550
السليكون	46.09	137
الجرمانيوم	37.0	54

نلاحظ في هذا الجدول أن نقص طاقة الرابطة من قيمتها للماس إلى قيمتها للسليكون ثم الجرمانيوم يكون مصحوبا بنقص الموصلية الحرارية للشبيكة.

ويوضح التحليل التفصيلي أن  $K_{lattice}$  تتوقف بشدة على الكتلة  $M$  للجسيمات حيث تقل بزيادة  $M$ . وهذا يوضح إلى حد كبير لماذا تكون الموصلية الحرارية للشبيكة للعناصر الخفيفة التي تشغل الجزء الأعلى من الجدول الدوري لمندليف (البورون، الكربون والسليكون) في حدود عدة عشرات أو حتى عدة مئات (واط/متر-كلفن). في حين أن القيم

المناظرة للعناصر التي تشغل الجزء الأوسط من جدول مندليف لا تزيد عن بضعة واطات لكل (متر-كلفن) وأن القيم المناظرة للعناصر التي تشغل الجزء السفلي من الجدول لا تتجاوز أجزاء من عشرة من الواط لكل متر لكل كلفن.

وثمة مظهر يثير الدهشة هو أن الموصلية الحرارية للشبيكة في البلورات ذات الجسيمات الخفيفة والروابط الجاسئة تكون عالية جداً. ولهذا تكون الموصلية الحرارية لشبيكة الماس أكبر من الموصلية الحرارية الكلية لأحسن الفلزات توصيلاً للحرارة ، الفضة  $K_{Ag}=407$  واط/ (م-كلفن) ، وذلك عند درجة حرارة الغرفة.

وعند درجات حرارة أقل من درجة حرارة ديبياي يوجد انخفاض حاد في تركيز الفونونات مع انخفاض درجة الحرارة مما يؤدي إلى زيادة حادة في متوسط المسار الحر لها ، بحيث أنه عند  $T \leq \theta/20$  يصل متوسط المسار الحر إلى حد يمكن مقارنته بأبعاد البلورة. ونظراً لأن سطح البلورة يعد بمثابة عاكس رديء للفونونات ، فإن أي مزيد من الانخفاض في درجة الحرارة لن يؤدي إلى أي زيادة في  $\lambda_{ph}$  ، لأنه يتعين فقط بأبعاد الشبيكة.

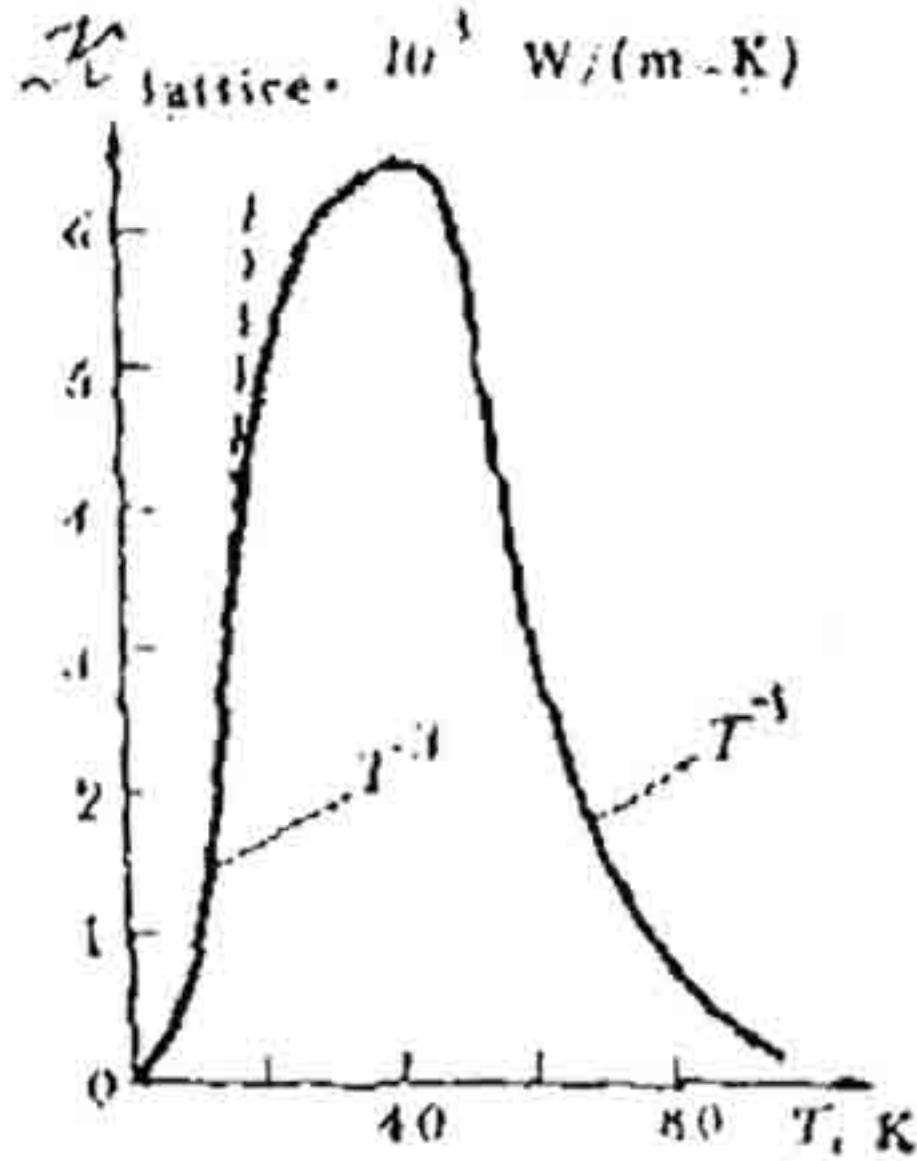
وتتبع علاقة الموصلية الحرارية للشبيكة بدرجة الحرارة في هذا المدي من درجات الحرارة من خلال علاقة الحرارة النوعية  $C_V$  بدرجة الحرارة.

ونظراً لأن  $C_V \propto T^3$  في مدي درجات الحرارة المنخفضة ،

فإن  $K_{lattice}$  سوف تتناسب طردياً مع  $T^3$

(٥٦)

$$K_{\text{lattice}} \propto T^3$$



الشكل (٦)

وهي نتيجة تتفق أيضا مع التجربة ويوضح الشكل (٦) علاقة الموصلية الحرارية للياقوت الأزرق الصناعي في مدى درجات الحرارة المنخفضة تتناسب  $K_{\text{lattice}}$  مثلا مع  $T^3$ .

عندما ترتفع درجة الحرارة يزداد تركيز الفونونات  $n_{\text{ph}}$  وتزداد  $K_{\text{lattice}}$  ومع ذلك فإن أي زيادة في  $n_{\text{ph}}$  تكون مصحوبة بزيادة استطارة الفونونات - فونونات وكنتيجة لذلك يحدث نقص في متوسط المسار الحر للفونونات  $\lambda_{\text{ph}}$  يؤدي بدوره إلى نقص  $K_{\text{lattice}}$ . وعندما يكون تركيز الفونونات  $n_{\text{ph}}$  منخفضا يكون العامل الأول هو السائد وبالتالي تزداد  $K_{\text{lattice}}$  مع ارتفاع درجة الحرارة  $T$ . ومع ذلك ، ومع

البدء بتركيز معين لـلفونونات معين يصبح العامل الثاني هو الأكثر أهمية وبالتالي فإنه بعد وصول  $K_{lattice}$  إلى نهاية عظمي تأخذ  $K_{lattice}$  في الانخفاض مع الاستمرار في ارتفاع درجة الحرارة. هذا النقص في الموصلية الحرارية للشبيكة في مدى درجات الحرارة المرتفعة يتناسب تقريباً مع  $\frac{1}{T}$ .

وفي حالة العازلات الأمورفية ، حيث يكون لحجم المناطق ذات التركيب المنتظم نفس رتبة المسافات بين الذرية ، لا تختلف الصورة كثيراً. فالفونونات المستطارة عند حدود هذه المناطق ستكون هي العامل السائد في جميع درجات الحرارة ولهذا لن يتوقف  $\lambda_{ph}$  علي درجة الحرارة  $T$ . وكننتيجة لذلك ، ستتناسب الموصلية الحرارية لمثل هذه العازلات الأمورفية مع  $T^3$  في مدى درجات المنخفضة ، لكنها لا تتوقف علي  $T$  في مدى درجات الحرارة المرتفعة. وهو ما نلاحظه من النتائج التجريبية.

ومع ذلك ، تظل النظرية حالياً قاصرة عن التنبؤ ليس فقط بالقيم الفعلية للموصلية الحرارية للشبيكة بل وحتى رتبته.

(٢) الموصلية الحرارية للفلزات:

### Heat conducturty in metals

تنتقل الحرارة في الفلزات - علي خلاف العازلات - ليس فقط بالفونونات بل و بالالكترونات أيضاً. لهذا تكون الموصلية الحرارية بالفونونات الحرارية للفلزات هي مجموع. الموصلية الحرارية للشبيكة  $K_{lattice}$  (الموصلية بالفونونات) والموصلية الحرارية الالكترونية  $K_e$  (بالالكترونات الحرة) :



$$(57) \quad K = K_{\text{lattice}} + K_e$$

ويمكن حساب الموصلية الحرارية لغاز الكتروني ،  $K_e$  ، بالاستعانة بالعلاقة (52) . بالتعويض في هذه العلاقة بالحرارة النوعية لغاز الكتروني ،  $(C_e)$  ، وسرعة الالكترونات عند سطح فيرمي  $V_F$  ، ومتوسط المسار الحر لها  $\lambda_e$  ، نحصل على :

$$(58) \quad K_e = C_e v_F \lambda_e / 3$$

وبالتعويض عن  $C_e$  بما تساوية  $[C_e \approx \pi^2 N k_B \frac{k_B T}{2E_F}]$  نحصل على

$$(59) \quad K_e = \text{Constant}$$

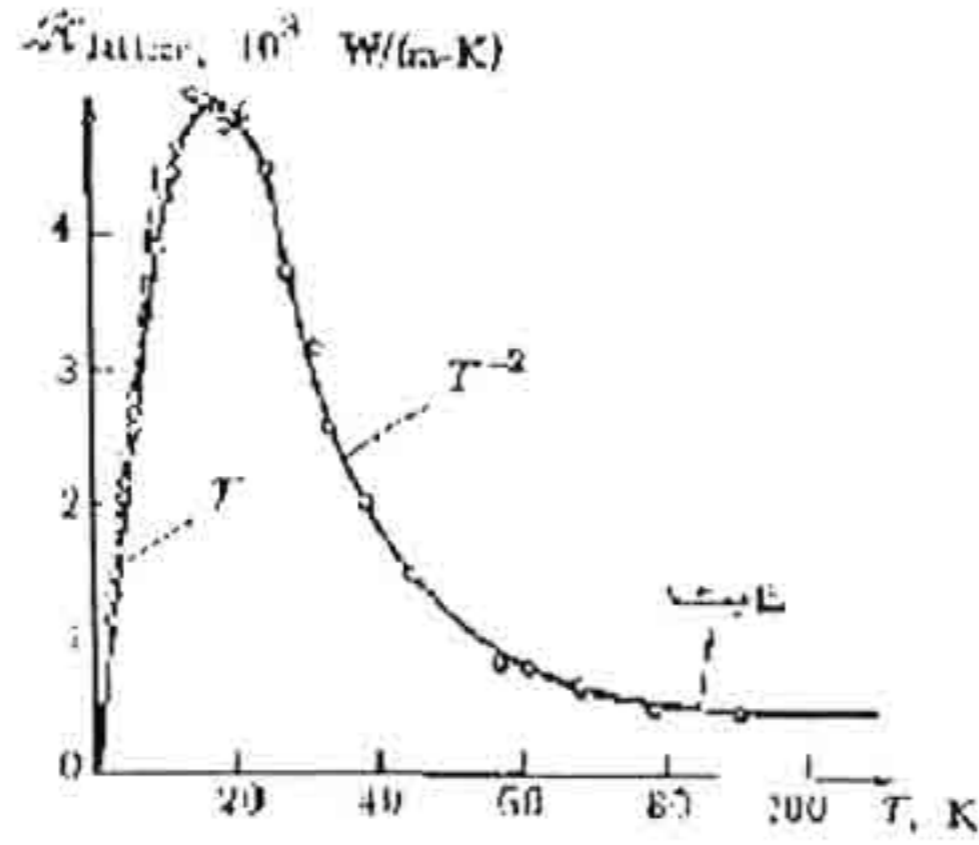
وسنحاول فيما يلي إيجاد العلاقة بين الموصلية الحرارية للفلزات النقية وبين درجة الحرارة.

• مدي درجات الحرارة المرتفعة.

عمليا ، ممن كل الكميات التي يتضمنها الطرف الايمن من العلاقة رقم (58-5) ، تتوقف  $\lambda_e$  فقط على درجة الحرارة  $T$  ، وفي الفلزات النقية وعند درجات حرارة ليست منخفضة جداً ، تتعين  $\lambda_e$  بواسطة استطارة الالكترون - فونون ، مع تساوي كل الظروف الأخرى ، تتناسب  $\lambda_e$  عكسياً مع تركيز الفونونات :  $\lambda_e \propto \frac{1}{n_{ph}}$  وفي مدي درجات الحرارة المرتفعة فإن  $n_{ph} \propto T$

وبالتعويض بهذا في العلاقة (58) نجد أن

$$(60) \quad K_e = \text{constant}$$



الشكل (٧)

لهذا لا تتوقف الموصلية الحرارية للفلزات النقية في مدى درجات الحرارة المرتفعة على درجة الحرارة. وهذه حقيقة تجريبية. ويوضح الشكل (٧) المنحني التجريبي الذي يصف توقف  $K$  للنحاس على درجة الحرارة. ومنه نتبين أن الموصلية الحرارية للنحاس فوق 100-80 كلفن لا تتوقف. عملياً على درجة الحرارة.

مدى درجات الحرارة المنخفضة:

يصبح تركيز الفونونات في فلز ما بالقرب من صفر كلفن صغيراً إلى الحد الذي يرجع فيه الجزء الرئيسي من عمليات الاستطارة الالكترونية إلى ذرات الشوائب، الموجودة في الفلز بعض النظر عن درجة نقاوته.

$$\lambda_c \propto \frac{1}{N^i}$$

( $N_i$  تركيز ذرات الشوائب)، لا يلبث أن يتوقف على درجة الحرارة وتصبح الموصلية الحرارية لفلز متناسبة مع درجة الحرارة.

$$(61) \quad K_e \propto T$$

وهذه حقيقة تجريبية.

وسنحاول باستخدام المعادلة (٧) حساب قيمة  $K_e$  لبعض

الفلزات. للفلزات النموذجية:

$$C_e \approx 0.01 C_v \approx 3 \times 10^4 \text{ J/(m}^3\text{-K)}$$

$$v_F \approx 10^6 \text{ m/s}, \lambda_e \approx 10^{-8} \text{ m}$$

بالتعويض في المعادلة (٥٧) نحصل على  $K_e$  حيث تكون :

$$K_e \approx 10^2 \text{ W / (m-k)}$$

لهذا ، تبلغ  $K_e$  للفلزات عدة مئات واط لكل متر لكل كلفن. وهو ما تجسده النتائج التجريبية ويوضح الجدول التالي الموصلية الحرارية لبعض الفلزات مقاسة عند درجة حرارة الغرفة وكذلك لاحدي السبائك، و(الكونستانتان) التي تتكون من 60% نحاس و 40% نيكل .

### الجدول

الفلز	$K[\text{w}/(\text{m-k})]$	الفلز	$K[\text{w}/(\text{m-k})]$
الفضة	403	الألومنيوم	210
النحاس	384	النيكل	60
الذهب	296	الكونستانتان	23

وسنحاول فيما يلي حساب مقدار ما تسهم به الموصلية

الحرارية لفلز باستخدام العلاقتين (٥٣) و (٥٦).

$$\frac{K_{lattice}}{K_e} = \frac{C_v v \lambda_{ph}}{C_e v_F \lambda_e}$$

(62)

حيث  $v$  سرعة الفونون (سرعة الصوت) للفلزات النقية  $c/c_v \approx 0.01$   
 $\lambda_e \approx 10^{-8} \text{ m}$  ،  $v_F \approx 10^6 \text{ m/s}$  ،  $\lambda_{ph} \approx 10^{-9} \text{ m}$  ،  $v = 5 \times 10^3 \text{ m/S}$  ،  
 عندئذ تكون :

$$\frac{K_{lattice}}{K_e} = 5 \times 10^{-2}$$

مما سبق نتبين أن الموصلية الحرارية للفلزات النموذجية ترجع كلية إلى الموصلية الحرارية لغازها الالكتروني ، إذ أن الموصلية الحرارية للشبيكة لا تسهم بأكثر من نسبة مئوية ضئيلة.

ومع هذا ، تختلف الصورة كثيراً إذا انتقلنا من الفلزات إلى السبائك الفلزية ، حيث تكون الاستطارة بذرات الشوائب هي آلية الاستطارة الرئيسية. ويتناسب متوسط المسار الحر للالكترونات في هذه الحالة تناسباً عكسياً مع تركيز الشوائب  $(1/N_i)$  ، ولتركيزات شوائب عالية قد يصبح متوسط المسار الحر للالكترون مساوياً متوسط المسار الحر للفونونات  $(\lambda_{ph} \approx \lambda_e)$ . وفي مثل هذه الحالة عادة تكون الموصلية الحرارية الالكترونية مساوياً تقريباً الموصلية الحرارية للشبيكة ،  $K_e \approx K_{lattice}$  وهو ما تؤكد التجربة. ويتضح من الجدول السابق أن الموصلية الحرارية للكونستانتان أقل كثيراً من تلك للنيكل أو النحاس. وهذا يؤكد أن استطارة الالكترونات في الكونستانتان ترجع بالدرجة الأولى إلى عيوب الشبيكة الناتجة عن ذرات الشوائب.

## أسئلة وتمارين:

- ١ - ( أ ) مستعينا بالرسم وضح هينات الاهتزاز العادى فى الشبكة واستنتج قيمة النهاية العظمى للتردد الزاوى.
- ب) إذا كان بارامترا شبكة النحاس هو  $3.6 \times 10^{-10}$  مترا وسرعة الصوت فيه هى 3550 م/ث احسب النهاية العظمى للتردد الزاوى .
- ٢ - بين كيف تستنتج علاقة تستخدم لتعيين تردد دييباى .
- ٣ - اشرح المقصود بالفونونات.
- ٤ - ما هى السعة الحرارية للجوامد موضحاً كيف أن متوسط طاقة كل هيئة من هينات الاهتزاز العادى تتناسب طردياً مع درجة الحرارة  $T$  فى مدى درجات الحرارة المنخفضة.
- ٥ - استنتج قانون  $T^3$  لدييباى وذلك فى مدى درجات الحرارة المنخفضة .
- ٦ - استنتج قانون ديولنج وبتي الذى يعبر عن السعة الحرارية لجامد فى مدى درجات الحرارة المرتفعة.
- ٧ - اشرح بايجاز السعة الحرارية لغاز الكترونى.
- ٨ - اشرح كيف يمكنك تفسير التمدد الحرارى للجوامد.
- ٩ - استنتج علاقة للموصلية للحرارية لشبيكة :  
أ) فى مدى درجات الحرارة المنخفضة.  
ب) فى مدى درجات الحرارة المرتفعة.
- ١٠ - مستعينا برسم بيانى مناسب أوجد الموصلية الحرارية للفلزت.  
أ) فى مدى درجات الحرارة المرتفعة.  
ب) فى مدى درجات الحرارة المنخفضة.

١١- إذا كانت الموصلية الحرارية لشبيكة فلز سرعة الصوت فيه  $5 \times 10^3$  م/ث وطول موجة الفونون يساوي  $10^{-9}$  متراً والسرعة عند سطح فيرمي هي  $10^{-6}$  م/ث وطول الموجة المصاحبة للإلكترون  $10^8$  متراً والنسبة تساوي 0.01  $\frac{C_p}{C}$

تقريباً فاحسب النسبة بين الموصلية الحرارية للشبيكة وبين الموصلية الحرارية الإلكترونية  $[5 \times 10^{-2} \approx]$ .

# الباب السادس

خصائص ثابت العزل الكهربى

## الباب السادس

### خصائص ثابت العزل الكهربى

### Dielectric properties

(٦-١) مفهوم الاستقطاب : لتوضيح مفهوم الاستقطاب نأخذ فى الاعتبار ذرة تدور الإلكترونات حولها فى مدارات دائرية، وعندئذ يكون مركز تأثير شحنتها الموجبة (النواة) منطبقا على مركز تأثير شحنتها السالبة (التي تحملها الإلكترونات) وعندما تقع هذه الذرة تحت تأثير مجال كهربى خارجى ينزاح مركز تأثير الشحنة الموجبة قليلا عن مركز تأثير الشحنة السالبة ويتولد ما يسمى بثنائى القطب.

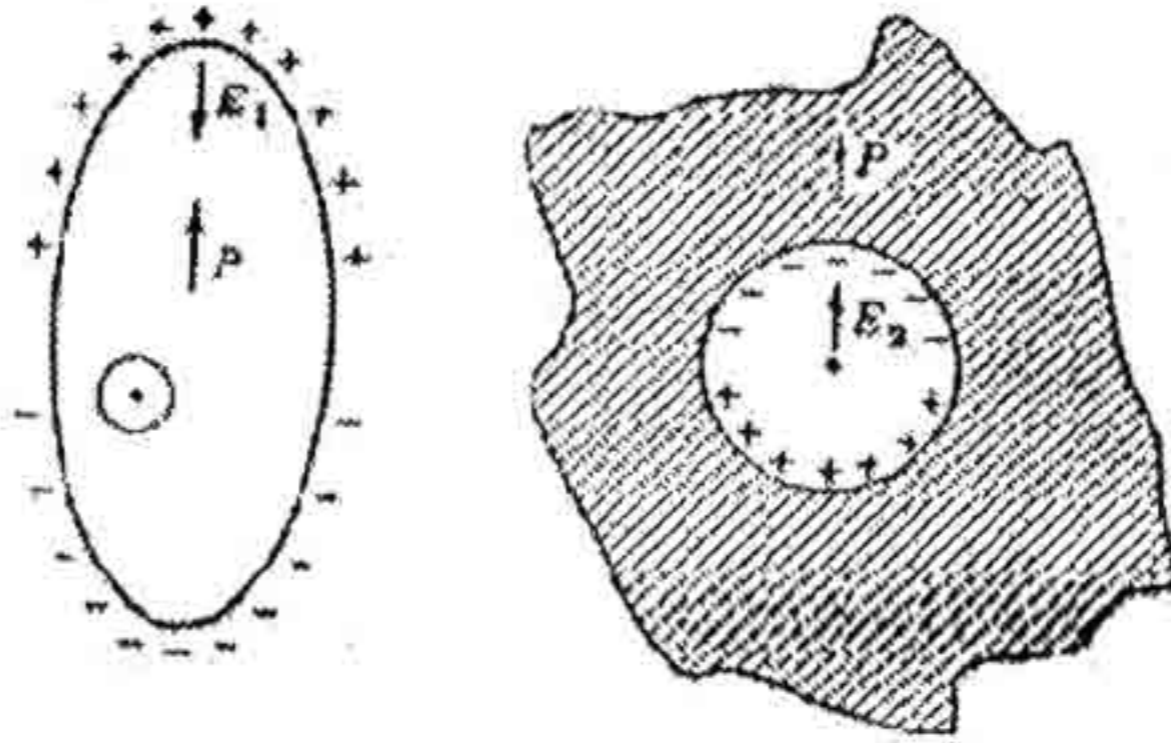
ويعرف الاستقطاب  $P$  بعزم ثنائى القطب

لكل وحدة حجوم.

### (٦-٢) المجال الكهربى الموضعى Local Electric Field

يتطلب حساب المجال الكهربى الموضعى عند ذرة أو أيون تحت تأثير الاستقطاب أن نأخذ أولا فى الاعتبار أحد الجوامد العازلة ذات تركيب بلورى مكعبى. ولنفرض أن العينة ذات شكل بيضاوى أحد احداثياته يوازى المجال الكهربى المؤثر الشكل (١)





الشكل (١)

يكتب المجال الكهربى الموضعى  $E_{loc}$  كما يلى

$$(١) \quad E_{loc} = E_0 + E_1 + E_2 + E_3$$

حيث  $E_0$  المجال الكهربى المؤثر لمصدر خارجى،  $E_1$  هو مجال إزالة الفزل (مجال اتجاهه عكس اتجاه المجال الخارجى المؤثر) وينشأ عن شحنات الاستقطاب على السطح الداخلى للتجويف الكروى و  $E_3$  مجال الذرات داخل التجويف.

وإضافة  $E_1 + E_2 + E_3$  إلى المجال الموضعى يعد بمثابة التأثير الكلى عند إحدى الذرات لعزوم ثنائيات القطب لجميع الذرات الأخرى فى العينة :

$$(٢) \quad E_1 + E_2 + E_3 = \frac{1}{4\pi\epsilon_0} \sum_i \frac{3(P_i \cdot r_i)r_i - r_i^2}{r_i^3}$$

حيث  $P_i$  ثابت عزم ثنائى القطب للذرة  $i$  و  $\epsilon_0 = 8.85 \times 10^{-12}$  فاراد/متر ثابت السماحية الكهربائية فى الهواء أو الفراغ.

ويوضح الشكل (١) أن  $E_1$  يصاد فعلا اتجاه الاستقطاب لذلك يسمى مجال إزالة الاستقطاب وفيما يلي سنوضح كيف يمكن تعيين كل من  $E_1, E_2, E_3$

### (٦-٣) مجال إزالة الاستقطاب Depolarization field

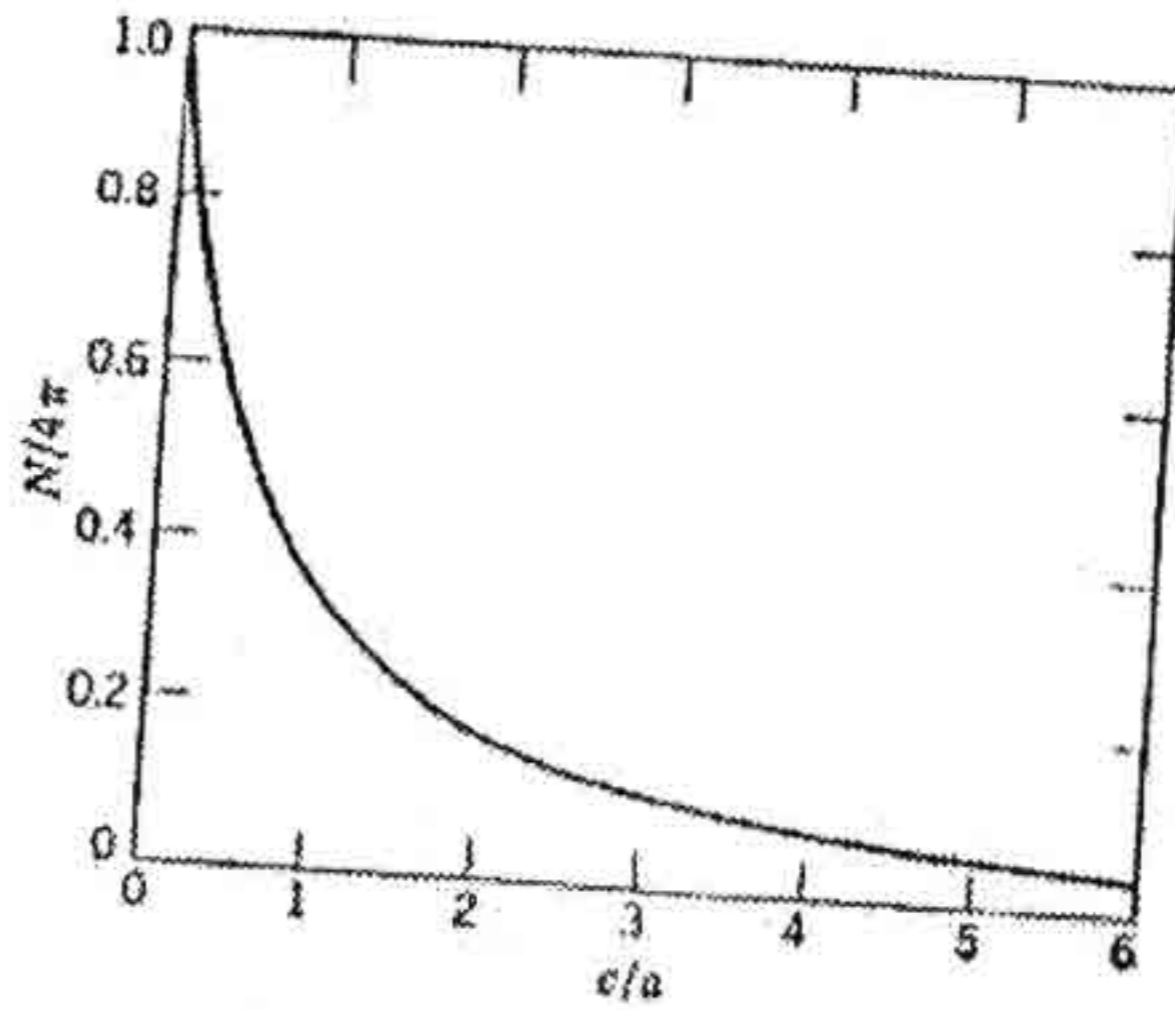
من المعروف أن العينات ذات التركيب المتجانس ستستقطب استقطابا منتظما عند وضعها في مجال خارجي على اعتبار أن هذه العينات ببيضاوية الشكل وإذا كان أحد المحاور للعيينة الرئيسية ذات الشكل البيضاوي موازيا للمجال المؤثر، فإنه يمكن حساب مجال إزالة الاستقطاب بدلالة الاستقطاب  $P$  من العلاقة

$$(٣) \quad E_1 = \frac{-NP}{4\pi\epsilon_0}$$

$N$  هنا هي معامل إزالة المغنطة Depolarization Factor

وتتوقف قيمته على النسبة المحورية axial ratio ويوضح الشكل (٢)

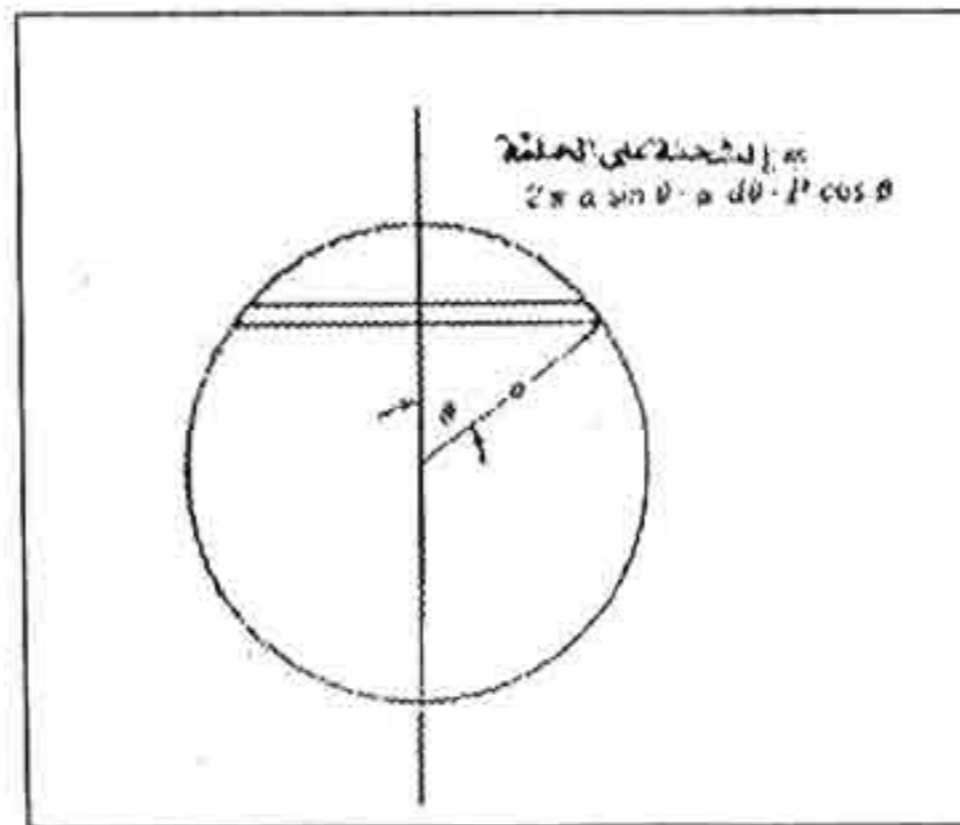
العلاقة بين قيم  $N$  الموازية لدوران مجسمات الأشكال البيضاوية كدالة في النسبة المحورية  $c/a$ . ولمعامل إزالة المغنطة معنى فقط في حالات العينات المتجانسة ذات الأشكال البيضاوية تحت تأثير مجال خارجي.



الشكل (٢)

### (٤-٦) مجال لورنتز Lorentz Field

يرجع المجال  $E_2$  إلى شحنات الاستقطاب على سطح التجويف وأمكن حسابه بواسطة لورنتز. وإذا كانت  $\theta$  هي الزاوية المحورية كما في الشكل (٣) بالنسبة إلى اتجاه الاستقطاب كمحور،



الشكل (٣)

ويعطى المجال الكهربى عند مركز التجويف الكروى ونصف قطره a  
بالعلاقة

$$(٤) \quad E_2 \int_0^\pi (a^{-2})(2\pi e \sin \theta)(a d\theta) (P \cos \theta) = \frac{4\pi P}{3}$$

بوحدة الكهروستاتيكية

وفى النظام الدولى.

$$E_2 = \frac{P}{3 \epsilon_0}$$

ويكون مجال التجويف منتظما ولكن الذى يعنينا هو المجال  
عند المركز وهو مجال لورنتز الذى تم حسابه من قبل.

(٥-٦) مجال ثنائيات القطب داخل التجويف

المجال  $E_3$  الناشئ عن ثنائيات القطب داخل التجويف هو فقط  
أحد حدود المجموع الذى يعتمد على التركيب البلورى. وسوف نأخذ  
أولا فى الاعتبار التركيب المكعبى والذى يكون فيه  $E_3 = 0$  إذا  
استبدلت الذرات كلها بثنائيات قطب نقطية يوازي بعضها البعض. وإذا  
أخذ محور ثنائيات القطب كأحد المحاور وهو الإحداثى  $Z$  بالنسبة لنقطة  
المجال الناشئ عن ثنائيات القطب الأخرى وهو:

$$(٥) \quad E_3^Z = \sum_i \frac{3P_i Z_i^2 - P_i r_i^2}{4\pi \epsilon_0 r_i^3}$$

بالوحدة الدولية

بالتماثل بين الشبكة والتجويف  $\sum_i (z_i^2 / r_i^3) = \sum (y_i^2 / r_i^3) = \sum (x_i^2 / r_i^3)$

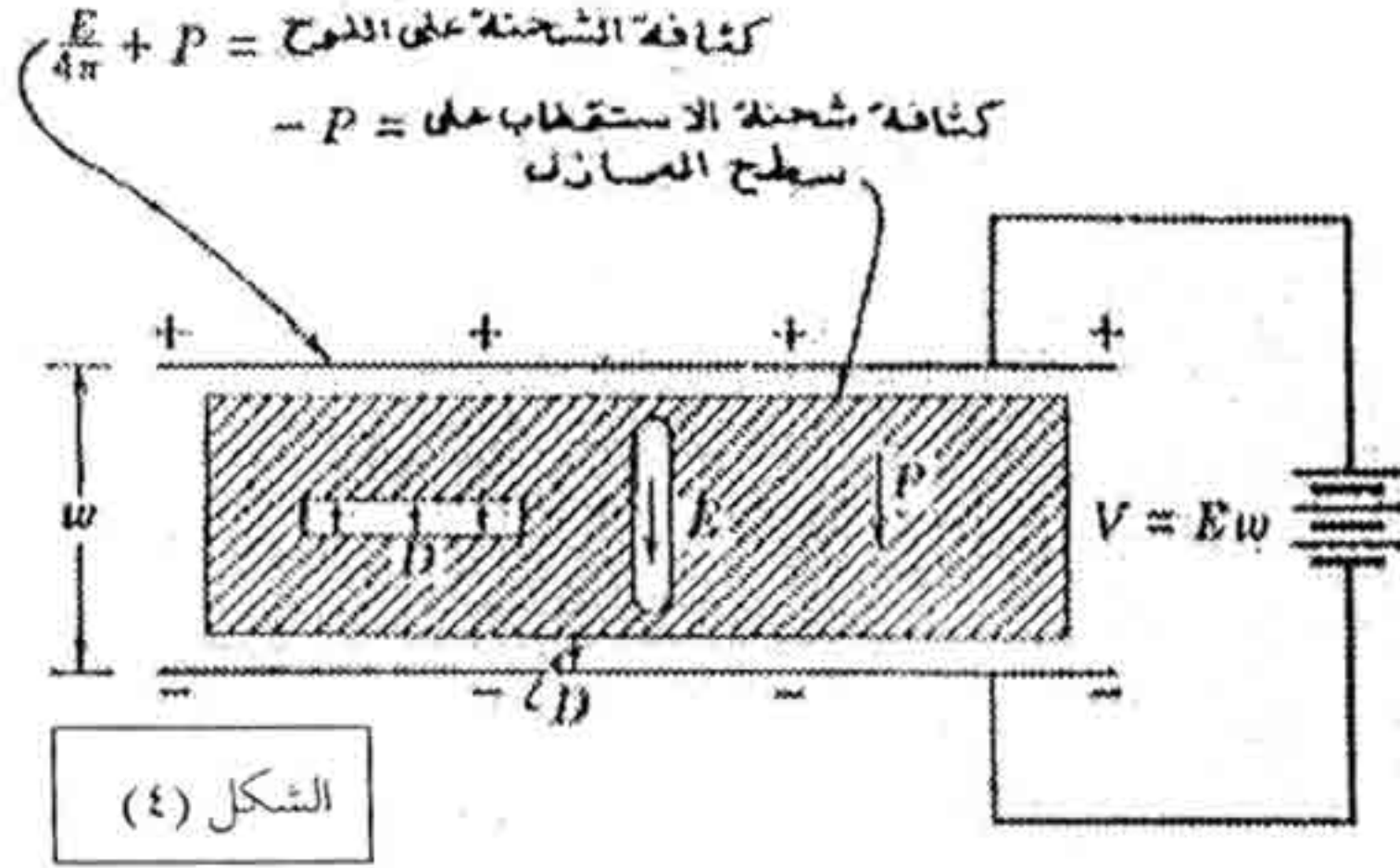
$$E_3 = 0 \text{ بحيث يكون } \sum (r_i^2 / r_i^3) = 3 \sum (z_i^2 / r_i^3) = 0$$

لهذا يكون  $E_3$  للاستقطاب المستحث على الشبائك : الشبكة المكعبة البسيطة، الشبكة متمركزة الجسم والشبكة المكعبة متمركزة الوجه.

ومع ذلك  $E_3 \neq 0$  في حالة تيتانيت الباريوم ذي الخصائص الكهروحريرية بالرغم من أن التماثل التركيبي لها يتبع النظام المكعبى.

(٦-٦) المجال فى عازل كهربى بين لوحى مكثف:

إن متوسط شدة المجال الكهربى  $E$  فى عازل هى متوسط شدة المجال داخل تجويف على شكل إبرة طويلة موازية للاستقطاب، الشكل (٤) بينما تعرف الإزاحة  $D$  كمتوسط المجال داخل تجويف على شكل قرص عمودى على الاستقطاب وينشأ الفرق. (وحدات



$$(٦) \quad D = E + 4\pi P$$

عن المجال  $4\pi P$  لكثافة شحنة الاستقطاب  $P$  على السطح المستوي التجويف القرص، شحنات الاستقطاب على لتجويف الابري يمكن إهمالها ويصبح المجال الموضعي  $E + (4\pi/3)P$  داخل التجويف الكروي: وتبعاً للنظام الدولي يصبح  $D = \epsilon_0 E + P$  والمجال داخل التجويف الكروي هو:

$$E + P / 3\epsilon_0$$

وتجرى قياسات الاستقطاب  $P$  أو ثابت العزل  $\epsilon = \frac{D}{E}$

بالوحدات الكهروستاتيكية أو  $\epsilon = \frac{D}{\epsilon_0 E}$  تبعاً للنظام الدولي بقياس

سعة المكثف  $C = \frac{Q}{V}$  الذي تملأ حيزه مادة عازلة. وفي حالة عدم

وجود عازل نفرض أن المجال بين لوحى المكثف هو  $E$  بحيث تكون

كثافة الشحنة السطحية هي  $\pm E / 4\pi$  بالوحدات الكروماتاتيكية

في النظام الدولي ، وعند إدخال العازل تصبح كثافات شحنة الاستقطاب  $\pm P$  على سطح العازل وهذه الشحنات تتم معادلتها بسريان الشحنة عبر دائرة المكثف والمجال الكهربى  $E$  داخل التجويف الإبرى هو مجموع المجال  $-4\pi P$  بالوحدات الكهروستاتيكية الناتج عن شحنات الاستقطاب ،  $E+4\pi P$  الناتج عن الشحنات الأصلية وشحنات التعادل على ألواح المكثف. لهذا يكون للمكثف  $E=E$  ومن العلاقات (١-٦) ، (٣-٦) ، (٤-٦) يكون .

$$E_{loc} = E_0 + E_1 + E_2 + E_3 = (E + 4\pi P) + (-4\pi P) + 4\pi \frac{P}{3} + 0$$

وفي الحالات التى يكون فيها  $E_3=0$  ويصبح :

$$E_{loc} = E + \frac{4\pi P}{3} \quad \text{"وحدات كهروستاتيكية"} \quad (٧)$$

$$E_{loc} = E + \frac{1}{3\epsilon_0} P \quad \text{وحدات النظام الدولي}$$

أي أن قيمة متوسط المجال كما هي بين لوحى المكثف قبل إدخال العازل ويكون المجال المؤثر عند مركز ذرة هو  $E$  مضافا إليه ما يتم الإسهام به  $4\pi \frac{P}{3}$  بالوحدات الكهروستاتيكية أو  $\frac{P}{3\epsilon_0}$  فى النظام الدولي الناشئ عن استقطاب الذرات الأخرى فى العينة.

(٧-٦) ثابت العزل والاستقطابية:

## Dielectric constant and polarizability

لثابت العزل قيمة مميزة ويعرف لوسط متمائل الخواص في

جميع الاتجاهات بالعلاقة

$$\text{وحدات كهروستاتيكية} \quad \epsilon = \frac{D}{E} = 1 + 4\pi \frac{P}{E} = 1 + 4\pi \chi$$

$$(٨) \quad \text{نظام دولي} \quad \epsilon = \frac{D}{\epsilon_0 E} = 1 + \frac{P}{\epsilon_0 E} = 1 + 4\pi \chi$$

حيث  $\chi$  القابلية الكهربائية electric susceptibility.

وتعرف الاستقطابية  $\alpha$  بالعلاقة

$$(٩) \quad \alpha_i = \frac{P_i}{E_{loc}} \text{ بالوحدات الكهروستاتيكية}$$

ويبدل الدليل  $i$  على نوع الذرة،  $P_i$  عزم ثنائي القطب. وعندئذ

يصبح الاستقطاب

$$P = \sum_i E_{loc}^i N_i \alpha_i \text{ بالوحدات الكهروستاتيكية}$$

حيث  $N_i$  هو عدد ذرات نفس النوع  $i$  في كل وحدة حجوم.

وإذا ارتبط المجال الموضعي بالمجال المؤثر بعلاقة لورنتز (٨) يكون

لدينا

$$(١٠) \quad \text{بالوحدات الكهروستاتيكية} \quad \frac{P}{E} = \frac{\sum N_i \alpha_i}{1 - \left(\frac{4\pi}{3}\right) \sum N_i \alpha_i} = \frac{\sum -1}{4\pi}$$

$$(١١) \quad \text{بالوحدات الكهروستاتيكية} \quad \frac{\epsilon - 1}{\epsilon + 2} = \frac{4\pi}{3} \sum N_i \alpha_i$$

وهذه يمكن كتابتها على الصورة :



$$(12) \quad \text{بالوحدات الكهروستاتيكية} \quad \frac{M\varepsilon - 1}{P_e + 2} = \frac{4\pi}{3} L \alpha$$

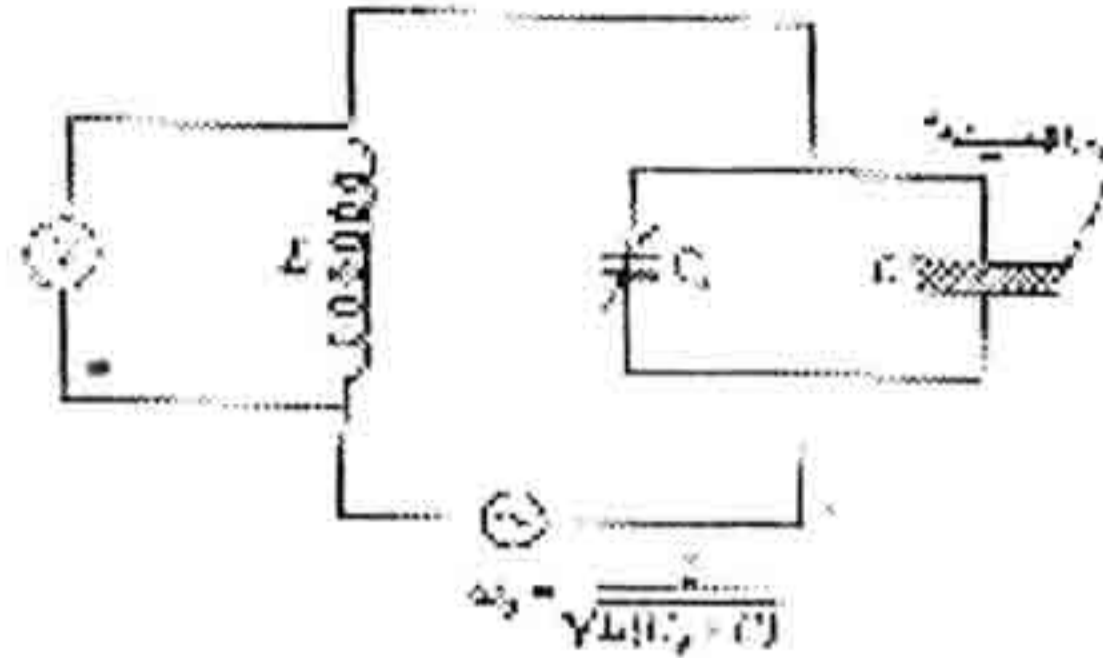
حيث  $M$  الكتلة الجزيئية،  $\rho$  الكثافة،  $L$  عدد أفوجادرو،  $\alpha$  الاستقطابية الكلية لكل جزيء ويطلق على الطرف الأيسر في هذه المعادلة اسم الاستقطابية الجزيئية وتعرف هذه العلاقة ككل باسم "علاقة كلاوزياس وموسوتي" Clausius - Mosotti relation

### (٦-٨) قياس ثابت العزل

تعتمد الطرق المعتادة لقياس ثوابت العزل على مقارنة سعة المكثف  $C''$  بين لوحى المادة وسعته  $C'$  وهو خال وثابت العزل  $\varepsilon$  هو:

$$(13) \quad \varepsilon = \frac{C''}{C'}$$

وتستخدم دائرة الرنين  $LC$  الموضحة في الشكل (٥) حيث  $C_s$  مكثف متغير تمت معايرته،  $C$  هي سعة المكثف الذى يمكن أن توضع العينة بين لوحيه وبتغيير سعة المكثف  $C_s$  حتى يظل تردد الرنين  $\omega_0 = [L(C_s + C)]^{-1/2}$  ثابتا وعند إدخال المكثف  $C$  وملئه بالمادة نعيين  $C''$ ،  $C'$  يتم تعيين  $\varepsilon$  ويمكن الحصول على فقد العزل  $I_{os}$  dielectric من حدة الموالفة بالقرب من الرنين.



الشكل (٥)

### (٦-٩) الإستقطابية الإلكترونية Electronic Polarizability

تنشأ الاستقطابية الإلكترونية من إزاحة الإلكترونات في ذرة بالنسبة للنواة أي من التشوه الحادث في غلاف الإلكترونات حول النواة.

وينشأ ثابت العزل في مدى الترددات الضوئية غالباً من الاستقطابية الإلكترونية بحيث أنه في المدى الضوئي يصبح.

$$\frac{n^2 - 1}{n^2 + 2} = \frac{4\pi}{3} \sum \epsilon N_i \alpha_i$$

وحدات كهروستاتيكية

حيث  $n$  معامل انكسار الضوء وأن  $n^2 = \epsilon$ .

### (٦-١٠) النظرية التقليدية للاستقطابية الإلكترونية

تبعاً للميكانيكا التقليدية سيكون الإلكترون المرتبط توافقياً مع

ذرتة محل امتصاص رنيني عند تردد  $\omega_0 = \left(\frac{f}{m}\right)^2$  حيث  $\beta$  ثابت القوة ويعطى متوسط الإزاحة للإلكترون بفعل مجال موضعي  $E_{loc}$  بالعلاقة

$$\epsilon E_{loc} = \beta x' = m \omega_0^2 x' \quad (14)$$

بحيث أن الاستقطابية الإلكترونية الاستاتيكية (الساكنة) هي:

$$\alpha \text{ (الالكترونية)} (15) = \frac{P}{E_{loc}} = \frac{ex'}{E_{loc}} = \frac{ex'}{E_{loc}} = \frac{e^2}{m\omega_0^2}$$

كهروستاتيكية وتتوقف الإستقطابية الإلكترونية على التردد كما سيتضح في المثالي التالي وتكون:

$$(16) \quad \alpha \text{ (الالكترونية)} = \frac{e^2/m}{\omega_0^2 - \omega^2}$$

مثال : أوجد علاقة تردد الاستقطابية الإلكترونية للإلكترون وتردده الرنين  $\omega_0$  على اعتبار أن النظام متذبذب توافقي بسيط.

**الحل:**

معادلة الحركة لمجال كهربائي  $E_0 e^{i\omega t}$  هي :

$$m \ddot{x} + m\omega_0^2 x = \varepsilon E_0 e^{i\omega t}$$

$$x = x_0 e^{i\omega t} \quad \text{بحيث أن}$$

$$m(-\omega^2 + \omega_0^2) = x_0 = \varepsilon E_0$$

وعزم ثنائي القطب هو  $P_0 e^{i\omega t}$  حيث:

$$P_0 x_0 = \frac{e^2 E_0}{m(\omega_0^2 - \omega^2)}$$

ومنها يمكن الوصول الى العلاقة (٧٥) السابقة. مقدار الاستقطابية الإلكترونية له نفس الرتبة كما في الهيدروجين.

$$\alpha \approx \frac{e^2}{m\omega_0^2} \approx \frac{e^2}{m} \left( \frac{h^3}{m e^4} \right)^2 = \frac{h^6}{m^3 e^6} = \alpha_H^3 = 10^{-25} \text{ cm}^{-3}$$

(١١-٦) الاستقطابية الأيونية : **Ionic polarizability**

من المعروف أن ثابت العزل كلوريد الصوديوم

$\varepsilon = (1.5) = 2.25$  بينما ثابت العزل الكهربائي الإستاتيكي هو 5.62.

ويمكن إرجاع الفرق  $\Delta \epsilon$  بين ثابت العزل الكهربى الاستاتى وثابت العزل الكهربى الضوئى فى البلورات الأيونية إلى الاستقطابية الأيونية وفى كلوريد الصوديوم نجد أن  $\Delta \epsilon = 3.37$  . وتتسأ الاستقطابية الأيونية من إزاحة الأيونات ذات الشحنات المختلفة تحت تأثير مجال كهربى خارجى كما تنشأ من تشوه الأغلفة الإلكترونية للأيونات كنتيجة للحركة النسبية للأيونات فى بلورة كلوريد الصوديوم عندما يؤثر مجال خارجى  $E_0$  سيزاح كل أيون  $Na^+$  فى اتجاه وسيزاح كل أيون  $C^-$  فى الاتجاه المضاد. ويساوى عزم ثنائى القطب  $e$  مرة قدر الإزاحة. ويوضح الجدول التالى مقارنة بين ثابت العزل الاستاتى  $\epsilon(0)$  ومربع معامل الانكسار الضوئى لبعض الهاليدات.

المركب	$\epsilon_0$	$n^2$
LiF	9.27	1.92
NaF	6.0	1.74
NaCl	5.62	2.25
NaI	6.66	2.91
KCl	4.68	2.13
KBr	4.74	2.33
KI	4.94	2.69

## (٦-١٢) الاسترخاء فى الجوامد Relaxation in solids

يمكن عمل نموذج لاسترخاء ثابت العزل فى الجوامد ثنائية القطب بافتراض ان كل جزيء من جزيئات الجامد تحمل عزمًا كهربيا دائما P يمكن توجيهه فى اتجاهين (1) مواز للجار الكهربى E ، (2) مواز معاكس لاتجاهه وتتشأ التوجيهات خلال ترتيب الجزيئات فى الجامد. إحدى نتائج الحساب توضح وجود علاقة بين  $\frac{1}{T}$  ،  $\propto$  للاتجاهين المشار إليهما. ولنفرض أنه توجد مجموعتان من الجزيئات  $n_1$  ،  $n_2$  فى زمن معين، ونفرض أن احتمال انتقال جسيم من المجموعة الأولى إلى المجموعة الثانية فى زمن  $\delta t$  هو  $\omega_{12}\delta t$  بينما يكون الاحتمال فى الاتجاه المضاد هو  $\omega_{21}\delta t$  وعندئذ .

$$(١٧) \quad \frac{dn_1}{dt} = -\omega_{12}n_1 + \omega_{21}n_2, \quad \frac{dn_2}{dt} = \omega_{12}n_1 - \omega_{21}n_2$$

عند الاتزان يكون  $\frac{dn_1}{dt} = \frac{dn_2}{dt} = 0$  ، ولهذا يكون :

$$(١٨) \quad \frac{n_1}{n_2} = \frac{\omega_{21}}{\omega_{12}}$$

ومع ذلك ، يجب عند الاتزان أن يفى  $n_1$  ،  $n_2$  بتوزيع بولتزمان:

$$(١٩) \quad n_1 = Ae^{\rho E / k_B T}, \quad n_2 = Ae^{-\rho E / k_B T}$$

حيث A مقدار ثابت. وتبعا للمعادلة (١٩) يكون من المناسب أن تأخذ

$$(٢٠) \quad \omega_{12} = \frac{1}{2r} e^{-\rho E / k_B T}$$

$$\omega_{21} = \frac{1}{2\tau} e^{-\rho E / k_B T}$$

وعندما تكون  $PE \ll k_B T$  ، يكون لدينا من المعادلتين (١٨)، (٢١):

$$(21) \quad \begin{aligned} 2\tau \frac{dn_1}{dt} &= -(n_1 - n_2) + \frac{\rho E}{k_B T} (n_1 + n_2) \\ 2\tau \frac{dn_2}{dt} &= (n_1 - n_2) - \frac{\rho E}{k_B T} (n_1 + n_2) \end{aligned}$$

وإذا تغير  $E$  مع الزمن تبعاً للدالة الأسية  $e^{i\omega t}$  ، تعطي المعادلة

(٢١) الحل الآتي :

$$(22) \quad n_1 - n_2 = \frac{(n_1 + n_2)}{1 + i\omega\tau} \frac{\rho E}{k_B T}$$

وهكذا تلعب  $\alpha$  التي تم إدخالها في المعادلة (٦-١٩) دوراً في زمن الاسترخاء وإذا كان عدد الجزيئات في وحدة الحجم هو  $N$  ، تعطي الاستقطابية بالعلاقة :

$$(23) \quad N\alpha = \frac{P}{\epsilon} = \frac{\rho(n_1 - n_2)}{E} = \frac{N\rho^2}{k_B T} \frac{1}{1 + i\omega\tau}$$

وتكون أزمنة الاسترخاء في الجوامد عادة أطول كثيراً عن مثيلاتها في السوائل. وهو سلوك يوازي سلوك معدلات الانتشار في السوائل والجوامد. ولقد أرجع بريكينريدج Breckenridge الفقد في

العزل في بلورة الهاليدات القلوية إلى وجود عيوب في الشبكة في البلورات.

(٦-١٣) ثابت العزل الكهربى المركب وزاوية الفقد

يمكن كتابة ثابت العزل الكهربى المركب بالنسبة للاستقطابية

$$\tilde{\alpha} \approx \frac{\alpha_0}{1+i\omega\tau}$$

يكون ثابت العزل الكهربى مع جعل المجال الموضعى مساويا للمجال المؤثر.

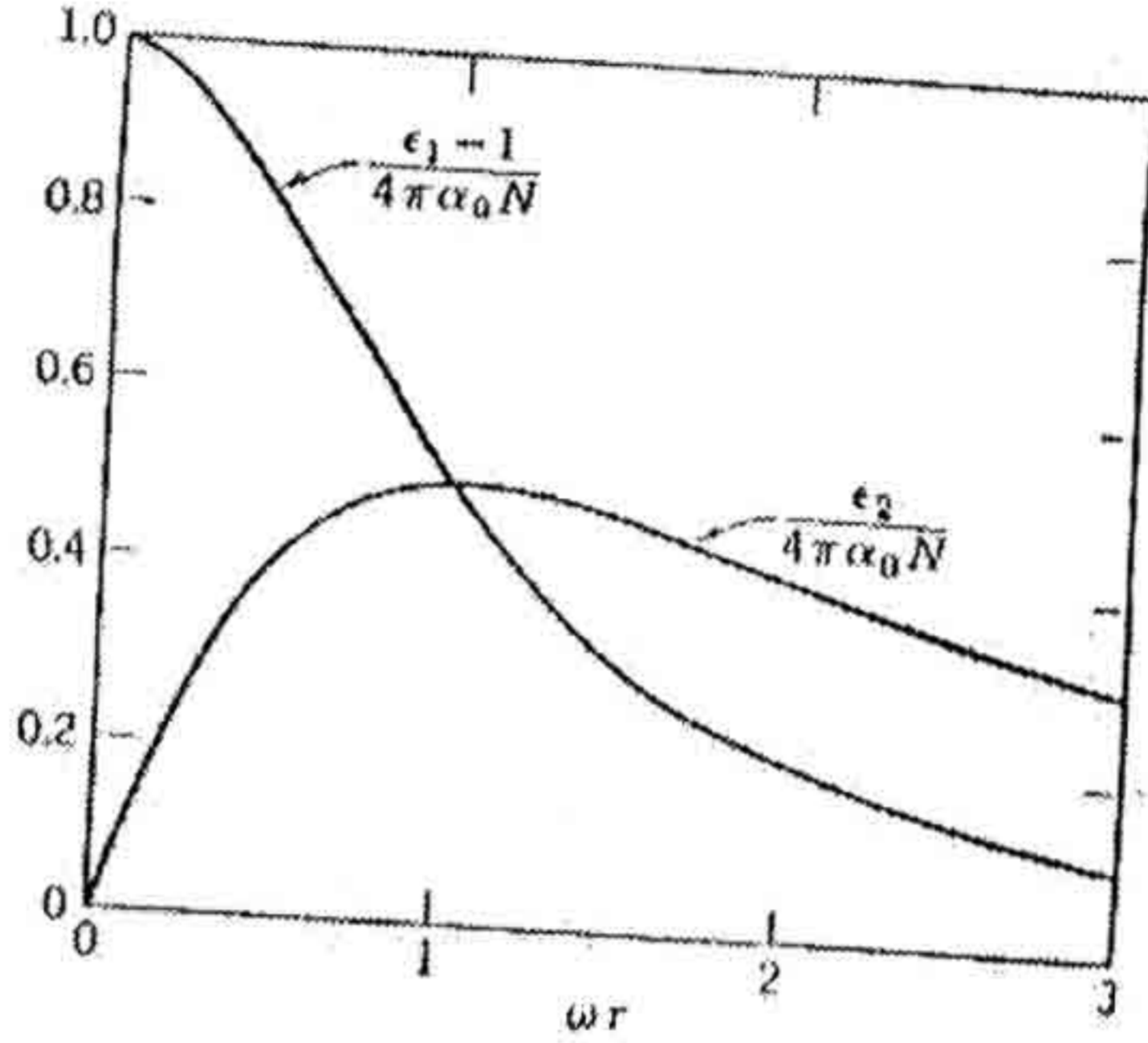
$$\tilde{\epsilon} = \epsilon_1 - \epsilon_2 = 1 + \frac{4\pi\alpha_0 N}{1+i\omega\tau} = 1 + \frac{4\pi\alpha_0 N}{1+\omega^2\tau^2} - i \frac{4\pi\alpha_0\omega\tau N}{1+\omega^2\tau^2}$$

لهذا :

$$\epsilon_1 = R(\tilde{\epsilon}) = 1 + \frac{4\pi\alpha_0 N}{1+\omega^2\tau^2}, \epsilon_2 = -g(\tilde{\epsilon}) = \frac{4\pi\alpha_0\omega\tau N}{1+\omega^2\tau^2}$$

حيث بدل R، g للمركبتين الحقيقية والتخيلة لثابت العزل الكهربى المركب على الترتيب. ويوضح الشكل (٦) تغير كل من  $\epsilon_1$  و  $\epsilon_2$

بتغير التردد



الشكل (٦)

تعطى القدرة المبددة لكل وحدة حجوم بالعلاقة.

(٢٤)

$$p = j_p E$$

حيث  $j_p$  مركبة كثافة شدة التيار التي تتفق في الطور مع  $E$  ويكون

$$\text{وحدات كهروستاتيكية} \quad J = \sigma E + \frac{1}{4\pi} \frac{\partial D}{\partial t} = \left( \sigma + \frac{i\omega \epsilon}{4\pi} \right) E$$

$$(٢٥) \quad \text{وحدات النظام الدولي} \quad J = \sigma E + \frac{\partial D}{\partial t} = (\sigma + i\omega \epsilon \epsilon_0) E$$

وعند  $\sigma = 0$  ،  $\epsilon = \epsilon_1 - i\omega_2$  وتصبح :



وحدات كهروستاتيكية  $J = \left( \frac{\epsilon_2 \omega}{4\pi} + \frac{\epsilon_1 \omega}{4\pi} \right) E$

وحدات النظام الدولي  $J = (\epsilon_2 \omega + i\omega) \epsilon_0 E$

وبذلك تكون القدرة المبددة هي :

وحدات كهروستاتيكية  $\mathcal{G} = \frac{E^2}{4\pi} \omega \epsilon_0 = \frac{\epsilon_1 E^2}{4\pi} \omega \tan \delta$

وحدات النظام الدولي (٢٦)  $\mathcal{G} = \epsilon_1 \epsilon_0 E^2 \omega \tan \delta$

حيث تعرف زاوية الفقد أو معامل القدرة كما يلي:

(٢٧)  $\tan \delta = \frac{\epsilon_2}{\epsilon_1}$

ويعرف العامل Q- لنظام كما يلي :

(٢٨)  $Q = \frac{\text{النهاية العظمى للطاقة المخزنة}}{\text{متوسط الفقد في الطاقة لكل راديان}}$

وتختصر في حالة العازلات الكهربية إلى

(٢٩)  $Q = \frac{\epsilon_1 E_0^2 / 8\pi}{(\epsilon_1 E^2 / 4\pi) \tan \delta} = \frac{1}{\tan \delta}$

$\bar{E}^2 = \frac{E_0^2}{2}$  بفرض أن :

ولا نتوقف النتيجة  $Q = \frac{1}{\tan \delta}$  على نظام الوحدات المستخدمة.

• أسئلة وتمارين:

- ١- أكتب نبذة عن كل من  
أ) المجال الكهربى الموضعى  
ب) مجال لورنتز  
ج) مجال إزالة الاستقطاب
- ٢- بين أن قيمة متوسط المجال بين لوحى المكثف تظل كما هى قبل إدخال العازل.
- ٣- بين كيف تستنتج علاقة كلاوزباس وموسوتى.
- ٤- اشرح إحدى التجارب العملية لقياس ثابت العزل.
- ٥- اشرح النظرية التقليدية للاستقطابية الإلكترونية
- ٦- أكتب نبذة مختصرة عن كل من:  
أ) الاستقطابية الإلكترونية  
ب) الاستقطابية الأيونية  
ج) الاسترخاء فى الجوامد
- ٧- أوجد علاقة تردد الاستقطابية الالكترونية لإلكترون تردده الرنينى على اعتبار أن النظام يماثل متذبذبا توافقيا بسيطا.
- ٨- اكتب نبذة مختصرة عن كل مما يأتى  
أ) ثابت العزل المركب  
ب) زاوية الفقد  
ج) القدرة المبددة (ء) العامل Q
- ٩- بين أن ثابت العزل الكهربى عند تردد  $\omega$  لوسط يحتوى على N إلكترون حر لكل وحدة حجوم بالوحدات الكهروستاتيكية هو
$$\epsilon = 1 + \frac{4\pi N e^2}{m \omega^2}$$
وجود الكتلة فى المقام يتيح إمكانية إسهام الأيونات الموجبة الموجودة

١٠- بين أن استقطابية كرة فلزية نصف قطرها (a) هي  $\alpha = a^2$  يمكن الحصول على هذه النتيجة بافتراض أن  $E = 0$  داخل الكرة واستخدام معامل إزالة الاستقطاب. هذه النتيجة تعطى فيما للاستقطابية  $\propto$  لها نفس رتبة استقطابيات الذرات ويكون شبيكة بها N من الكرات الموصلة لكل وحدة حجوم وثابت عزل كهربى  $\epsilon_0 = 1 + 4\pi Na^3$  عندما يكون  $Na^3 \ll 1$  وتستخدم هذه النتيجة فى صناعة العدسات المستخدمة فى مجال الأمواج الدقيقة (المكرونية).

١١- فى حالة المجال الموضعى ليس ضروريا أن يكون التجويف كريا فقد يكون على شكل مكعب وجهة العمودى مواز للاستقطاب ، فى هذه الحالة تكون كثافة شحنة الاستقطاب على الوجهين العلوى والسفلى للمكعب منتظمة وتساوى  $\pm P$  بينما لا تحمل الأوجه الأخرى أى شحنة . بين أنه لهذا التجويف

$$\epsilon_2 = \frac{4\pi P}{3} \quad \text{تكون :}$$

تماما كما فى حالة التجويف الكرى بالوحدات الكهروستاتيكية

(١٢) كرة ثابت العزل الكهربى لها  $\epsilon$  وضعت فى مجال خارجى

منتظم  $E_0$

(II) ماهو متوسط المجال الكهربى E داخل الكرة؟

(ب) بين أن الاستقطاب فى الكرة هو:  $P = x E_0 [1 + \frac{4\pi x}{3}]$

: حيث :

$$x = \frac{\epsilon - 1}{4\pi}$$